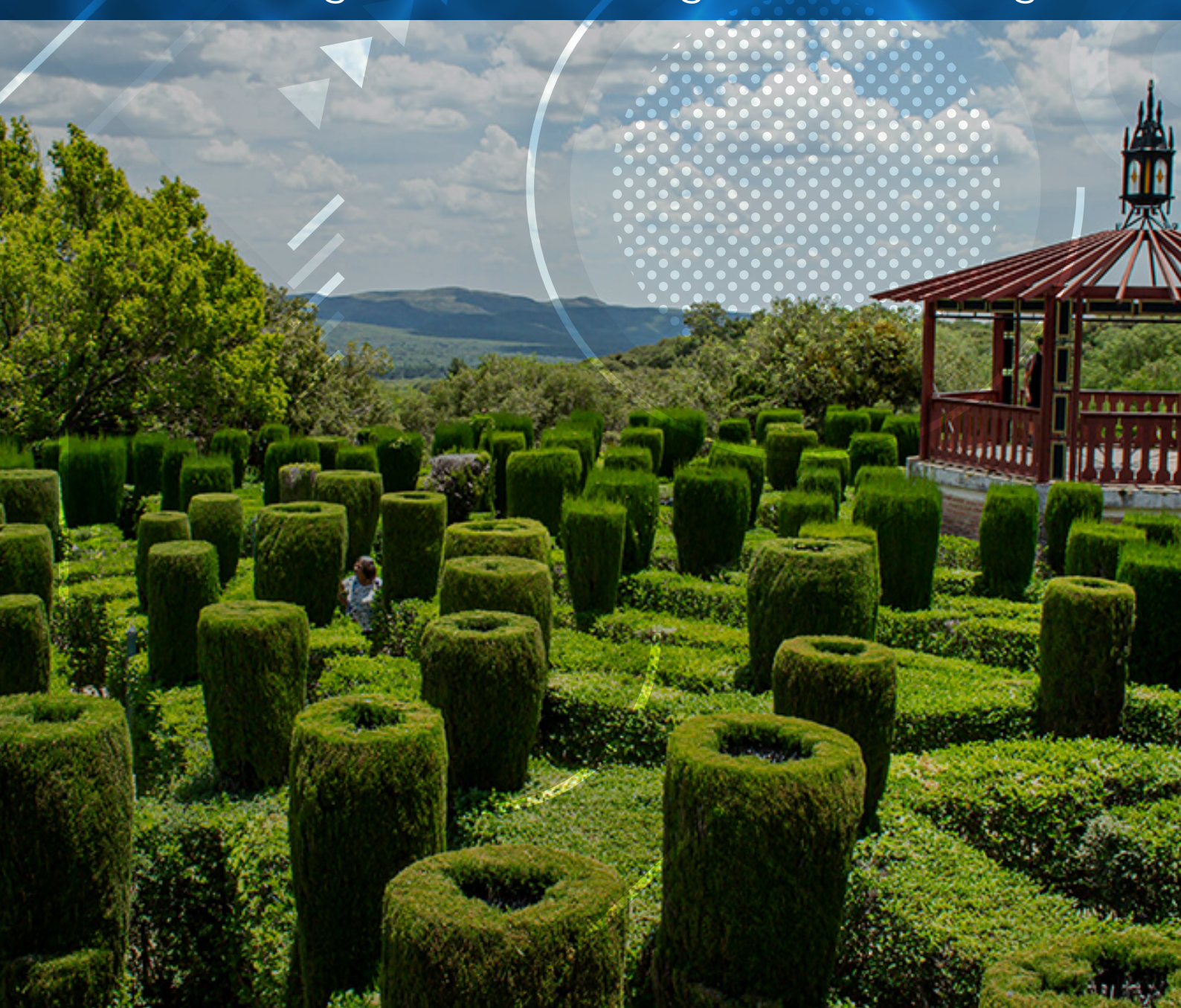




Los Cocos - Córdoba - Argentina 30,31 de octubre y 1 de noviembre

LIBRO DE RESÚMENES

de la LVIII Reunión Científica Anual de la Sociedad Argentina de Investigación Odontológica





Está prohibida la reproducción total o parcial de esta obra por cualquier método: fotográfico, fotocopia, mecánico, reprográfico, óptico, magnético, o electrónico, sin la autorización expresa y por escrito de los propietarios del copyright.

Diseño y diagramación: Eidos Estudio SRL

eidosestudio.com info@eidosestudio.com



ESTIMADOS COLEGAS

Es un verdadero honor darles la bienvenida a la LVIII Reunión Anual de la Sociedad Argentina de Investigación Odontológica. Me llena de orgullo contar con la presencia de destacados investigadores, docentes, profesionales y estudiantes de todo el país —y también del exterior— que comparten con nosotros la pasión por la ciencia y el compromiso con el avance del conocimiento en el campo de la odontología.

Este encuentro no solo nos brinda la oportunidad de presentar y discutir los avances más recientes en nuestras líneas de investigación, sino que también nos permite fortalecer vínculos, generar nuevos espacios de colaboración interdisciplinaria y reflexionar juntos sobre los desafíos y oportunidades que nos plantea el presente.

Agradezco a quienes han trabajado intensamente para hacer posible este evento, a la Comisión Directiva y Comisión Organizadora, a las firmas comerciales que han dado su apoyo, y por supuesto, a todos ustedes, por su participación activa y su compromiso con la excelencia científica.

Los invito a aprovechar estos días para compartir ideas, intercambiar experiencias y seguir construyendo juntos una odontología basada en la evidencia, en la innovación y en el profundo respeto por la salud de nuestras comunidades.

¡Bienvenidos y que tengamos una excelente reunión!

Ángela Argentieri Presidente SAIO









BIENVENIDA A LA LVIII REUNIÓN CIENTÍFICA ANUAL DE LA SOCIEDAD ARGENTINA DE INVESTIGACIÓN ODONTOLÓGICA

Es un honor darles la más cordial bienvenida a la **LVIII Reunión Científica Anual de la Sociedad Argentina de Investigación Odontológica (SAIO).** Este encuentro, que reúne a investigadores, docentes, profesionales y estudiantes de todo el país y del extranjero, constituye un espacio privilegiado para el intercambio de conocimientos, la difusión de avances científicos y la construcción colectiva de saberes en el campo de la odontología.

A lo largo de más de cinco décadas, la SAIO ha sostenido el compromiso de promover la investigación como pilar fundamental para el desarrollo de una odontología basada en la evidencia, al servicio de la salud y el bienestar de la comunidad. Esta nueva edición reafirma esa trayectoria, convocando a la reflexión, la innovación y el diálogo interdisciplinario.

Nos esperan jornadas de intenso trabajo académico, presentaciones científicas, conferencias y valiosas oportunidades de encuentro. Cada participación, cada aporte y cada intercambio fortalecen el crecimiento de nuestra comunidad científica y contribuyen a proyectar la odontología argentina en el ámbito regional e internacional.

Con entusiasmo y gratitud, les damos la bienvenida, deseándoles una experiencia enriquecedora, inspiradora y llena de nuevos desafíos compartidos.

Bienvenidos y bienvenidas a la LVIII Reunión Científica Anual de la SAIO.

Fabiana Carletto Körber Presidente Comisión Organizadora

~IN MEMORIAM~

PROF. DR. FERMÍN CARRANZA

Presidente de la Sociedad Argentina de Investigación Odontológica durante el año 1970





LVIII REUNIÓN CIENTÍFICA ANUAL

SOCIEDAD ARGENTINA DE INVESTIGACIÓN ODONTOLÓGICA DIVISIÓN ARGENTINA DE LA INTERNATIONAL ASSOCIATION FOR DENTAL RESEARCH

Los Cocos, Córdoba, 30 y 31 de octubre y 1 de noviembre de 2025

COMISIÓN DIRECTIVA SAIO 2025-2026

Presidente

Ángela Argentieri

Vicepresidente

José Javier Fernández Solari

Secretaria

María Alejandra Lei

Pro-Secretaria

Analía Garrofé

Tesorera

Verónica Paván

Pro-Tesorera

Ingrid Guitelman

Vocales

Mariana Picca Ana María Biondi Fiorella Ventura

Secretario de Asuntos Internacionales e Institucionales

Aldo Squassi

Asesora Científica

Noemí Bordoni

ÓRGANO DE FISCALIZACIÓN 2025-2026

Miembros Titulares

Ana Laura Sorazabal Juliana Rodríguez Romina Chaintiou Piorno

Miembros Suplentes

Eugenia Miklaszewski Carola Bettina Bozal

COMISIÓN ORGANIZADORA REUNIÓN ANUAL 2025

Presidente

Fabiana Pía Carletto Körber

Responsable de Secretaría

Mario Sezin

Pro-Secretaria

Eugenia Miklaszewski

Responsable de Tesorería

Carlos Alfredo Rozas

Responsable Científico / Coordinación General de resúmenes

Pablo Fontanetti María Jorgelina Ulloque Pablo Gigena Marina Rocamundi

Responsable de Ceremonial

Federico Busleiman

Colaboradores

Melisa Giménez Evjanian Marcelo Adrían Mazzeo Carolina Isla Claudia Bonnin Nicolás Peralta



DELEGADOS PROVINCIALES

CÓRDOBA

Fabiana Carletto Korber Miriam Grenon Silvia López de Blanc Gabriela Martín

CORRIENTES

Rolando Juárez Viviana Karaben

LA PLATA

Karina Mayocchi

MAR DEL PLATA

Martín Zemel

MENDOZA

Claudia Fernández

PATAGONIA

Patricia Mulbany Mariana Preliasco

ROSARIO

Esteban Funosas

TUCUMAN

Sandra Iturre Luis Wuscovi

DECLARACIÓN DE INTERÉS PROVINCIAL Y MUNICIPAL

El Ministerio de Salud de la Provincia de Córdoba declara el evento de interés provincial. Resolución N° 2025/0000842

La Municipalidad de Los Cocos-Córdoba, declara el evento de interés municipal. ORDENANZA N° 1180/2025

ADHESIONES

La Comisión Directiva y la Comisión Organizadora de la LVIII Reunión Científica Anual de la Sociedad Argentina de Investigación Odontológica agradecen los siguientes auspicios, adhesiones y declaraciones de interés institucional, brindados para esta reunión.

Rectorado de la Universidad Nacional de Córdoba.

Facultad de Odontología de la Universidad Nacional de Córdoba.

Facultad de Odontología de la Universidad de Buenos Aires.

Facultad de Odontología de la Universidad Nacional de Rosario.

Facultad de Odontología de la Universidad Nacional del Nordeste.

Facultad de Odontología de la Universidad Nacional de Cuyo.

Carrera de Odontología de la Escuela de Salud y Desarrollo Humano de la Universidad Nacional de Río Negro.

Facultad de Odontología de la Universidad Nacional de Tucumán.

Facultad de Ciencias de la Salud de la Universidad Católica de Córdoba.

Departamento de Odontología, dependiente del Ministerio de Salud de la Provincia de Córdoba.

Colegio Odontológico de la Provincia de Córdoba.

Distrito 4851 de Rotary Internacional.

Universidad Nacional de Tucumán



AGRADECIMIENTOS

La Comisión Directiva y la Comisión Organizadora de la LVIII Reunión Científica Anual de la Sociedad Argentina de Investigación Odontológica agradecen el aporte brindado por las siguientes instituciones, empresas y personas destacadas.

Sunstar GUM

Posgrado FO-UNC

Laboratorio Tissum

Muntal SA.

BISCO

Dental Medrano

Colgate Palmolive

Tedequim SRL

HS Dental

Fundación Williams

Ambos Córdoba Uniformes

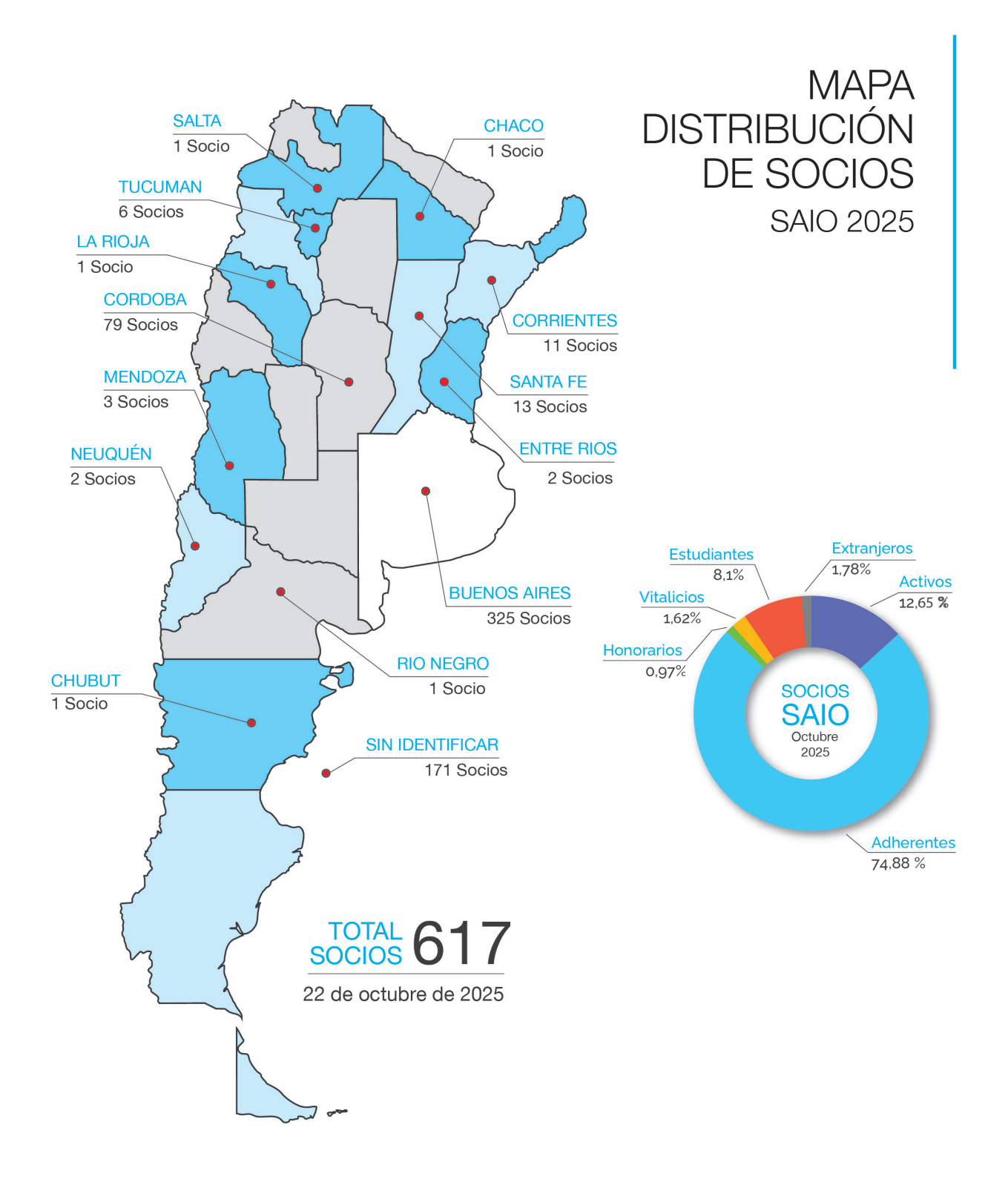
Librería Líbryco

Carpediem joyería

Alfajores La Quinta

Via Venetto Apart Hotel

MAPA DE DISTRIBUCIÓN DE SOCIOS SAIO 2025





GRUPOS DE INVESTIGACIÓN

Biología pulpar y regeneración

Cariología y salud pública

Ciencias diagnósticas

Educación

Láser y Biofotónica

Materiales dentales

Medicina oral y patología

Odontopediatría

Ortodoncia

Periodoncia e Implantes



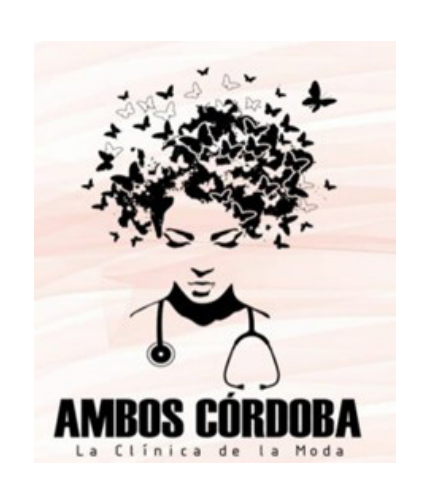








































ANEXO

PROGRAMA RESÚMENES DE TRABAJOS



JUEVES 30 DE OCTUBRE DE 2025

9 a 13 h ACREDITACIÓN

13 a 14 h ALMUERZO

| PREMIOS Jueves 30 de octubre (14 a 17 horas) | | | | | | |
|---|--|---|--|--|--|--|
| | | | | | | |
| Premio Divisional - IADR Hatton Divisional Award - (Jurado: Aldo Squassi, Pilar Martinez, Pamela Yelick) 14.00 h CASTRO ESCALANTE, Angélica 14.20 h LOIACONO, Romina | Premio Odontopediatría (Grupo Odontopediatría) (Jurado: Karina Martinez, Carolina de la Cal, Fabiana Carletto Körber) 14.00 h GIGENA, Pablo Cristian 14.20 h IENCO, Melisa | Premio Sensodyne (Jurado: Rolando Juarez, Marta Saravia, Ana Clara Casadoumecq) 14.00 h LAZZATI, Rocío | | | | |
| Premio Colgate-Palmolive (Grado) (Jurado: Glenda Rossi, Daniel Olmedo, Alberto Cohen) 14.40 h AFONSO RAMIREZ, Clara Luz | Premio "Prof. Dr. Héctor R. Maddalena" (Grupo Materiales Dentales) (Jurado: Mariana Picca, Sonia Julián, Mariana Preliasco) 14.40 h LEIVA SELEME, Maria Evangelina 15.00 h MARTINEZ, Cintia Alejandra 15.20 h PERALTA DE ELÍAS, Nicolás 15.40 h ROGGIO, Antonio | Premio Grupo Biología Pulpar y Regeneración (Jurado: Lorena Cabirta, Sandra Renou, Silvia López de Blanc) 14.20 h PIGLIONICO, Sofia Silvia | | | | |
| Premio Colgate-Palmolive (Doctorado) (Jurado: Glenda Rossi, Daniel Olmedo, Alberto Cohen) | Premio María L. Rins de David (Jurado: Cesar Ossola, Ismael Rodriguez, Christian Lezon) | Premio Grupo Láser y Biofotónica (Jurado: Romina De Lucca, Lorena Cabirta, Silvia López de Blanc) | | | | |
| 15.00 h LEI, Alejandra | 16.00 h FROSASCO, Camila | 14.40 h CASADOUMECQ, Ana 15.00 h FERNÁNDEZ ALEMÁN, Jesús Eduardo | | | | |
| Premio Salud Bucal (Grupo Cariología) (Jurado: Ana Sorazabal, Cecilia Martinez, Noemi Bordoni) | | Premio Ortodoncia (Grupo Ortodoncia) (Jurado: Romina De Lucca, Ana Biondi, Fiorella Ventura) | | | | |
| Premio Corega (Jurado: Ana Sorazabal, Carlos Rozas, Germán Mirotti) 15.40 h AREDES, Jorge | | 15.40 h IGLÉSIAS, Marina Premio Educación Odontológica (Grupo Educación) (Jurado: Pablo Fontanetti, Pablo Gigena, Silvia Medici) 16.00 h PIGLIONICO, Sofia Silvia | | | | |
| Premio Cátedra de Histología y Embriología FOUBA (Jurado: Paola Luciani, Anabel Lama, Carlos Rozas) 16.00 h REBOREDO, Guido Lautaro | | | | | | |

17 a 17:30 h COFFEE BREAK Bar Hotel UTHGRA

JUEVES 30 DE OCTUBRE DE 2025

REUNIÓN DE GRUPOS Y PRESENTACIÓN ORAL DE PROYECTOS

| HORARIO | SALA 1 (SUM) | SALA 2 (Quincho) | SALA 3 (Desayunador) | |
|-----------------|---|--|---|--|
| 17:30 a 18:30 h | Grupo Cariología y Salud pública Grupo Periodoncia e Implantes | Grupo Materiales Dentales Grupo Láser y Biofotónica | Ciencias Diagnósticas Educación | |
| 18:30 a 19:30 h | | Medicina Oral y Patología Odontopediatría | Biología Pulpar y Regeneración Ortodoncia | |
| 19:45 h | ACTO INAUGURAL SALA 1 (SUM) | | | |
| 21 h | COCTEL DE RECEPCIÓN Y CENA Comedor Hotel UTHGRA | | | |

VIERNES 31 DE OCTUBRE DE 2025

| HORARIO | SALA 1 (SUM) | _ | _A 2 ncho) | SALA 3 (Desayunador) | |
|-----------------|--|--|---|--|--|
| 9 a 13 h | ACREDITACIÓN - SECRETARÍA | | | | |
| 9 a 10:30 h | PRESENTACIONES ORALES Tejido óseo | Materiales Biomat | ERES Dentales y teriales doncia | PRESENTACIONES ORALES Odontopediatría y Ortodoncia | |
| 10:30 a 11 h | COFFEE BREAK Bar Hotel UTHGRA | | | | |
| 10:45 a 12 h | PRESENTACIONES ORALES Mucosa bucal Glándulas salivales | Cariol Epiden Educ Odonto Odontop | ERES ogía y niología ación ológica ediatría y loncia | PRESENTACIONES ORALES Tejidos Dentarios y Periodontales | |
| 12 a 13 h | "EL FUTURO DEL ENVEJECIMIENTO DE LA POBLACIÓN Y LA ODONTOLOGÍA RECONSTRUCTIVA" Disertante: Prof. Dr. Pedro Molinero Mourelle | | | | |
| | SALON SUM | | | | |
| 13 a 14 h | ALMUERZO | | | | |
| 14:15 a 16:30 h | PRESENTACIONES ORALES Materiales Dentales y Biomateriales | PÓSTERES (14:30-16:30 h) Mucosa Bucal Glándulas Salivales Tejidos Dentarios y Periodontales | | PRESENTACIONES ORALES Cariología y Epidemiología | |
| 16:30 a 17 h | COFFEE BREAK Bar Hotel UTHGRA | | | | |
| 17 a 19:30 h | PRESENTACIONES ORALES Materiales Dentales y Biomateriales | PÓSTERES (17-19h) Tejido óseo Microbiología e Inmunología | | PRESENTACIONES ORALES Cariología y Epidemiología | |
| 19 a 20:30 h | REUNIÓN AOL 19:30 a 20:30 h SALÓN SUM | | WORKSHOP "HANDS ON INTERVENCIÓN MÍNIMA EN ODONTOLOGÍA: TRATAMIENTO RESTAURADOR ATRAUMÁTICO" Disertante: Prof. Dra. Marcia Cançado Figueiredo SALA 3 (Desayunador) 19-20 h Cupo limitado (20 participantes), con inscripción previa hasta cubrir las vacantes, viernes 31 de octubre de 9 h a 13 h en la secretaría. | | |
| 21 h | CENA | | | | |

SÁBADO 1 DE NOVIEMBRE 2025

| HORARIO | SALA 1 (SUM) | SALA 2 (Quincho) | SALA 3 (Desayunador) | | |
|-------------------|---|---------------------|---|--|--|
| 8:15 a 9:00 h | REUNIÓN DE DELEGADOS PROVINCIALES (Quincho) | | | | |
| 9 a 13 h | ACREDITACIÓN - SECRETARÍA | | | | |
| 9 a 10:30 h | PRESENTACIONES ORALES Endodoncia | | PRESENTACIONES ORALES Odontopediatría y Ortodoncia | | |
| 10:30 a 11 h | COFFEE BREAK Bar Hotel UTHGRA | | | | |
| 11 a 12:30 h | PRESENTACIONES ORALES Endodoncia Educación Odontológica | | PRESENTACIONES ORALES ATM y Dolor Orofacial | | |
| 12:30 h a 13:30 h | CONFERENCIA "INVESTIGACIONES EN SALUD HUMANA: ASPECTOS REGULATORIOS EN LA PROVINCIA DE CÓRDOBA" | | | | |
| | Disertante: Dra. María Pía Molina Dionigi Directora de SERFIS Ministerio de Salud de la Provincia de Córdoba SALA 1 (SUM) | | | | |
| 13:30 a 14:30 h | ALMUERZO | | | | |
| 14:30 a 16:30 h | PRESENTACIONES ORALES Educación Odontológica | | PRESENTACIONES ORALES Microbiología e Inmunología Láser y Biofotónica | | |
| 17 a 17:30 h | COFFEE BREAK Bar Hotel UTHGRA | | | | |
| 17 a 19 h | ASAMBLEA | | | | |
| 21 h | CENA | | | | |

PROGRAMA LVIII REUNIÓN ANUAL SAIO

PRESENTACIONES ORALES

VIERNES 31 DE OCTUBRE - 9 A 12 H

SALA 1 (SALÓN SUM)

Área: TEJIDO ÓSEO

Presidente: Olmedo Daniel Gustavo

Secretaria: Ferreyra de Prato Ruth Salome

- 01. 9:00 h. Estudio anatomoclínico del conducto mandibular para la colocación de implantes. Flores VY, Sanz AV, Sica Sánchez N, Hernández MA*, Aguirre CA.
- 02. 9:15 h. Modelo experimental noble de osteonecrosis de los maxilares asociada a medicamentos (ONAM). Nervegna MT*, Willems C, Bárcenas CA, Lacave M, Sánchez LM.
- 03. 9:30 h. Estudio preliminar de la aplicación de un modelo experimental hormonal sistémico masculinizante/desfeminizante sobre ratas Wistar. Patitucci WE*, Bárcenas CA. Sánchez LM.
- 04. 9:45 h. Periodontitis en gestantes: Asociación entre el Grupo rojo de Sokransky y el aumento sistémico de proteína C reactiva. Karaben VE*, Bernachea D, Rivero MI, Matiauda Sappa N, Silva Reis A, Britos MR
- 05. **10:00 h. Presencia de accesorios y distancias del foramen mentoniano en imágenes de TC Cone Beam.** Agüero DE, Wuscovi LF*, Jorrat MM, Aragon HN.
- 06. 10:15 h. Puesta a punto de un modelo para comparar resolución espacial de diferentes tomógrafos. Vázquez DJ*, Nart LJ, Salgado P, Aredes J, De Lucca R.

Área: MUCOSA BUCAL

Presidente: Silvia A. López de Blanc Secretaria: Renou Sandra Judith

- 07A.10:45 h. Salud Bucal Deteriorada como Factor de Riesgo para Morbilidad en Procedimientos Médico-Quirúrgicos. Cueto Urbina A, Parra-Parra M, Camus-Jansson F, Sagredo K, López de Blanc SA*.
- 07. **11:00 h. Perfil inmunológico y biomarcadores en carcinomas escamosos orales.**Mayocchi KA*, Canzoneri R, Serafino MB, Blasetti N, Tranchida MC, Ferreri N, Arcuri A, Arcuri M, Echeverría N, Mayocchi RM, Sirimarco K, Levalle MJ, Molina M, Darrigran L, Dominguez M, Cozzi S
- 08. **11:15 h. Características histopatológicas de la histoplasmosis bucal.** Garaboa GI*, Allende A, Galarza T, Ferreyra R, Paparella ML, Carrizo S, Belardinelli P, Morelatto R, López de Blanc S.

09. 11:30 h. Parámetros de laboratorio y aspectos inmunohistoquímicos en pacientes con histoplasmosis bucal. Allende AA*, Garaboa GI, Coll V, Ferreyra R, Piccioni O, Belardinelli P, Morelatto R, López de Blanc S.

Área: GLÁNDULAS SALIVALES

Presidente: Silvia A. López de Blanc Secretaria: Renou Sandra Judith

10. 11:45 h. Patrón diurno de biomarcadores salivales en relación con el sueño en estudiantes universitarios. Juárez RPA*, Ponce JO, Rosales CA, Miño AM, Celia AC.

SALA 3 (SALÓN DESAYUNADOR)

Área: ODONTOPEDIATRÍA Y ORTODONCIA

Presidente: Biondi Ana María Secretaria: Fernández Claudia

- 11. 9:00 h. Evaluación clínica y radiográfica de la terapia pulpar vital con Biodentine® en dientes permanentes de pacientes pediátricos. Toscano MA*, Álvarez S, Escobar S, Guitelman I, Martínez K, Melian K, Moya M, Nakazato A, Safuri MF, Zacharczuk G, Biondi AM.
- 12. **9:15 h. Desempeño clínico de alkasite en molares primarios.** Anchava J*, Picca M, Garrofé A, Cortese S, Biondi AM
- 13. 9:30 h. Características esqueletales de los maxilares en pacientes con Displasia Ectodérmica Hipohidrótica. lenco M*, Arrebola AG, Giardini A
- 14. 9:45 h. Trabajo prospectivo aleatorizado de Fotobiomodulación y evaluación periodontal y del tiempo demandado para alinear en ortodoncia. Estudio preliminar. Doi Y*, Folco A, Casadoumecq AC, Iglesias M, García M, Riguero G, Benítez Rogé S, Cavalieri J, De Laurentiis A, Mohn C, Ahmadi M.
- 15. 10:00 h. Control de efectos secundarios del distalador de clase II y alineadores in office. Estudio preliminar. Iglesias M*, Sciarrotta A, García M, Doi Y, Solla M, Calabrese D, Sánchez G, De la Cal C, Ahmadi M, Folco A
- 16. 10:15 h. Modelo de Markov aplicado a tratamientos híbridos con alineadores y distalador de Carriere motion II. De La Cal C*, Iglesias M, Ordoñez JM, Folco A, Ahmadi M, Sánchez GA

Área: TEJIDOS DENTARIOS Y PERIODONTALES

Presidente: Fernández Solari Javier Secretario: Funosas Esteban Rodolfo

17. 10:45 h. TGFβ-1: A Link Between Periodontitis in Individuals With or Without Type 2 Diabetes Mellitus? Lima Silva RC*, Gandini Giani Martelli M, Dias Caldeira FI, Gagno Nicchio I, Perez Orrico SR, Cerri PS, Manzoli Leite FR, Scarel Caminaga RM.

- 18. 11:00 h. Efectividad y seguridad del uso de óxido nitroso/oxígeno en odontología para pacientes con ansiedad y discapacidad. Estudio preliminar. Bianchi LM*, Orman B, Rudzinski J, Echaide M, Armada M, Alisio A, Franco O, Alonso A, Grance L, Castro Galante A, Recarte C, Caraballo J, Torres S, Gregori R, Alvarez M, Ferrary T.
- 19. **11:15 h. Estudio del desarrollo radicular y la diferenciación celular en cultivos primarios de pulpa dental humana.** De Couto Pita A*, Merhar V, Dell´Angelica F, Benítez MB, Miozza V, Méndez C
- 20. 11:30 h. Presencia del SNP rs1801274 del gen FCGR2A y su relación con la severidad de la enfermedad periodontal en pacientes con artritis reumatoidea y con síndrome de Down. Castro Escalante A*, Armada M, Salgado P, Beron AM, Medina G, Peñalva CX, Figueredo BF, Delea M, Corró G, Bruque CD, Orzuza R, Seni S, Pedreira P, Gonzalez D, Ferrary T, Orman B.
- 21. **11:45** h. Perfil metabólico y funcional de neutrófilos en gestantes de **16-20** semanas y su correlación con el estado gingival. D'Eramo L*, Calo G, Lara B, Gliosca L, Hauk V, Pérez Leirós C, Squassi A

VIERNES 31 DE OCTUBRE - 14:15 A 19:30 H

SALA 1 (SALÓN SUM)

Área: MATERIALES DENTALES Y BIOMATERIALES

Presidente: Grazioli Guillermo Secretario: Molina Gustavo

- 22A. 14:15 h. Efecto del tratamiento de superficie en la resistencia adhesiva de una resina para restauraciones indirectas obtenidas mediante impresión 3D. Doi Y*, Garrofé A, De Moliner DL, Aredes JE.
- 22. **14:30 h. Delimitación de cerámica mediante láser Er:YAG.** Cuisinier*, Miron L, Nomair N, Panayotov I.
- 23. **14:45** h. Efecto del termociclado en obturaciones oclusales con resinas fluidas. Evaluación de la interfaz mediante microscopia óptica (MO) y confocal laser (CSLM). Peralta de Elías N*, Farah MA, Fontana S.
- 24. **15:00 h. Caracterización estructural y química de una resina utilizada en restauraciones impresas, sometida a tratamientos superficiales con distintos biomateriales adhesivos.** Rodriguez MA*, Rozas C, Sorbera L, Castro J, Pineda A, Rodriguez IA.
- 25. **15:15** h. Profundidad de penetración de resinas infiltrantes en lesiones de esmalte hipomineralizado y con fluorosis. Lei MA*, Picca M, Macchi RL, Sorazábal AL.
- 26. **15:30** h. Influencia del tiempo de frotamiento durante la aplicación de diferentes sistemas adhesivos en la resistencia adhesiva a dentina. Garrofé A*, Ferrari B, Picca M.
- 27. **15:45 h. Adaptación de endocrowns impresas a la preparación dentaria.** Martinez CA*, Nart LJ, Vazquez DJ, Salgado PA, De Moliner DL, Aredes JE.

- 28. **16:00 h. Estado de la Oclusión y Contactos Dentarios de los Adultos Mayores en Argentina.** Aredes JE*, Aubia MC, Martinez CA, Christiani JJ, Loyola González PO, Georgieff DS, Romano SE, Coronel L, Boero Lopez EO, Zabala A, Vazquez DJ, Salgado PA.
- 29. **16:15** h. Prevalencia y clasificación de áreas desdentadas en pacientes adultos mayores en AMBA. Aubia MC*, Martinez CA, De Moliner D, Zabala A, Demaria GA, Ochoa A, Compagnucci CV, Via RA, Catacora GS, Olazabal RR, Barrionuevo BV, Heredia GK, Bagdadi CV, Salgado PA, Aredes JE.

Área: MATERIALES DENTALES Y BIOMATERIALES

Presidente: Rozas Carlos Alfredo Secretaria: Lei María Alejandra

- 30. 17:00 h. Prevalencia y distribución de implantes dentales por sextante en pacientes adultos mayores en AMBA. De Moliner DL*, Martinez CA, Aubia MC, Zabala A, Vega Barrionuevo B, Ochoa A, Demaria GA, Compagnucci CV, Via RA, Catacora GS, Olazabal RR, Heredia GK, Bagdadi CV, Salgado PA, Aredes JE
- 31. **17:15** h. Prevalencia y distribución de pares oclusales en adultos mayores en AMBA. Bagdadi CV*, Martinez CA, Aubia MC, De Moliner D, Ochoa A, Compagnucci CV, Via RA, Catacora GS, Olazabal RR, Barrionuevo BV, Heredia GK, Salgado PA, Aredes JE.
- 32. **17:30** h. Concordancia interevaluadores en la interpretación de radiografías panorámicas en adultos mayores. Aubia MC*, Martinez CA, Aredes JE, Salgado PA.
- 33. **17:45** h. Análisis de piezas dentarias en adultos mayores en AMBA. Zabala AF*, Martinez CA, Aubia MC, De Moliner D, Ochoa A, Vega Barrionuevo B, Demaria GA, Via RA, Compagnucci CV, Catacora GS, Ramos Olazabal R, Heredia GK, Bagdadi CV, Salgado PA, Aredes J.
- 34. **18:00 h. Evaluación de la dureza de composites utilizados para la confección de incrustaciones luego de diferentes tratamientos de poscurado.** Mendiondo J, Lespade M*, Doi Y, Picca M, Garrofé A.
- 35. **18:15** h. Control de calidad histológico de un nuevo biomaterial a base de Ácido hialurónico. Estudio in vivo en ratas. Martinez R*, Palma SD, Camacho N, Ferrer B, Ontivero L, Sorbera L, Dorado G, Rodriguez I.
- 36. **18:30 h. Evaluación in vivo de un polímero biodegradable con estructura tridimensional entramada para ingeniería tisular ósea.** Frosasco CL*, Renou SJ, Pérez E, Taranto J, Todero MF, Fontanetti PA, Olmedo DG
- 37. **18:45 h. Mineralización inducida por mecanotransducción en Ti Gr5: análisis por SBF y cultivos celulares.** Mayocchi KA*, Wong Kang K, Lemos Barbosa A, Blasetti N, Mayocchi RM, Canafoglia ME, Kohan J.
- 38. 19:00 h. Influencia de diferentes lámparas de fotopolimerización LED sobre el efecto antibacteriano de un Giómero contra el Streptococcus Mutans. Fernández Tarazona JA*, Torres Rivera ZJ, de Souza As

SALA 3 (SALÓN DESAYUNADOR)

Área: CARIOLOGÍA Y EPIDEMIOLOGÍA

Presidente: Squassi Aldo Fabián Secretaria: Saravia Marta Estela

- 39. **14:15** h. Control de placa y gingivitis en pacientes con necesidades especiales: estudio clínico aleatorizado. Cançado Figueiredo M*Scheffler Schirma Farias C, Souza Führ J, Cé Rossoni da Conceição M, Buaes Carpes B, Vianna Potrich AR.
- 40. **14:30** h. Percepción de salud bucal y calidad de vida en adolescentes atendidos en diferentes entornos institucionales. Fernández CR*, Cornejo C, Souza M,Torres M, Furci N, Carabajal M, Salgado P, Squassi A, Klemonskis G
- 41. 14:45 h. Percepción de sequedad bucal y tasa de flujo salival en personas mayores: estudio preliminar. Neimaier E*, Dubois V, Roca E, Manzanel L, Ferrarini S, Squassi A, Salgado P, Cornejo C.
- 42. **15:00 h. Factores clínicos asociados a hipersensibilidad dentinaria: análisis de regresión logística en un estudio transversal.** Afonso Ramírez CL*, Escalante Vila MF, Squassi A, Rodríguez CM, Salgado P, D'Eramo L
- 43. **15:15 h.** Impacto de la definición de hipersensibilidad dentinaria en la identificación de predictores clínicos: análisis comparativo con modelos de regresión logística. Escalante Vila MF*, D'Eramo L, Afonso Ramírez CL, Rodríguez CM, Salgado P, Squassi A
- 44. **15:30** h. Prevalencia de lesiones endoperiodontales en un Hospital Escuela de la Universidad de Buenos Aires. Estudio transversal. Caceres SH*, Castellanos J, Caride F, Elejalde NA, Figuero Ruiz E, Rodríguez PA, Bugiolachi J.
- 45. **15:45** h. Efectividad de un programa escolar de aplicación de barniz de flúor en la Ciudad de Buenos Aires: estudio longitudinal. Rossi G, Serra Capó T*, Sorazabal AL, Cornejo C, Somoza F, Salgado P, Squassi A.
- 46. **16:00 h. Validación del Índice de Placa Visible como herramienta de detección temprana de biofilm en infantes.** Pazos X*, Rossi G, Cornejo C, Alvaredo G, Medici S, Squassi A, Salgado P.
- 47. **16:15 h. Validación metodológica de medidas alternativas de los índices de placa e inflamación gingival.** Alberti Cancelo V*, Escalante Vila MF, Afonso Ramírez CL, Squassi A, Salgado P, D'Eramo L

Área: CARIOLOGÍA Y EPIDEMIOLOGÍA

Presidente: Sánchez Gabriel Secretaria: Iturre Sandra

- 48. 17:00 h. Adhesión a prácticas basadas en evidencia para el diagnóstico y tratamiento de caries: estudio transversal sobre odontólogos del AMBA. Lazzati R*, Squassi A, Sorazabal AL.
- 49. 17:15 h. Conocimientos sobre riesgos de las prácticas de arte corporal en ingresantes a la carrera de Odontología de la UNC en el año 2024. Frosasco CL*, Theiler GR, Fontanetti PA, Cadile MS
- 50. **17:30** h. Evaluación bioquímica e histopatológica del efecto de micropartículas de papaína sobre caries dentinaria: estudio preliminar. Ventura F*, Renou S, Olmedo D, Squassi A, Méndez C.

- 51. **17:45** h. Percepción de salud bucal de maestras de Educación Inicial del Municipio de **Avellaneda.** Pazos X, Rossi G, Medici S*, Squassi A, Salgado P.
- 52. **18:00 h. Variación en la concentración de fluoruro en yerba mates de distintos países de América del Sur.** Rocha Valadas LA*, Fernandez CE, Girão Júnior FJ, Argentieri A, Squassi A
- 53. **18:15 h. Conocimientos y aptitudes de salud bucodental en adolescentes y docentes de una comunidad educativa de Córdoba.** Hernandez MA*, Sica Sánchez MN, Flores VY, Sanz AV, Aguirre CA
- 54. **18:30** h. Factores de riesgo asociados a caries en la primera infancia en niños argentinos y chilenos. Cereceda Miranda MA*, Morales Lara F, Cornejo Ovalle M, Silva Méndez C, Gimenez Evjanian M, Rotter Maurín C, Carletto Körber FPM.
- 55. 18:45 h. Prevalencia de caries dental según ICDAS II en niños de 6 a 12 años de la institución educativa N°3023 Pedro Paulet Mostajo, Red N° 08 de San Martín de Porres, Lima Perú, 2024. Melgar Hermoza RA*, Vasquez Alva JE, Gomero Perez NI, Loza Silva FW, Coronado Ore LR.

SÁBADO 1 DE NOVIEMBRE 2025 - 9 A 12:30 H

SALA 1 (SALÓN SUM)

Área: ENDODONCIA

Presidente: Cabirta María Lorena

- Secretaria: Martin Gabriela
 - 56. 9:00 h. Caracterización de la composición química elemental de diferentes cementos biocerámicos endodónticos. De Caso CN*, Boiero CF, Casa M, Crohare L.
 - 57. **9:15** h. Evaluación de la longitud de conductos curvos conformados con sistemas mecanizados. Carvajal MI*, Garofletti MJ, Bronstein M, Luján MG, Fadel PC, Llompart L, Bonardi Vila MF, Valdivieso A.
 - 58. **9:30 h. Calidad Radiográfica en Endodoncia: Análisis de 1080 Imágenes Periapicales.** Medina JA*, Jorrat MM, Brito GN, Aragon NH, Carino S, Ledesma Checha P.
 - 59. **9:45 h. Análisis de Errores Radiográficos en Imágenes Periapicales Endodónticas.** Medina JA*, Jorrat MM, Brito GN, Aragon NH, Carino S.
 - 60. 10:00 h. Control clínico y radiográfico a distancia de piezas dentarias con periodontitis apical crónica y tratamiento endodóntico. Estudio preliminar. Lacquaniti LL*, Frias ME, Ossola CA, Consoli Lizzi EP, Chaintiou Piorno R, Rodríguez PA.
 - 61. 10:15 h. Estudio del tejido óseo alveolar durante la formación de procesos apicales en ratas hipercolesterolémicas. Loiacono R*, Gualtieri AF, Cacciagiu L, Rodríguez PA, De Lucca RC.

Área: ENDODONCIA

Presidente: De Caso Cecilia Noemí

Secretaria: Lee Li Ting

- 62. 11:00 h. Análisis cronológico de las alteraciones de superficie de selladores biocerámicos en modelos in vivo y ex vivo. Pedraza C*, Bonafé A, Zanoni Y, Rourera C, Salduna S, Martin G.
- 63. 11:15 h. Propiedades biomecánicas de biomateriales para la regeneración de la pulpa dental: estudio in vitro e in vivo. Piglionico SS*, Garrabé S, Zavala W, Davison MR, Romieu O, Cuisinier F, Panayotov I

Área: EDUCACIÓN ODONTOLÓGICA

Presidente: De Caso Cecilia Noemí

Secretaria: Lee Li Ting

- 64. 11:30 h. Diseño de un Método de Evaluación para Cavidades de Acceso Endodóntico en Visión Indirecta Usando Simuladores Hápticos de Realidad Virtual. Piglionico SS*, Lupi Q, Domergue M, Slimani A, Levallois B, Panayotov I, Romieu O.
- 65. 11:45 h. Uso de WhatsApp en los procesos de enseñanza-aprendizaje de Ciencias Básicas en la carrera de Odontología de la Universidad Nacional del Nordeste: construcción de un instrumento de medición. Ponce JO*, Salinas J, Juárez RP.
- 66. 12:00 h. Valoración estudiantil del cursado de Histología Buco Maxilo Facial en forma virtual o presencial en la Facultad de Odontología de la Udelar (Montevideo Uruguay). Tapia Repetto G*, Alvarez Gonzalez B.
- 67. **12:15** h. Enfoques de aprendizaje en estudiantes de Odontología en Universidades Argentinas. Argentieri AB, Berberian C, Bertolino M, Gamba CA, Gigena PC, Juarez RP, Martinez LD, Medina E, Negrini F, Paván V, Ponce JO, Preliasco M*,Rhys K, Sanchez L, Zemel M, Bordoni N

SALA 3 (SALÓN DESAYUNADOR)

Área: ODONTOPEDIATRÍA Y ORTODONCIA

Presidente: Argentieri Ángela Beatriz

Secretaria: Cortese Silvina

68. 9:00 h. La exposición pre y posnatal de amoxicilina altera la odontomorfogénesis coronaria en ratas lactantes. López M*, Bozal CB, Sánchez LM

69. 9:15 h. DADO DE BAJA POR AUTORES

- 70. 9:30 h. Impacto negativo de la exposición a dexametasona prenatal sobre la formación de los tejidos dentarios coronarios en ratas lactantes. Piña Lugo RM*, Bozal CB, Sánchez LM
- 71. 9:45 h. Conocimiento y Actuación del Odontólogo Argentino ante la Violencia Infantil: Estudio Multicéntrico. Bertolino M, Altamura G, Anchava J, Argentieri A, Baggini C, Biondi AM, Cortese SG, Fernández C, Fiallega DC, Flores Castañeda M, Fridman D,

- Guitelman I, Ienco M, Medina EL, Nafissi C, Paván VH, Preliasco M, Toscano M, Vera Cucchiaro V, Gigena PC*
- 72. **10:00 h. La voz de los escolares en las prácticas de salud bucal: estudio cualitativo.** Agüero NE*, Gigena PC, Ponce A, Cano V, Marengo A, Ziem J, Giraudo C, Vera Cucchiaro V, Franchisena M, Fernández A, Cisneros Casanovas NA, Bella MI
- 73. 10:15 h. Frecuencia y severidad de anquiloglosia en niños entre 36 y 83 meses de edad. Nafissi C*, Fernández C, Diez E, Zavala W

Área: ATM Y DOLOR OROFACIAL

Presidente: Fontanetti Pablo Alejandro

Secretario: Wuscovi Luis

- 74. 11:00 h. Estudio analítico de la morfometría del tercer molar en relación a parámetros craneofaciales. Grifo MB*, Sanchez GA, Amer MAR
- 75. 11:15 h. Expresión de calbindina y gaba en el ganglio trigeminal en un modelo experimental de pulpitis y paracetamol. Yamila Boix Y*, Miyashiro ME, Gamba CA, Ríos H, Canzobre M
- 76. 11:30 h. Dosis de ácido hialurónico que afectan la actividad de la SERCA en músculo masetero. Toma A*, Herrera M, Medina M, Antonenko O, Sanchez G
- 77. **11:45 h. Optimización de la eficacia diagnóstica de articuladores dentales virtuales: Estudio analítico observacional.** Sanchez G*, Tanaka H, Algarin S, Agüero Romero G, Sander B, Toma A
- 78. 12:00 h. Relación entre plegamiento discal y patología ósea condilar en pacientes con luxación discal anterior sin recaptura. De la Cal C*, Ossola CA, Fernández Solari JJ, Rodríguez DA

SÁBADO 1 DE NOVIEMBRE 2025 - 14:30 A 16:30 H

SALA 1 (SALÓN SUM)

Área: EDUCACIÓN ODONTOLÓGICA

Presidente: Bordoni Noemí Secretario: Gigena Pablo

- 79. **14:30 h. COIL en la asignatura Metodología de la Investigación en Salud: resultados preliminares en aprendizajes científicos e interculturales en una cohorte binacional Argentina-Chile.** Fontanetti PA*, Centeno VA, Carletto Korber FP, Giménez Evjanian M, Villalba C, Ceballos Schiavoni A, Carnino Ferreccio ML, Pordomingo BN, Brown Vega C, Aros Rodena JA, Silva Montenegro MJ, Coñuecar Silva S, Parra Ibarra C.
- 80. **14:45** h. Engagement académico en carreras de Salud de la sede Alto Valle-Malle Medio Universidad Nacional de Rio Negro. Cecchi A, Chiacchiarini S, Buglione MB, Laborde MA, Davison MR, Preliasco M*, Bordoni N.

- 81. **15:00 h. Autoeficacia percibida por docentes en Carreras de Salud de Sede Alto Valle-Valle Medio.** Universidad Nacional de Río Negro. Cecchi A, Chiacchiarini S, Buglione MB, Laborde MA, Davison MR, Preliasco M*, Bordoni N.
- 82. **15:15** h. Análisis preliminar de resultados académicos y valoración estudiantil en la primera cohorte de un Ciclo de Nivelación con formato combinado en la carrera de **Odontología de la UNC.** Fontanetti PA*, Cadile MS, Busleiman FJ, De Leonardi G.
- 83. **15:30** h. Motivaciones, expectativas y agotamiento académico en estudiantes de **Odontología.** Culacciati C*, Medici S, Rossi G, Salgado P, Squassi A.
- 84. **15:45 h. Engagement y autoeficacia percibida en docentes de Odontología.** Ventura F*, Lazzati R, Squassi A, Salgado P, Bordoni N.
- 85. **16:00 h. Motivaciones para cursar una asignatura optativa en tres cohortes de estudiantes de Odontología.** Cohen SA*, Sánchez ML, Pérez MB, Galván C, Salgado P, Peralta C, Rodríguez C, D'Eramo L, Squassi A.

SALA 3 (SALÓN DESAYUNADOR)

Área: MICROBIOLOGÍA E INMUNOLOGÍA

Presidente: Salgado Pablo

Secretaria: Casadoumecq Ana Clara

- 86. 14:30 h. Análisis retrospectivo 2014–2024 de los controles biológicos utilizados para la validación del proceso de esterilización en la Cátedra de Microbiología y Parasitología FOUBA. Cires Gonzalez MC*, Cutrera MCP, Salgado PA, Rossi GN.
- 87. **14:45** h. Identificación molecular y prevalencia de especies de Cándida en saliva de personas mayores. Dubois VA*, Cutrera MC, Salgado PA, Taverna CG, Cornejo CF.
- 88. **15:00 h. Dinámica de similitud genética de Streptococcus mutans y Streptococcus sobrinus en infantes en edad preescolar: estudio longitudinal.** Cornejo C*, Squassi A, Gliosca L.
- 89. **15:15 h. Estudio preliminar de la diversidad y composición de la microbiota oral en la gestación.** Dubois VA*, D'Eramo LR, Calo G, Lara BA, Hauk VC, Perez Leiros C, Salgado PA, Squassi AF, Gliosca LA.
- 90. **15:30 h. Salivary Protein Signatures in Type 2 Diabetes Mellitus, Dyslipidemia, and Periodontitis: Insights from the Global Proteome.** Dias Caldeira FI*, Tfaile Corbi SC, Ribeiro Salmon C, Perez Orrico SR, De Souza Bastos A, Xiao Y, Siqueira WL, Scarel-Caminaga RM.

Área: LÁSER Y BIOFOTÓNICA

Presidente: Salgado Pablo

Secretaria: Casadoumecq Ana Clara

91. **15:45 h. Evaluación ex vivo de la efectividad del láser de diodo de 976 nm como desinfectante endodóntico.** Fernández Alemán JE*, Borda B, Conde C, Choque R, Tejerina D, Perez S, Salgado P, Casadoumecq AC, Rodriguez PA.

- 92. **16:00 h. Evaluación clínica de dos protocolos extraorales de fotobiomodulación para la recuperación neurosensorial post 1 mes cirugía ortognática.** Casadoumecq AC*, Fernandez Aleman J, Chaintiou Piorno R, Saizar MA, Rocha P, Herrada MC, Cavalieri J, Carli M, Bagdadi C, Rodriguez PA.
- 93. 16:15 h. Resultados preliminares: impacto del tamaño del spot en la eficacia de la fotobiomodulación con láser de diodo aplicada en el postoperatorio inmediato de la exodoncia de terceros molares inferiores. Herrada MC*, Casadoumecq AC, Saizar MA, Bagdadi C.

PÓSTERES

SALA 2 (SALÓN QUINCHO)

VIERNES 31 DE OCTUBRE - 9 A 10:30 H

Área: MATERIALES DENTALES Y BIOMATERIALES

Veedores: Picca Mariana, Garrofé Analía Beatriz, Lespade Marcela, Mirotti Germán Eugenio, Carvajal Mariana, Busleiman Federico.

- 94. Resistencia adhesiva de una resina compuesta sobre ionómero vítreo convencional mediante diferentes protocolos de adhesión. Rivelli M*, Toledo CN,Sortino V, Molina MJ, Picca M
- 95. Resistencia adhesiva de una resina compuesta sobre silicato de calcio mediante diferentes protocolos de adhesión. Rivelli M*, Lei MA, Márquez GJ, González N, Picca M
- 96. Efecto del tratamiento de superficie en la resistencia adhesiva entre composite y disilicato de litio, con o sin adhesivo universal. Suriaga Aray PA, Molina MJ*, Ferrari BA, Schäfer RF, Garrofe AB, Toledo N, Picca M.
- 97. Comparación del porcentaje de elementos químicos en diferentes resinas compuestas. Garcia Schmitt C*, Kraemer ME, Caballero A, Piconi MC, Lutri MP, Mirotti G, Rozas CA, Sezin M
- 98. **Rugosidad aritmética de resinas compuestas tratadas con diferentes sistemas de acabado y pulido.** Roggio A*, Lutri MP, Piconi MC, Rozas CA, Monserrat N, Mirotti G, Sezin M
- 99. Estudio comparativo de propiedades mecánicas en materiales restauradores bioactivos y fotopolimerizables. Casal MA*, Lespade M, Garrofé A, Biondi AM, Cortese G, Picca M
- 100. Efecto del tratamiento de superficie en la resistencia adhesiva de una resina para restauraciones indirectas obtenidas mediante impresión 3D. Doi Y*, Garrofé A, De Moliner DL, Aredes JE. SE PRESENTA ORAL
- 101. **Análisis comparativo de resistencia a la fractura empleando tres sustitutos dentinarios.** Andrada CJ*, Andrada V, Marcarian L, Lauriola LL, Lezon C, Zaiden S.
- 102. Comparación del diámetro estimado de partículas inorgánicas de diferentes resinas compuestas. Leiva Seleme ME*, Monserrat N, Caballero A, Kraemer ME, Lutri MP, Mirotti G, Rozas CA, Sezin M
- 103. Alteración de la microdureza de resinas compuestas según el protocolo de pulido y el uso de modelador resinoso. Toledo CN, Lei MA*, Rivelli M, Picca M.
- 104. Evaluación de la microdureza superficial de tres tipos de resina compuesta según el protocolo de pulido. Toledo CN, Rivelli M*, Suriaga P, Picca M
- 105. Evaluación de la alteración de color según el protocolo de pulido aplicado en resinas compuestas. Toledo CN, Suriaga P,Rivelli M*, Picca M.
- 106. Prevalencia y distribución de Implantes dentales por sextante en pacientes adultos mayores en Córdoba Capital. Loyola González PO*, Oviedo MS, Peccoud SM,

- Bracamonte C, Maurizio M, Berardo S, Lujan RN, Seiler E, Salgado P, Aubia MC, Martinez C, Aredes J.
- 107. **Estudio descriptivo de Pares Oclusales en Personas mayores en Córdoba Capital.**Loyola González PO*, Peccoud SM, Oviedo MS, Maurizio M, Bracamonte C, Berardo S, Lujan RN, Seiler E, Aubia MC, Martinez C, Salgado P, Aredes J.
- 108. **Prevalencia y clasificación de áreas desdentadas en pacientes adultos mayores en Córdoba Capital.** Peccoud SM*, Loyola González PO, Oviedo MS, Bracamonte C, Maurizio M, Berardo S, Lujan RN, Seiler E, Aubia MC, Martinez C, Salgado P, Aredes J.
- 109. Evaluación comparativa del módulo elástico entre dos materiales bioactivos y un material para base que se comercializa como ionómero de vidrio modificado con resina utilizados para protección dentino-pulpar indirecta. Bonnin C, Brasca N, Girardi M, Delgado A*.
- 110. **Análisis de piezas dentarias en adultos mayores en Córdoba Capital.** Peccoud SM*, Maurizio M, Oviedo MS, Seiler E, Bracamonte CG, Berardo S, Luján RN, Loyola González PO, Aubia MC, Martinez CA, Salgado PA, Aredes JE.
- 111. **Análisis histológico "in vivo" de nuevas matrices de colágeno descelularizadas para su uso en ingeniería tisular.** Rodriguez MA, Campos F, Ferrer B, Sorbera L, Chato-Astraín J, Alaminos M, Rodríguez IA*
- 112. Biocompatibilidad y biodegradabilidad de un derivado tisular de colágeno de fascia lata liofilizado en un modelo experimental in vivo de ratas Wistar a 7 y 30 días. Rodriguez IA*, Ferrer MB, Mascolo GG, Colqui AM, Ontivero LI, Sorbera Ferrer L, Lacerra C, Sobrero C, Gallará RV
- 113. Regeneración ósea post extracción dentaria mediante el uso de matriz ósea en polvo potenciada con fibrina rica en plaquetas. Resultados preliminares. Calabrese O, Zorrilla IM, Fontana S, Fernandez J, Gagey L*, Aballay JC, Kaplan MJ, Belotti R, Sorbero C, Lacerra C, Plavnik LM
- 113A. Análisis de biomineralización y biocompatibilidad de cementos a base de silicato de calcio en un modelo experimental de ratas. Estudio Preliminar. Ontivero LI*, Molina G, Ferrer B, Sorbera L, Dorado G, Rodriguez IA.

Área: ENDODONCIA

Veedores: Picca Mariana, Garrofé Analía Beatriz, Lespade Marcela, Mirotti Germán Eugenio, Carvajal Mariana, Busleiman Federico.

- 114. Resultados de la aplicación de terapia de pulpa vital en piezas dentarias permanentes: estudio en la Cátedra de Endodoncia (EndoUBA). Lee LT*, Miklaszewski E, Cabirta ML, Santillán ME, Salguero V, Biondi AM, Rodríguez PA.
- 115. Caracterización de traumatismos dentarios durante 2021: Una mirada endodóntica. Miklaszewski E*, Cabirta L, Lee LT, Santillán E, Barbiero R, Martinez P, Rodríguez PA.

VIERNES 31 DE OCTUBRE - 10:45 A 12 H

Área: CARIOLOGÍA Y EPIDEMIOLOGÍA

Veedores: Fernández Carlos Rodolfo, Medici Silvia, Sorozábal Ana Laura, Pavan Verónica Herminia, Lama María Anabel, Bertolino Depratti María Mariana, Rossi Glenda, Tapia Gabriel, Fridman Diana Elizabeth, Consoli Lizzi Eugenia Pilar, Cohen Alberto, Cortese Silvina, D´Eramo Luciana y Ulloque Jorgelina.

- 116. Estudio exploratorio de la asociación entre serotipos de Streptococcus mutans y caries en niños de Córdoba. Plum L, González-Ittig RE, Gimenez Evjanian M*, Carletto-Körber FPM
- 117. Adherencia bacteriana sobre materiales de restauración: comparación y evaluación de dos técnicas. Silvera Estévez DE*, Tineo S, Álvarez Giménez JM, Saravia MF
- 118. Evaluación comparativa de dureza en lesiones de esmalte hipomineralizado in vitro tratadas con resinas infiltrantes y agentes remineralizantes. Lei MA*, Rivelli M, Marquez JG, González N, Toledo CN, Salgado P, Picca M
- 119. Sobrevida de restauraciones directas en pacientes con discapacidad: 1 año de seguimiento. Zar M*, Torres D, Navarro L, Carvajal MC, Migliore M, Dipp Lizondo D, Molina G.
- 120. Estudio comparativo de la eficacia y seguridad de diferentes anestésicos locales en pacientes hipertensos controlados. Zorrilla IM*, Francia C, Piemonte E
- 121. Conductas y actitudes en salud bucal y la calidad de vida oral en adultos argentinos. Rhys K*, Sánches Urbano R, Montes Chañi E
- 122. **Análisis de la composición físico química en busca de flúor en el agua de Entre Ríos.** Rhys K*, Heissemberg F, Ascaino L, Bishop G, Grubert D.
- 123. Percepción de los estudiantes de odontología sobre la relación odontólogo paciente. Rhys K*, Pujante B, Zovich J, Peliccioni P.
- 124. Salud bucodental en adolescentes: estudio sobre conocimientos, actitudes y prácticas de cuidado. Isla C, Gallardo F*, Cornejo LS, Carletto Körber FPM
- 125. Prevalencia, características y asociación entre Hipomineralización Molar Incisivo, Hipomineralización de Segundos Molares Primarios e Hipomineralización en Otras Piezas Dentarias en niños de 8 a 11 años de la República Argentina durante 2024. Rocamundi MR*, Ulloque MJ, Vera MA, Zarza JA, Colombo YA
- 126. **Conocimiento de HPV en estudiantes de odontología.** Rhys K*, Zovich J, Pujante B, Pelliccioni P.
- 127. Autopercepción en la calidad de vida de los pacientes que asisten a la Cátedra de Prostodoncia IV "B" FOUNC relacionado con la salud bucal. Loyola González PO*, Elizondo E, Oviedo S, Maurizio M, Bracamonte C, Lujan R, Peccoud S, Rugani N, Berardo S, Seiler E.
- 128. Alfabetización en salud y equidad en salud bucal: caracterización de pacientes que asisten a un centro odontológico universitario argentino. Casellas NR*, Zemel M, Cueto S, Girardi P, Nuñez Peña J, Serrani E, Pirro MF, Cillis J, Di Scala T, Giacoboni G, Fernandez Parra L, Cillis S

- 129. Conocimientos, actitudes y percepciones de odontólogos sobre la salud bucal de personas mayores. Ferrarini S*, Salgado P, Aredes J, Squassi A, Cornejo C.
- 130. Barreras y facilitadores para el cepillado dental en niños menores de 5 años: estudio preliminar. Cornejo C*, Alvaredo G, Leyes C, Kusevitzky M, Squassi A, Klemonskis G
- 131. Identificación de factores de riesgo de caries por entrevista en dos Facultades de Odontología en Argentina y España. Oña JA*, Casado Gómez I, Martin A, Mourelle Martínez MR, Martín Morales JF, Vazquez FR, Gallardo López NE, Saavedra Marban G, Carletto Körber FPM.
- 132. **Relación entre lesiones cariosas y variantes genotípicas AMELX rs17878486 y ENAM rs2609428: resultados preliminares.** Carnino Ferreccio ML, Bázaez GM, Gutvay AV, Magliano RO, Brunotto M, Busleiman F*
- 133. Acciones de cuidado en salud bucal y nutrición para personas mayores, (de la extensión a la investigación). Isla C, De la Vega D, Escudero Cantcheff C*
- 134. Determinación de los niveles de metaloproteinasas endógenas en relación a la progresión de caries según la clasificación de FDI: estudio preliminar. Mirotti G*, Lutri MP, Monserrat N, Caballero A, Kraemer ME, Piconi MC, Roggio A, Delgado A, Sezin M. Centeno V
- 135. **Comparación de estado de salud bucal entre pacientes sin y con TCA.** Juárez T, Uasuf MM, Alonso M, López R, Chaya R, Granado A, Castillo V, Sotomayor L, Páez R, Guerrero J, Iturre S*

Área: EDUCACIÓN ODONTOLÓGICA

Veedores: Fernández Carlos Rodolfo, Medici Silvia, Sorozábal Ana Laura, Pavan Verónica Herminia, Lama María Anabel, Bertolino Depratti María Mariana, Rossi Glenda, Tapia Gabriel, Fridman Diana Elizabeth, Consoli Lizzi Eugenia Pilar, Cohen Alberto, Cortese Silvina, D´Eramo Luciana y Ulloque Jorgelina.

- 136. Enfoques de aprendizaje y factores asociados en estudiantes de la Facultad de Odontología de la Universidad Nacional de Córdoba (cohorte 2025). Gigena PC*, Berberian C, Cisneros MV, Martínez LD, Rhys K, Tomasi RA.
- 137. **Enfoques de Aprendizaje en estudiantes de los dos últimos años de la Facultad de Odontología de la Universidad de Buenos Aires.** Mendel NB*, Freiberg Hoffmann A, Fuks AJ, Fernandez MG.
- 138. Enfoque de aprendizaje en los trayectos formativos iniciales y finales en estudiantes de la carrera de Odontología de la Universidad Nacional de Rio Negro. Preliasco M*, Davison MR.
- 139. **Análisis de los estilos de aprendizaje en estudiantes de primer año de la carrera de Odontología.** Tomas LJ*, Tomas PM, Pollicina LM, Azzarri MJ, Vijandi VR, Pablo GF, Jordan S, Picotti DL, Moure MP, Escobar Milesi PA.
- 140. Evaluación de la permanencia de estudiantes de la Carrera de Odontología de la Universidad Nacional de Rio Negro (UNRN): Estudio Preliminar. Preliasco M*, Davison A, Davison MR, Renou SJ.

- 141. Propuesta de dictado de la asignatura Anatomía Patológica con modalidad intensiva, dentro del programa de fortalecimiento académico FO-UNC. Rocamundi MR*, Ferreyra de Prato RS.
- 142. Resiliencia y empatía. Niveles y relación en estudiantes de Odontología de la Universidad Católica DE Córdoba. Argentina. Ulloque MJ*, Villalba SB, Foscarini MG, Ouinteros S.
- 143. **Descubriendo el microscopio: un viaje del aula a la cotidianidad. Experiencia extensionista-educativa.** Plavnik LM*, Fernández JE, Fontana S, Gómez Rosso MA, Hernández A, Hernández L, Cetrari R, Manzur J, Oviedo MA, Carballo M, Salcedo Giacossa A, Lucero R.

Área: ODONTOPEDIATRÍA Y ORTODONCIA

Veedores: Fernández Carlos Rodolfo, Medici Silvia, Sorozábal Ana Laura, Pavan Verónica Herminia, Lama María Anabel, Bertolino Depratti María Mariana, Rossi Glenda, Tapia Gabriel, Fridman Diana Elizabeth, Consoli Lizzi Eugenia Pilar, Cohen Alberto, Cortese Silvina, D´Eramo Luciana y Ulloque Jorgelina.

- 144. Comparación clínica de dos métodos de remoción de caries en Odontopediatría.

 Baggini C*, Fridman D
- 145. **Eficacia de mantenedores de espacio en pacientes pediátricos.** Melian KA*, Guanzini M, Ferrante A, Graue F, Biondi A, Cortese S
- 146. Análisis de mantenedores de espacio en pacientes con pérdidas prematuras de dientes primarios. Hwang D*, Carrizo M, Mendel N, Fovakis K, Cortese S, Biondi A
- 147. **Desempeño clínico de un alkasite en molares permanentes con Hipomineralización Molar.** Martínez KL*, Jimena Anchava J, Biondi AM, Cortese SG
- 148. Validación histológica de un modelo de ortodoncia experimental de fácil diseño y aplicación para el maxilar superior de la rata. Zavala E*, Yamauchi M, Barcenas C, Ahmadi M, Bozal C
- 149. **Variabilidad Morfológica en Cráneos Guanches mediante Craneotrigonometría.** Serafino MB*, Méndez MG, Mayocchi KA
- 150. Relación de amplitud de vías aéreas según cefalograma de McNamara con el overbite y overjet según Ricketts. Azcona V*, Nart LJ, Trigo Humarán MM, Reynoso A, De Luca M, Sanchis S, Di Bartolo ML, Bielli MV, Castro Harries L, Figueroa L, Calvo S, Benitez LE, Salgado P, Vázquez D
- 151. **Estudio histológico de la actividad osteoclástica durante el movimiento dentario ortodóncico en ratas hipercolesterolemicas.** Reboredo GL*, Galves FS, Bárcenas CA, Cacciagiu L, De Lucca RC, Rodríguez J.
- 152. **Erosión dentaria. efecto in vitro del ibuprofeno en piezas primarias.** Faini ME*, Garbarino C, Teicher C, Nannini A, Lezcano C, Vitelleschi M, Simonetta G.
- 153. Alteraciones eruptivas en dentición permanente a causa de piezas supernumerarias en pacientes pediátricos. Guanzini M*, Ienco M, Safuri MF, Pavan V
- 154. Conocimiento sobre fluoruros e higiene bucal en acompañantes de pacientes pediátricos de COIN-FOUBA. Altamura G*, Toscano M.

- 155. **Estado dentario y riesgo cariogénico en niños de 0 a 2 años.** Fernandez MG*, Fuks AJ, Matyus VM, Levy TN, Mendel NB
- 156. Alteraciones del ciclo vital del diente en serie primaria y permanente presentes en una población de la Ciudad de Córdoba. Resultados preliminares. Ochonga GE*, Castro MC, Aramayo ML, Morales L, Marini HD.
- 157. Prevalencia de anomalías dentarias en pacientes pediátricos asistentes a la Cátedra de Odontopediatría "A". Castro MC*, Gimenez Evjanian M, Quintana SV, Frola Lago G, Gorki AK, Yañez GM, Cortes M, Carletto-Körber FPM
- 158. **Desarrollo de un instrumento gráfico de valoración de las condiciones eruptivas de la dentición permanente. Estudio formométrico.** Ochonga GE*, Rugani ML, Damiani PM, Albornoz CI, Villalba SB, Rubial S, Martínez MC.
- 159. **Estudio de primeros molares y su relación con el estadio de Nolla en CBCT.** Pujol MH*, Benitez L, Castro Harries L, Inkdevitch P, Molachino R, Nart L, Ramirez MJ, Salgado P, Antoniuk A, Azcona V, Vázquez D
- 160. Pulpotomía en molares primarios con láser diodo de baja intensidad. Estudio preliminar. Zacharczuk GA*, Bernadó DS, Escobar SP, Toscano MA,
- 161. Frecuencia del objetivo primario en los procedimientos endodónticos regenerativos utilizando un nuevo andamiaje. Serie de casos. Estudio preliminar. Moya MA*, Guitelman IC, Martinez KL, Alvarez SA, Acosta S, Rodriguez P
- 162. **Detección de síntomas de SAOS en niños de 3 a 16 años.** Castro Graziani Y*, Prenitune S, Gonzalez N, Jamardo V, Cecenarro B, Babino L, Pavan V
- 163. **Vinculación entre bruxismo de vigilia y desgaste dental en pacientes pediátricos**. Catanzariti MB*, Guitelman IC, lenco M, Fridman DE
- 164. Frecuencia y asociación del Bruxismo de vigilia con la angustia psicológica en pacientes pediátricos. Soliani GN*, Fridman DE, Biondi C, Guitelman IC
- 165. **Evaluación de la función respiratoria en pacientes pediatrico.** Gonzalez N*, Castro Graziani Y*, Prenitune S, Jamardo V, Babino L, Cecenarro B, Pavan V
- 166. Análisis de la deglución con relación a las características anatomofuncionales del espacio orofaríngeo. Cecenarro MB*, Graziani YC, Prenitune S, Gonzalez N, Jamardo V, Babino L. Pavan V
- 166A. **Prevalencia de Hipomineralización Molar en niños de AMBA.** Bertolino M*, Fridman D, Baggini C

VIERNES 31 DE OCTUBRE - 14:30 A 16:30 H

Área: MUCOSA BUCAL

Veedores: Fontana Sebastián, Feser Gustavo, Mazzeo Marcelo Adrián, Juárez Rolando Pablo Alejandro, Plavnik Luis Mario y De Lucca Romina.

167. Efecto quimioprotector de melatonina en mucosa yugal de ratas wistar en un modelo experimental de mucositis inducida. Estudio preliminar. Rios D*, Morelatto RA, Rivoira MA, Porta DJ, Mazzeo MA, Bachmeier E

168. Análisis preliminar del efecto dosis y tiempo-dependiente de vitamina D y NaF sobre la viabilidad de queratinocitos humanos normales HaCaT. González Segura I*, Chesta M, Brunotto M, Centeno V.

Área: GLÁNDULAS SALIVALES

Veedores: Fontana Sebastián, Feser Gustavo, Mazzeo Marcelo Adrián, Juárez Rolando Pablo Alejandro, Plavnik Luis Mario y De Lucca Romina.

169. Impacto de terapias antitumorales sobre marcadores de estrés oxidativo en glándula Submandibular de ratas Wistar. Dubersarsky CG*, Porta DJ, Rivoira MA, Bachmeier E, Mazzeo MA.

Área: TEJIDOS DENTARIOS Y PERIODONTALES

Veedores: Fontana Sebastián, Feser Gustavo, Mazzeo Marcelo Adrián, Juárez Rolando Pablo Alejandro, Plavnik Luis Mario y De Lucca Romina.

- 170. Análisis composicional del tejido dentinario en relación a la ingesta de micronutrientes en adultos jóvenes de Córdoba, Argentina. Rocamundi MR, Macagno G, Juan RB, Viotto JO, Corominas OS, Menutti L, Monteleone P, Rubio S, Orozco Arcerito JI, Bono MA, Román MD, Baró MA*.
- 171. **Tratamiento con fitocannabinoides atenúa la pérdida ósea asociada a periodontitis.** Astrauskas JI*, Rodas J, Nuñez F, Ossola C, Fernandez Solari J.
- 172. Caracterización del sistema endocannabinoide en células mesenquimales periodontales humanas. Dmytrenko G, Salassa BN, Murillo M, Granese AM, Fader Kaiser CM, Farina M, Fernandez Solari J, Martinez MP*, Correa F, De Laurentiis A.
- 173. **Hiposalivación y consistencia dietaría: repercusión en el sistema estomatognático y reborde alveolar post exodoncia en ratas.** Astrauskas JI*, Troncoso GR, Bozzini C, Fernandez Solari J, Mohn CE.
- 174. Manifestaciones secundarias de la periodontitis experimental con el tratamiento sobre el sistema endocannabinoide. Ossola CA*, Domínguez Walsh A, Bozal C, De Lucca RC, Fernández Solari J.
- 175. Eficacia y estabilidad de las frenectomías linguales realizadas con laser de diodo. informe preliminar. Morello F, Ramuno LArchenti Y*, Morello F, Ramuno L, Antuña V, Barros A, Feser G, Funosas E.
- 176. **Impacto de la enfermedad periodontal en el rendimiento deportivo.** Pardini G*, Brusca MI, Gambetta V, Genero S, Castillo E, Tecca A, Garzon ML.
- 177. Terapia periodontal no quirúrgica de las enfermedades periodontales estadio III y IV. Alcances de una nueva modalidad de tratamiento. Yamila Archenti Y*, Gianfrancesco R, Decco J, Boccio I, Feser G, Funosas E
- 178. Prevalencia de anomalías de desarrollo en radiografías seriadas de la Cátedra de Diagnóstico por Imágenes FOUBA. Loiacono R*, Trigo Humaran M, Vázquez D, Salgado P.

- 179. **Distribución de edentulismo en adultos mayores usuarios del sistema público de salud CABA: análisis en radiografías panorámicas.** Zabala AF*, Gomez A, Aubia MC, Martinez CA, Salgado PA, Vazquez DJ, Aredes JE
- 180. Estimación de la funcionalidad masticatoria mediante radiografía panorámica en adultos mayores: análisis de pares oclusales en un hospital público de CABA. Zabala AF*, Gomez A, Aubia MC, Martinez CA, Salgado PA, Vazquez DJ, Aredes JE
- 181. Estado bucodental en adultos mayores atendidos en un servicio de salud pública de CABA: estudio descriptivo mediante diagnóstico por imágenes. Zabala AF*, Gomez A, Aubia MC, Martinez CA, Salgado PA, Vazquez DJ, Aredes JE

VIERNES 31 DE OCTUBRE - 17:00 A 19:00 H

Área: TEJIDO ÓSEO

Veedores: Centeno Viviana Andrea, Martínez María del Pilar, Cornejo Celina Fernanda, Saravia Marta Estela, Loyola González Pablo Octavio y Ferreyra de Prato Ruth Salome.

- 182. Comportamiento diferencial del hueso axial y apendicular en ratas alimentadas con una dieta alta en sal durante el crecimiento. Sosa De Lucca M*, Di Cataldo S, Lopez Quispe E, Franzoni M, Bozzini C, Orzuza R, De Lucca RC, Cacciagiu L, Friedman S, Miksztowickz V.
- 183. Efecto de la hipofunción tiroidea inducida por metimazol sobre las propiedades biomecánicas de la tibia con implante laminar oseointegrado en ratas: estudio preliminar. Peccoud SM*, Centeno V, Filsinger A, Croharé L.
- 184. **Respuesta mandibular y de los tejidos periodontales a la exposición subcrónica de contaminantes aéreos en ratas desnutridas.** Bozal C, Bozzini C, Masci I,Gorrini A, Menegatti T, Aguero Romero A, Kurtz M, Tasat D, Lezon C*.
- 185. Regeneración ósea de alveolos post-extracción con aloinjertos y fibrina rica en plaquetas. Estudio experimental. Fontana S*, Fernández J, Gómez Rosso A, Oviedo MA, Hernández LF, Calabrese O, Zorrilla MI, Plavnik LM.
- 186. Evaluación Clínica de la Técnica de Raíz Sumergida (TRS) y Extracción Atraumática (Ex. A) en alvéolos post extracción (APEx). Díaz SA*, Jamal MV, Schemberger V, Pastorino N, Juarez J, Missana L.
- 187. **Determinación del biotipo facial mediante el índice de Vert.** Roschuk MS*, Sánchez AE, Bonzi IMA, Gómez A, Nart LJ, De Luca MA, Cornes WD, Coiro CY, Vazquez DJ.
- 188. Evaluación cefalométrica de las características esqueletales de la maloclusión clase III. Roschuk MS*, Sánchez AE, Bonzi IMA, Gómez A, Nart LJ, De Luca MA, Cornes WD, Coiro CY, Vazquez DJ.
- 189. **Prevalencia de mordida abierta esqueletal en pacientes con biotipo dolicofacial.**Roschuk MS*, Sánchez AE, Bonzi IMA, Gómez A, Nart LJ, De Luca MA, Cornes WD, Coiro CY, Vazquez DJ.
- 190. **Estudio de Primeros molares y su relación con el seno maxilar en CBCT en pacientes de 8 a 11 años.** Pujol MH*, Benítez LE, Hiacellay A, Indkevitch P, Harries LC, Nart LJ, Salgado P, Hiacelay A, Velazquez L, Vázquez D.

- 191. **Prevalencia de causas de piezas retenidas.** Pujol MH*, Benítez LE, Camilli C, Harries LC, Indkevitch P, Nart LJ, Subiran B, Salgado P, Serafina J, Alario, S, Vázquez D.
- 192. Concordancia inter-observadores en el diagnóstico de patologías óseas de los maxilares y anomalías del desarrollo en radiográficas panorámicas. Iturre S*, Jorrat M, Carino S.
- 193. Prevalencia de anomalías dentarias en imágenes panorámicas en San Miguel de Tucumán. Jorrat M*, Aragon H, Iturre S.
- 194. **Prevalencia de radix molaris en molares mandibulares.** Azcona V*, Coiro CY, Bonzi IMA, Cornes WD, Gómez A, Vazquez LP, Vazquez DJ
- 195. Respuesta reparativa y cambios dimensionales del alvéolo post-exodoncia tras aloinjerto con o sin protección: estudio preliminar. Aguilar Porta M, Burelli MP, Urdapilleta M, Gómez MV, Renou SJ*, Olmedo DG.

Área: MICROBIOLOGÍA E INMUNOLOGÍA

Veedores: Centeno Viviana Andrea, Martínez María del Pilar, Cornejo Celina Fernanda, Saravia Marta Estela, Loyola González Pablo Octavio y Ferreyra de Prato Ruth Salome.

- 196. Estreptococos del grupo mutans: formación de polisacáridos extracelulares relacionado con la incubación. Tineo S*, Álvarez Giménez JM, Hillen NE, Cabrera E, Saravia ME
- 197. **Evaluación microbiológica del agua en unidades dentales.** Álvarez Giménez JM, Tineo S*, Dávila E, Zalduendo M, Saravia ME.
- 198. Riesgo de Colonización de Candida bucal en pacientes con artritis reumatoidea bajo tratamiento antiinflamatorio. Perez YA*, Brusca MI, Felkar S, Garzon ML, lewtuchowicz VM.
- 199. **Micobioma bucal en pacientes con cáncer de mama bajo terapia con tamoxifeno o anastrozol.** Juarez JA*, Jewtuchowicz VM, Brusca L, Masso M, Cabrera G, Brusca MI

RESÚMENES LVIII REUNIÓN ANUAL SAIO



01. Estudio anatomoclínico del conducto mandibular para la colocación de implantes.

Flores VY, Sanz AV, Sica Sánchez N, Hernández MA*, Aguirre CA.

Universidad Nacional de Córdoba. Facultad de Odontología.

Introducción:El conducto mandibular (CMb), recorre la mandíbula desde el foramen mandibular hasta la zona de premolares donde se bifurca en conducto mentoniano e incisivo. La descripción de variaciones anatómicas del CMb es escasa en la literatura científica. Los detalles anatómicos, pueden observarse en una tomografía computarizada de haz cónico (CBCT). La detección de las variantes anatómicas del CMb y sus ramas, es de importancia en la planificación para la colocación de implantes dentales y evitar disturbios sensoriales y accidentes neuro-vasculares.

Objetivo/s: El objetivo de esta investigación es evaluar las características y variabilidad del conducto mandibular y sus ramas terminales, según el sexo y la edad en pacientes que necesitan una rehabilitación bucal con implantes dentales.

Materiales y Métodos: Este es un proyecto observacional, descriptivo y retrospectivo de 32 imágenes CBCT, en pacientes de ambos sexos, entre 18 y 65 años que necesitaban una rehabilitación bucal con implantes dentales. Con aprobación del Comité Académico de Investigación y Comité Institucional de Ética en Investigación en Salud. Las mediciones se efectuaron utilizando el programa Image Pro-Plus 4.5. El análisis estadístico se ha realizado mediante software SPSS 15. Significación estadística p<0,05.

Resultados: Los resultados fueron de 32 hemimandíbulas. Las dimensiones de las estructuras anatómicas se describen mediante valores de tendencia central y de dispersión (media ± desviación estándar): La tasa de ocurrencia de doble foramen mentoniano fue del 3,1% La tasa de conductos accesorios en el sector anterior 6,25%. La ubicación frecuente del foramen mentoniano fue en proximidad al ápice del 2PM (75,0%), un 18,8% más próximo al 1PM y ocasionalmente se ubicó hacia el 1M (6,3%), especialmente en mujeres.

Conclusión/es: Estos datos confirman la variabilidad del conducto mandibular y sus ramas, en relación a edad y sexo de los involucrados en el estudio. Es aconsejable ampliar la muestra para obtener datos más precisos.

Palabras clave: Conducto Mandibular; Implantología; Mediciones Óseas; CBCT.

Financiamiento: SECyT-PIDTA.

02. Modelo experimental noble de osteonecrosis de los maxilares asociada a medicamentos (ONAM).

Nervegna MT*, Willems C, Bárcenas CA, Lacave M, Sánchez LM.

Cátedra de Histología y Embriología, Facultad de Odontología, Universidad de Buenos Aires.

Introducción: Dado que el desarrollo de modelos experimentales de investigación traslacional de ONAM es controversial y escaso, nuestro equipo de trabajo ha puesto a punto un modelo experimental en ratas Wistar cuyos resultados cualitativos fueron previamente presentados (SAIO 2024).

Objetivo/s: El objetivo del presente trabajo fue analizar histológica e histomorfométricamente los efectos de ONAM y concluir con el desarrollo de la puesta a punto del modelo experimental.

Materiales y Métodos: Se utilizaron 14 Ratas Wistar macho de 3 meses de edad divididas en 4 grupos: Control (C) n=5, Dexamentasona (DX) n=4, Zoledronato (ZOL) n=4 y DX+ ZOL n=5. Las drogas fueron administradas de la siguiente manera: DX 1mg/kg diario subcutáneo durante 3 semanas desde inicio y ZOL: 0.1mg/kg subcutáneo 1 vez por semana desde el inicio hasta 5° semana. En la 3° semana se practicó la exodoncia del 2° molar inferior derecho y el fresado del alvéolo post exodoncia. En la 8° semana se realizó la eutanasia de todos los animales y se resecaron las mandíbulas las cuales fueron procesadas por descalcificación. Sobre microfotografías de cortes M-D, se estableció un área de interés (ROI) en el sitio de la exodoncia, en la cual se evaluaron los siguientes parámetros histomorfométricos: volumen óseo (BV/TV)(%), lagunas osteocíticas vacías/totales (LoV/T) y densidad de lagunas vacías/BV (∂LoV/BV). Los datos fueron analizados con el Test de ANOVA de una vía y Bonferroni-Dunnet post hoc, considerando una p<0.05 estadísticamente significativa.

Resultados: BV/TV %: C:70,74±15,91 DX:44,82±4,5 ZOL:44,8±20,6 DX+ZOL:67,39±9,82. LoV/T: C:0 DX:0 ZOL:0,54±0,48 DX+ZOL:0,87±0,12*. ∂LoV/BV: C:0 DX:0 ZOL:0,49±0,44/mm2 DX+ ZOL:0,74±0,24/mm2*

Conclusión/es: Considerando los resultados cuali y cuantitativos obtenidos, los animales del grupo ZOL+DX mostraron un mayor número de criterios histológicos compatibles con ONAM que el resto de los grupos. Estos hallazgos permiten concluir que este modelo experimental cumple con los criterios histopatológicos descriptos en la bibliografía de ONAM en roedores, representando así un modelo experimental noble para el estudio de la fisiopatología y tratamientos de la misma.

Palabras clave: osteonecrosis, bifosfonatos, maxilares, modelo experimental.

03.Estudio preliminar de la aplicación de un modelo experimental hormonal sistémico masculinizante/desfeminizante sobre ratas Wistar.

Patitucci WE*, Bárcenas CA, Sánchez LM.

Cátedra de Histología y Embriología, Facultad de Odontología, Universidad de Buenos Aires.

Introducción: La terapia hormonal de afirmación del género (THAG) consiste en el bloqueo o suplementación farmacológica de la hormona para la regresión o inhibición de características sexuales secundarias no deseadas y la inducción de las del género afirmado de una persona trans. Dado que THAG es prolongada, es esencial evaluar su impacto a largo plazo a través del desarrollo de modelos animales experimentales.

Objetivo/s: Teniendo en cuenta los reportados, el objetivo de este estudio fue analizar histológicamente los efectos de la implementación de un modelo masculinizante/desfeminizante en órganos blandos y óseos de ratas Wistar adultas.

Materiales y Métodos: Se utilizaron 8 ratas Wistar hembra de 2 meses de edad asignadas aleatoriamente a grupos: experimental (E), que recibieron por 6 semanas una inyección subcutánea bisemanal de 0,45 mg/100-µL de enantano de testosterona y control (C), que recibieron aceite de girasol, en las mismas condiciones que E. Tanto antes del inicio de THAG como previa eutanasia de los animales, se realizaron determinaciones séricas hormonales. Se obtuvieron pesos semanales y luego de la eutanasia se resecaron ovarios, riñones, tibias y mandíbulas para su estudio histológico posterior. Los datos fueron analizados con el Test t de Student, considerando una p<0.05 estadísticamente significativa.

Resultados: Desde la 2º semana de THAG, el peso del grupo E resultó significativamente mayor que el del C (Inicio:C:225,75±2,87 E:221,25±7,63 2º semana:C:238,75±5,38 E:256,25±6,24* Eutanasia:C:271,25±20,81 E: 347,25±8,02g*). Al finalizar la THAG en el grupo E con respecto al C, los valores séricos de estradiol fueron significativamente menores (C:41±1,41 E: 32,25±6,18pg/mL*) y los de testosterona (C:0,3±0,12 E: 14,8±4,07ng/mL*) y el número de folículos ováricos fueron significativamente mayores (C:6,5±0,58 E: 15,75±2,63*). En el grupo E con respecto al C se observó histológicamente mayor vascularización y número de corpúsculos renales corticales, mayor tamaño, vascularización y número de folículos ováricos activos y mayor densidad de hueso esponjoso tanto en maxilar inferior como en tibias en las cuales además se encontró mayor espesor de cartílago de crecimiento.

Conclusión/es: Los resultados obtenidos permiten validar el modelo experimental masculinizante/feminizante a largo plazo en ratas Wistar hembra.

Res. CICUAL FOUBA: 005/25

Palabras clave: THAG, tejido óseo, modelo experimental.

04.Periodontitis en gestantes: Asociación entre el Grupo rojo de Sokransky y el aumento sistémico de proteína C reactiva.

Karaben VE*, Bernachea D, Rivero MI, Matiauda Sappa N, Silva Reis A, Britos MR. Facultad de Odontología UNNE.

Introducción: La periodontitis es una enfermedad crónica vinculada a biopelícula subgingival disbiótica que, durante el embarazo, constituye un riesgo materno-fetal. La presencia de bacterias periodonto patógenas se asocian a inflamación sistémica, reflejada en el aumento de proteína C reactiva.

Objetivo/s: Analizar la relación entre la presencia del grupo rojo de Socransky en biopelícula subgingival y el aumento sistémico de proteína C reactiva en gestantes con periodontitis.

Materiales y Métodos: Estudio observacional, analítico de corte transversal. Muestreo no probabilístico por conveniencia. Participaron 50 gestantes en el segundo trimestre del Servicio de Ginecología y Obstetricia del Hospital Ángela Llano de Corrientes que cumplieron criterios de inclusión y dieron su consentimiento informado. La periodontitis se clasificó según criterios Papapanou y col, se tomaron muestras de biopelícula de dos sitios con mayor profundidad al sondaje. El grupo rojo se detectó por PCR multiplex. Los niveles séricos de proteína C reactiva fueron determinados mediante el método inmunoturbidimétrico de la Linea Turbitest AA (Wiener Lab). El punto de corte correspondiente al valor máximo de normalidad hasta 5.0 mg/L se estableció conforme a los valores de referencia definidos por dicha metodología y el reactivo empleado. Resultados: El 74% de las gestantes evaluadas presentó periodontitis 22% grado I, 34% grado II y 18% grado III. El grupo rojo no se detectó en periodontitis grado I, presentó una frecuencia del 12% en grado II y del 100% en grado III. El 80% de las pacientes con periodontitis grado III mostraron niveles séricos de proteína C reactiva > 5 mg/L. Se observó una asociación estadísticamente significativa entre la presencia del grupo rojo y el aumento sistémico de proteína C reactiva (p < 0,0001).

Conclusión/es: Una proporción considerable de gestantes presentó periodontitis, y la presencia del grupo rojo se asoció con mayor severidad de la enfermedad y niveles elevados de proteína C reactiva, lo que respalda el vínculo entre infección periodontal e inflamación sistémica durante el embarazo. Aunque los resultados no son generalizables por el muestreo no probabilístico, refuerzan la importancia de evaluar la salud periodontal en la atención prenatal como estrategia para mejorar la salud materno-fetal y evidencian el papel de la investigación en la práctica clínica.

Palabras clave: periodontitis, inflamación sistémica, embarazo.

05.Presencia de accesorios y distancias del foramen mentoniano en imágenes de TC Cone Beam.

Agüero DE, Wuscovi LF*, Jorrat MM, Aragon HN.

Cátedra de Radiología, Facultad de Odontología UNT.

Introducción: El conducto mentoniano se relaciona con estructuras anatómicas y dentarias en su desembocadura. El

conocimiento de su ubicación y relación es fundamental para el diagnóstico pre quirúrgico en implantes y cirugías periapicales.

Objetivo/s: El objetivo de este estudio fue evaluar la influencia del sexo, lado mandibular y distancias anatómicas sobre la posición del conducto mentoniano como así también en la presencia o no de accesorios.

Materiales y Métodos: Se estudiaron 81 TC Cone Beam de una muestra aleatoria de individuos de X=25,17 años, de ambos sexos (46 femeninos 35 masculinos) que asistieron al servicio de Diagnóstico por Imágenes de la Cátedra de Radiología de la FOUNT, donde se determinó : 1) presencia de accesorios del foramen mentoniano en ambos sexos. 2) distancias del mentoniano a: a) distal del primer molar b) distal de canino c) borde inferior de la mandíbula d) cresta alveolar. Los datos de la variables sexo y lado en relación a presencia de accesorios y distancias fueron analizados con (Pruebas de χ^2) y (Prueba t para muestras independientes).

Resultados: Se registro prevalencia de 1,2 % de accesorios en sexo femenino, mientras que el 4,9% en los varones, donde no hubo diferencias significativas (p> 0,05) . Con respecto a las medias de las distancias en mm: 1) distal al molar X= 17.28 izquierdo, X= 17.81 derecho; 2) distal del canino X= 7.96 izquierdo y X= 8.33 derecho; 3) a la basilar X=14.81 izquierdo y X=14.76 derecho 4) A la cresta X= 13.88 izquierdo y X= 13.89 derecho. Con respecto al lado no hubo diferencias significativas (p> 0,05), pero si hubo diferencias con respecto al sexo en relación a la basilar (p< 0,05)

Conclusión/es: En la muestra evaluada, la distancia del foramen mentoniano a la basilar evidencia una tendencia variable según el sexo.

Palabras clave: Desembocadura foramen mentoniano. Cone Beam. Presencia accesorios foramen. Distancias. Influencia sexo lado distancias.

Financiamiento: Parcialmente subsidiado por SCAIT.

06. Puesta a punto de un modelo para comparar resolución espacial de diferentes tomógrafos.

Vázquez DJ1*, Nart LJ1, Salgado P2, Aredes J3, De Lucca R4.

Universidad de Buenos Aires. Facultad de Odontología. Cátedra Diagnóstico por Imágenes. 2.Universidad de Buenos Aires. Facultad de Odontología. Odontología Cat. Microbiología y Parasitología. Cat. Odontología Preventiva y Comunitaria; Universidad de Buenos Aires. Instituto de Investigaciones en Salud Pública. 3.Universidad de Buenos Aires. Facultad de Odontología. Cátedra Odontología Integral del Adulto Mayor y Clínica de Prótesis Removible. 4.Universidad de Buenos Aires. Facultad de Odontología. Cátedra Histología.

Objetivo/s: Desarrollar un dispositivo para comparar la capacidad de detectar líneas hipodensas de diferentes tomógrafos Materiales y Métodos: Se utilizó un bloque de compuesto de modelar en el cual se insertan, limas K de calibres 0.06, 0.08, 0.10, 0.15, 0.20 y 0.25 milímetros con tapper 0.02 y calibradas en 10 mm de longitud. Posteriormente las limas son retiradas dejando espacios vacíos correspondientes a su calibre en la longitud estudiada. El dispositivo fue sometido a diferentes tomógrafos: T1: 100 um, 200 um y 400 um; T2 75 um, 150 um y 400 um; y T3 50 um 200 um y 400 um, con sus diferentes resoluciones y se procede a comparar las medidas con las de la microtomografía. En cada tomografía se midió en los cortes longitudinales la profundidad de la impronta notablemente visible y luego se calculó hasta que diámetro conocido de la lima se logra visualizar. Se estableció la relación entre el menor diámetro distinguible y la resolución de la toma (factor de muestreo) Los datos obtenidos fueron analizados con ANOVA de una vía con Post Hoc de Tukey.

Resultados: En alta resolución se obtuvo un factor de muestreo promedio de 2.60 en tomógrafo A, 1.99 en tomógrafo B y 3.04 en tomógrafo C siendo estos valores estadísticamente significativos entre B y C (p=0.025). En media (p=0.001) y baja resolución (p=0.000) el tomógrafo C mostró diferencias significativas con respecto a los otros dos.

Conclusión/es: El modelo desarrollado en este estudio resultó adecuado para comparar el factor de muestreo de diferentes tomógrafos.

Palabras clave: Tomografía, Resolución, Hipodensidad.

07A. Salud Bucal Deteriorada como Factor de Riesgo para Morbilidad en Procedimientos Médico-Quirúrgicos.

Cueto Urbina A¹, Parra-Parra M¹, Camus-Jansson F¹, Sagredo K¹, López de Blanc SA²*.

1.Departamento de salud Pública, Facultad de Odontología Universidad Valparaíso Valparaíso, Chile. 2. Departamento de Patología Bucal, Universidad Nacional de Córdoba, Córdoba, Argentina

Introducción: Numerosos estudios reconocen una conexión entre salud bucal deficiente y enfermedades como el infarto de miocardio, cirrosis, entre otras.

Objetivo/s: Evaluar si la salud bucal deteriorada, es un factor de riesgo para las complicaciones postquirúrgicas en procedimientos médico-quirúrgicos hospitalarios.

Materiales y Métodos: Se estudió a una cohorte de pacientes adultos ingresados al Hospital Carlos Van Buren Valparaíso, con indicación de procedimiento quirúrgico. Luego de informarlos y firmar el consentimiento informado, se le realizó un examen bucodental completo previo a la cirugía. Se recopilaron variables sociodemográficas, consumo de tabaco y alcohol, perfil de salud general, resultados de exámenes sanguíneos y evaluaciones odontológicas detalladas, que incluyeron la medición de índices de placa, cálculo, higiene oral, caries, lesiones de la mucosa oral y daño periodontal. Para la evaluación de la morbilidad, se utilizó el índice POSSUM para proyectar el riesgo. Se registraron los datos postquirúrgicos para clasificar las complicaciones utilizando la escala de Clavien-Dindo. Se implementó un análisis multivariado y el OR para determinar el grado de asociación.

Resultados: La muestra incluyó 200 pacientes, de ambos sexos, edad promedio de 49 años, y nivel educativo variado. Se confirmó un deterioro generalizado de la salud bucal, caracterizado por alta prevalencia de daño periodontal, higiene deficiente y lesiones orales. El 40% de los pacientes presentó complicaciones postquirúrgicas, la mayoría de ellas leves a moderadas, aunque se registraron dos casos fatales. El análisis estadístico demostró que el daño periodontal significativo y una mala higiene oral se asociaron a mayor riesgo de complicaciones. Un modelo multivariado, con variables clínicas de salud bucal y consumo de tabaco y alcohol, mostró una alta precisión predictiva (83,3%), destacando el daño periodontal como un factor de riesgo independiente para la morbilidad postquirúrgica.

Conclusión/es: Este es el primer estudio en Latinoamérica que evidencia que el daño periodontal es un predictor significativo de complicaciones después de la cirugía general.

Palabras clave: cirugía general, cuidados perioperativos, protocolos clínicos, cuidado dental, complicaciones postoperatorias Aprobado por Comité de Ética. No presenta conflicto de interés

07. Perfil inmunológico y biomarcadores en carcinomas escamosos orales.

Mayocchi KA1*, Canzoneri R2, Serafino MB1, Blasetti N1, Tranchida MC3, Ferreri N3, Arcuri A1, Arcuri M1, Echeverría N1, Mayocchi RM1, Sirimarco K1, Levalle MJ1, Molina M1, Darrigran L1, Dominguez M1, Cozzi S4.

1.Laboratorio de Biología Molecular y Biotecnología (LBMB) FOLP. 2. CINIBA (Facultad d Medicina) UNLP. 3. Instituto Spegazzini Facultad de Naturales y Museo UNLP. 4. Hospital Rossi La Plata

Introducción: Los carcinomas a células escamosas orales (CCEO) constituyen un grupo heterogéneo de tumores cuya compleja interacción con el microambiente inmunitario requiere identificar biomarcadores inmunológicos y moleculares que contribuyan a comprender su comportamiento correlacionarlos clínicamente

Objetivo/s: Poner a punto un panel de biomarcadores inmunohistoquímicos y moleculares para el estudio de CCEO y establecer la correlación con características histopatológicas y clínicas.

Materiales y Métodos: Se analizaron 6 biopsias de CCEO obtenidas entre 2024/25 en el Hospital Universitario Odontológico FOLP-UNLP, (2 de lengua, 2 de paladar y 2 retrocomisurales). Se aplicó un panel de marcadores inmunológicos (CD4, CD8, CD15, CD20, CD56 y CD68) y moleculares (Ki67, p16, p53 y Bcl2). La expresión se evaluó mediante un sistema semicuantitativo (0–3+), considerando la intensidad de la tinción y el porcentaje de células positivas. Finalmente, se establecieron correlaciones clínicas preliminares entre la expresión de los biomarcadores y las características histopatológicas observadas.

Resultados: Los resultados mostraron variabilidad en el infiltrado inflamatorio y en la expresión de los biomarcadores. En 4/6 predominó la infiltración de linfocitos T CD8+, asociada a mejor pronóstico. CD15 se expresó focalmente en células poco diferenciadas. CD20 reveló infiltrados de linfocitos B 3/6, sugiriendo potencial relevancia inmunoterapéutica. CD56 se observó en un caso con rasgos neuroendocrinos, mientras que CD68 mostró abundante presencia de MATs, correlacionándose con la progresión. Molecularmente, Ki67 presentó alta actividad proliferativa 3/6, p53 se expresó en 4/6, p16 mostró un patrón heterogéneo (positivo en dos casos) y Bcl2 se detectó en dos.

Conclusión/es: En conclusión, este estudio permitió optimizar un panel de biomarcadores para CCEO y establecer las primeras correlaciones entre diagnóstico, expresión molecular e inmunológica y comportamiento tumoral. Se destaca la necesidad de ampliar la muestra y complementar el análisis de p16 con estudios de genotipificación viral para VPH, a fin de fortalecer la perspectiva traslacional de la investigación.

Palabras clave: inmunidad - cáncer - progresión Financiamiento: Universidad Nacional de La Plata. Aprobado por Comité de Ética. No presenta conflicto de interés

08. Características histopatológicas de la histoplasmosis bucal.

Garaboa GI1*, Allende AA1, Galarza T1, Ferreyra R2, Paparella ML3, Carrizo S4, Belardinelli P1, Morelatto R1, López de Blanc S1.

1.Cátedra de Estomatología B, FOUNC. 2. Cátedra de Anatomía Patológica B, FOUNC. 3. Laboratorio de Patología Quirúrgica, FOUBA. 4. Hospital Rawson de la Provincia de Córdoba, Argentina.

Introducción: Las levaduras del Histoplasma, fagocitadas por las células del sistema fagocítico mononuclear presente en diversos tejidos, son factibles de observarse con hematoxilina-eosina u otras tinciones específicas.

Objetivo/s: Estudiar características histopatológicas en biopsias bucales de histoplasmosis en pacientes VIH-positivos y negativos. Materiales y Métodos: Se diseñó un estudio observacional, descriptivo de 37 muestras biópsicas con diagnóstico de histoplasmosis, 28 VIH-positivos y 9 VIH-negativos (período 1995–2018). Se analizaron caracteres clínicos, locales y sistémicos, e histopatológicos. Las muestras se colorearon con hematoxilina-eosina. La observación microscópica fue realizada a doble ciego. Se describieron frecuencias absolutas/ relativas y se aplicó test Chi-cuadrado.

Resultados: El 76% (n: 28) fue VIH-positivo, 86% fueron masculinos con edad promedio de 36 años; los VIH-negativos fueron todos masculinos y 57 años el promedio de edad. Microscópicamente se observaron "granulomas confluyentes" en el 57% de VIH-negativos y en 23% de los positivos. La mucosa ulcerada (91% de los casos) se acompañó con hiperplasia epitelial (88%). El 70% de las muestras presentaron microorganismos intra y extracelulares independientemente del estado frente al VIH. La fibrosis estuvo presente en un 36%. El infiltrado inflamatorio fue mayor en VIH-positivos, predominando los macrófagos (p=0,04). Además, se observaron abundantes linfocitos, seguidos por macrófagos, neutrófilos, plasmocitos; las células gigantes multinucleadas se observaron en menor cantidad, 38% de los VIH-positivos y en el 57% de los VIH-negativos, sin diferencias significativas.

Conclusión/es: En esta serie de casos de pacientes VIH-positivos y negativos, las muestras biópsicas bucales de histoplasmosis mostraron la presencia de granulomas confluyentes, con diferentes características morfológicas. Todos los preparados mostraron estructuras compatibles con Histoplasma capsulatum y abundante infiltrado a predominio de macrófagos, donde su rol podría estar condicionado por el estado frente al VIH. Esto denota la importancia de aplicar distintas técnicas histoquímicas complementarias además de otras pruebas específicas para arribar al diagnóstico de certeza.

Palabras clave: Histoplasmosis bucal - VIH - Histopatología

Aprobado por Comité de Ética. No presenta conflicto de interés

09. Parámetros de laboratorio y aspectos inmunohistoquímicos en pacientes con histoplasmosis bucal.

Allende AA1*, Garaboa GI1, Coll V1, Ferreyra RS2, Piccioni O3, Belardinelli P1, Morelatto R1, López de Blanc S1. 1.Cátedra de Estomatología B, FOUNC. 2. Cátedra de Anatomía Patológica B, FOUNC. 3. Hospital Rawson de la Prov. de Córdoba, Argentina.

Objetivo/s: Analizar la expresión de inmunomarcadores en el infiltrado inflamatorio de biopsias de pacientes con histoplasmosis bucal y correlacionarlos con parámetros de laboratorio y estado de VIH.

Materiales y Métodos: Estudio retrospectivo, observacional y analítico de parámetros de laboratorio y aspectos inmunohistoquímicos de 37 casos de histoplasmosis bucal, atendidos en el servicio de Estomatología del Hospital Rawson y de la cátedra de Estomatología B (período 1995–2018). Aprobación del CIEIS del Polo Hospitalario, Córdoba. Se excluyeron los casos con datos incompletos. Se efectuó inmunomarcación para determinar la expresión de receptores TLR-2 y TLR-4; CD3, CD4 y CD8; se utilizó el Fotomicroscopio Axioskop 2 MOT (Carl Zeiss®, Jena - Germany) para la observación y cuantificación. Se aplicó test Chi-cuadrado y modelo de regresión lineal.

Resultados: Sobre 37 pacientes, el 89% (n:33) fueron masculinos. Edad promedio 41 años (rango 24-72). El 76% de los pacientes fueron VIH-positivos. En un área total de 0,023 mm2 la media de linfocitos TCD8+ fue menor (27,98 y de 40,09 por campo) en VIH positivos, que en negativos (p=0,04). La expresión de receptores TLR2 fue mayor y la coloración más intensa que la de TLR4; tanto en pacientes VIH+ como en los negativos. Los receptores TLR4 tienen valores más altos en inmunodeprimidos. El análisis de regresión mostró que valores más altos de LTCD3+ en tejido, se asocian a VIH+, valores más bajos de LTCD8, Glóbulos Blancos y Neutrófilos en sangre (p<0,05).

Conclusión/es: Si bien la mayor expresión de receptores TLR2 y 4 demuestran activación de la inmunidad innata en tejido de pacientes con histoplasmosis, esto no necesariamente se traduciría en una respuesta efectiva como lo demuestra el menor recuento de LTCD4 y LTCD8 en tejido de pacientes VIH positivos, lo que evidenció un deterioro de su capacidad para reducir la carga micótica. Más estudios son necesarios para la comprensión de esta micosis.

Palabras clave: Histoplasmosis bucal - VIH - Inmunohistoquímica

Aprobado por Comité de Ética

10. Patrón diurno de biomarcadores salivales en relación con el sueño en estudiantes universitarios.

Juárez RPA*, Ponce JO, Rosales CA, Miño AM, Celia AC.

Laboratorio de Investigaciones Científicas. Facultad de Odontología. UNNE.

Introducción: Existe evidencia científica parcial y controversial sobre la correlación entre el sueño con cortisol (CORTs), inmunoglobulina A (IgAs) y alfa-amilasa salival (AAs).

Objetivo. El objetivo de este estudio fue determinar los patrones diurnos de CORTs, IgAs y AAs en relación con el sueño en estudiantes universitarios.

Materiales y Métodos: Este estudio observacional, descriptivo y transversal incluyó una muestra de 38 estudiantes de odontología de pregrado. Se registraron las características sociodemográficas y se calculó el índice de masa corporal (IMC). Mediante el Índice de Calidad del Sueño de Pittsburgh se determinó: duración del sueño (DS), dificultad para dormirse (DD), número de despertares en la noche (DN), grado de somnolencia (GS) y calidad del sueño (CS). Se recolectaron muestras de saliva no estimulada por la mañana (AM) y por la noche (PM). El análisis de CORTs se realizó mediante inmunoensayo por quimioluminiscencia, IgAs por método inmunoturbidimétrico y AAs por método cinético. Se realizó estadística descriptiva e inferencial.

Resultados: La edad presentó un promedio de 23,95 años. La media del IMC fue de 23,48 \pm 1,47 kg/m2. Los niveles de CORTs (AM: 0,37 \pm 0,15 µg/dl vs. PM: 0,13 \pm 0,04 µg/dl) y de IgAs (AM: 22,68 \pm 4,7 mg/dl vs. PM: 9,7 \pm 2,7 mg/dl) fueron superiores durante la mañana (p=<0,0001). La actividad de AAs fue mayor durante la tarde (PM: 216,66 \pm 76,87 U/ml vs. AM: 75,83 \pm 29,44 U/ml; p=<0,0001). Los estudiantes con una DS de 3-5 h tuvieron niveles mayores de AAs AM, IgAs AM y CORTs PM, mientras que con una DS de 6-8 h mostraron valores mayores de CORTs AM. Se observó correlación significativa entre: 1) CORTs AM-PM con DS, DD, GS, CS; 2) CORTs AM con DN; 3) IgAs AM y AAs AM con DS, DD, DN, GS y CS.

Conclusión/es:Los biomarcadores estudiados presentaron patrones diurnos típicos, pero diferentes relaciones con las variables asociadas al sueño.

Palabras clave. cortisol, inmunoglobulina A, alfa amilasa, saliva, estudiantes universitarios.

Financiamiento: Universidad Nacional del Nordeste

11. Evaluación clínica y radiográfica de la terapia pulpar vital con Biodentine® en dientes permanentes de pacientes pediátricos.

Toscano MA*, Álvarez S, Escobar S, Guitelman I, Martínez K, Melian K, Moya M, Nakazato A, Safuri MF, Zacharczuk G, Biondi AM. Universidad de Buenos Aires. Facultad de Odontología. Cátedra de Odontología Integral Niños. Buenos Aires. Argentina

Introducción: La terapia pulpar vital (VPT) con Biodentine® es una alternativa biológicamente conservadora para preservar la vitalidad en dientes permanentes.

Objetivo/s: Evaluar los resultados clínicos-radiográficos de la VPT con Biodentine® en dientes permanentes de pacientes de 6 a 16 años tratados en la Cátedra de Odontología Integral Niños de FOUBA. Analizar la relación entre el éxito, la edad, la madurez apical y la modalidad terapéutica (recubrimiento pulpar directo o pulpotomía). En los casos exitosos, explorar la asociación entre la respuesta al test de frío y dichas variables. Evaluar la evolución del dolor postoperatorio mediante la escala visual analógica.

Materiales y Métodos: Estudio clínico prospectivo, longitudinal, con 52 dientes permanentes con exposición pulpar por caries. El protocolo incluyó hemostasia con NaOCl 2,5% (<6min), selección de terapéutica según diagnóstico clínico (Wolters et al., 2017), colocación de Biodentine®, restauración y seguimiento hasta 24 meses. Se definió éxito por ausencia de signos clínico-radiográficos patológicos independientemente de la respuesta al frío. Se realizó análisis descriptivo; la supervivencia acumulada se estimó mediante Kaplan–Meier, considerando como censurados los casos sin seguimiento posterior, y se aplicaron prueba exacta de Fisher (p < 0,05), odds ratios (OR) con corrección de Haldane-Anscombe e IC 95 %.

Resultados: Se registraron 3 fracasos (1 precoz y 2 a 24 meses). Solo el 15,4% de la muestra fue controlada 24 meses. La supervivencia acumulada fue del 98,1% (87,4–99,7) hasta 18 meses y 78,5% (41,5–93,5) a 24 meses. No se observaron asociaciones estadísticamente significativas entre fracaso y edad, madurez apical o modalidad de VPT (p=0,55; p=1,00; p=0,40). Entre los 49 éxitos, los no respondedores al test de frío fueron más frecuentes en <10 años (OR=0,03; IC 95% 0,00–0,67; p=0,009) y pulpotomías (OR=0,08; IC 95% 0,01–0,73; p=0,049); sin significancia para madurez apical (p=0,24). Se observó disminución significativa del dolor desde la consulta inicial.

Conclusión/es: En esta muestra, la VPT con Biodentine® demostró alta tasa de éxito, buen control del dolor y supervivencia favorable hasta 24 meses. Edad, madurez apical y modalidad terapéutica no influyeron en el resultado, aunque la no respuesta al test de frío fue más común en menores de 10 años y pulpotomías.

Palabras clave: Niños; Endodoncia; Dentición Permanente.

12. Desempeño clínico de alkasite en molares primarios.

Anchava J*1, Picca M2, Garrofé A2, Cortese S1, Biondi AM1

1. Universidad de Buenos Aires. Facultad de Odontología. Cátedra de Odontología Integral Niños. Buenos Aires, Argentina. 2. Universidad de Buenos Aires. Facultad de Odontología. Cátedra de Materiales Dentales. Buenos Aires, Argentina.

Objetivo/s: Evaluar el desempeño clínico a 12 meses, el tiempo requerido y la dificultad de la técnica de restauraciones atípicas realizadas en molares primarios utilizando un composite bioactivo.

Materiales y Métodos: Estudio clínico longitudinal aprobado por Comité de Ética FOUBA: 011/2024. Tres operadores (Kappa > 0,7), en una muestra por conveniencia, realizaron restauraciones de \geq 2 superficies en piezas vitales (V) y con tratamiento pulpar previo (NV) utilizando Cention N®(Ivoclar Vivadent) con adhesivo 3M Single Bond Universal en esmalte y dentina, y fotopolimerización. Se evaluaron: tiempo requerido, dificultad de la manipulación de Cention y comportamiento clínico. Los tiempos se calcularon según las recomendaciones del fabricante, cronometrando el tiempo requerido para la realización de la restauración. Las restauraciones fueron evaluadas en condiciones basales, 6 y 12 meses siguiendo criterios de RYGE/USPHS modificados (éxito: alfa o bravo; fracaso: charlie o pérdida total). El grado de dificultad de la técnica se analizó utilizando una planilla con escala Likert diseñada para tal fin, utilizada en estudios anteriores, completada por los operadores. Se calcularon estadísticos descriptivos, Chi2 con corrección de Yates (α = 0,05)

Resultados: La muestra incluyó 29 pacientes (edad media 7,28±1,15 años) que recibieron 46 restauraciones, 26 V y 20 NV. El tiempo total promedio fue 135s (inserción del material 20±6,5s; acondicionamiento 35s, mezcla 60s y polimerización 20s). Respecto a la dificultad, para la proporción-mezcla fue 2,33±0,57, para la manipulación-inserción 1,66±0,57. A 6 meses todas las restauraciones fueron alfa, excepto una NV (pérdida total) y una V removida por necrosis pulpar (charlie). A los 12 meses, se evaluaron 22 V y 16 NV; en cada grupo 3 piezas exfoliaron. En NV, 15 restauraciones fueron alfa y 1 charlie. La tasa global de éxito fue de 95,7% a los 6 meses y 94,7% a los 12 meses, sin diferencias significativas entre V y NV (p=0,5898 a 6 meses; p=0,4211 a 12 meses).

Conclusión/es: En esta muestra Cention N utilizado con sistema adhesivo y fotopolimerización mostró muy buen comportamiento en restauraciones de molares primarios de 2 o más superficies a 12 meses. La manipulación resultó sencilla con tiempo de trabajo breve. Serán necesarios controles a más largo plazo.

Palabras clave: Materiales biocompatibles, dentición primaria, restauración dental

13. Características esqueletales de los maxilares en pacientes con Displasia Ectodérmica Hipohidrótica.

lenco M*, Arrebola AG, Giardini A

Facultad de Odontología Universidad de Buenos Aires., Cátedra Odontología Integral Niños

Objetivo/s: Describir las relaciones cefalométricas de los maxilares sagital y vertical de pacientes pediátricos con Displasia Ectodérmica Hipohidrótica (DEH) que concurrieron a la Cátedra de Odontología Integral Niños FOUBA.

Materiales y Métodos: Diseño observacional, retrospectivo y transversal. Criterio de inclusión: Pacientes con diagnóstico de DEH que concurrieron a la Cátedra de Odontología Integral Niños entre 2006 y 2025 con telerradiografías laterales de cráneo. Las variables registradas y analizadas por un solo operador fueron: edad, sexo, presencia de primeros molares permanentes en oclusión, ángulos SNA (posición maxilar superior), SNB (posición maxilar inferior), ANB (Clase esqueletal), suma de ángulos (biotipo), altura facial inferior (Ricketts) y ángulo de la silla de Björk (implantación articular). Los datos se analizaron mediante media, distancia intercuartil, DS, intervalos de confianza 95%, Test Wilcoxon, Chi Cuadrado y Test t Pearson. Resultados: La muestra quedó conformada por 19 pacientes con sus telerradiografías, edad media al momento de la toma radiográfica 9,32 años± 3,62 (R: 4-16 años), 89,47% (66,81-98-79) sexo masculino. La clase III esqueletal se presentó en 84,21% (60,36-96,71), cuya causa fue retrusión del maxilar superior en 43,75%, protrusión inferior en 12,50% y combinación de ambas condiciones en 43,75% de los casos. Se observó asociación significativa (p = 0.023) entre las variables edad y Clase esqueletal. En lo vertical, el 68,42% (43,38-87,50) presentó mordida profunda esqueletal sin diferencias significativas en relación con el soporte a nivel molar (p = 0.932) ni la Clase esqueletal (p=0.221). El biotipo prevalente fue el braquifacial 68,42% (43,38-87,50) cuya tendencia rotacional anterior agrava la relación sagital de los maxilares con el crecimiento. La posición articular se encontró dentro de la norma 123°36′±6°22′y solo un paciente con maxilar inferior protruido (SNB>82) se asoció a implantación articular adelantada (factor a Clase III esqueletal). Conclusión/es: En esta muestra, los pacientes con DEH fueron en su mayoría varones con biotipo braquifacial, retrusión maxilar, Clase III esqueletal e hipodivergencia basal sin influencia del soporte dentario posterior. Palabras clave: Niños, Displasia Ectodérmica, Maxilares.

14. Trabajo prospectivo aleatorizado de Fotobiomodulación y evaluación periodontal y del tiempo demandado para alinear en ortodoncia. Estudio preliminar.

Doi Y^{*1} , Folco A^1 , Casadoumecq AC^2 , Iglesias M^1 , García M^1 , Riguero G^1 , Benítez Rogé S^1 , Cavalieri J^1 , De Laurentiis A^2 , Mohn C^2 , Ahmadi M^1 .

1.Cátedra de Ortodoncia Facultad de Odontología. Universidad de Buenos Aires. 2. Cátedra de Fisiología Facultad de Odontología. Universidad de Buenos Aires.

Introducción: La Fotobiomodulación es útil para estimular la regeneración celular, reducir la inflamación y acelerar la cicatrización de tejidos gingivales, mejorando la salud periodontal y acelera la alineación en el tratamiento de ortodoncia.

Objetivo/s: Comparar la respuesta periodontal, y el tiempo en alinear, en pacientes ortodóncicos tratados con y sin láser (control). Materiales y Métodos: Se estudiaron 17 pacientes de ambos sexos,8 mujeres y 9 varones, de entre 12 y 37 años, con dentición adulta y apiñamiento moderado, que recibieron tratamiento de ortodoncia y fueron distribuidos al azar en grupo láser (L) N=9 y no láser (NOL) N=8, bajo consentimiento informado. Proyecto aprobado por el comité de Ética FOUBA, Se utilizó un dispositivo de Diodo Láser 980nm. (©CHEESE II Gigaa) potencia 0.5 watt – CW, densidad de energía TOTAL por pieza dentaria 10 j/cm2. Terapia láser de baja intensidad (LLLT). Se aplicó de premolar a premolar, semanalmente el primer mes, y luego mensualmente. Se evaluó Profundidad de sondaje (PS) durante el primer mes. Se aplicó el análisis estadístico Wilcoxon y Mann-Whitney U y prueba T para muestras apareadas y no apareadas, considerando diferencias significativas con p<0.05.

Resultados: El grupo L, alineó en 22, 5 semanas+3.8, mientras que el grupo No Láser, en 32,6 semanas + 9,2 con diferencia estadísticamente significativa (p< 0.05).

Se observó una tendencia clínica gíngivoperiodontal favorable en pacientes del Grupo L, (66.7% mejoró vs 25% en NOL) sin dif. estadísticamente significativas. La comparación inter grupo de los valores finales de sondaje, no fue estadísticamente significativa: (p = 0.167).

Conclusión/es: La fotobiomodulación es una opción efectiva para disminuir el tiempo en alinear en pacientes sometidos a tratamiento ortodóncico. Aunque no produjo diferencias significativas en cuanto a la respuesta gíngivoperiodontal, la tendencia clínica favorece al grupo Láser. Debería estudiarse en un grupo con mayor número de pacientes.

Palabras clave: fotobiomodulación - ortodoncia - periodoncia

Financiamiento: Programa de apoyo a la Investigación Integrada en la Facultad de Odontología de la Universidad de Buenos Aires 2019-2024

15. Control de efectos secundarios del distalador de clase II y alineadores in office. Estudio preliminar.

 $Iglesias\ M^{\star 1},\ Sciarrotta\ A^{1},\ García\ M^{1},\ Doi\ Y^{1},\ Solla\ M^{1},\ Calabrese\ D^{1},\ Sánchez\ G^{2},\ De\ la\ Cal\ C^{1},\ Ahmadi\ M^{1},\ Folco\ A^{1}$

1.Cátedra de Ortodoncia, Facultad de Odontología, Universidad de Buenos Aires. 2.Cátedra de Biofísica y Bioestadística de la Facultad de Odontología de la Universidad de Buenos Aires.

Introducción: El uso de elásticos intermaxilares de clase II, produce volcamiento del sector ánteroinferior. El tratamiento con Carriere Motion II (CMA) y alineadores in office en simultáneo, reduce los efectos secundarios del uso de elásticos en la arcada inferior, compensando el torque ánteroinferior en el diseño del tratamiento.

Objetivo/s: Comparar las modificaciones dentoesqueletales y entre ambos maxilares en cefalogramas pre y post tratamiento de clase II con CMA y alineadores.

Materiales y Métodos: Se incluyeron 6 pacientes con Clase II dentaria uni o bilateral que utilizaron 10 aparatos Carriere Motion II (CMA) y alineadores, atendidos en la Cátedra de Ortodoncia FOUBA, de ambos sexos entre 12 y 30 años con dentición permanente y apiñamiento leve a moderado. El proyecto fue aprobado por el comité de Ética y los pacientes firmaron el consentimiento informado.

El tratamiento se diseñó in office con software NemoCast compensando el torque ánteroinferior. Se midieron en Tele Rx inicial y post CMA: SNB, ANB y Ang II en cefalograma de Steiner. Se calculó media, Error Estándar y Test T de Student para muestras apareadas considerando diferencias significativas con p<0.05.

Resultados: SNB disminuyó -01,12° + 0,72 (p=0,13) ANB aumentó 1,45 + 0,30 (p=0,007) aumentando la discrepancia entre las basales, con tendencia a estadísticamente significativo: Angulo II aumenta $0,60^{\circ} + 0,60$ (p=0,3).

Conclusión/es: El tratamiento de la Clase II dentaria y la desalineación, mediante el uso simultáneo del CMA y alineadores in office controla el efecto secundario de aumento del torque de los incisivos inferiores que producen los elásticos de clase II, sin corrección esqueletal de la clase II, que se acentúa.

Palabras clave: maloclusión Clase II, Carriere Motion II, alineadores

16. Modelo de Markov aplicado a tratamientos híbridos con alineadores y distalador de Carriere motion II.

De La Cal C*¹, Iglesias M², Ordoñez JM¹, Folco A², Ahmadi M², Sánchez GA^{1;3}

1.Universidad de Buenos Aires, Facultad de Odontología, Cátedra de Biofísica y Bioestadística. 2.Universidad de Buenos Aires, Facultad de Odontología, Cátedra de Ortodoncia. 3.Instituto de Investigaciones en Salud Pública. Facultad de Ciencias Exactas y Naturales, Instituto del Cálculo. CONICET.

Ortodoficia. 5.instituto de investigaciones en Salud Fublica. Facultad de Ciencias Exactas y Naturales, instituto dei Calculo. CONICET.

Introducción: El componente predictivo de los tratamientos realizados es de vital importancia para el avance de la odontología contemporánea. En este sentido, el modelo de Markov de probabilidad de transición contribuye al desarrollo y programación de algoritmos de progresión de tratamiento en ciencias médicas, y su aplicación en odontología es reciente y prometedora.

Objetivo/s: Determinar la probabilidad de transición de parámetros de interés ortodóntico en tratamientos híbridos con alineadores y distalador de Carriere motion II.

Materiales y Métodos: Investigación analítica observacional in sílico de 6 datasets (ángulos SNB y ANB, angulaciones del primer molar y canino superiores, del primer molar inferior e interincisiva, y la perpendicular a Frankfort que baja por distal del primer molar inferior a PTV- Dist 1erMI a PTV-) durante una transición de 6 meses. Se construyó la matriz de probabilidad PAG de Markov para la transición hacia variaciones en más, menos y estacionarias de los parámetros ortodónticos.

Resultados: la matriz de probabilidad de transición no resultó irreducible para el águlo ANB, angulación del primer molar inferior, ángulo interincisivo y Dist 1erMI a PTV. La mayor probabilidad de transición (0.84) fue para ANB y ángulo interincisivo en dirección a variaciones en más, mientras que SNB y angulación del primer molar superior mostraron la mayor probabilidad (0.68) de transición en menos. Por su parte, la angulación interincisiva y Dist 1erMI a PTV evidenciaron improbabilidad de estado estacionario a lo largo del tratamiento. Adicionalmente, la probabilidad de transición simultánea de todos los parámetros en estudio hacia valores mayores fue 0.015, y hacia valores menores fue menor a 0.001; mientras que la probabilidad de transición con incremento del ANB, de la angulación del primer molar y canino superiores y de la angulación interincisiva, y con disminución simultánea del SNB y Dist 1erMI a PTV fue 0.16, siendo la asociación de eventos de mayor probabilidad de ocurrencia.

Conclusión/es: Los resultados indican que en una transición de 6 meses de tratamiento hay un 16% de probabilidades de modificación de parámetros de interés ortodóntico que, por un lado, contribuyen a interpretar la progresión del tratamiento, y por otro lado, constituyen información útil para el desarrollo de modelos de regresión predictivos de la evolución del tratamiento en mayores transiciones de tiempo.

Palabras clave: ortodoncia, tratamiento ortodóntico, distalación, pronóstico de tratamiento, modelos matemáticos

17. TGFβ-1: A Link Between Periodontitis in Individuals With or Without Type 2 Diabetes Mellitus?

Lima Silva RC*1, Gandini Giani Martelli M1, Dias Caldeira FI1, Gagno Nicchio I1, Perez Orrico SR2, Cerri PS1, Manzoli Leite FR3, Scarel Caminaga RM1.

1.Departamento de Morfologia e Clínica Infantil, Faculdade de Odontologia de Araraquara (FOAr-UNESP). 2.Departamento de Diagnóstico e Cirurgia, Faculdade de Odontologia de Araraquara (FOAr-UNESP) 3.Duke-NUS Medical School, National Dental Centre Singapore. 5 Second Hospital Ave

Introducción: The interrelationship between Type 2 Diabetes Mellitus (T2DM) and Periodontitis (P) has been widely investigated to identify shared molecular pathways and the impact of periodontal therapy (PT).

Objetivo/s: We evaluated whether the concomitant presence of T2DM and P influences local and systemic levels of Transforming Growth Factor Beta-1 (TGF-β1) up to 180 days post-PT. 156 individuals were allocated into groups: poorly controlled (poorlyC) T2DM+P; controlled (wellC) T2DM+P; T2DM_poorlyC_without_P; T2DM_wellC_without_P; P; and Control (C).

Materiales y Métodos: TGF-β1 mRNA in leukocytes (RT-qPCR) and protein levels in gingival crevicular fluid (ELISA) were measured at baseline, 90 and 180 days post-PT. Gingival biopsies were analyzed via hematoxylin-eosin staining and immunohistochemistry.

Resultados: No significant differences in sex distribution were observed among groups, although females were slightly predominant, and all participants were non-smokers. Control group included the youngest individuals. Following PT, all groups demonstrated clinical improvement compared with baseline. T2DM_poorlyC+P showed significant reductions in bleeding on probing and probing depths of 4–5 mm and >6 mm at 180 days, reaching indices comparable to P, which improved by 90 days. T2DM_poorlyC+P maintained the poorest glycemic control throughout the study. Significant differences in HbA1c levels were observed over time among T2DM_poorlyC+P, T2DM_wellC+P, and T2DM_without_P. T2DM_poorlyC+P and T2DM_without_P exhibited the highest triglyceride levels. Gene and protein expression corresponded across time points. Both T2DM+P groups, regardless of metabolic control, and the P group displayed higher TGF-β1 expression. At 90 days post-PT, mRNA levels increased threefold, returning to baseline by 180 days. At 90 days, uncontrolled T2DM individuals (with or without P) were more resistant to TGF-β1 mRNA elevation, showing delayed responsiveness to PT. Groups with P, irrespective of T2DM status, presented more TGF-β1-positive endothelial cells and greater inflammatory components compared with C.

Conclusión/es: TGF-β1 appears to act as a molecular link between P and T2DM, with higher expression in these groups, consistent at both mRNA and protein levels, locally and systemically, without additive effects between the diseases or metabolic status.

Palabras clave: Factor de Crecimiento Transformador beta1; Periodoncia; Leucocitos Mononucleares; Líquido del Surco Gingival Financiamiento: FAPESP Processos nos. 2022/06607-3: 2020/12788-5

18. Efectividad y seguridad del uso de óxido nitroso/oxígeno en odontología para pacientes con ansiedad y discapacidad. Estudio preliminar.

Bianchi LM*1, Orman B2, Rudzinski J1, Echaide M1, Armada M1, Alisio A1, Franco O1, Alonso A1, Grance L1, Castro Galante A2, Recarte C1, Caraballo J1, Torres S1, Gregori R1, Alvarez M1, Ferrary T1

1. Medicina interna. Facultad de Odontología- Universidad de Buenos Aires. 2. Farmacología Facultad de Odontología- Universidad de Buenos Aires

Introducción: La atención odontológica en pacientes con ansiedad, fobia, discapacidad mental y/o física, con alteraciones conductuales presenta desafíos clínicos que dificultan y/o impiden los procedimientos odontológicos. La sedación con óxido nitroso y oxígeno ha emergido como una técnica para el control de la ansiedad y del dolor en la atención odontológica. El óxido nitroso, por su perfil farmacocinético/farmacodinámico y la facilidad de su administración fuera del ámbito quirúrgico, se ha posicionado como una alternativa de primera línea en el manejo odontológico para estos pacientes.

Objetivo/s: Evaluar la efectividad y la seguridad de la técnica con óxido nitroso/oxígeno en pacientes que presentan ansiedad, fobias y discapacidades con alteraciones conductuales.

Materiales y Métodos: 18 pacientes entre 12 y 65 años, con diagnóstico de ansiedad, fobia y discapacidad mental y/o física con trastornos conductuales, ASA 1 y 2. Se utilizó la escala de Frankl (evaluación de la conducta pre-post) y, la clasificación ASA (pre- evaluación de riesgo médico). Se midieron parámetros vitales (presión arterial, saturación de oxígeno, frecuencia respiratoria y pulso) antes, durante y post procedimiento. El 94,1 % de los pacientes recibieron una dosis de 50% óxido nitroso/oxígeno. Para evaluar la efectividad de la técnica se uso la escala de Houpt. Los datos recolectados se analizaron utilizando métodos estadísticos descriptivos.

Resultados: La escala de Frankl mostró que el 22.2% de los pacientes presentaron 1 punto y el 77.8%, 2 puntos (pre) y al finalizar presentaron el 5.5%, 2 puntos; el 16.7%, 3 puntos y el 77.8%, 4 puntos. La escala de Houpt indicó para el ítem, evaluación general del procedimiento, valores entre 5 y 6 para el 94.4% de los pacientes y un valor de 1 para el 5.6%. Los parámetros vitales se mantuvieron en rangos normales durante todo el tratamiento. El único efecto adverso registrado fue nauseas en un paciente.

Conclusión/es: Estos resultados preliminares aportan evidencia sobre la efectividad y seguridad de la técnica con óxido nitroso/oxígeno en un grupo de pacientes que históricamente han enfrentado barreras para recibir una atención odontológica de calidad.

Palabras clave: sedación-discapacidad-abordaje odontológico

19. Estudio del desarrollo radicular y la diferenciación celular en cultivos primarios de pulpa dental humana.

De Couto Pita A*1, Merhar V1, Dell'Angelica F1, Benítez MB1, Miozza V1, Méndez C1

1.Cátedra de Farmacología. Facultad de Odontología. Universidad de Buenos Aires.

Introducción: Las células madre de la papila de una pieza dental con raíz incompleta poseen una proliferación más activa, mayor dentinogénesis y una osteogénesis más débil comparadas con células madre de la pulpa de una pieza con raíz completa. Estudios previos en piezas con morfogénesis radicular completa (MRC) demostraron, mediante tinción inmunohistoquímica (IHQ), la presencia de células CD105(+) localizadas principalmente en la zona central; y que la adición de factores de diferenciación al medio de cultivo de células de pulpa dental humana (PDH) modifica la actividad mineralizante.

Objetivo/s: Identificar en piezas con morfogénesis radicular incompleta (MRI), la localización de células madre por IHQ y analizar la expresión de sialofosfoproteína de dentina (DSPP) en cultivos primarios de PDH.

Materiales y Métodos: La detección de precursores mesenquimales se realizó por tinción IHQ mediante marcación con un anticuerpo específico contra CD105 y posterior incubación con inmunoperoxidasa y detección con diaminobencidina (DAB). Se determinó el porcentaje de células CD105(+) sobre el total de cada campo, utilizando el software ImageJ; dividiéndose en dos grupos: MRI y MRC, y en subgrupos: zona apical (Ap), central (Ce) y coronal (Co). Se establecieron cultivos primarios por explante a partir de PDH disgregada mecánicamente. Las células fueron incubadas durante 7, 14 y 21 días en medio de Dulbecco modificado por Eagle con 10% de suero fetal bovino (DMEM) como medio control o en DMEM conteniendo factores de diferenciación (DMEM-OD). La expresión del transcripto de DSPP se determinó por medio de transcripción reversa y reacción en cadena de polimerasa cuantitativa (RT-qPCR), utilizando como gen de referencia al de gliceraldehído-3-fosfato deshidrogenasa (GAPDH).

Resultados: Se expresó el porcentaje de señal CD105+ en media \pm desvío estándar para los distintos grupos. En las zonas Ap, Ce y Co se observó en MRI: 1,04 \pm 1,45; 1,54 \pm 0,75; 4,55 \pm 2,71 respectivamente; y en MRC: 3,14 \pm 0,97; 1,16 \pm 0,59; 0,97 \pm 1,10 respectivamente. Hubo diferencias significativas entre los grupos Co respecto de Ap y Ce (p<0,001) para MRI; y en el grupo Ap respecto de Ce (p<0,01) y Co (p<0,001) para MRC. La incubación de las células en medio DMEM-OD indujo un incremento significativo en la expresión del transcripto de DSPP a los 21 días (p<0,05).

Conclusión/es: Nuestros resultados demuestran mayor expresión de células CD105(+) en la zona Co en piezas MRI, y en zona Ap en piezas MRC. La incubación en medio de diferenciación aumenta la expresión de DSPP, lo que sugiere el inicio de su compromiso hacia la diferenciación en células especializadas.

Palabras clave: Pulpa dental humana. Cultivo celular primario. Inmunohistoquímica.

Financiamiento: 20020220400362BA

20. Presencia del SNP rs1801274 del gen FCGR2A y su relación con la severidad de la enfermedad periodontal en pacientes con artritis reumatoidea y con síndrome de Down.

Castro Escalante A*1, Armada M2, Salgado P3, Beron AM4, Medina G4, Peñalva CX5, Figueredo BF5, Delea M5, Corró G5, Bruque CD5, Orzuza R6, Seni S7, Pedreira P8, Gonzalez D6, Ferrary T2, Orman B1.

- 1. Cátedra de Farmacología Facultad de Odontología Universidad de Buenos Aires. 2. Cátedra de Medicina Interna Facultad de Odontología Universidad de Buenos Aires. 3. Cátedra de Microbiología, Facultad de Odontología Universidad de Buenos Aires
- 4. División de Reumatología Hospital de Clínicas José de San Martín, Universidad de Buenos Aires. 5. Unidad de Conocimiento Traslacional Hospitalaria Patagónica, Hospital de Alta Complejidad SAMIC, El Calafate, Santa Cruz, Argentina. 6. Cátedra de Bioquímica, Facultad de Odontología Universidad de Buenos Aires. 7. Cátedra de Cirugía I, Facultad de Odontología Universidad de Buenos Aires. 8. Cátedra de Periodoncia, Facultad de Odontología Universidad de Buenos Aires

Introducción: Los estudios de asociación de genoma completo (GWAS) permiten identificar polimorfismos de nucleótido simple (SNPs) asociados a un rasgo o enfermedad particular, al comparar la frecuencia alélica entre pacientes y controles. Estos hallazgos han demostrado relevancia clínica en patologías como infarto de miocardio y diabetes. Su validación se realiza mediante estudios en genes candidatos, lo que facilita explorar la función biológica de las variantes y avanzar en estrategias de prevención, diagnóstico y tratamiento

Objetivo/s: Evaluar la asociación del SNP rs1801274 del gen FCGR2A, vinculado a la enfermedad periodontal (EP) en estudios GWAS, con la severidad de la EP en pacientes con artritis reumatoidea (AR), síndrome de Down (SD) y controles sanos (C)

Materiales y Métodos: Se incluyeron 88 pacientes, 40 con AR, 24 con SD y 24 C. El diagnóstico periodontal se estableció mediante índices clínicos estandarizados. El genotipado del rs1801274 se realizó a partir de muestras de sangre, utilizando PCRs punto final con primers específicos, seguido de secuenciación por la técnica de Sanger. El análisis estadístico se efectuó con SPSS v22, considerando significativos valores de p<0.05 Resultados: Como se esperaba por el fenotipo clínico, los grupos AR y SD presentaron mayor prevalencia de estadios severos de EP en comparación con los controles p=0.003 y p=0.002, respectivamente. En los controles, la presencia del SNP no se asoció con riesgo de EP (p=1.0; OR=0.92; IC95%: 0.12–6.83). En el grupo AR, los portadores del alelo de riesgo (AG+GG vs AA) mostraron una asociación significativa con la EP severa (p=0.002; OR=7.47; IC95%: 1.27–44.00). En los pacientes con SD, no se observó asociación significativa entre el SNP y la EP (p=0.60; OR=1.8; IC95%: 0.29–11.16)

Conclusión/es: Nuestros hallazgos indican que el polimorfismo rs1801274 del gen FCGR2A se asocia con la severidad de la EP en pacientes con AR, pero no en individuos con SD ni en controles. Esta diferencia sugiere que el impacto de la variante genética podría estar condicionado por el contexto clínico-inmunológico particular de cada patología. En el caso del SD, la elevada agresividad y rápida progresión de la EP podría enmascarar el efecto de dicho polimorfismo, mientras que en la AR la cronicidad de la inflamación sistémica favorecería su expresión fenotípica Palabras clave: Polimorfismo de Nucleótido Simple Periodontitis Artritis Reumatoidea Síndrome de Down

21. Perfil metabólico y funcional de neutrófilos en gestantes de 16-20 semanas y su correlación con el estado gingival.

D'Eramo L*1, Calo G2, Lara B2, Gliosca L3, Hauk V2, Pérez Leirós C2, Squassi A4

1.Universidad de Buenos Aires, Facultad de Odontología, Instituto de Investigaciones en Salud Pública, Cátedra de Odontología Preventiva y Comunitaria. 2. Instituto de Química Biológica de la Facultad de Ciencias Exactas y Naturales (IQUIBICEN), Universidad de Buenos Aires (UBA)-Consejo Nacional de Investigaciones Científicas y Técnicas (CONICET). 3. Universidad de Buenos Aires, Facultad de Odontología, Instituto de Investigaciones en Salud Pública, Cátedra de Odontología Microbiología y Parasitología. 4. Universidad de Buenos Aires, Facultad de Odontología, Instituto de Investigaciones en Salud Pública, Cátedra de Odontología Preventiva y Comunitaria - Consejo Nacional de Investigaciones Científicas y Tecnológicas (CONICET)

Objetivo/s: Asociar el estado de inflamación gingival con el perfil metabólico y funcional de neutrófilos en mujeres no gestantes y gestantes de 16–20 semanas.

Materiales y Métodos: Se incluyeron 15 mujeres no gestantes (NG) y 60 gestantes de 16–20 semanas (G). El examen clínico registró biofilm (ÍP) e inflamación gingival (ÍG). Se recolectó fluido crevicular (FC) en los sitios con mayor inflamación y sangre periférica por venopunción. Los neutrófilos circulantes se aislaron mediante gradiente de Ficoll-Dextran y se evaluaron producción de especies reactivas de oxígeno (ROS), liberación de ADN, captación de glucosa y acumulación de gotas lipídicas mediante citometría de flujo, en condiciones basales y tras estimulación in vitro con FC. También se evaluó la liberación de trampas extracelulares de neutrófilos (NETs) midiendo ADN y elastasa. Para la comparación entre dos grupos se utilizó la prueba estadística de Wilcoxon.

Resultados: Las gestantes (G) presentaron valores significativamente más altos de placa e inflamación gingival que las no gestantes (PI: 0,80±0,47 vs 0,21±0,25; GI: 0,68±0,51 vs 0,14±0,16; p<0,001). Los neutrófilos de G mostraron menor producción de ROS inducida por PMA (p<0,05) y mayores niveles basales que los de NG. El FC de las gestantes indujo una mayor producción de ROS comparado con el FC de las no gestantes (p<0,05). el metabolismo de neutrófilos G mostró mayor captación de glucosa y acumulación de lípidos que NG

Conclusión/es: Las gestantes de 16–20 semanas presentan mayor inflamación gingival y un perfil funcional y metabólico de neutrófilos caracterizado por activación basal elevada y menor respuesta a estímulos, en comparación con mujeres no gestantes.

Palabras clave: Neutrófilos, Embarazo, Gingivitis

Financiamiento: PIDAE 2020 - PIDAE 2022 - PAIIO-FOUBA 2019-2024

22A. Efecto del tratamiento de superficie en la resistencia adhesiva de una resina para restauraciones indirectas obtenidas mediante impresión 3D.

Doi Y¹*, Garrofé A¹, De Moliner DL², Aredes IE².

1. Cátedra de Materiales Dentales FOUBA. 2. Cátedra de Odontología Integral del Adulto Mayor y Clínica de Prótesis Removible FOUBA

Introducción: Uno de los principales desafíos de las restauraciones indirectas impresas es lograr una adhesión duradera mediante protocolos de superficie optimizados. (Trabajo realizado en el marco de la tesis doctoral aprobada por RESCD-2025-113-E-UBA-DCT#FODON

Objetivo/s: Evaluar la resistencia adhesiva de una resina para restauraciones indirectas permanentes para impresión 3D, utilizando diferentes protocolos de tratamiento de su superficie en el momento de la fijación con resina adhesiva de curado dual.

Materiales y Métodos: Se confeccionaron 35 cilindros (7,5x6mm) en resina Crowntec (Saremco, Suiza) utilizando la impresora AccuFab-CEL (Shinning, China), los cuales fueron posprocesados de acuerdo a las indicaciones del fabricante. El tratamiento de la superficie a adherir consistió en el microarenado con óxido de aluminio (malla 220≈53-75μm) en seco (M), y la aplicación de silano Prosil (FGM, Brasil) (S) y/o sistema adhesivo (A) -correspondiente a la resina utilizada para la fijación. La combinación de estos tratamientos determinó 5 grupos experimentales (n=7): G1 (sin tratamiento), G2 (M), G3 (M+S), G4 (M+S+A) y G5 (M+A). Las muestras fueron adheridas con una resina adhesiva para fijación de curado dual ParaCore (Coltene, Suiza) sobre discos confeccionados previamente con la misma resina, incluidos en acrílico y tratados mediante microarenado con óxido de aluminio 50μm y agua con MicroJato acqua (Bio-Art, Brasil). Las probetas se almacenaron en agua destilada a 37°C durante 24hs. Para evaluar la resistencia adhesiva al corte (MPa) se utilizó una máquina para ensayos mecánicos (Instron 34TM-10-SA), a una velocidad del cabezal de 1 mm/min. Los valores obtenidos fueron analizados estadísticamente mediante análisis de varianza (p<0,05).

Resultados: La media y DS de resistencia adhesiva fueron: G1= 5,71±1,83; G2=8,02±0,53; G3=9,04±1,25; G4= 8,58±1,05; G5=8,10±1,15. Se observó que la resistencia a la ruptura es significativamente inferior en G1 respecto a los otros grupos G2, G3, G4 y G5, sin diferencias estadísticamente significativas entre estos.

Conclusión/es: Bajo las condiciones de este estudio podemos concluir que para la fijación de restauraciones indirectas impresas la utilización de tratamiento mecánico y/o químico, mediante la utilización de silano y/o adhesivo, favorecen significativamente la adhesión entre los sustratos.

Palabras clave: Resinas - resistencia adhesiva - impresión 3D

Financiamiento: Proyectos de Investigación Integrada de la FOUBA. Convocatoria 2025 (Proyecto 05-02-24).

22. Delimitación de cerámica mediante láser Er:YAG.

Cuisinier*, Miron L, Nomair N, Panayotov I.

LBN, Univ Montpellier, France.

Introducción: El auge de las tecnologías láser en odontología ha transformado radicalmente la eliminación de coronas de cerámica y brackets de ortodoncia. El láser Er:YAG es el láser más utilizado gracias a su capacidad para interactuar eficazmente con tejidos duros y materiales dentales, facilitando el desprendimiento de la cerámica sin alterar los tejidos subyacentes. A pesar de los beneficios clínicos de esta tecnología, el mecanismo exacto del desprendimiento sigue siendo poco conocido. Comprender estos cambios no solo podría mejorar la eficiencia de los procedimientos de dispensación, sino también ofrecer información sobre la optimización de las formulaciones de cemento de resina.

En este contexto, la microscopía Raman es un método analítico de elección. Esta técnica espectroscópica proporciona información precisa sobre la composición química y las estructuras moleculares a escala microscópica, sin dañar la muestra.

Objetivo/s: Este estudio tuvo como objetivo evaluar el impacto químico y estructural de la exposición al láser Er:YAG en un adhesivo a base de metacrilato, Variolink Esthetic DC. Utilizamos espectroscopia Raman para evaluar los cambios en la estructura del polímero, la integridad del grupo funcional y los cambios químicos después del láser. Al observar el pegamento dental después del desprendimiento con el láser Er:YAG, es posible identificar las alteraciones sufridas por la matriz resinosa, evaluar el grado de conversión de los monómeros y detectar cualquier degradación térmica o química

Materiales y métodos: 1. Bloques de fresado de bloques LiSi iniciales GC de disilicato de litio 14 A3 para Cerec 5 / Bx, GC America. 2. Cemento Variolink Esthetic DC, Ivoclar. 3. Dispositivos láser: Er:YAG Syneron LiteTouch. 4. Microscopio Raman Alpha 300R (Witec, Ulm, Alemania). Se cortaron bloques cerámicos discilicados de litio y feldespáticos en losas de 5x5x2 mm. Las losas se pegaron con epoxi (200 µm fil) sobre dentina humana. Litetouch Er :Yag se utilizó con una potencia de 4,5 W para el rebote. Las muestras se cortaron perpendicularmente a la superficie para ser estudiadas con microscopía Raman confocal Alpha300R (Witec, Ulm, Alemania) con una longitud de onda de 532 nm.

Resultados: La irradiación láser Er: YAG con el rociado de agua para evitar el sobrecalentamiento de los dientes provocó que el bracket de cerámica saliera volando de la superficie de la dentina, tomó alrededor de 13 segundos de irradiación. La aplicación de un movimiento de exploración demostró ser más efectiva que la irradiación estática.

El pico Raman de vinilo C = C (1610 cm-1) disminuye después de la polimerización. El pico aromático Raman (1642cm-1 (referencia) permanece relativamente estable. Después de desgranar, el pico de vinilo es más intenso en la superficie correspondiente a la losa cerámica que se eliminó. Observamos el efecto de cavitación con modificación química que tiene una forma esferoide a distancia con la superficie. La relación de intensidad entre el vinilo y el pico de referencia está disminuyendo con la irradiación láser que indica un cambio en la reticulación del polímero. El proceso puede ser inducido por sobrecalentamiento localizado de la tensión mecánica debido a la cavitación del agua

Conclusión/es: La degradación del grupo vinilo confirma el efecto específico y localizado del láser Er:YAG sobre polímeros de metacrilato. Las capas superficiales son las más afectadas con un láser de 5 W que induce efectos más profundos y uniformes, mientras que 4 W muestran una falta de homogeneidad interna debido a la cavitación. Se necesitan más análisis Raman para comprender el efecto del láser Er, Cr: YSGG y comparar su efecto con el láser Er: YAG

Palabras clave: laser, cement, Raman

23. Efecto del termociclado en obturaciones oclusales con resinas fluidas. Evaluación de la interfaz mediante microscopia óptica (MO) y confocal laser (CSLM).

Peralta de Elías N1*, Farah MA2, Fontana S3.

1.Cátedra de Operatoria II "B", Departamento de Rehabilitación Oral FOUNC. 2. Cátedra de Materiales Dentales, Departamento de Rehabilitación Oral FOUNC. 3. Cátedra de Histología y Embriología "A", Departamento de Biologia Oral FOUNC.

Introducción: En un estudio previo, nuestro grupo de trabajo demostró desadaptaciones progresivas de resinas fluidas sometidas a 10.000 ciclos térmicos (CT), equivalentes al stress que sufren los materiales dentales en un año. Por ello, la necesidad de realizar ensayos a mayor cantidad de CT para simular situaciones clínicas a periodos prolongados.

Objetivo/s: Estudiar mediante MO y CLSM el efecto del termociclado (20.000 CT) en obturaciones de resinas fluidas en preparaciones de mínima invasión en premolares ex vivo.

Materiales y métodos: Se tallaron cavidades en 60 premolares superiores sanos y se formaron 3 grupos: G1 (Ácido Ultraetch, adhesivo Optibond FL y resina Revolution, n=20); G2 (adhesivo Single Bond Universal y resina Filtek Z350 XT Flow, n=20); G3 (resina autoadhesiva Dyad Flow, n=20). La mitad de los dientes de cada grupo sirvió de control (sin ciclar, subgrupo C) y la otra fue sometida a 20.000 CT (subgrupo CT) en termocicladora (5 a 55 °C) fabricada ad hoc. Los dientes se sumergieron 24 h en fucsina básica al 0,5%. Se realizaron secciones V-L y se midió en MO la penetración del colorante en la interfaz, definida como microfiltración marginal (MFM). Con una submuestra de 18 secciones (6 por grupo) se obtuvieron imágenes en CSLM y se evaluó el espesor medio del gap en G1, G2 y G3 e individualmente en cada tercio de la cavidad: oclusal (O), medio (M) y apical (A). Se realizó análisis estadístico (Chi2 y ANOVA-Tukey) con p<0,05.

Resultados: En los subgrupos C la MFM fue escasa (G1: 0%; G2: 2,5%; G3: 5%), sin diferencias significativas entre grupos (p=0,36). En los subgrupos CT la frecuencia de MFM fue: en G1 12,5%, en G2 40% y en G3 75%. Las diferencias fueron significativas entre G1 y G3 (p<0,05). Al analizar la profundidad de MFM en CT, hubo diferencias significativas (p<0,05) entre G1 (36 \pm 139 μ m), G2 (149 \pm 324 μ m) y G3 (316 \pm 313 μ m). Mediante CSLM, los espesores medios de los gaps no mostraron diferencias significativas: G1=2,75 μ m; G2=2,51 μ m y G3=3,24 μ m. En cuanto a los tercios, los espesores fueron mayores en M ((3,3 μ m) y O (3,0 μ m), en contraste con A (2,1 μ m).

Conclusión/es: La aplicación de 20.000 CT, reveló un aumento significativo de la MFM en relación a los controles. La MFM provoca modificaciones estructurales críticas que comprometen la integridad de la interfaz diente-material. Según este estudio, la técnica adhesiva convencional continúa siendo de elección para una óptima adhesión a esmalte

Palabras clave: termociclado, resinas fluidas, microscopía

Avalado por Comité de Ética. No presenta conflictos de interés

24. Caracterización estructural y química de una resina utilizada en restauraciones impresas, sometida a tratamientos superficiales con distintos biomateriales adhesivos.

Rodriguez MA1*, Rozas C2, Sorbera L1, Castro J3, Pineda A4, Rodriguez IA1.

1.Cátedra de Histología, Embriología e Ingeniería Tisular "B", FOUNC. 2. Cátedra de Operatoria I "A", FOUNC. 3. GC LATAM America, Uruguay. 4. Clinica Dental Lhasa, Uruguay.

Introducción: Las resinas impresas y su tratamiento con biomateriales adhesivos necesitan de ser abordados en sus características estructurales y químicas para encontrar eficacia en las rehabilitaciones protésicas

Objetivo/s: Analizar la estructura superficial y composición química de una resina utilizada en restauraciones impresas en 3D tras tratamientos con distintos biomateriales adhesivos, empleando microscopía electrónica analítica.

Materiales y métodos: Se utilizó una resina Permanent Crown Resin (Fomrlabs, EEUU) en una impresora 3D (Formlabs 3B plus, EEUU), generando discos de 5 mm de diámetro. Los grupos experimentales fueron: A) Resina sin tratamiento superficial (Control-RST), B) Resina con arenado/vaporización (a/v) (RCAV). Los grupos C), D) y E) se trataron de la siguiente manera: Resina con a/v+primerl+glaseado con Optiglaze Color Clear (GC-Corp., Japón), utilizando en C) el Ceramic Primer II (RCP), en D) Composite Primer (RRP) y en E) Multi Primer (RMP) todos de GC-Corporation (Japón). Se realizó un análisis estructural de las superficies mediante microscopía electrónica de barrido y se evaluó espesor de los biomateriales adheridos a la resina y su interfaz. Asimismo se analizó composición química de las distintas superficies con método EDS. Se utilizó la prueba Mann-Whitney (p<0,05).

Resultados: Control-RST y RCVA presentaron partículas de distribución homogénea y formas irregulares, con tamaños 391,68 \pm 144,08 nm y 443,79 \pm 205,52 nm respectivamente (p>0,05). RCP, RRP y RMP mostraron partículas de formas circulares y con un tamaño 58,512 \pm 6,22nm, 49,75 \pm 6,07nm y 55,107 \pm 9,13 respectivamente (p>0,05). Sin embargo, la distribución de las partículas fue homogénea en RCP y RMP mientras que en RRP más irregular. El espesor de biomateriales adhesivos fue RCP= 29,07 \pm 7,0 μ m, RMP= 21,962 \pm 3,77 μ m (p>0,05) y RRP= 12,94 \pm 3,9 μ m con diferencia significativa respecto a los anteriores (p<0,05). La interfaz fue nula en todos los grupos. En la composición química de Control-RST y RCVA se identificó Bario, Sílice (Si), Aluminio (p>0,05). Asimismo en RCP, RRP y RMP se identificó Si y Fósforo (p>0,05).

Conclusión/es: La microscopía electrónica analítica permitió realizar una caracterización estructural y un perfil químico de una resina utilizada en restauraciones impresas en 3D tras tratamientos con distintos biomateriales adhesivos. Estos hallazgos podrían guiar en la selección de tratamientos de superficie más eficaces para estas resinas.

Palabras clave: resinas impresas, biomateriales adhesivos, características estructurales

Presenta conflictos de interés.

25. Profundidad de penetración de resinas infiltrantes en lesiones de esmalte hipomineralizado y con fluorosis.

Lei MA1*, Picca M1, Macchi RL1, Sorazábal AL2.

1.Cátedra de Materiales Dentales FOUBA. 2. Cátedra de Odontología Preventiva y Comunitaria FOUBA.

Objetivo/s: El objetivo de este estudio fue evaluar la profundidad de penetración de las distintas resinas con capacidad infiltrante en lesiones artificiales de esmalte hipomineralizado y piezas dentarias con fluorosis leve ex vivo.

Materiales y métodos: Se usaron terceros molares sanos (D) (n=6) y se sometieron a dos ciclos de desmineralización mediante una solución de CaCl2 (2,2 mM), NaH2PO4 (2,2 mM), ácido acético (0,05 M) con un pH 4,5, durante 96 h y a 37 °C. Por otro lado, se usaron dientes con fluorosis leve ex vivo (F) (n=6). Se trató en la mitad de cada uno con ácido fosfórico al 37%, Eco-Etch, Ivoclar Vivadent (AF) por 3 min y en la otra mitad con ácido clorhídrico al 18%, Cleardick, Dickinson (AC) por 2 min. En cada una de estas condiciones experimentales se infiltró la superficie vestibular con Enamel Bond, Densell (EB), Permaseal, Ultradent (P) y resina infiltrante ICON, DMG (I). Las muestras se seccionaron perpendicularmente a la cara vestibular con cortadora de disco diamantado (DHUC Modelo Micro Disc NH-6P). Los cortes de 2 mm de espesor fueron analizados con microscopio láser confocal (Microscopio OLYMPUS Lext 3D). Se registraron 3 mediciones de cada muestra de la profundidad de penetración en escala micrométrica. Los resultados se analizaron estadísticamente mediante Test de ANOVA y con la técnica de contrastes ortogonales para realizar comparaciones entre distintas variables con nivel de significancia establecido en p<0,05.

Resultados: Las medias para cada grupo fueron: D-AF-EB: 364,45; D-AF-P: 140,70; D-AF-I: 439,99; D-AC-EB: 169,67; D-AC-P: 114,22; D-AC-I: 757,38; F-AF-EB: 46,44; F-AF-P: 103,98; F-AF-I: 209,46; F-AC-EB: 92,04; F-AC-P: 53,77; F-AC-I: 108,78. El resultado del ANOVA mostró un efecto estadísticamente muy significativo (p<0,001) entre los grupos. En la técnica de contrastes ortogonales, la situación en las lesiones artificiales y dientes con fluorosis, la comparación de ICON con los otros materiales en lesiones artificiales y entre otras comparaciones dieron diferencias significativas.

Conclusión/es: Bajo las condiciones experimentales de este trabajo puede concluirse que la resina infiltrante ICON presenta mayor profundidad de penetración que la generada por otros tipos de resinas.

Palabras clave: resinas infiltrantes, fluorosis, profundidad de penetración

Avalado por Comité de Ética. No presenta conflictos de interés

26. Influencia del tiempo de frotamiento durante la aplicación de diferentes sistemas adhesivos en la resistencia adhesiva a dentina.

Garrofé A*, Ferrari B, Picca M. Cátedra de Materiales Dentales FOUBA.

Introducción: El tiempo de aplicación del sistema adhesivo en dentina constituye un factor crítico en odontología restauradora, ya que influye directamente en la formación de la capa híbrida. Este parámetro resulta esencial para garantizar la adecuada impregnación de la red de fibras colágenas desmineralizadas, favoreciendo así la formación de una interfase adhesiva estable y duradera.

Objetivo/s: Evaluar la relación entre el tiempo de frotamiento y la resistencia adhesiva de diferentes sistemas adhesivos.

Materiales y métodos: Se seccionaron molares permanentes, recientemente extraídos, para exponer la dentina de ambas caras proximales y se incluyeron en acrílico de autocurado. Se utilizaron 3 sistemas adhesivos: OptiBond FL (Kerr) [OFL], Clearfil SE (Kuraray) [CF] y Single BondUniversal (3M) [SBU], los cuales fueron aplicados en diferentes tiempos de frotado 5, 10 y 20 segundos (n=5). Para el grupo [OFL] se realizó previamente la técnica de grabado con ácido fosfórico al 35% (Densell). Sobre las superficies dentinarias tratadas se adhirieron cilindros de composite (Brilliant NG, Coltene) de 4 mm de diámetro en capas de 2 mm de espesor, fotopolimerizando 20 s por capa con un dispositivo de curado LED a 800 mw/cm2 Coltolux (Coltene). Las muestras se conservaron a 37° C en agua destilada durante 24 h. Las pruebas de resistencia adhesiva se realizaron con una máquina para ensayos mecánicos INSTRON® modelo 34TM-10-SA con una velocidad de desplazamiento del cabezal de 1 mm/min. Se registraron los valores de resistencia a la ruptura (MPa) y los resultados fueron analizados estadísticamente mediante ANOVA (p<0,05).

Resultados: La media y DS de resistencia adhesiva fueron: [OFL-5] 8,47(3,93); [OFL-10] 7,56(1,13); [OFL-20] 7,47(3,47); [CF-5] 12,66(6,5); [CF-10] 12,67(3,67); [CF-20] 10,12(3,68); [SBU-5] 13,26(7,8); [SBU-10] 11,86(6,63); [SBU-20] 13,88(6,8). El análisis estadístico mostró el efecto significativo de la variable sistema adhesivo (p<0,05), sin hallar diferencia significativa de la variable tiempo de frotamiento ni de la interacción entre ambas.

Conclusión/es: En función de los resultados obtenidos, se puede concluir que el tiempo de frotamiento del sistema adhesivo no ejerce un efecto significativo sobre los valores de resistencia adhesiva entre el composite y la dentina. Sin embargo, esta propiedad se ve determinada principalmente por el tipo de sistema adhesivo empleado, lo que resalta la importancia de una selección adecuada del material en la práctica clínica.

Palabras clave: sistemas adhesivos, resistencia adhesiva, dentina

Financiamiento: Proyectos de Investigación Integrada de la FOUBA, convocatoria 2025. No presenta conflictos de interés

27. Adaptación de endocrowns impresas a la preparación dentaria.

Martinez CA1*, Nart LJ2, Vazquez DJ2, Salgado PA3,4,5, De Moliner DL1, Aredes JE1.

1.Odontología Integral del Adulto Mayor y Clínica de Prótesis Removible FOUBA. 2. Diagnóstico por Imágenes FOUBA. 3. Microbiología y Parasitología FOUBA. 4. Odontología Preventiva y Comunitaria FOUBA. 5. Instituto de Investigaciones en Salud UBA

Introducción: La adaptación de restauraciones indirectas a la preparación dentaria y el espesor del material de fijación pueden

Objetivo/s: El objetivo es evaluar mediante el uso de microtomografía, la discrepancia marginal y adaptación interna a la preparación dentaria de endocrowns obtenidas mediante tecnología aditiva

Materiales y métodos: Se diseñaron 8 restauraciones digitales sobre preparaciones dentarias calibradas para endocrown, se imprimieron en resina Crowntec (Saremco). Se definieron dos grupos: Grupo virtual (V): restauraciones digitales diseñadas sobre el modelo virtual y grupo real (R): restauraciones impresas posicionadas sobre el diente y escaneadas con microtomógrafo Scanner SkyScan 1272 (Bruker). Se realizaron 18 mediciones por muestra con CTAN (Bruker) en cinco sitios clínicos de análisis: Borde Cavo Superficial (BCS), Hombro (H), Pared Axial (PA), Piso Externo (PE) y Piso Centro (PC). Los datos fueron analizados mediante correlación de Pearson y comparación de medias entre grupos (ANOVA).

Resultados: Las medias (μ m) registradas en R fueron BCS= 379,7 (máx 605-mín 220), H= 395,9 (máx 605-mín 220), PA= 59,4 (máx 67,5-mín 50), PE= 362,5 (máx 555-mín 200) y PC= 351,9 (máx 580-mín 175) y en V fueron BCS =0 y en H-PA-PE- PC= 50. Se encontraron diferencias significativas entre R y V en todas las regiones analizadas, salvo en PA (p > 0,05). Las pruebas t apareadas revelaron diferencias significativas en BCS (p < 0,01), H (p < 0,01), PE (p < 0,01) y PC (p < 0,01) se observó una correlación positiva fuerte entre H y PE (r = 0,989; p < 0,001), y entre PE y el PC (r = 0,983; p < 0,001), sin correlaciones significativas en la pared axial (p > 0,05).

Conclusión/es: Bajo las limitaciones de este estudio concluimos que el comportamiento a nivel de la adaptación esperada en el proceso de CAD-CAM difiere en el plano horizontal del vertical.

Palabras clave: restauraciones impresas, endocrown

afectar su desempeño clínico.

Financiamiento: RESCD-2025-113-E-UBA-DCT#FODON. Avalado por Comité de Ética. No presenta conflictos de interés

28. Estado de la Oclusión y Contactos Dentarios de los Adultos Mayores en Argentina.

Aredes JE1*, Aubia MC1, Martinez CA1, Christiani JJ2, Loyola González PO3, Georgieff DS4, Romano SE5, Coronel L6, Boero Lopez EO7,8, Zabala A1,10, Vazquez DJ10, Salgado PA11,12,13.

1.Odontología Integral del Adulto Mayor y Clínica de Prótesis Removible FOUBA. 2. Investigación Odontología Rehabilitadora y Funcional (ORF) FO-UNNE. 3. Prostodoncia IV B FOUNC. 4. Clínica de Prótesis I FOUNT. 5. Clínica de Prótesis Parcial Removible FOUNR. 6. Servicio de Prótesis HOCI, Hospital Odontológico de Complejidad Integrada. Formosa. 7. Clínica de Prótesis Total Removible FO-UNCuyo. 8. Cátedra de Odontogeriatría FO-UNCuyo. 9. Planta Servicio de tercera edad, Hospital Odontológico Dr. Ramon Carrillo GCBA. 10. Diagnóstico por imágenes FOUBA. 11. Microbiología y Parasitología FOUBA. 12. Odontología Preventiva y Comunitaria FOUBA. 13. Instituto de Investigaciones en Salud UBA

Introducción: El número de pares oclusales, definido por la Organización Mundial de la Salud como las relaciones funcionales entre dientes antagonistas de ambos arcos dentarios que entran en contacto durante la oclusión, constituye un indicador clave de la capacidad masticatoria y de la función oral.

Objetivo/s: Describir la prevalencia y distribución de pares oclusales en personas mayores en Argentina.

Materiales y métodos: Diseño de investigación cuantitativo, transversal descriptivo/analítico observacional. Sesenta y cuatro operadores calibrados (Índice de calibración Kappa>0,85) observaron radiografías panorámicas digitales (n=5232) de pacientes mayores de 60 años, 3262 mujeres (62,34%) y 1970 hombres (37,65%). Se registró el número de pares oclusales posteriores (P) y totales (T) por paciente y por género, considerando tanto dientes naturales como rehabilitaciones protésicas de coronas clínicas. Los datos fueron analizados mediante estadística descriptiva, prueba de chi-cuadrado de Pearson y Welch's t-test, con nivel de significación p<0,05.

Resultados: Del total de la población, el 3,3% poseen T \geq 14 (oclusión completa), el 28,3% poseen T \geq 10; el 21,1% poseían T= (7 a 9); el 16% T=(4 a 6); el 12,2% T=(1 a 3) y el 22,6 % presentan T=0. En sector posterior el 34,3% P=0 y el 68% poseen P \leq 4. En la muestra evaluada, T mujeres presentó una media de 6,29 (DE = 4,57), mientras que en hombres fue de 5,63 (DE = 4,74). La prueba t de Student para muestras independientes (Welch's t-test) indicó un valor de t=4,98 con un p<0,001.

Conclusión/es: La mayoría de los pacientes adultos mayores evaluados presentó una reducción significativa en el número de pares oclusales, con diferencias estadísticamente significativas entre géneros. Solo el 28,3% poseen 10 o más pares oclusales, por lo que según la OMS, poseen una oclusión funcional. Estos hallazgos permiten concluir que, en esta población, las mujeres tienden a mantener un mayor número de pares oclusales en boca en comparación con los hombres.

Palabras clave: pares oclusales, adulto mayor, Argentina



29. Prevalencia y clasificación de áreas desdentadas en pacientes adultos mayores en AMBA.

Aubia MC1*, Martinez CA1, De Moliner D1, Zabala A1,2,3, Demaria GA1, Ochoa A1, Compagnucci CV1, Via RA1, Catacora GS1, Olazabal RR1, Barrionuevo BV1, Heredia GK1, Bagdadi CV1, Salgado PA4,5,6, Aredes JE1.

1.Odontología Integral del adulto mayor y clínica de prótesis removible FOUBA. 2. Planta Servicio de tercera edad, Hospital Odontológico Dr. Ramon Carrillo GCBA. 3. Diagnóstico por imágenes FOUBA. 4. Microbiología y Parasitología FOUBA. 5. Odontología Preventiva y Comunitaria FOUBA. 6. Instituto de Investigaciones en Salud UBA

Introducción: La incidencia de diversas clases de arcos parcialmente desdentados constituye un indicador de la demanda de atención de los pacientes y la posibilidad de acceso a tratamientos prostodóncicos alternativos.

Objetivo/s: Describir la distribución y prevalencia de las áreas desdentadas en pacientes mayores de 60 años que concurren al servicio del Hospital Odontológico Universitario de la Facultad de Odontológía de la Universidad de Buenos Aires (FOUBA) en el periodo 2022-2025.

Materiales y métodos: Diseño de investigación cuantitativo, transversal descriptivo/analítico observacional. Catorce operadores calibrados (Índice de calibración Kappa>0,90) observaron radiografías panorámicas digitales (n=4069) de pacientes mayores de 60 años, que concurren de modo independente a la fouba en el periodo 2022-2025. De la muestra 2609 mujeres (64,7%) y 1460 hombres (35,3%). La variable se registró a partir de la clasificación de Kennedy (K) siguiendo las reglas de Applegate que divide al edéntulo en 6 divisiones de las cuales 3 de ellas poseen 4 modificaciones, determinando así 20 categorías. A partir de los datos obtenidos, se calcularon frecuencias, porcentajes e intervalos de confianza al 95%. Software IBM SPSS versión 30. Para comparar las variables por sexo se aplicó la prueba de Chi-cuadrado (significancia p<(0,05).

Resultados: En la muestra observada se identificó un 75,2% (n=1144) de maxilares desdentados parciales. Los resultados obtenidos en la distribución de K para cada maxilar fueron: Ks: Clase 1:18,4%, Clase 2: 25,5%, Clase 3: 20,5%, Clase 4: 1,8%, Clase 5: 2,5% y Clase 6: 0,8%; Ki: Clase 1: 32,6%, Clase 2: 26,5%, Clase 3: 17,3%, Clase 4: 0,3%, Clase 5: 0,8% y Clase 6: 0,6%. No presentando diferencias significativas por k/género, tanto para ms p=0,436 mi p=0,418.

Conclusión/es: En todos los maxilares superiores observados 14,1% eran totalmente dentados, 16,4% desdentados totales y 69,5% parcialmente desdentados. En todos los maxilares inferiores observados 12,2% eran totalmente dentados, 9,8% desdentados totales y 78,0% parcialmente desdentados. Se observó un predominio de pérdida de pilar posterior (Ks1y2=43,9% - Ki1y2=59,1%). La distribución de las clases de Kennedy evidenció que en el maxilar superior predominó la Clase II, seguida por la Clase III y la Clase I, mientras que en el maxilar inferior la Clase I fue la más frecuente, seguida de la Clase II.

Palabras clave: adultos mayores, AMBA, áreas desdentadas

Avalado por Comité de Ética. No presenta conflictos de interés

30. Prevalencia y distribución de implantes dentales por sextante en pacientes adultos mayores en AMBA.

De Moliner DL1*, Martinez CA1, Aubia MC1, Zabala A1,2,3, Vega Barrionuevo B1, Ochoa A1, Demaria GA1, Compagnucci CV1, Via RA1, Catacora GS1, Olazabal RR1, Heredia GK1, Bagdadi CV1,4, Salgado PA5,6,7, Aredes JE1.

1.Odontología Integral del adulto mayor y clínica de prótesis removible FOUBA. 2. Planta Servicio de tercera edad, Hospital Odontológico Dr. Ramon Carrillo GCBA. 3. Diagnóstico por imágenes FOUBA. 4. Cátedra Fisiología FOUBA 5. Microbiología y Parasitología FOUBA. 6. Odontología Preventiva y Comunitaria FOUBA. 7. Instituto de Investigaciones en Salud UBA

Introducción: A nivel mundial se observa un aumento en la demanda de rehabilitaciones orales con implantes en población adulta mayor.

Objetivo/s: Describir la prevalencia y distribución de implantes dentales de pacientes de 60 años que concurren al servicio del Hospital Odontológico Universitario de la Facultad de Odontológía de la Universidad de Buenos Aires

Materiales y métodos: Diseño de investigación cuantitativo, transversal analítico observacional. Catorce operadores calibrados (Índice de calibración Kappa>0,90) observaron radiografías panorámicas digitales (n=4069) de pacientes mayores de 60 años, 2609 mujeres (64,7%) y 1460 hombres (35,3%), las cuales fueron tomadas en el período 2022 a 2024. Las variables registradas para maxilar superior (MS) e inferior (MI) fueron la presencia de implantes dentales (I), agrupado por sextante y por género. A partir de los datos obtenidos, se calculó la estadística descriptiva. Para comparar las variables con sexo se aplicó la prueba de Chi-cuadrado (significancia p<0,05) con el software estadístico IBM Spss versión 30.

Resultados: De 8138 maxilares observados, en MS 3202 no poseen I y 867 poseen 1 o más y en MI 3366 no poseen I y 703 poseen 1 o más. En ambos casos 1 y 2 implantes suman 54,6%. Se registraron I= 3527 totales distribuidos un 63,7% (n=2248) mujeres y 36,3% (n=1279) hombres, con diferencias estadísticas (p>0,001). La variable I, el 5% (n=1940) correspondió al maxilar superior y el 45% (n=1587) al inferior. Al observar la distribución por sextantes, los posteriores concentraron el 78% y los anteriores el 22%.

Conclusión/es: La prevalencia de implantes en adultos mayores atendidos en el hospital universitario mostró un predominio en el maxilar superior respecto al inferior y mayor concentración en los sextantes posteriores, lo que refleja la búsqueda de rehabilitación funcional en sectores masticatorios, una distribución heterogénea por persona, con mayoría de pacientes portadores de un bajo número de implantes, aunque con un subgrupo con rehabilitaciones extensas y mayor prevalencia en mujeres.

Palabras clave: implantes, adulto mayor, AMBA Avalado por Comité de Ética. No presenta conflictos de interés

31. Pares Oclusales. Prevalencia y distribución de pares oclusales en adultos mayores en AMBA.

Bagdadi CV1,2*, Martinez CA1, Aubia MC1, De Moliner D1, Ochoa A1, Compagnucci CV1, Via RA1, Catacora GS1, Olazabal RR1, Barrionuevo BV1, Heredia GK1, Salgado PA3,4,5, Aredes IE1.

1.Odontología Integral del adulto mayor y clínica de prótesis removible FOUBA. 2. Cátedra Fisiología FOUBA. 3. Microbiología y Parasitología FOUBA. 4. Odontología Preventiva y Comunitaria FOUBA. 5. Instituto de Investigaciones en Salud UBA

Introducción: El número de pares oclusales, definido como las relaciones funcionales entre dientes antagonistas de ambos arcos dentarios que entran en contacto durante la oclusión, es un indicador clave de capacidad masticatoria y función oral.

Objetivo/s: Describir la prevalencia y distribución de pares oclusales en pacientes mayores de 60 años que concurren al Hospital Odontológico Universitario de la Facultad de Odontología de la Universidad de Buenos Aires (FOUBA)

Materiales y métodos: Diseño de investigación cuantitativo, transversal descriptivo/analítico observacional. Catorce operadores calibrados (Índice de calibración Kappa>0,90) observaron radiografías panorámicas digitales (n=4069) de pacientes mayores de 60 años, 2609 mujeres (64,7%) y 1460 hombres (35,3%), las cuales fueron tomadas en el periodo de 2022 a 2024. Se registró el número de pares oclusales anteriores (A), posteriores (P) y totales (T) por paciente y por género, considerando tanto dientes naturales como rehabilitaciones protésicas funcionales. Los datos fueron analizados mediante estadística descriptiva y prueba de chi-cuadrado de Pearson, con nivel de significación p<0,05, con el software estadístico IBM Spss versión 30.

Resultados: De 4069 pacientes, 8 (0,2%) poseían una oclusión completa con 16 pares oclusales y 900 (22,1 %) ningún par oclusal. Se observó 1248 (30,7%) con T≥10; 851 (20,9%) con T=7-16; 630 (15,5%) con T=4-6; y 440 (10,8%) con T≤3. No hubo diferencia significativa entre género. Al analizar la distribución por sector se observó: 44 con A=6, 10,3% con A=5, por lo que más de la mitad de los observados poseen predominio de A con una diferencia significativa en el grupo género femenino 58,2% vs 47,1%.

Conclusión/es: La mayoría de los pacientes adultos mayores evaluados presentó una reducción significativa en el número de pares oclusales, tanto anteriores como posteriores. Solo el 30,7% poseen 10 o más pares oclusales, por lo que estarían dentro de una oclusión funcional normal según la OMS. Los varones mostraron una mayor proporción de ausencia de pares en comparación con las mujeres.

Palabras clave: pares oclusales - adultos mayores - AMBA

Avalado por Comité de Ética. No presenta conflictos de interés

32. Concordancia interevaluadores en la interpretación de radiografías panorámicas en adultos mayores.

Aubia MC1*, Martinez CA1, Aredes IE1, Salgado PA2,3,4.

1.Odontología Integral del adulto mayor y clínica de prótesis removible FOUBA. 2. Microbiología y Parasitología FOUBA. 3. Odontología Preventiva y Comunitaria FOUBA. 4. Instituto de Investigaciones en Salud UBA

Introducción: La interpretación de radiografías panorámicas constituye una herramienta diagnóstica fundamental para el abordaje integral de la salud bucal en adultos mayores.

Objetivo/s: Evaluar el grado de concordancia interevaluadores en la interpretación de radiografías panorámicas en adultos mayores y determinar la confiabilidad de los evaluadores en la identificación de variables e indicadores específicos.

Materiales y métodos: Se diseñó un estudio de concordancia interevaluadores que incluyó a 67 odontólogos pertenecientes a seis Universidades Nacionales y dos Hospitales Odontológicos. Los participantes analizaron 20 radiografías panorámicas de pacientes mayores de 60 años. La confiabilidad interevaluadores se determinó mediante el coeficiente Kappa de Cohen (KC) para la comparación individual de cada evaluador con el Gold Estándar, y el coeficiente Kappa de Fleiss (KF) para el acuerdo global por institución. Los operadores con valores de Kappa <0,80 fueron recalibrados en relación con el Gold Estándar. Las variables analizadas para cada maxilar incluyeron: clasificación de Kennedy, piezas dentarias presentes, implantes y pares oclusales.

Resultados: Se calcularon el KC para cada operador comparado con un Gold Estándar y el KF para cada grupo. El KC fue > 0.85 para los 66 operadores evaluados. Los valores de KF por institución fueron los siguientes: FOUBA KF=0.956 (IC95% 0.950-0.963); UNNE= 0.879 (IC95% 0.864-0.894); UNC= 0.854 (IC95% 0.805-0.826); HC=0.896 (IC95% 0.878-0.915); UNR= 0.912 (IC95% 0.894-0.930); UNCUYO=0.847 (IC95% 0.836-0.858); HOF=0.834 (IC95% 0.820-0.849); UNT: 0.845 (IC95% 0.820-0.849).

Conclusión/es: Los resultados muestran un alto nivel de consenso, indicando que la evaluación de radiografías panorámicas en esta población es uniforme y confiable entre diferentes profesionales para las diferentes variables analizadas. Estos hallazgos respaldan la utilidad de esta técnica diagnóstica en el manejo integral de la salud bucal en adultos mayores, destacando la importancia de estandarizar los criterios de evaluación para optimizar la práctica clínica.

Palabras clave: radiografías panorámicas, adultos mayores, confiabilidad

Avalado por Comité de Ética. No presenta conflictos de interés

33. Análisis de piezas dentarias en adultos mayores en AMBA.

Zabala AF1,2,3*, Martinez CA1, Aubia MC1, De Moliner D1, Ochoa A1, Vega Barrionuevo B1, Demaria GA1, Via RA1, Compagnucci CV1, Catacora GS1, Ramos Olazabal R1, Heredia GK1, Bagdadi CV1,4, Salgado PA5,6,7, Aredes I1.

1.Odontología Integral del adulto mayor y clínica de prótesis removible FOUBA. 2. Planta Servicio de tercera edad, Hospital Odontológico Dr. Ramon Carrillo GCBA. 3. Diagnóstico por imágenes FOUBA. 4. Cátedra Fisiología FOUBA 5. Microbiología y Parasitología FOUBA. 6. Odontología Preventiva y Comunitaria FOUBA. 7. Instituto de Investigaciones en Salud UBA

Introducción: La pérdida dentaria es una condición frecuente que afecta a una gran proporción de la población adulta a nivel mundial.

Objetivo/s: Describir la condición dentaria en términos de piezas presentes (P), coronas clínicas (C), piezas retenidas (R), restos radiculares (RR), piezas dentarias con sistema de retención (SR) y dientes endodónticamente tratados (DET) en pacientes mayores de 60 años que concurren al servicio del Hospital Odontológico Universitario de la Facultad de Odontología de la Universidad de Buenos Aires (FOUBA).

Materiales y métodos: Diseño de investigación cuantitativo, transversal descriptivo y observacional. Catorce operadores calibrados (Índice de calibración Kappa>0,90) observaron radiografías panorámicas digitales (n=4069) de pacientes mayores de 60 años, 2609 mujeres (64,7%) y 1460 hombres (35,3%). Las variables registradas para cada maxilar fueron piezas presentes (P), coronas clínicas (C), piezas retenidas (R), restos radiculares (RR), piezas dentarias con sistema de retención (SR), dientes endodónticamente tratados (DET). A partir de los datos obtenidos se realizó la estadística descriptiva.

Resultados: Se calculó la media y el desvío standard para las variables. Para P la media y el desvío standard fue Ps=7±5 y Pi=9±5; para C fue Cs=8±6 y Ci=9±5; para R fue Rs=0±0 y Ri=0±0; para RR fue RRs=0±1 y RRi=0±1; para SR fue SRs=0±0 y SRi=0±0; y para DET fue DETs=1±2 y DETi=1±1.

Conclusión/es: Los adultos mayores estudiados presentan un número reducido de piezas dentarias y coronas clínicas, con un valor menor en maxilar superior, y baja frecuencia de restos radiculares, piezas retenidas y dientes endodónticamente tratados. evidenciando la necesidad de reforzar medidas preventivas y rehabilitadoras en esta población.

Palabras clave: adultos mayores, estado bucodental, rehabilitación protetica Avalado por Comité de Ética. No presenta conflictos de interés

34. Evaluación de la dureza de composites utilizados para la confección de incrustaciones luego de diferentes tratamientos de poscurado.

Mendiondo J, Lespade M*, Doi Y, Picca M, Garrofé A. Cátedra de Materiales Dentales FOUBA

Introducción: Las resinas compuestas se utilizan ampliamente para la confección de restauraciones directas. Sin embargo, cuando las cavidades presentan mayor tamaño, requieren propiedades mecánicas superiores o se localizan en zonas de difícil acceso, resulta conveniente realizar las restauraciones de forma indirecta. Estas pueden elaborarse con el mismo composite empleado en restauraciones directas, ya sea en el consultorio o en un laboratorio, con la posibilidad de aplicar tratamientos complementarios a la fotopolimerización para optimizar sus propiedades.

Objetivo/s: El objetivo de este trabajo fue evaluar la microdureza Vickers de composites utilizados para la confección de incrustaciones luego de ser sometidos a diferentes técnicas adicionales de polimerización o poscurado.

Materiales y métodos: Se confeccionaron 35 probetas de composite Brillant Everglow A2/B2 (Coltene), las cuales fueron fotopolimerizadas con una unidad de curado LED (Coltolux, Coltene) 850 mw/cm2 durante 20 segundos, tanto en top como en bottom. Luego se pulieron y dividieron en 7 grupos: un grupo control (A) y otros 6 grupos que fueron sometidos a diferentes tratamientos de poscurado: agua ebullición (B), agua ebullición -en bolsa- (C), fotocurado extraoral (D), microondas -seco- (E), microondas -sumergida agua- (F) y autoclave (G). En todos los grupos se midió la dureza (HV) en la superficie top con un microdurómetro Vickers Future Tech modelo FM300 (50 g, 10 s) en forma inmediata (t0) y a las 24 horas (t24) luego de mantenerlas sumergidas en agua destilada dentro de una estufa a 37°C. Los resultados se analizaron estadísticamente mediante ANOVA para medidas repetidas y pruebas post hoc (p<0,05).

Resultados: La media y DS de HV fueron: [A] to: 119,71(27,19), t24: 49,27(3,70); [B] to: 59,99(5,27), t24: 58,27(8,49); [C] to: 57,40(5,33), t24: 52,39(5,62); [D] to: 57,99(3,42), t24: 54,93(2,45); [E] to: 71,16(7,52), t24: 56,0(7,24); [F] to: 56,07(7,84), t24: 57,45(8,73); [G] to: 79,61(6,46), t24: 62,85(8,80). El análisis estadístico mostró el efecto significativo de las variables tratamiento y tiempo y de la interacción entre estas (p<0,05).

Conclusión/es: A partir de los resultados obtenidos podemos concluir que los tratamientos aplicados influyen de manera significativa en la dureza inmediata del material, y que la misma desciende luego de 24 horas de realizado el tratamiento de poscurado.

Palabras clave: composite, dureza, polimerización

No presenta conflictos de interés

35. Control de calidad histológico de un nuevo biomaterial a base de Ácido hialurónico. Estudio in vivo en ratas.

Martinez R*, Palma SD, Camacho N, Ferrer B, Ontivero L, Sorbera L, Dorado G, Rodriguez I.

Cátedra Histología, Embriología e Ingeniería Tisular B FOUNC

Introducción: En la actualidad el ácido hialurónico (AH) es utilizado en armonización bucofacial. Nuestro grupo de investigación desarrolló un nuevo biomaterial a base de ácido hialurónico, por lo que es necesario un control de calidad histológico para su posible utilización clínica.

Objetivo/s: Realizar un control de calidad histológico para analizar la biocompatibilidad y biodegradabilidad de un nuevo biomaterial a base de ácido hialurónico en un modelo in vivo de ratas Wistar.

Materiales y métodos: Se utilizó un biomaterial a base de ácido hialurónico, esferas de polidextrano y matriz ósea colagenada (AH-P-HA) que fue inyectado en tejido celular subcutáneo de ratas Wistar macho (n=5). El grupo control recibió solución fisiológica. La eutanasia fue realizada a las 24 hs,7,30 y 60 días. Se realizaron análisis histológicos descriptivos y cuantitativos para valorar biocompatibilidad local, sistémica y biodegradabilidad mediante técnicas histológicas de rutina, histoquímicas e inmunohistoquímicas Se utilizó el método estadístico de Mann-Whitney.

Resultados: Se observó que AH-P-HA persistía en el tejido celular subcutáneo a los 60 días, mostrando una progresiva biointegración evidenciada por el aumento significativo estadísticamente del colágeno fibrilar (p<0,05) y de proteoglucanos (p<0,05) en los diferentes tiempos. A su vez, este patrón pro-regenerativo se correlacionó con la presencia de macrofagos tipo 2. Respecto a la biocompatibilidad local de AH-P-HA, se observó una reacción inflamatoria linfoplasmocitaria que disminuyó progresivamente en el transcurso de los 60 días. En relación a la biocompatibilidad sistémica no se observaron alteraciones estructurales en hígado, bazo, pulmón, riñón y ganglio.

Conclusión/es: El control de calidad histológico de AH-P-HA en el modelo in vivo propuesto, demostró biocompatibilidad sistémica y local asociada a un proceso regenerativo de colágeno fibrilar, proteoglucanos y macrófagos tipo II, asociado a la presencia del biomaterial en los tiempos estudiados.

Palabras clave: ácido hialurónico, biocompatibilidad, biodegradabilidad

Financiamiento: Secyt-UNC 024-21-E-UNC-SECYT#ACTIP Avalado por Comité de Ética. No presenta conflictos de interés

36. Evaluación in vivo de un polímero biodegradable con estructura tridimensional entramada para ingeniería tisular ósea.

Frosasco CL1,2,3 *, Renou SJ2, Pérez E4,1, Taranto J2, Todero MF2, Fontanetti PA3, Olmedo DG1,2.

1. Consejo Nacional de Investigaciones Científicas y Técnicas (CONICET). Buenos Aires, Argentina. 2. Cátedra de Anatomía Patológica. Buenos Aires, Argentina. 3. Universidad Nacional de Córdoba. Facultad de Odontología. Departamento de Biología Bucal. 4. CONICET- Universidad Nacional de Córdoba. Instituto de Investigación y Desarrollo en Ingeniería de procesos y Química Aplicada.

Introducción: El ácido poliláctico con β -fosfato tricálcico (PLA/ β -TCP-2,5%) es una alternativa para la rehabilitación de defectos óseos. En un estudio previo, este biomaterial -en formato de implante compacto- se degradó superficialmente, con escasa penetración del tejido óseo. Una estructura tridimensional entramada incrementaría el área de superficie del biomaterial favoreciendo su biodegradación y la neoformación ósea.

Objetivo: Evaluar in vivo la respuesta tisular del PLA/β-TCP-2,5% con estructura tridimensional entramada en un modelo murino, a 1 y 6 meses post-implantación.

Materiales y Métodos: Los implantes fueron caracterizados mediante MEB-EDS e implantados en la médula ósea de la tibia de 20 ratas Wistar macho. A 1 y 6 meses se practicó la eutanasia; las tibias fueron resecadas y procesadas para su evaluación histológica. Se realizó inmunomarcación (anti-CD68) para detección de células gigantes multinucleadas (CGMNs) y su recuento. Se analizó histomorfométricamente el % de oseointegración y área de tejido óseo neoformado. Los resultados se compararon estadísticamente utilizando la prueba t de Student (p<0.05). Resultados: El análisis del PLA/β-TCP-2,5% mediante MEB mostró oquedades de 185μm separadas por paredes de 300μm y partículas de β-TCP inmersas en la matriz de PLA, cuyo análisis por EDS evidenció Ca y P (partículas) y C y O (polímero). Histológicamente, a 1 y 6 meses se observó la neoformación de tejido óseo laminar en contacto con la estructura tridimensional del implante, evidenciándose histomorfométricamente una mayor área de tejido óseo neoformado y del porcentaje de oseointegración a los 6 meses (p<0.05). Se evidenciaron CGMNs (CD68 positivas) con biomaterial fagocitado (EDS) en la interfaz biomaterial-tejido óseo, cuyo número incrementó en función del tiempo (p<0.05).

Conclusiones: La arquitectura tridimensional entramada del biomaterial con una mayor superficie expuesta al medio biológico favoreció, en función del tiempo, el incremento de la neoformación de tejido óseo y la biodegradación del biomaterial. Las CGMNs con biomaterial fagocitado fueron indicadoras del mecanismo progresivo de biodegradación.

Palabras clave: regeneración ósea, sustitutos óseos, ácido poliláctico, β-fosfato tricálcico, estructura entramada 3D Financiamiento: UBACYT 20020190100148BA; FOUBA 03-02-24; PIP CONICET 11220210100852CO Avalado por Comité de Ética. No presenta conflictos de interés

37. Mineralización inducida por mecanotransducción en Ti Gr5: análisis por SBF y cultivos celulares.

Mayocchi KA1*, Wong Kang K2, Lemos Barbosa A2, Blasetti N1, Mayocchi RM1, Canafoglia ME3, Kohan J2.

1. Laboratorio Biología Molecular y Biotecnología, (LBMB)FOLPUNLP. 2. Laboratorio de Investigaciones de Metalurgia Física (LIMF)Facultad de Ingeniería UNLP. 3. Laboratorio Geoquímica. UNLP

Introducción: El Ti gr5, por su biocompatibilidad es utilizado como material biomédico, aunque sus características superficiales, especialmente la mecanotransducción aún genera interrogantes. Diversos estudios evalúan la influencia del Ca en la diferenciación celular de células madre mesenquimales (CMM) y la consecuente mineralización de la matriz extracelular relacionando la concentración de iones calcio con el comportamiento celular.

Objetivo: Evaluar la capacidad de inducir la formación de apatita cálcica mediante ensayo de inmersión en fluidos corporales simulados (SBF).

Materiales y Métodos: Se realizaron 4 grupos de superficies de Ti Gr 5: tratadas mediante blastinizado con partículas de fosfato de calcio, grabado ácido, y tratamiento alcalino, en NaOH (60°C, 24hs, 10M). Una muestra fue estudiada según las condiciones de tratamiento superficial (BNA), otra condición fue inmersa en SBF durante 90 min, Norma ISO 23317:2025(en) (BNa SBF), otra condición fue luego de inmersión en SBF durante 90min, se colocó en cultivo in vitro con CMM de origen pulpar, durante 48 hs(BNaCél SBF), y por último se estudió la condición tratada superficialmente en cultivos celulares (BNaCél). Se obtuvieron cuatro condiciones de estudio: BNa, BNaSBF; BNaCél; BNaCél SBF. La caracterización superficial se realizó mediante SEM y análisis semicuantitativo de espectroscopía dispersiva de energías (EDS), para determinar las relaciones de Ca/Na. Las concentraciones obtenidas no representan valores absolutos sino proporciones relativas (Ca/Na), analizadas de manera cualitativa y descriptiva, a partir de un promedio estadístico realizado tomando espectros característicos en distintas zonas de las muestras observadas, estos son resultados semicuantitativos debido a la capacidad analítica de la técnica.

Resultados: En BNa se observó un patrón del titanato de sodio con una textura y morfología sobre la superficie, BNaSBF evidenció la formación de precipitados superficiales, en BNaCél se identificaron células adheridas a la superficie, BnaCélSBF presentó superficie texturizada con precipitados de mayor tamaño en comparación con la condición BNaSFB, y células adheridas. Respecto al contenido de Ca, se observaron tendencias relativas: el grupo BNaCélSBF presentó un aumento cualitativo de Ca y una disminución de Na en comparación con los otros grupos. Dichos cambios reflejan variaciones observadas por EDS, y son resultados de promedios estadísticos a partir de espectros realizados en distintas zonas de la muestra, sin que se disponga de valores cuantitativos absolutos. Las zonas con mayor densidad de precipitados observadas por SEM coincidieron con regiones de mayor relación Ca/Na detectadas por EDS, sugiriendo una posible correlación entre la morfología superficial y la formación inicial de fases cálcicas.

Conclusiones: : La relevancia de los precipitados visualizados radica en su posible implicancia en la nucleación de fases cálcicas, que junto al aumento de Ca, podría interpretarse como un indicio de formación de matriz potencialmente mineralizable. Se destaca el comportamiento observado en las superficies BNaCélSBF, con tendencia a mayor Ca y menor Na, pudiendo asociarse con actividad osteoblástica inicial y procesos de mineralización de la matriz extracelular. Estos hallazgos sugieren un posible proceso de mineralización inducido por mecanotransducción, aunque deberán confirmarse con técnicas cuantitativas en estudios posteriores.

Palabras clave: Titanio-Precipitado-Calcio

Financiamiento: UNLP

38. Influencia de diferentes lámparas de fotopolimerización LED sobre el efecto antibacteriano de un Giómero contra el Streptococcus Mutans.

Fernández Tarazona JA*, Torres Rivera ZJ, de Souza As

Objetivo: Evaluar y comparar la influencia de tres unidades de fotopolimerización LED de tercera generación sobre el efecto antibacteriano de un material restaurador bioactivo Giómero

Materiales y Métodos: PREPARACIÓN DE LA MUESTRA. AISLAMIENTO DEL STREPTOCOCUS MUTANS. PREPARACIÓN DEL MEDIO DE CULTIVO. INCUBACIÓN DE LOS ESPECÍMENES. MEDICIÓN DEL EFECTO ANTIBACTERIANO. ANÁLISIS ESTADÍSTICO

Resultados: La prueba de Kruskal Wallis determinó que existe influencia del tipo de unidad de fotopolimerización LED de tercera generación sobre el efecto antibacteriano del Giómero, estas diferencias se identificaron mediante prueba post hoc de Dunn – Bonferroni, determinándose que estas diferencias se presentaron en el grupo de Valo Grand e I – Led en comparación a Curing Pen (p<0,05 respectivamente)

Conclusiones: Bajo las limitaciones de este estudio experimental in vitro podemos concluir que las unidades de fotopolimerización LED de tercera generación potencian el efecto antibacteriano de un Giómero (Valo Grand e I - Led). Además, en relación a los periodos de medición de los halos de inhibición los tamaños más grandes de halos se obtuvieron a las 168 horas.

Palabras clave: Bioactividad; Efecto antibacteriano; Giómero; Polimerización; Lámpara de polimerización dental LED; Irradiancia. Financiamiento: Instituto Científico de la Universidad Andina del Cusco

Este estudio experimental in vitro se basó en el análisis de sustancias inertes y dado que no hubo compromiso o perjuicio de participantes humanos, esta quedó exenta de una evaluación por parte de un Comité de Ética

39. Control de placa y gingivitis en pacientes con necesidades especiales: estudio clínico aleatorizado.

Cançado Figueiredo M*Scheffler Schirma Farias C, Souza Führ J, Cé Rossoni da Conceição M, Buaes Carpes B, Vianna Potrich AR. Universidad Federal de Río Grande del Sur

Introducción: Pacientes con necesidades especiales en odontología son aquellos que presentan una condición, ya sea temporal o permanente, que requiere un tratamiento diferenciado. Diversos factores pueden impedir que estos pacientes reciban cuidados odontológicos convencionales, incluyendo enfermedades hereditarias, defectos congénitos, trastornos metabólicos, alteraciones sistémicas y conductuales. Objetivo: Este estudio tuvo como objetivo comparar el uso de cepillos dentales sónicos y manuales por parte de cuidadores de pacientes con necesidades especiales, evaluando los índices de placa visible (IPV) y de sangrado gingival (ISG). Materiales y Métodos: Fue un ensayo clínico aleatorizado en el que se seleccionaron aleatoriamente 22 pacientes que presentaban una enfermedad de base que condicionaba incapacidad intelectual y/o motora/física, siendo su higiene bucal realizada exclusivamente por un cuidador con vínculo familiar. Los pacientes fueron divididos en dos grupos (cepillo sónico/CS y cepillo manual/CM) mediante una lista de números aleatorios obtenida en el software Excel (Microsoft, 2010). Los pacientes fueron evaluados y los datos de las características de la muestra (género/edad/enfermedad/condición de base) fueron analizados de forma descriptiva. Se realizó la prueba t pareada para analizar el cambio en el comportamiento del IPV y del ISG intra e intergrupo antes y después del uso de los dispositivos y de las instrucciones de higiene bucal (IHB) dirigidas a los cuidadores. Los análisis se realizaron considerando un nivel de significancia de 0,05, utilizando el software estadístico adecuado (IBM SPSS 20.0). Resultados: Se encontró una diferencia estadísticamente significativa para el IPV e ISG inicial y final (p=0,00) en ambos grupos, pero sin diferencias en cuanto al tipo de cepillo utilizado. Conclusión: El presente estudio evidenció la importancia del cepillado en el mantenimiento de la salud bucal de pacientes con necesidades especiales, demostrando que tanto los cepillos sónicos como los manuales fueron eficaces en la reducción de los índices de placa visible y sangrado gingival. Este impacto positivo en la salud bucal de estos pacientes está intrínsecamente ligado a la orientación adecuada y a la capacitación de sus cuidadores.

Palabras clave: Atención odontológica a personas con discapacidad. Biopelícula dental.Cepillado

Financiamiento: Prorrectorado de Extensión de la Universidad Federal de Río Grande del Sur.

40. Percepción de salud bucal y calidad de vida en adolescentes atendidos en diferentes entornos institucionales.

Fernández CR*1, Cornejo C3, 1, 2, Souza M1, Torres M1, Furci N1, Carabajal M1, Salgado P3, 1, 2, Squassi A2, 1, 4, Klemonskis G2, 1

1. Universidad de Buenos Aires, Facultad de Odontología, Cátedra de Odontología Preventiva y Comunitaria. 2. Universidad de Buenos Aires, Facultad de Odontología, Instituto de Investigaciones en Salud Pública. 3. Universidad de Buenos Aires, Facultad de Odontología, Cátedra de Odontología Microbiología y Parasitología. 4. Consejo Nacional de Investigaciones Científicas y Tecnológicas (CONICET).

Objetivo: Evaluar la asociación entre la percepción de salud bucal y la severidad de caries en adolescentes atendidos en diferentes entornos institucionales. Materiales y Métodos: Se realizó un estudio de corte transversal sobre 246 adolescentes (11-14 años), seleccionados por muestreo no probabilístico por conveniencia. Se conformaron dos grupos según el ámbito institucional donde se realizó la atención y la recolección de datos: G1 (institución deportiva) y G2 (institución educativa). Se incluyeron participantes con consentimiento informado y sin enfermedades sistémicas asociadas. Se aplicó el Child Perceptions Questionnaire abreviado (CPQ-16), validado en población hispanohablante, que evalúa síntomas bucales, limitaciones funcionales, bienestar emocional y social en escala Likert de 5 puntos. El cuestionario fue autoadministrado con apoyo de un investigador capacitado. La severidad de caries se determinó con el Índice de Necesidad de Tratamiento de Caries (INTC), en tres categorías: baja (0-2), moderada (3-6) y alta (>6). El examen clínico fue realizado por profesionales calibrados. Se compararon puntuaciones del CPQ según severidad de caries, sexo y grupo institucional mediante pruebas bilaterales con ajuste de Bonferroni. La consistencia interna se evaluó con alfa de Cronbach global y por subescala. Los datos se procesaron con SPSS v26. Resultados: Las mujeres con INTC >6 presentaron puntuaciones significativamente más altas en síntomas bucales (p<0.001), limitación funcional (p<0.003), bienestar emocional (p<0.002) y social (p<0.007), con mayor impacto global (p<0.000). En hombres, las diferencias no fueron significativas. La fiabilidad del CPQ fue aceptable a buena en todos los grupos, con mayor consistencia en mujeres (α = 0.770). En hombres los valores fueron más bajos (α = 0.671 y α = 0.697), lo que podría reflejar menor identificación con los ítems. Conclusión: La severidad de caries se asoció con mayor afectación en la calidad de vida percibida, especialmente en mujeres y en los dominios emocional y social. El CPQ mostró adecuada fiabilidad, más robusta en mujeres, reforzando su utilidad como herramienta sensible para detectar el impacto psicosocial de la salud bucal en adolescentes. El ámbito institucional de atención podría constituir una dimensión relevante para la comprensión de estas diferencias.

Palabras clave: caries dental, calidad de vida relacionada con salud bucal, estudios de corte transversal

Financiamiento: PAIIO 2025-2027

41. Percepción de sequedad bucal y tasa de flujo salival en personas mayores: estudio preliminar.

Neimaier E*1, Dubois V 2, 1, Roca E1, Manzanel L1, Ferrarini S3, Squassi A2, 3, 4, Salgado P 2, 3, 1, Cornejo C 2, 3, 1

1. Universidad de Buenos Aires, Facultad de Odontología, Cátedra de Odontología Microbiología y Parasitología. 2. Universidad de Buenos Aires, Facultad de Odontología, Instituto de Investigaciones en Salud Pública. 3. Universidad de Buenos Aires, Facultad de Odontología, Cátedra de Odontología Preventiva y Comunitaria. 4. Consejo Nacional de Investigaciones Científicas y Tecnológicas (CONICET)

Objetivo: Evaluar la percepción de sequedad bucal en personas mayores y su asociación con la tasa de flujo salival (TFS) y variables odontológicas y médicas relacionadas. Materiales y Métodos: Se realizó un estudio de corte transversal sobre una muestra no probabilística por conveniencia de personas mayores (PM), concurrentes al Hospital Odontológico Universitario de la Facultad de Odontología de la Universidad de Buenos Aires (HOU-FOUBA). Se excluyeron personas con deterioro cognitivo y se eliminaron aquellos pacientes con datos incompletos. Se registraron variables sociodemográficas y antecedentes médicos. La TFS se determinó mediante recolección estandarizada de saliva y la percepción de sequedad bucal con el cuestionario de Fox. Las variables odontológicas incluyeron: Índice de Placa (IP), Índice Gingival (IG), diagnóstico dentario (CPOD), Índice de Caries Radicular (RCI) y uso de prótesis. Se calcularon frecuencias, porcentajes e intervalos de confianza del 95% (IC95%) para variables cualitativas, y media, mediana y desvío estándar para cuantitativas. Test de chi cuadrado. Resultados: La muestra estuvo constituida por 50 pacientes (58% mujeres), con edad media de 74,4 años. El nivel educativo predominante fue secundario completo (24%). El 12% fuma y el 92%(IC95%:82,1-97,2)) toma algún medicamento. HTA 62%(IC95%:48,2-74,5); colesterol 24%(IC95%:13,8-37,1), antidepresivos 20%(IC95%:10,8-32,6) y diabetes 18% (IC95%:10,8-32,6). Usaban prótesis 64% (IC95%:50,2-76,2). Indicadores odontológicos: IP >1 65,4% (IC95%:46,3-81,3). IG: inflamación Leve 50%. Promedio dientes afectados 26 (C = 2; P = 20; O = 4). Superficies radiculares expuestas 27,6% y RCI 24,9%. Percibió boca seca 42%(IC95%29,1-55,8); Saliva espesa el 28%(IC95%17,0-41,4) y el 6% ardor lingual. Entre los pacientes con TFS baja (<0,4 ml/min), el 48% percibió boca seca, el 29,6% saliva espesa y el 3,7% ardor lingual. No se observaron diferencias estadísticas entre Boca seca con usar prótesis (p=0,738); IP>1 (p=0,653) y IG (p=0,441). Conclusión: Más de la mitad de la muestra presentó baja TFS, asociada principalmente a la percepción de boca seca. Aunque no se observaron asociaciones significativas con otras variables odontológicas y médicas, los resultados subrayan la importancia de considerar la percepción subjetiva de seguedad como un indicador clínico en PM

Palabras clave: Xerostomía, Saliva, Odontogeriatría

Financiamiento: PAIIO-FOUBA 2025-2027

42. Factores clínicos asociados a hipersensibilidad dentinaria: análisis de regresión logística en un estudio transversal.

Afonso Ramírez CL*1, Escalante Vila MF 2, 1, Squassi A 2, 1, 3, Rodríguez CM1, Salgado P 2, 1, 4, D'Eramo L2, 1

1. Universidad de Buenos Aires, Facultad de Odontología, Cátedra de Odontología Preventiva y Comunitaria. 2. Universidad de Buenos Aires, Facultad de Odontología, Instituto de Investigaciones en Salud Pública. 3. Consejo Nacional de Investigaciones Científicas y Tecnológicas (CONICET). 4. Universidad de Buenos Aires, Facultad de Odontología, Cátedra de Odontología Microbiología y Parasitología

Objetivo: Identificar factores clínicos y demográficos asociados a la hipersensibilidad dentinaria (HD) mediante un modelo multivariado de regresión logística binaria en un estudio transversal, considerando como variable dependiente la escala de Schiff. Materiales y Métodos: Se realizó un estudio de corte transversal sobre una muestra no probabilística por conveniencia de 311 pacientes que asistieron por demanda espontánea a un servicio universitario de atención odontológica. Los criterios de inclusión fueron pacientes ≥16 años con al menos cinco dientes funcionales. Fueron excluidos pacientes con enfermedades sistémicas, en tratamiento con analgésicos, anticoagulantes o antibióticos; bajo tratamiento ortodóntico; aquellos que hubieran recibido anestesia local en las últimas 24 horas. La evaluación clínica excluyó piezas dentarias con caries activa, fracturas, restauraciones cervicales profundas o defectuosas, o que formaran parte de prótesis fijas o removibles. La HD se evaluó mediante estímulo térmico con chorro de aire-agua en superficies vestibulares, registrando la respuesta con la escala de Schiff (0-3). Para el análisis la escala se dicotomizó en dos modelos: Schiff 0-1 vs. 2-3 y Schiff 0 vs. 1-3. La erosión dental se evaluó con el índice BEWE (0-3). Además, se registraron edad, género, condición de salud general e inflamación gingival (IG, proporción de sitios con IG >1). Se describieron variables con frecuencias y medias. Para la asociación se aplicó regresión logística binaria, con HD como variable dependiente. Se calcularon OR con IC95% y se estableció un valor significativo de p<0.05. Resultados: En el modelo de Regresión logística binaria (Schiff 0-1 vs. 2-3), la hipersensibilidad dentinaria se seleccionó como variables predictoras: salud general alterada (OR = 1,87; IC95%: 1,25-2,80; p = 0,002); erosión dental (BEWE) (OR = 1,82; IC95%: 1,20-2,75; p = 0,004); e inflamación gingival (IG >53%) (OR = 2,50; IC95%: 1,18-5,26; p = 0,016); con una predicción del modelo del 71,9%. La edad y el género fueron excluidas del modelo. Conclusión: La hipersensibilidad dentinaria se asoció significativamente con la erosión dental y la inflamación gingival, identificados como factores clínicos asociados de manera independiente en el análisis multivariado. Estos hallazgos refuerzan la necesidad de integrar el desgaste erosivo y el estado gingival en el diagnóstico de la HD.

Palabras clave: Hipersensibilidad dentinaria, Erosión dental, Gingivitis

Financiamiento: PAIIO-FOUBA 2025-2027

43. Impacto de la definición de hipersensibilidad dentinaria en la identificación de predictores clínicos: análisis comparativo con modelos de regresión logística.

Escalante Vila MF*1, 2, D'Eramo L1, 2, Afonso Ramírez CL2, Rodríguez CM2, Salgado P1, 2, 3, Squassi A1, 2, 4

1. Universidad de Buenos Aires, Facultad de Odontología, Instituto de Investigaciones en Salud Pública. 2. Universidad de Buenos Aires, Facultad de Odontología, Cátedra de Odontología Preventiva y Comunitaria. 3. Universidad de Buenos Aires, Facultad de Odontología, Cátedra de Odontología Microbiología y Parasitología. 4. Consejo Nacional de Investigaciones Científicas y Tecnológicas (CONICET)

Objetivo: Comparar los factores predictores de la hipersensibilidad dentinaria (HD) según dos definiciones basadas en la categorización de la escala de sensibilidad, mediante modelos multivariados de regresión logística binaria. Materiales y Métodos: Se realizó un estudio de corte transversal sobre una muestra no probabilística por conveniencia de 311 pacientes que asistieron por demanda espontánea a un servicio universitario de atención odontológica. La HD se evaluó con estímulo térmico (aire-agua) en superficies vestibulares, registrada con la escala de Schiff (0-3). Se construyeron dos modelos de regresión logística binaria con dicotomías alternativas: Schiff 0-1 vs. 2-3 y Schiff 0 vs. 1-3. Se consideraron como variables independientes: erosión dental (BEWE), inflamación gingival (IG, proporción de sitios con IG >1), salud general, edad y género. Se calcularon Odds Ratio (OR) con IC95%. Resultados: En el modelo Schiff 0-1 vs. 2-3, la HD se asoció significativamente con: salud general alterada (OR = 1,87; IC95%: 1,25-2,80; p = 0,002); erosión dental (BEWE) (OR = 1,82; IC95%: 1,20-2,75; p = 0,004); e inflamación gingival (IG >53%) (OR = 2,50; IC95%: 1,18–5,26; p = 0,016)); con una predicción del modelo del 71,9%. En el modelo Schiff 0 vs. 1–3, la HD se asoció con: salud general alterada (OR = 2,36; IC95%: 1,51-3,69; p < 0,001); erosión dental (BEWE) (OR = 2,21; IC95%: 1,40-3,48; p = 0,001); e inflamación gingival (IG >53%) (OR = 1,63; IC95%: 1,03-2,58; p = 0,036),); con una predicción del modelo del 73,8. Conclusión: Los predictores clínicos de la hipersensibilidad dentinaria variaron según la operacionalización de la escala de evaluación. La erosión dental y la inflamación gingival se mantuvieron como factores significativos en ambos modelos, aunque con distinta magnitud de asociación. Estos hallazgos resaltan la importancia de la definición operativa utilizada en la investigación y el diagnóstico clínico de la HD, con implicancias tanto metodológicas como prácticas.

Palabras clave: Hipersensibilidad dentinaria, Erosión dental, Gingivitis

Financiamiento: PAIIO-FOUBA 2025-2027

44. Prevalencia de lesiones endoperiodontales en un Hospital Escuela de la Universidad de Buenos Aires. Estudio transversal.

Caceres SH*1, Castellanos J1, Caride F1, Elejalde NA2, Figuero Ruiz E2, Rodríguez PA3, Bugiolachi J1

1. Cátedra de Periodoncia, Facultad de Odontología, Universidad de Buenos Aires. 2. Grupo de investigación ETEP (Etiología y Terapia de Enfermedades Periodontales y Periimplantarias). Facultad de Odontología, Universidad Complutense de Madrid, España. 3. Cátedra de Endodoncia, Facultad de Odontología Universidad de Buenos Aires

Introducción: El sistema de clasificación de enfermedades y condiciones periodontales y periimplantarias del año 2018 definió la lesión endoperiodontal (LEP) como una comunicación patológica entre la pulpa y los tejidos periodontales de un diente. Dado que la evidencia para definir su etiología, diagnóstico, pronóstico y tratamiento se consideró limitada, se realizó un estudio transversal para evaluar su prevalencia en la población atendida en la Cátedra de Periodoncia de la Facultad de Odontología de la Universidad de Buenos Aires (FOUBA). Objetivo: El objetivo principal fue evaluar la prevalencia de lesiones endoperiodontales. El objetivo secundario fue identificar posibles indicadores de riesgo asociados con su prevalencia. Materiales y Métodos: Se seleccionaron consecutivamente pacientes derivados por primera vez a la Cátedra de Periodoncia de FOUBA entre enero y abril de 2025. Se realizó un examen clínico y radiográfico. Los resultados categóricos se describieron mediante proporciones. La asociación cruda entre la prevalencia de LEP y cada uno de los factores registrados (diabetes, enfermedades cardiovasculares, tratamiento oncológico, fijadores de calcio, enfermedades autoinmunes, tabaco, traumatismo dental, ortodoncia y diagnóstico periodontal) se determinó mediante la prueba de Chi cuadrado y un análisis de regresión logística. Resultados: Se incluyeron 182 pacientes (128 mujeres y 54 hombres) con una edad media de 50,4 (DE = 14,7) años. La prevalencia de LEP fue del 14,8 %. El promedio fue de 1,7 piezas dentarias por paciente, con un mínimo de 1 y un máximo de 5. Se encontró una asociación estadísticamente significativa entre las LEP, el diagnóstico periodontal y la diabetes (p < 0,05). El análisis de regresión logística identificó el diagnóstico de periodontitis estadio III-IV (OR = 33,3 IC 95% [3,2 - 347,4]) y la diabetes mellitus (OR = 4,4 IC 95% [1,2 -16,4]) como posibles indicadores de riesgo. Conclusión: La prevalencia de LEP en un hospital escuela de la Universidad de Buenos Aires fue del 14,8 %. Se encontraron con mayor frecuencia en pacientes con Periodontitis estadio III-IV. La Diabetes Mellitus debe considerarse un posible indicador de riesgo.

Palabras clave: Lesión endoperiodontal, periodontitis, prevalencia, diabetes

Financiamiento: Programa doctoral UBAINT 2024-25

45. Efectividad de un programa escolar de aplicación de barniz de flúor en la Ciudad de Buenos Aires: estudio longitudinal.

Rossi G1, 2, Serra Capó T*1, Sorazabal AL1, 2, Cornejo C1, 2, 3, Somoza F4, Salgado P1, 2, 3, Squassi A1, 2, 5

1. Universidad de Buenos Aires, Facultad de Odontología, Instituto de Investigaciones en Salud Pública. 2. Universidad de Buenos Aires, Facultad de Odontología, Cátedra de Odontología Preventiva y Comunitaria. 3. Universidad de Buenos Aires, Facultad de Odontología, Cátedra de Odontología Microbiología y Parasitología. 4. Universidad de Buenos Aires, Facultad de Odontología, Cátedra de Endodoncia. 5. Consejo Nacional de Investigaciones Científicas y Tecnológicas (CONICET)

Objetivo: Evaluar la efectividad del Programa de Aplicación de Barniz de Flúor (PBF) implementado en la Ciudad de Buenos Aires en escolares de 6 y 7 años de escuelas públicas, analizando la incidencia y evolución de lesiones de caries durante dos años de seguimiento. Materiales y Métodos: Se seleccionó una muestra no probabilística de 129 escolares de primer grado que participaron en el PBF. Se realizaron exámenes dentales basales (t0), a los 12 meses (t1) y 24 meses (t2), de acuerdo con criterios ICDAS II . Las lesiones se clasificaron en tres grupos: sin lesión ICDAS 0 (L=0), lesiones incipientes (L=1-2) y lesiones cavitadas (L=3-6). Ocho odontólogos realizaron el registro dentario bajo condiciones estandarizadas. El análisis incluyó frecuencias, porcentajes e IC95% para variables cualitativas y la prueba de proporciones relacionadas para comparar los estados entre t0, t1 y t2. Resultados: De los 129 escolares incluidos, 82 completaron las tres aplicaciones de barniz. En el examen basal (t0, 2023), el 85,9% de las superficies estaban sanas (IC95%: 84,9-86,8), el 2,6% presentaban lesiones incipientes (IC95%: 2,3-3,0) y el 11,5% correspondían a lesiones cavitadas (IC95%: 10,8-12,2). Al año de seguimiento (t1, 2024), la proporción de superficies sanas aumentó a 86,8% (IC95%: 85,9-87,7), las incipientes fueron 2,4% (IC95%: 2,0-2,7) y las cavitadas 10,8% (IC95%: 10,2-11,5). A los dos años (t2, 2025), el 85,1% de las superficies se mantuvo sin lesión (IC95%: 84,1-86,1), el 3,3% correspondió a incipientes (IC95%: 2,9-3,7) y el 11,6% a cavitadas (IC95%: 11,0-12,3). Del total de superficies sin lesión (L=0) en t0, el 95,4% (IC95%: 94,4-96,2) se mantuvo sano en t1 y el 90,5% (IC95%: 89,3-91,6) en t2. Entre las lesiones incipientes detectadas en t0, un 39,3% revirtió a sano en t1 (IC95%: 30,8–48,3) y un 46,2% en t2 (IC95%: 36,9–55,7). La proporción que permaneció como incipiente fue de 53% en t1 (IC95%: 44,0-61,9) y 43,4% en t2 (IC95%: 34,2-52,9), mientras que la progresión hacia cavitadas fue de 7,7% en t1 (IC95%: 3,9-13,6) y 10,4% en t2 (IC95%: 5,6-17,2). A lo largo del seguimiento, se observó un incremento en la proporción de lesiones inactivas respecto de las activas, tanto en incipientes como en cavitadas. Conclusión: El PBF mostró, a los 2 años de seguimiento, un efecto positivo en la reducción de la incidencia de lesiones incipientes y en la estabilización de lesiones de caries, evidenciando su utilidad como estrategia preventiva en escolares de 6 a 7 años de escuelas públicas de la Ciudad de Buenos Aires.

Palabras clave: Fluoruros Tópicos, Caries Dental, Servicios de Salud Escolar

Financiamiento: MInisterio de Salud GCBA

46. Validación del Índice de Placa Visible como herramienta de detección temprana de biofilm en infantes.

Pazos X*1, 2, Rossi G1, 2, Cornejo C1, 2, 3, Alvaredo G2, Medici S1, 2, Squassi A1, 2, 4, Salgado P1, 2, 3

1. Universidad de Buenos Aires, Facultad de Odontología, Instituto de Investigaciones en Salud Pública. 2. Universidad de Buenos Aires, Facultad de Odontología, Cátedra de Odontología Preventiva y Comunitaria. 3. Universidad de Buenos Aires, Facultad de Odontología, Cátedra de Odontología Microbiología y Parasitología. 4. Consejo Nacional de Investigaciones Científicas y Tecnológicas (CONICET)

Objetivo: Evaluar la validez del Índice de Placa Visible (IPV) como herramienta para la detección temprana de biofilm en infantes, comparado con el Índice de Placa de Silness y Löe (ISL) y asociar con el riesgo cariogénico. Materiales y Métodos: Se realizó un estudio observacional, transversal de validación en 69 infantes (3 a 5 años) con dentición primaria exclusiva y al menos 18 superficies libres, incluyendo una pieza posterior. Se excluyeron niños con restos radiculares, dientes en erupción o sin asentimiento. El biofilm dental se evaluó con dos metodologías en cada paciente: A) observación directa (IPV) y B) aplicación del Índice de Placa de Silness y Löe (ISL). El diagnóstico de caries se efectuó mediante criterios ICDAS II, clasificando a los infantes como libres de caries (SC: L=0) o con caries (CC: L≠0). Se calcularon coeficiente de correlación intraclase, índice de Youden, área bajo la curva ROC (AUC), sensibilidad y especificidad del IPV frente al ILS, y el promedio de superficies afectadas en los grupos de riesgo y lesiones de caries con test de independencia Chi cuadrado. Resultados: El IPV mostró una alta correlación con el ISL (r=0,888; p<0,001). El análisis ROC evidenció un AUC=0,883 (IC95%: 0,795–0,971; p<0,001). El punto de corte óptimo del IPV (Índice de Youden) se estableció en 0,52, con una sensibilidad de 88,4% y especificidad de 80,9%. Los niños clasificados en riesgo por IPV en promedio 6 (IC95%: 3 - 8) superficies afectadas y en los clasificados como no riesgo 3(IC95%: 2 - 4) (p<0,025). El 56,5% de los infantes presentó al menos una lesión de caries, siendo en el grupo de riesgo según IPV 71,4% y no riesgo 46,3% (p<0,039). Conclusión: El IPV demostró validez y confiabilidad, con alta sensibilidad y especificidad. Su simplicidad lo posiciona como una herramienta aplicable para la detección temprana del riesgo cariogénico en infantes, particularmente en contextos comunitarios.

Palabras clave: Biofilm dental, Caries dental, Estudios de validación

Financiamiento: PIDAE 2020

47. Validación metodológica de medidas alternativas de los índices de placa e inflamación gingival.

Alberti Cancelo V1, Escalante Vila MF2, 1, Afonso Ramírez CL1, Squassi A2, 1, 3, Salgado P2, 1, 4, D'Eramo L2, 1

1. Universidad de Buenos Aires, Facultad de Odontología, Cátedra de Odontología Preventiva y Comunitaria. 2. Universidad de Buenos Aires, Facultad de Odontología, Instituto de Investigaciones en Salud Pública. 3. Consejo Nacional de Investigaciones Científicas y Tecnológicas (CONICET). 4. Universidad de Buenos Aires, Facultad de Odontología, Cátedra de Odontología Microbiología y Parasitología.

Objetivo: Evaluar la validez diagnóstica del porcentaje de sitios con valores críticos en el Índice de Placa (IP) y el Índice Gingival (IG), como alternativa al promedio clásico de los índices, para discriminar la presencia de inflamación gingival a nivel individual. Materiales y Métodos: Se realizó un estudio observacional y transversal en 180 sujetos (72,2% mujeres). Se registraron el Índice de Placa (IP) y el Índice Gingival (IG) de Silness y Löe en todas las superficies dentarias. Para cada índice se calcularon dos formas de expresión: el promedio clásico por paciente y el porcentaje de sitios con valores superiores a umbrales definidos (IP>0, IP>1, IG>0, IG>1). La validez diagnóstica de estas medidas se evaluó mediante curvas ROC, estimando el área bajo la curva (AUC), puntos de corte, sensibilidad y especificidad, con IC95%. Resultados: El análisis mostró que el porcentaje de sitios con IP>0 presentó un AUC de 0,960 (IC95%: 0,935-0,985), con un punto de corte en 59%, sensibilidad de 75% y especificidad de 78%. Cuando se consideró el porcentaje de sitios con IP>1, la capacidad discriminativa fue aún mayor, con AUC de 0,976 (IC95%: 0,950-1,000), punto de corte en 24,5%, sensibilidad de 97,7% y especificidad de 91,2%. En relación con el IG, el porcentaje de sitios con valores >0 alcanzó un AUC de 0,978 (IC95%: 0,959-0,998), con un punto de corte de 53%, sensibilidad del 90% y especificidad del 92%, mientras que el criterio de % de sitios con IG>1 mostró un AUC de 0,929 (IC95%: 0,871-0,988), con punto de corte en 30%, sensibilidad de 97,7% y especificidad de 91,2%. Conclusión: El análisis ROC evidenció que los porcentajes de sitios con IP>1 y con IG>0 presentan la mayor capacidad discriminativa (AUC>0,97) frente a los promedios clásicos, con alta sensibilidad y especificidad. Estos hallazgos respaldan el uso de criterios basados en porcentajes de sitios como una alternativa metodológica válida para la clasificación de inflamación gingival en estudios clínicos y epidemiológicos.

Palabras clave: Gingivitis, Índice de Placa Dental, Índice Gingival

Financiamiento: UBACYT 20720190100007BA

48. Adhesión a prácticas basadas en evidencia para el diagnóstico y tratamiento de caries: estudio transversal sobre odontólogos del AMBA.

Lazzati R*1, 2, Squassi A1, 2, 3, Sorazabal AL1, 2

1. Universidad de Buenos Aires, Facultad de Odontología, Instituto de Investigaciones en Salud Pública. 2. Universidad de Buenos Aires, Facultad de Odontología, Cátedra de Odontología Preventiva y Comunitaria. 3. Consejo Nacional de Investigaciones Científicas y Tecnológicas (CONICET)

Objetivo: Evaluar, a través de la caracterización de sus prácticas clínicas, la concordancia de los odontólogos del AMBA con la práctica basada en la evidencia (PBE) en el manejo de caries. Materiales y Métodos: Se realizó un estudio transversal mediante encuesta electrónica anónima y voluntaria a odontólogos del AMBA. Se utilizó por un muestreo no probabilístico de conveniencia, basado en la participación voluntaria de los profesionales. Se establecieron como criterios de exclusión las encuestas sin consentimiento, incompletas o con datos inconsistentes, y la declaración de no ejercer la profesión al momento del relevamiento. Se utilizó el Cuestionario de Impacto en la Práctica, desarrollado por la Red Nacional de Investigación Basada en la Práctica Odontológica (PBRN) (EEUU), adaptado y traducido al español. Se consideraron 11 ítems agrupados en tres áreas: A1 (caries incipientes), A2 (caries profundas) y A3 (restauraciones); Las respuestas se dicotomizaron en concordantes/no concordantes con la PBE. La concordancia se calculó como el porcentaje de respuestas consistentes y el umbral se estableció en 65%, de acuerdo a antecedentes publicados. Se calcularon frecuencias, porcentajes e IC95%.. Los datos se procesaron en JASP (v.0.95.1). Resultados: Se obtuvieron 124 respuestas, de las cuales 116 fueron válidas (75% mujeres). El 98,3% estudió en Argentina (75% UBA, 10,3% UNLP). El 30,2% egresó hace ≤10 años, 25% entre 10–20 y 20–30 años, y 19,8% >30. El 75,9% trabaja en el sector privado, 45,7% en el público y 36,2% en el universitario. Los odontólogos desarrollaban su práctica sobre los siguientes grupos etarios: adultos (87,1%), adolescentes (63,8%), niños (51,7%) y adultos mayores (44,8%). La concordancia global con la PBE fue del 54,5% (IC95%: 51,7-57,3%), inferior al umbral establecido. En todas las áreas analizadas se evidenció no concordancia: A1: 51,6% (IC95%:47,5%-55,6%), A2: 56,2% (IC95%:49,3%-63%) y A3: 57,5% (IC95%:53%-62%). Solo dos ítems alcanzaron concordancia (P1: 80,2% (IC95%: 71,7%-87%)) y P4: 81% (IC95%: 72,7%-87,7%)); mientras que la mayoría fue indeterminada o no concordante (P2: 23,3%; P3: 24,1%; P11: 19,8%). Conclusión: Los odontólogos del AMBA presentan baja concordancia con la PBE referida al manejo de caries, con diferencias importantes entre la evidencia científica y la práctica clínica

Palabras clave: Caries Dental, Odontología Basada en la Evidencia, Práctica Clínica

Financiamiento: PAIIO-FOUBA 2025-2027

49. Conocimientos sobre riesgos de las prácticas de arte corporal en ingresantes a la carrera de Odontología de la UNC en el año 2024.

Frosasco CL*, Theiler GR, Fontanetti PA, Cadile MS

Universidad Nacional de Córdoba. Facultad de Odontología. Cátedra de Introducción a la Física y Química Biológicas "A"

Introducción: En estudios referentes al arte corporal y salud, llevados a cabo desde hace más de 15 años por docentes investigadores de la cátedra de Introducción a la Física y Química Biológicas "A", se ha observado tanto un incremento en la frecuencia de uso de piercing y tatuajes, como un inicio de estas prácticas en edades cada vez más tempranas. Objetivo: Indagar acerca del conocimiento de las potenciales complicaciones derivadas del arte corporal en ingresantes a Odontología-UNC, poniendo énfasis en piercing peri e intraorales. Materiales y Métodos: Se analizaron datos de 302 ingresantes en el año 2024, obtenidos mediante una encuesta semiestructurada validada, que indaga acerca de variables sociodemográficas y distintos aspectos de las prácticas de arte corporal, uso, localización física de la intervención, edad de realización, consentimiento parental, complicaciones sufridas y conocimiento de riesgos potenciales. Resultados: El 69% (208) de los encuestados manifestó poseer alguna modificación corporal, de ellos, el 75% al menos un piercing y el 54% al menos un tatuaje. Sólo 20 estudiantes expresaron haber sufrido infección a consecuencia de la colocación de piercing y sólo uno, reacción alérgica a una tinta de tatuaje. Siete tenían piercing en la lengua, 10 en los labios y 2 en partes no especificadas de la boca, sin complicaciones asociadas. El 28% manifestó desconocer posibles consecuencias sobre la salud de las prácticas de arte corporal. Entre los que dijeron conocer riesgos, 89% mencionó infecciones, 21% alergias y 11% accidentes relacionados al piercing. En relación al uso de piercing orales, sólo diez estudiantes mencionaron dificultades para hablar, rotura o desgaste del esmalte, malposición dentaria, e infección. Es interesante destacar que de entre quienes se colocaron piercing orales en locales especializados, sólo 2 mencionaron alguna consecuencia específica de salud bucal, deduciendo que no fueron informados convenientemente por los perforadores. Conclusión: Nuestra investigación revela el imperativo de implementar programas educativos para que los jóvenes puedan tomar decisiones informadas, ofrecer capacitación a tatuadores y perforadores y formar a los estudiantes de Odontología para que sean capaces de brindar asesoramiento a potenciales usuarios de arte corporal.

Palabras clave: arte corporal, ingresantes de Odontología, riesgos para la salud Financiamiento: Proyecto Consolidar 2023. Resolución Secyt UNC 2024-21-UNC-SECYT#ACTIP

50. Evaluación bioquímica e histopatológica del efecto de micropartículas de papaína sobre caries dentinaria: estudio preliminar.

Ventura F*1, 2, Renou S3, Olmedo D3, 4, Squassi A1, 2, 4, Méndez C1, 5

1. Universidad de Buenos Aires, Facultad de Odontología, Instituto de Investigaciones en Salud Pública, 2. Universidad de Buenos Aires, Facultad de Odontología, Cátedra de Odontología Preventiva y Comunitaria. 3 Universidad de Buenos Aires, Facultad de Odontología, Cátedra de Anatomía Patológica. 4. Consejo Nacional de Investigaciones Científicas y Tecnológicas (CONICET). 5. Universidad de Buenos Aires, Facultad de Odontología, Cátedra de Farmacología.

Objetivo: Evaluar la acción de micropartículas de papaína sobre la dentina cariada mediante análisis bioquímico de su actividad proteolítica e interpretación histopatológica de los cambios tisulares resultantes. Materiales y Métodos: En la primera fase, se utilizaron dos bloques de dentina de 5×5 mm obtenidos de dos molares permanentes con caries amelodentinarias (ICDAS II 5.2) y un bloque de dentina sana como control. Tras la incubación a 37 °C durante 60 min en un preparado de microesferas de papaina suspendidas en buffer fosfato de sodio 50 mM, pH 7,0, con y sin cisteína 0,1 mM., se cuantificaron residuos de tirosina liberados mediante espectroscopía UV (280-340 nm). Se calcularon medias±DE, IC95% y se aplicó ANOVA. En la fase histopatológica, se emplearon tres muestras de molares permanentes con lesiones amelodentinarias categorías 5.2 y 6.2 (ICDAS II), incubados en microesferas de papaína bajo las mismas condiciones. Las muestras fueron procesadas para desmineralización, según protocolo establecido por la Cátedra de Anatomía Patológica de la FOUBA. Se analizaron bajo microscopía óptica la organización de la matriz dentinaria, la morfología tubular y la delimitación entre capas. Resultados: La incubación de los bloques de dentina con microesferas de papaína activada incrementó significativamente la liberación de residuos de tirosina en la dentina cariada, (171,50 ± 10,21 residuos de tirosina), respecto que la dentina sana (131,50 ± 4,95; p<0,05), confirmando la actividad proteolítica en lesiones de caries. En los cortes histológicos de los dientes tratados se evidenció la ausencia de dentina desorganizada y la preservación de zonas diferenciadas: dentina arrosariada con dilatación tubular, dentina infectada con conservación parcial de la estructura tubular y dentina normal. Conclusión: Las micropartículas de papaína demostraron capacidad proteolítica sobre la matriz colágena y un efecto selectivo que permite remover dentina infectada preservando la afectada. La integración de hallazgos bioquímicos e histopatológicos aporta evidencia complementaria que respalda su potencial aplicación en terapias de mínima intervención para caries.

Palabras clave: Papaína, Caries dental, Enzimas proteolíticas

Financiamiento: PAIIO-FOUBA 2019-2024

51. Percepción de salud bucal de maestras de Educación Inicial del Municipio de Avellaneda.

Pazos X1, 2, Rossi G1, 2, Medici S*1, 2, Squassi A1, 2, 3, Salgado P1, 2, 4.

1. Universidad de Buenos Aires, Facultad de Odontología, Instituto de Investigaciones en Salud Pública. 2. Universidad de Buenos Aires, Facultad de Odontología, Cátedra de Odontología Preventiva y Comunitaria. 3. Consejo Nacional de Investigaciones Científicas y Tecnológicas (CONICET). 4. Universidad de Buenos Aires, Facultad de Odontología, Cátedra de Odontología Microbiología y Parasitología

Objetivo: Evaluar la percepción y conocimientos de maestras de nivel inicial sobre salud bucal y su rol en la promoción de hábitos saludables en la infancia. Materiales y Métodos: Se encuestaron 150 maestras de jardines de educación inicial del municipio de Avellaneda, provincia de Buenos Aires, mediante el cuestionario autoadministrado IPOH-25 (Bordoni et al., 2006). El instrumento incluye 25 ítems distribuidos en cinco dominios: D1 (conocimientos sobre salud bucal), D2 (experiencia personal con atención odontológica), D3 (expectativas sobre las familias), D4 (expectativas sobre la odontología) y D5 (satisfacción con el rol docente). Las respuestas se registraron en una escala tipo Likert de 5 categorías. Se calcularon medias (x̄), desvíos estándar (DS) e intervalos de confianza al 95% (IC95%). Para la comparación entre dominios se aplicaron ANOVA y prueba de Bonferroni. Resultados: El 90,7% de las maestras (n=136) completaron el cuestionario. Los puntajes promedio (±DS; IC95%) fueron: D1=20±2 (20–21), D2=17±4 (17–18), D3=17±3 (16–17), D4=16±3 (15–16), D5=17±4 (16–17). El análisis inferencial mostró diferencias significativas entre D1 y D2–D5 (p<0,001), D2 y D1–D3 (p<0,001), D3 y D1 (p<0,001), D4 y D1–D2 (p<0,001), y D5 y D1 (p<0,001). Conclusión: Las maestras de nivel inicial reconocen la importancia de la salud bucal, aunque presentan limitaciones de conocimiento. Estos hallazgos justifican la implementación de programas de capacitación para fortalecer su rol en la promoción de hábitos saludables en la infancia.

Palabras clave: Salud Bucal; Conocimientos, Actitudes y Práctica en Salud; Maestro

Financiamiento: PAIIO-FOUBA 2019-2024

52. Variación en la concentración de fluoruro en yerba mates de distintos países de América del Sur.

Rocha Valadas LA*1, Fernandez CE2, Girão Júnior FJ3, Argentieri A1, Squassi A1

1. Universidad de Buenos Aires, Facultad de Odontología, Cátedra de Odontología Preventiva y Comunitaria. 2. Universidad de Talca. 3. Universidade Federal do Ceará.

Introducción: La yerba mate es una infusión tradicional con grande consumo en Argentina, Paraguay, Uruguay, y sur de Brasil, donde desempeña no solo un papel nutricional, sino también un importante valor cultural y social. Objetivo: Este estudio tuvo como objetivo evaluar el contenido de fluoruro en infusiones de yerba mate de productos comerciales de Argentina, Brasil, Paraguay y Uruguay. Materiales y Métodos: Se evaluó un total de 67 tipos de yerba-mate con dos números de lote. Cada infusión se preparó utilizando 10 g de yerba mate y 50 mL de agua desionizada a 85 °C, y se permitió 10 min para la infusión. El contenido de fluoruro se midió utilizando un electrodo calibrado de ion específico. Un total de 21 muestras fueron de Argentina, 20 de Brasil, 17 de Paraguay y 9 de Uruguay. Resultados: Se observó una heterogeneidad en los niveles de fluoruro entre las muestras (0,001 mg/L a 5,9 mg/L). Las muestras argentinas presentaron el contenido de fluoruro más bajo (0,0129 ± 0,0107 mg/L), significativamente inferior al de todos los demás grupos. Los tés paraguayos presentaron los niveles de fluoruro más altos en general (0,7535 ± 1,3687 mg/L), con valores significativamente superiores a los de Argentina (p<0,0001) y Brasil (p=0,0026). Las muestras uruguayas también mostraron niveles elevados de fluoruro (0,3073 ± 0,0548 mg/L), mientras que los productos brasileños presentaron valores intermedios (0,2278 ± 0,0517 mg/L). Conclusión: Este estudio demostró que las infusiones de yerba mate vendidas en los principales países productores de América del Sur presentan una amplia variabilidad en la concentración de fluoruro, con valores que van desde 0,001 a 5,946 mg/L, donde la mayoría de los productos presentaron niveles seguros.

Palabras clave: Fluoruro. Yerba mate. Infusiones

Financiamiento: 20720160100

53. Conocimientos y aptitudes de salud bucodental en adolescentes y docentes de una comunidad educativa de Córdoba.

Hernandez MA*, Sica Sánchez MN, Flores VY, Sanz AV, Aguirre CA Cátedra de Anatomía B Facultad de Odontología UNC

Introducción: En la adolescencia, el Odontólogo cumple un rol fundamental en el desarrollo y estimulación de las diferentes áreas de la comunicación, lo que repercute en el rendimiento académico, en las relaciones interpersonales, la autoestima, la lectoescritura y de otros conocimientos. Objetivos: Integrar y relevar conocimientos y aptitudes de alimentación habitual y cuidado de la salud bucal en estudiantes del IPEM 160 de la Ciudad de Córdoba, identificar el consumo y frecuencia de productos azucarados y promover hábitos saludables para el cuidado de su salud que puedan transmitir entre sus pares. Materiales y métodos: Es un estudio epidemiológico, transversal, descriptivo, observacional y correlacional. mediante la aplicación de una encuesta ad-hoc individual semi-estructurada validada por pares, aplicada de manera anónima y voluntaria. Para el análisis de datos se utilizó el programa EPIDAT Versión 4.2. El análisis descriptivo por medidas de tendencia central, el análisis inferencial por bivariado, la prueba Chi 2 y de tendencia lineal de proporciones. Además, se realizaron pruebas de comparación de proporciones, y pruebas X 2 para determinar la asociación entre los diferentes patrones, se utilizó un α= 0,05. Resultados: La muestra, con un n=49, Moda de 14 años de edad. Motivo de consulta, dolor 8,2%, arreglos, 18,4%, estética 20,4% otro motivo 53,1%., Frecuencia de cepillado por día: menor o 1 vez 2%, 2 veces 49%, 3 veces 34,7%, 4 veces Tipo de dieta: omnívora 77,5%, vegetarianos 12,2%, carnívora 10,2%. Consumo de productos azucarados 84%, entre otros. Conclusión: Se observó la necesidad de multiplicar y transmitir acciones preventivas en los adolescentes, con apropiación de conocimientos de cuidados que puedan transmitir y

Palabras clave: EDSA - Promoción de la Salud Bucal - Alimentación saludable

promover entre sus pares.

54. Factores de riesgo asociados a caries en la primera infancia en niños argentinos y chilenos.

Cereceda Miranda MA*1, Morales Lara F1, Cornejo Ovalle M2, Silva Méndez C3, Gimenez Evjanian M4, Rotter Maurín C4, Carletto Körber FPM4.

1. Departamento del Niño y Ortopedia Dentomaxilar, Universidad de Chile, Santiago, Chile. 2. Instituto de Investigación en Ciencias Odontológicas, Universidad de Chile, Santiago, Chile. 3. Clínica del bebé, Universidad de Chile, Santiago, Chile. 4. Clínica del bebé, Universidad Nacional de Córdoba, Argentina

Introducción: La caries en la primera infancia se ve influenciada por múltiples factores de riesgo. Estudios recientes demuestran que el consumo de azúcares en los primeros años de vida lleva a caries más severas en niños pequeños. Además, el uso prolongado y frecuente de lactancia materna o biberón, sobre todo de noche, aumenta el riesgo de desarrollar caries, y madres más jóvenes o que han recibido menor educación sobre salud oral tienen mayor probabilidad de adoptar prácticas alimentarias de alto riesgo. Objetivo: Explorar las asociaciones entre los factores de riesgo conductuales y caries en la primera infancia en niños argentinos y chilenos. Materiales y Métodos: Se realizó un estudio observacional, transversal y descriptivo de una población de 83 niños de 1-5 años, 45 argentinos y 38 chilenos, atendidos en la Clínica del Bebé de las Facultades de Odontología de la Universidad Nacional de Córdoba y de la Universidad de Chile, respectivamente. Se evaluó el riesgo conductual en relación con la edad de las madres, la lactancia materna, la frecuencia de la higiene bucal y el consumo de azúcar. Se detectaron clínicamente lesiones de caries (cavitadas y no cavitadas) y se calculó el índice ceod. Se aplicó la prueba de Mann-Whitney y el chi-cuadrado con una significancia estadística p<0,05. Resultados: Se analizaron los datos de 83 niños, 48,2% de 1,6-3 años y 51,8% de 3-5 años. La edad media de lactancia materna fue de 10,17±10,81 meses y el 72,3% (n=60) presentaba un ceod≥1. La comparación del ceod por país: 4,84±4,82 (Argentina) y 4,68±3,95 (Chile), no fue significativa (p=0,82 Mann-Whitney). En relación con la frecuencia de cepillado, un 76,54% (n=62) se cepillaba 1 o más veces al día, pero no se observaron diferencias significativas según el ceod (p=0,81 chi2). La ingesta de carbohidratos entre las comidas principales fue mayor en niños Argentinos (97%), que en niños Chilenos (82%) con diferencias significativas (p=0,014 chi2). El 32,3% de los niños con ceod=0 se observó en madres >25 años (p= 0,05 chi2). Conclusión: Este estudio revela una alta prevalencia de caries en niños argentinos y chilenos en los primeros años de vida. Estos hallazgos destacan la necesidad de promover cambios en los factores de riesgo conductuales de los niños en ambos países para mejorar su salud bucodental y prevenir futuras complicaciones.

Palabras clave: Factores de riesgo, Caries, Madres, Conducta

55. Prevalencia de caries dental según ICDAS II en niños de 6 a 12 años de la institución educativa N°3023 Pedro Paulet Mostajo, Red N° 08 de San Martín de Porres, Lima - Perú, 2024.

Melgar Hermoza RA*, Vasquez Alva JE, Gomero Perez NI, Loza Silva FW, Coronado Ore LR. UNIVERSIDAD PERUANA CAYETANO HEREDIA

Introducción: La caries dental continúa siendo una de las principales enfermedades crónicas en la infancia, con etiología multifactorial y un impacto significativo en la salud bucal infantil. El presente trabajo se realizó en una clínica escolar para evaluar el impacto de la clínica escolar del Facultad de Estomatología de la Universidad Peruana Cayetano Heredia (UPCH).

Objetivo: Determinar la prevalencia de caries dental mediante el sistema ICDAS II en escolares de 6 a 12 años de edad de la Institución Educativa N.º 3023 Pedro Paulet Mostajo, Lima, Perú, durante el año 2024.

Materiales y Métodos: Estudio descriptivo, transversal y observacional que evaluó a 120 estudiantes entre 6 y 12 años de edad. Se determinó la presencia y severidad de lesiones cariosas utilizando el sistema ICDAS II, analizando variables como sexo, edad y grado de severidad. El análisis estadístico se realizó mediante la prueba de Chi-cuadrado (p &It; 0,05).

Resultados: La prevalencia global de caries dental alcanzó el 36,67%. No se encontraron diferencias estadísticamente significativas al comparar la prevalencia de caries según sexo (p = 0,301) ni por grupos etarios (p = 0,103). Las superficies oclusales presentaron mayor proporción de lesiones en estadios avanzados (códigos 5 y 6), mientras que el código 0 (superficie sana) predominó en la mayoría de las superficies examinadas (96,27%).

Conclusiones: Se evidenció una prevalencia moderada de caries en la población estudiada, sin diferencias significativas por sexo o edad. Estos hallazgos subrayan la necesidad de fortalecer estrategias de prevención y diagnóstico temprano en la población escolar, aprovechando las ventajas que ofrece el sistema ICDAS II para la detección oportuna y la evaluación integral de la enfermedad.

Palabras clave: caries dental, ICDAS II, prevalencia, niños.

56. Caracterización de la composición química elemental de diferentes cementos biocerámicos endodónticos.

De Caso CN1*, Boiero CF1, Casa M2, Crohare L3.

1.Cátedra Endodoncia "A" FOUNC. 2. Carrera de Especialización Endodoncia. Universidad Autónoma de Chile. 3. Laboratorio del Área de Biología Oral FOUNC.

Introducción: La composición química elemental de los materiales biocerámicos está directamente relacionada con la biocompatibilidad y la bioactividad, en consecuencia con la calidad biológica del material.

Objetivo/s: Evaluar comparativamente la composición química elemental de diferentes materiales biocerámicos de uso endodóntico.

Materiales y Métodos: Se confeccionaron 36 pastillas de 0.7mm de diámetro y 0.5mm de espesor de seis materiales de uso endodóntico (n:6), cada material fue preparado por un mismo operador según las indicaciones de cada fabricante. Grupo AHP (Dentsply DeTrey GmbH, Germany), Grupo BioCS (Angelus, Brasil), Grupo CeraS (Meta Biomed Co., Korea), Grupo BRoots (Septodont, France), Grupo MTA ZSealer (Densell, Argentina), Grupo BDentine (Septodont, France). Las muestras se conservaron en estufa a 37 °C ± 1 °C, con una humedad relativa no inferior al 95%, por un lapso de 28 días para permitir el fraguado químico completo. Posteriormente las muestras se analizaron con aumentos entre 100x y 1000x, utilizando un microscopio electrónico de barrido de alta resolución (Carl Zeiss Gemini 2 Crossbeam 550) y sistema de análisis de rayos X de energía dispersiva (EDX; Oxford INCA 350 EDX) de LAMARX-FAMAF, UNC. El análisis se realizó en diferentes zonas de cada una de las muestras para los elementos químicos Al-Aluminio, C-Carbono, Ca-Calcio, Na-Sodio, O-Oxígeno, S-Azufre, Si-Silicio, Ti-Titanio, W-Wolframio y Zr-Circonio. La prueba de contraste global entre grupos se realizó con ANOVA o Kruskal-Wallis, (según la distribución de los datos), prueba post hoc HSD de Tukey (p<0.05).

Resultados:.Al analizar la homogeneidad química, los materiales más homogéneos fueron Biodentine y BioRoot CRS, seguidos por MTA Z Sealer. Los menos homogéneos resultaron ser Bio-C Sealer y Cera-Seal, que mostraron una mayor variabilidad en los niveles de C y Zr, y una variabilidad moderada en Ca y O. También se observaron subconjuntos homogéneos, de acuerdo al elemento químico analizado, que no mostraron diferencias estadísticamente significativas entre sí (p>0.05).

Conclusión/es: Todos los materiales biocerámicos analizados mostraron diferencias en su composición química elemental respecto al C, Ca, y Si, especialmente las presentaciones premezcladas respecto a las convencionales.

Palabras clave: biocerámicos, selladores, análisis elemental.

Financiamiento: SeCyT UNC

Aprobado por Comité de Ética. No presenta conflicto de interés

57. Evaluación de la longitud de conductos curvos conformados con sistemas mecanizados.

Carvajal MI*, Garofletti MJ, Bronstein M, Luján MG, Fadel PC, Llompart L, Bonardi Vila MF, Valdivieso A. Cátedra Endodoncia B - Departamento De Rehabilitacion Bucal - FOUNC

Introducción: El presente estudio evaluó los cambios en la longitud de conductos curvos conformados por instrumentos de níquel titanio de diferente cinemática rotatoria pero igual calibre, taper y aleación; se complementan así, anteriores investigaciones que evaluaron la instrumentación mecanizada en relación con la curvatura del conducto, sin considerar variaciones de longitud postoperatoria.

Objetivo/s: Evaluar la influencia de diferentes técnicas de instrumentación mecanizada en la longitud de los conductos curvos.

Materiales y Métodos: Se utilizaron treinta molares inferiores con conductos mesiovestibulares y mesiolinguales curvos (20°-30°). Finalizados los accesos camerales, se evaluó su permeabilidad con limas tipo K #10 y/o #15. Cada muestra se incluyó en alginato para la medición inicial en 0,0 con localizador apical y se asignaron aleatoriamente en tres grupos: Control (C: n=12); Rotación Continua (RC; n=24) y Rotación Reciprocante (RR: n=24). Los dientes se radiografiaron antes y después de la instrumentación y se midió en las imágenes digitalizadas la longitud de trabajo (LT) y la longitud total de trabajo (LTT). Para el análisis se utilizó ANOVA y prueba T pareada, fijando p en 0,05.

Resultados:.Se evidenció una disminución significativa en la LTT luego de la conformación en los grupos RC (p=2E-04) y RR (p=2E-03), no así en C (p=0,48). Las variaciones entre etapas fueron (C: $0,03 \pm 0,10$ mm; RC: $0,14 \pm 0,11$ y RR: $0,12 \pm 0,13$). Aunque las diferencias entre los grupos no resultaron significativas (p=0,09), la RC mostró una mayor tendencia a reducir la longitud (C: $0,01 \pm 0,12$ mm; RC: $0,10 \pm 0,25$ y RR: $0,04 \pm 0,25$). La LT no presentó diferencias significativas entre etapas (C p=0,82; RC p=0,12 y RR p=0,53), ni entre grupos (p=0,60)

Conclusión/es: La conformación mecanizada, especialmente la RC, produce una disminución en la longitud de los conductos curvos. Los hallazgos sugieren que, en los protocolos de tratamientos, deben ser consideradas mediciones adicionales antes de la obturación canalicular.

Palabras clave: conductos curvos - longitud - conformación

Financiamiento: FORMAR 2023 - SECYT UNC

Aprobado por Comité de Ética. No presenta conflicto de interés

58. Calidad Radiográfica en Endodoncia: Análisis de 1080 Imágenes Periapicales.

Medina JA1*, Jorrat MM1, Brito GN1, Aragon NH1, Carino S2, Ledesma Checha P3.

1.Cátedra de Radiología FOUNT. 2. Cátedra de Anatomía Patológica FOUNT. 3. Carrera de Especialización en Endodoncia FOUNT.

Introducción: La radiografía periapical constituye un recurso diagnóstico indispensable en endodoncia, utilizada en la evaluación inicial, conductometría, conometría, control de obturación y seguimiento. La obtención de imágenes de calidad depende de la correcta aplicación de la técnica radiográfica y del procesamiento adecuado. Errores durante estos pasos pueden comprometer la interpretación clínica, aumentar la dosis de radiación y afectar la evolución del tratamiento.

Objetivo/s: Evaluar la calidad radiográfica global de las imágenes periapicales obtenidas durante tratamientos de endodoncia y determinar la proporción de radiografías óptimas respecto de aquellas con errores técnicos.

Materiales y Métodos: Se revisaron 270 historias clínicas seleccionadas aleatoriamente entre 700 pacientes tratados en la clínica de posgrado en Endodoncia de la Facultad de Odontología (UNT). Se analizaron 1080 radiografías periapicales tomadas con equipo analógico Dental San Justo (70 kV, 8 mA). Las imágenes fueron digitalizadas y evaluadas por tres observadores independientes, previamente entrenados y calibrados, en condiciones estandarizadas de visualización. Se clasificaron en radiografías óptimas o con errores (corte de cono, clamp interpuesto, mala angulación, densidad inadecuada, efecto de barrido, manchas de fijador, no disociada). El análisis estadístico se realizó con SPSS v.11.Los datos fueron analizados con cálculo de prevalencia y test de Chi cuadrado, con un error alfa del 5%.

Resultados:.Del total de radiografías, 79,29% fueron calificadas como óptimas, sin diferencias significativas entre observadores. El 26,55% presentó un error, el 4,12% dos errores y el 2,65% tres errores. Entre los errores más frecuentes destacaron la incorrecta angulación (24,29%) y la densidad excesiva (22,25%). Errores menos frecuentes incluyeron corte de cono (5,34%), clamp interpuesto (6,51%) y radiografía no disociada (1,33%), no se encontraron diferencias significativas p=>0,05.

Conclusión/es: La mayoría de las radiografías periapicales en endodoncia alcanzaron un estándar diagnóstico aceptable. No obstante, la proporción de errores, principalmente de angulación y densidad, resalta la necesidad de reforzar la capacitación técnica en la toma radiográfica y el control del procesado. Una radiografía de calidad no solo optimiza la práctica clínica, sino que constituye un documento fundamental para el seguimiento terapéutico y fines legales.

Palabras clave: radiografía óptima - errores radiográficos

No presenta conflicto de interés

59. Análisis de Errores Radiográficos en Imágenes Periapicales Endodónticas.

Medina JA1*, Jorrat MM1, Brito GN1, Aragon NH1, Carino S2.

1.Cátedra de Radiología FOUNT. 2. Cátedra de Anatomía Patológica FOUNT.

Introducción: La obtención de radiografías periapicales durante tratamientos de endodoncia representa un desafío técnico, condicionado por factores del operador, el paciente y las limitaciones inherentes a la técnica. El análisis de los errores radiográficos permite identificar áreas críticas de mejora y establecer pautas para la enseñanza y la práctica clínica.

Objetivo/s: Identificar y cuantificar los errores radiográficos más frecuentes en imágenes periapicales de tratamientos endodónticos, analizando su distribución en las distintas etapas del procedimiento.

Materiales y Métodos: Se evaluaron 1080 radiografías periapicales correspondientes a 270 historias clínicas de pacientes atendidos en la especialidad de Endodoncia (FOUNT). Las imágenes fueron tomadas con equipo analógico Dental San Justo (70 kV, 8 mA) y clasificadas según tipo de error: corte de cono, clamp interpuesto, mala angulación, radiografía poco o muy densa, manchas de fijador, efecto de barrido y radiografía no disociada. Tres observadores entrenados y calibrados con radiografías óptimas y rúbricas de observación ad hoc, analizaron las imágenes de manera independiente y a ciegas. Los datos fueron procesados con SPSS v.11. Los datos fueron analizados con cálculo de prevalencia y test de Chi cuadrado, con un error alfa del 5%.

Resultados:.La incorrecta angulación fue el error más prevalente (24,29%), con mayor incidencia en radiografías finales y de pre endodoncia. Le siguieron los errores de densidad: radiografías muy densas (22,25%) y poco densas (7,84%). El 12,9% presentó manchas de fijador, reflejando deficiencias en el procesamiento químico. Los errores menos frecuentes incluyen corte de cono (5,34%), clamp interpuesto en ápice (6,51%), efecto de barrido (4,79%) y radiografía no disociada (1,32%). No se encontraron diferencias significativas p=>0,05.

Conclusión/es: Los errores radiográficos en endodoncia fueron frecuentes y mayormente evitables. La incorrecta angulación y las variaciones de densidad constituyeron los principales desafíos para la obtención de imágenes diagnósticas confiables. Estos hallazgos enfatizan la importancia de fortalecer la enseñanza en técnica radiográfica, especialmente en escenarios clínicos con aislamiento absoluto, y de optimizar el procesamiento químico para reducir fallas evitables. La identificación de los patrones de error permite orientar estrategias de capacitación y control de calidad en radiología endodóntica.

Palabras clave: calidad radiográfica - radiografía óptima

No presenta conflicto de interés

60. Control clínico y radiográfico a distancia de piezas dentarias con periodontitis apical crónica y tratamiento endodóntico. Estudio preliminar.

Lacquaniti LL*, Frias ME, Ossola CA, Consoli Lizzi EP, Chaintiou Piorno R, Rodríguez PA. Cátedra de Endodoncia FOUBA.

Introducción: El tratamiento endodóntico es la alternativa terapéutica de elección en casos de periodontitis apical, ya que permite eliminar el contenido bacteriano, desinfectar el sistema de conductos y sellarlo tridimensionalmente. No obstante, algunas lesiones pueden persistir, por lo que son necesarios controles clínicos y radiográficos para evaluar su evolución.

Objetivo/s: Evaluar la evolución clínica y radiográfica de piezas dentarias con periodontitis apical crónica tratadas mediante terapia endodóntica.

Materiales y Métodos: Estudio observacional, retrospectivo y longitudinal sobre 40 piezas dentarias de pacientes entre 14 y 85 años, atendidos en la Cátedra de Endodoncia de la Facultad de Odontología de la Universidad de Buenos Aires. Se incluyeron casos con imagen radiográfica de periodontitis apical crónica de ≥2 mm de diámetro y se excluyeron pacientes inmunosuprimidos, embarazadas, en tratamiento antibiótico sistémico y piezas con lesiones endoperiodontales. Se evaluaron radiografías periapicales digitales en el postoperatorio inmediato y a los 6 meses del tratamiento. Las mismas se obtuvieron utilizando la técnica paralela. Se calcularon frecuencias (%) para la descripción de la muestra y se aplicaron pruebas de correlación. Análisis estadístico: Chi-cuadrado.

Resultados:.Se observó predominio de mujeres (75%) y de pacientes ≥40 años (68 %). La etiología principal fue la caries dental (93%), y el diagnóstico predominante fue necrosis pulpar (93%). En el postoperatorio inmediato, el 43% de los casos estuvo correctamente obturado, 44% sobreobturado y el 8% subobturado. El 98% de los pacientes no presentó síntomas postoperatorios. En cuanto a la restauración coronaria, el 40% fue correcta, el 15% incompleta y el 45% incorrecta. Radiográficamente, el 75% de las piezas mostró reducción de la lesión y el 15% desaparición, mientras que en un 10% no se observaron cambios.

Conclusión/es: La mayoría de los pacientes presentó reducción o desaparición de las lesiones periapicales a los 6 meses, lo que confirma la eficacia del tratamiento endodóntico convencional en la reparación de los tejidos periapicales.

Palabras clave: odontología - endodoncia - diagnóstico por imágenes

Aprobado por Comité de Ética. No presenta conflicto de interés

61. Estudio del tejido óseo alveolar durante la formación de procesos apicales en ratas hipercolesterolémicas.

Loiacono R*, Gualtieri AF, Cacciagiu L, Rodríguez PA, De Lucca RC.

1. Cátedra de Histología y Embriología FOUBA. 2. Cátedra de Odontología Legal y Forense FOUBA. 3. Cátedra de Bioquímica FOUBA. 4. Cátedra de Endodoncia FOUBA

Introducción: La endodoncia experimental sigue siendo una excelente herramienta para reproducir patologías existentes y tratamientos de implementación en la clínica diaria. En la última década los niveles séricos de colesterol en la población argentina han sufrido un aumento significativo.

Objetivo/s: Analizar microtomográficamente el tejido óseo alveolar durante la formación de procesos apicales en ratas hipercolesterolémicas.

Materiales y Métodos: Se utilizaron 14 ratas Wistar adultas, de 170 gr, divididas en 2 grupos: Control (DC), alimentado con dieta convencional e Hipercolesterolemia (DHC), alimentado con una dieta alta en colesterol. Luego de 5 semanas, se realizaron las aperturas camerales dejándolas en comunicación con la cavidad bucal durante 10 días. Transcurrido ese tiempo, los animales fueron anestesiados y se tomaron muestras de sangre intracardíaca. Se realizaron las eutanasias y se les extrajeron hemimandíbulas e hígado. Las primeras se escanearon con microCT y también se analizaron histológicamente junto con el hígado. Los datos obtenidos se compararon mediante la prueba t-Student agrupada o U de Mann-Whitney. p<0,05, significativo.

Resultados: Los niveles de colesterol fueron significativamente mayores (p=0.002) en los animales DHC respecto DC [DC 62 (49-84), DHC 173 (74-290)]. Los hígados mostraron esteatosis hepática en DHC. La profundidad del proceso mostró ser mayor en DHC (DC 0.53 ± 0.09 ; DHC 0.55 ± 0.08 ; p<0.01), mientras que no hay diferencia en la superficie total (DC 0.0091 ± 0.002 ; DHC 0.0096 ± 0.0039 ; p=0.75).Los valores de BV/TV (tejido mineralizado), tanto en el hueso interradicular como en la tabla vestibular, no mostró diferencias entre grupos (Hueso interradicular: DC 49.68 ± 6.08 ; DHC 45.61 ± 6.43 ; p=0.29. Cresta: DC 47.13 ± 6.11 ; DHC 53.2 ± 3.39 ; p=0.09). Por último, el estudio histológico del hueso periapical mostró que no hay DS en relación al número de osteoclastos (DC 3 (1-16), DHC 2 (0-5); p=0.09) ni al de osteocitos (DC 8.25 ± 1.16 ; DHC 8.63 ± 1.69 ; p=0.65).

Conclusión/es: El tejido óseo alveolar, durante la formación de procesos apicales en ratas hipercolesterolémicas, muestra características similares a los controles.

Palabras clave: hipercolesterolemia, procesos apicales, ratas

Financiamiento: UBACyT 20020220400037BA

Aprobado por Comité de Ética. No presenta conflicto de interés

62. Análisis cronológico de las alteraciones de superficie de selladores biocerámicos en modelos in vivo y ex vivo.

Pedraza C*, Bonafé A, Zanoni Y, Rourera C, Salduna S, Martin G.

Carrera de Especialización en Endodoncia, Escuela de posgrado, Facultad de Ciencias de la Salud, Universidad Católica de Córdoba.

Objetivo/s: Comparar las modificaciones de superficie de selladores biocerámicos y resinoso, in vitro (pastillas) y ex vivo (bloques dentinarios); tras su inmersión en solución de Hank a los 0, 30, 60 y 90 días.

Materiales y Métodos: Diseño del estudio: Experimental verdadero de grupos paralelos. Se usaron 4 selladores: BioRoot Flow (BR, Septodont), AH Plus Bioceramic Sealer (AHB, Dentsply), CeraSeal (CS, Meta Biomed) y AH Plus (AHP, Dentsply). Cada uno fue preparado de dos formas: en pastillas (P; n=5) y en bloques radiculares (B; n=5), conformando un total de ocho subgrupos. Las muestras se sumergieron en solución de Hank en estufa a 37°C y se fotografiaron con microscopio óptico (Olympus): al inicio (día 0) y a los 30, 60 y 90 días. Para cuantificar los cambios observados en la superficie, se calculó el porcentaje de superficie alterada a partir de las imágenes digitalizadas, utilizando el software de morfometría Image Pro-Plus. Los datos fueron analizados mediante ANOVA de medidas repetidas y test post hoc de Tukey. El nivel de significación se estableció en p<0,05.

Resultados: En tres selladores, el porcentaje de superficie alterada fue mayor en bloques que en pastillas (P-BR 24,2 \pm 8,9 vs B-BR 23,7 \pm 12,0 p=0,80), (P-AHB 11,2 \pm 8,6 vs B-AHB 32,8 \pm 14,6 p<0,05), (P-AHP 0,1 \pm 0,3 vs B-AHP 3,1 \pm 1,9 p<0,05) y (P-CS 16,4 \pm 12,0 vs B-CS 26,4 \pm 18,6 p=0,04). BR y CS se comportaron de manera similar en ambas condiciones (bloques y pastillas), en tanto que AHB registró las mayores diferencias.

Conclusión/es: Los selladores biocerámicos presentaron mayores alteraciones superficiales que el sellador AH Plus resinoso, observándose cambios más pronunciados en los bloques dentinarios que en las pastillas. Las modificaciones fueron más evidentes a los 30 días con la formación de un precipitado sobre la superficie, mientras que a los 60 y 90 días se registraron alteraciones más leves.

Palabras clave: Silicatos de calcio, sellador de resina epoxi, solución salina, cambios dimensionales.

Aprobado por Comité de Ética. No presenta conflicto de interés

63. Propiedades biomecánicas de biomateriales para la regeneración de la pulpa dental: estudio in vitro e in vivo.

Piglionico SS1;2*, Garrabé S2, Zavala W1, Davison MR3, Romieu O2, Cuisinier F2, Panayotov I2.

1. Centro de Investigaciones Odontológicas, Facultad de Odontología, UNCUYO. 2. Laboratoire de Bioingenierie et Nanosciences UR_UM104, Université de Montpellier. 3. Carrera Odontología UNRN

Introducción: El tratamiento endodóntico regenerativo (TER) busca recuperar la vitalidad dental mediante la formación de tejido vascularizado, pero su eficacia es limitada por la inestabilidad del coágulo sanguíneo. Se desarrollaron dos materiales para TER uno reabsorbible (Gel de Fibrinógeno-sangre) y uno no reabsorbible (tutor polimérico).

Objetivo/s: Evaluar y comparar dos biomateriales, uno reabsorbible y otro no reabsorbible, con potencial aplicación en tratamientos endodónticos regenerativos, analizando su resistencia mecánica en un modelo in vitro y su capacidad para inducir la formación de tejido similar a la pulpa dental en un modelo in vivo ectópico

Materiales y Métodos: Se evaluó un hidrogel a base de fibrinógeno (Fbg) y sangre humana; y un tutor intraradicular polimérico. Se analizaron sus propiedades mecánicas y biológicas in vitro e in vivo. In vitro, se utilizaron piezas dentarias humanas extraídas y tratadas endodónticamente, divididas en cuatro grupos según tipo de obturación: (1) sangre completa, (2) hidrogel Fbg-sangre, (3) gutapercha; (4) tutor intraradicular + gel Fbg-sangre; (5) tutor intraradicular + gutapercha (n=6). Las muestras se incubaron 4 semanas a 37 °C, luego se evaluó la resistencia a la fractura mediante ensayos de compresión en máquina de ensayos universales (INSTRON) simulando condiciones clínicas con silicona y resina acrílica.In vivo, se implantaron raíces de G1, G2 y G4 en un modelo ectópico subcutáneo en ratas, a un mes se procedió a la extracción de las muestras, se analizó histológicamente y por MEB el tejido formado. Los resultados fueron analizados estadísticamente (ANOVA) con un valor de significancia de p < 0,05.

Resultados: El grupo tratado con hidrogel de fibrinógeno-sangre y tutor (G2) presentó una resistencia significativamente mayor (26.812 kN) en comparación con el grupo control con gutapercha y tutor (4.384 kN; p = 0,042). Se observó alta variabilidad en los resultados en presencia de gel o sangre. La combinación de sangre y tutor ofreció una resistencia superior a la combinación clásica de gutapercha y tutor. In vivo, se evidenció la formación de tejido vascularizado que rellenó el canal radicular, con organización celular y matriz extracelular rica en colágeno, similares a la pulpa dental.

Conclusión/es: El hidrogel de fibrinógeno-sangre mostró propiedades biomecánicas adecuadas y favoreció la formación de tejido similar a la pulpa dental vascularizado. Su combinación con un tutor intrarradicular aumentó significativamente la resistencia a la compresión en comparación con la obturación convencional con gutapercha. Estos resultados respaldan su potencial como biomaterial en tratamientos endodónticos regenerativos. Se requieren estudios adicionales para validar su aplicación clínica.

Palabras clave: Regeneración, Pulpa Dental, Biomateriales

Financiamiento: ECOS SUD

Aprobado por Comité de Ética. No presenta conflicto de interés

64. Diseño de un Método de Evaluación para Cavidades de Acceso Endodóntico en Visión Indirecta Usando Simuladores Hápticos de Realidad Virtual.

Piglionico SS*, Lupi Q, Domergue M, Slimani A, Levallois B, Panayotov I, Romieu O.

Departamento de Odontología Restauradora, Endodoncia, Facultad de Odontología, Universidad de Montpellier, Francia.

Introducción: La autoevaluación es una herramienta que promueve la adquisición de competencias, ya que permite valorar de forma reflexiva la integración de los conocimientos teóricos con las habilidades prácticas. Para ser efectiva, debe ser objetiva, estructurada y de fácil implementación.

Objetivo/s: Implementar un método de autoevaluación sistematizado, inmediato y objetivo en un entorno de simulación háptica, para la adquisición de habilidades en la preparación de cavidades de acceso endodóntico.

Materiales y Métodos: 47 estudiantes voluntarios del curso de preclínica de endodoncia de la Facultad de Odontología de Montpellier realizaron sesiones prácticas de 45 minutos sobre simulador de realidad virtual háptica Simodont®. Cada estudiante trabajó sobre un primer molar superior y seleccionó su mejor preparación para evaluarla con una rúbrica compuesta por siete ítems: forma de la cavidad, acceso a los conductos, preparación de las paredes (mesial, distal, vestibular y palatina) y piso pulpar. Cada ítem fue calificado en cuatro niveles, con una escala de 0,5 puntos por nivel. Las cavidades fueron evaluadas por un docente con la misma rúbrica, y se utilizaron modelos 3D y el software MeshLab para calcular la distancia de Hausdorff entre la cavidad realizada y la preparación ideal. Se realizó un análisis estadístico en GraphPad Prism 8 para correlacionar variables.

Resultados: La comparación estadística de la autoevaluación con heteroevaluación de 43 cavidades de acceso del elemento 16 mostró que no existe diferencia significativa entre los criterios: forma, paredes y piso. Solo el criterio "acceso" presentó diferencia significativa (p = 0,469). Existe una diferencia media de 0,69 puntos entre la autoevaluación y la heteroevaluación, sin significación estadística (p = 0,054), sugiriendo concordancia entre evaluación del alumno y docente.

Conclusión/es: Los resultados sugieren que este sistema de autoevaluación como estrategia pedagógica puede ser una herramienta en la enseñanza preclínica, promoviendo el aprendizaje autónomo, la objetivación de criterios clínicos y la transición hacia contextos clínicos.

Palabras clave: EVALUACIÓN, ENDODONCIA, SIMULADOR 3D

65. Uso de WhatsApp en los procesos de enseñanza-aprendizaje de Ciencias Básicas en la carrera de Odontología de la Universidad Nacional del Nordeste: construcción de un instrumento de medición.

Ponce JO1*, Salinas J2, Juárez RP1.

1. Facultad de Odontología. UNNE 2. Grupo de Tecnología Educativa. Institut de Recerca i Innovació Educativa (IRIE)-UIB

Introducción: Las Tecnologías de la Información y la Comunicación (TIC) han transformado las dinámicas educativas y aplicaciones de mensajería instantánea como WhatsApp se han consolidado como herramientas de comunicación y organización entre estudiantes universitarios. En la carrera de Odontología de la Universidad Nacional del Nordeste, las Ciencias Básicas constituyen un eje central de la formación inicial, por lo que resulta pertinente evaluar cómo se integra esta herramienta en el aprendizaje y en la regulación del trabajo grupal.

Objetivo/s: El objetivo de este trabajo fue analizar la confiabilidad de un cuestionario diseñado para relevar el uso de WhatsApp en estos procesos. Materiales y Métodos: Se aplicó una encuesta auto-administrada y anónima, mediante Google Forms, a una muestra piloto de 15 estudiantes al finalizar el cursado. El instrumento, desarrollado por Vilches et al. (2015) y adaptado al contexto local, incluye 70 ítems distribuidos en cinco bloques: datos personales, pertenencia a grupos de WhatsApp, uso para la organización del trabajo grupal, como sistema de comunicación, en las relaciones interpersonales y limitaciones percibidas. Los ítems de las cuatro últimas dimensiones se valoraron mediante una escala Likert de cinco puntos. Se calcularon coeficientes alfa de Cronbach para cada dimensión.

Resultados: Los resultados mostraron valores de A: 0,8732, B: 0,6552, C: 0,9573 y D: 0,9015, con un coeficiente global de 0,8326, lo que indica confiabilidad general excelente. El bloque correspondiente al grupo B presentó confiabilidad buena, lo que sugiere revisar sus ítems para optimizar la consistencia interna.

Conclusión/es: Estos resultados validan preliminarmente el cuestionario y constituyen un insumo para futuras investigaciones con muestras mayores, que profundicen en el análisis del impacto de WhatsApp como mediador en el aprendizaje colaborativo en las Ciencias Básicas.

Palabras clave: Confiabilidad - Instrumento de medición - WhatsApp

66. Valoración estudiantil del cursado de Histología Buco Maxilo Facial en forma virtual o presencial en la Facultad de Odontología de la Udelar (Montevideo – Uruguay).

Tapia Repetto G*, Alvarez Gonzalez B. FO Udelar Uruguay.

Introducción: La pandemia nos puso frente al desafío de adaptar la tarea docente mediante el uso de tecnologías, como por ejemplo la Plataforma ZOOM, que uno de los medios de comunicación sincrónica más utilizado durante el desarrollo de la misma. Al controlar el covid pudimos retomar la enseñanza presencial y comenzar a desarrollar las actividades con el formato tradicional en que lo hacíamos, hasta que la pandemia nos obligó a realizar modificaciones.

Objetivo/s: Valorar la percepción de estudiantes respecto a la enseñanza de Histología mediante plataformas de videoconferencia (ZOOM) y la actividad educativa desarrollada de manera presencial, en un curso de Histología Buco Maxilo Facial del primer año de la Facultad de Odontología de la Udelar (Montevideo – Uruguay).

Materiales y Métodos: Se realizó un estudio de caso, con un enfoque de tipo cualitativo, que buscó mediante el análisis de discurso y la instrumentación de grupos focales, indagar en relación a las percepciones de los participantes, respecto a los diferentes elementos que hacen a cómo se sintieron en el transcurso del cursado de la disciplina Histología Buco Maxilo Facial, en el primer año de la carrera de Doctor en Odontología de la Facultad de Odontología de la Udelar (Montevideo – Uruguay). Se convocó a participar de manera intencionada y voluntaria a 15 estudiantes que cumplían con el criterio de haber cursado de manera virtual en el año 2021 los cursos de Histología de BBO 1 y 2; y haber decidido recursar estos mismos cursos de manera presencial en el año 2022, en la carrera de Dr. en Odontología en la Facultad de Odontología de la Udelar . De los 15 estudiantes en condiciones de participar, aceptaron hacerlo 13. En el análisis se utilizaron los aspectos positivos y negativos, así como el formato presencial y el ZOOM como categorías de entrada. Así mismo se sistematizaron los aportes en tres categorías esenciales como los aspectos psicosociales, los materiales didácticos y el vínculo docente – estudiante.

Resultados: Los principales resultados nos mostraron que en el plano psicosocial tuvo mucha relevancia la permanencia en el hogar como aspecto positivo de los cursos mediados por tecnologías, sin embargo otras opiniones mostraban la sensación de no haber ingresado a la universidad, de sentirse en una burbuja, la dificultad para estar concentrado solo en eso, haciendo que el curso adquiera dificultades adicionales.

En la categoría de recursos didácticos sobresalió la presencia del práctico en la actividad presencial, el uso del microscopio, el manejo del pizarrón, el trabajo en grupo, en definitiva un gustó mayor por la actividad cotidiana frente a los aprendizajes mediados por tecnologías. Al relevar información respecto al vínculo, se valoró como positivo tanto cuando fue por ZOOM o presencial, especialmente por el grado de dedicación docente. Sin embargo a nivel presencial se destacó la presencia docente, las ganas de enseñar y el acompañamiento permanente de los y las estudiantes.

Conclusión/es: Pudimos evidenciar que las actividades por ZOOM y Presenciales no son instancias de aprendizajes que no puedan convivir. Sin embargo hemos podido ver que las relaciones sociales y las instancias de aprendizaje práctico, se ven muy dificultadas cuando se desarrollan exclusivamente de manera virtual.

Este estudio nos desafía a continuar trabajando en esta línea de investigación, pero también a poder generar orientaciones institucionales que permitan implantar las nuevas tecnologías de manera efectiva en nuestras prácticas de enseñanza, quizá con formatos híbridos que nos permitan rescatar los elementos positivos de cada uno y neutralizar las debilidades que estas modalidades de enseñanza poseen.

Palabras clave: Enseñanza, ZOOM, Presencial.

67. Enfoques de aprendizaje en estudiantes de Odontología en Universidades Argentinas.

Argentieri AB, Berberian C, Bertolino M, Gamba CA, Gigena PC, Juarez RP, Martinez LD, Medina E, Negrini F, Paván V, Ponce JO, Preliasco M*, Rhys K, Sanchez L, Zemel M, Bordoni N.

SAIO Grupo Educación

Introducción: Los enfoques de aprendizaje(EA) ayudan a comprender cómo los estudiantes de odontología abordan sus estudios, aplicando un enfoque profundo (EP), orientado a la comprensión significativa del proceso de gestión del conocimiento y un enfoque superficial (ES) centrado en la repetición de conocimientos.

Objetivo/s: Caracterizar y comparar los tipos de EA (EP y ES) de estudiantes de odontología cursantes del primero y último año, en seis universidades argentinas, explorando las diferencias entre los grupos (G1y G2) según las características sociodemográficas.

Materiales y Métodos: Se realizó un estudio transversal con información relevada en 6 instituciones formadoras de profesionales que aceptaron participar (razón1:1pública:privada), conformándose una muestra representativa, G:702 estudiantes (cohorte 2025) distribuidos en grupos: (a) cursantes del primer año(G1) y (b)cursantes del último año(G2). Fue aplicado un relevamiento sociodemográfico y el cuestionario R-SPQ-2F (Freiberg Hoffmann, 2016) con 20 ítems (escala Likert); que clasifica EP y ES y sus subescalas: motivaciones (M) y estrategias (E). Los datos (media+DS) se analizaron por t de Welch, ANOVA/GLM, X2 y Spearman(α=0,05).

Resultados: La muestra de estudiantes incluye G1(n=513); G2(n=189), con edades de: 17-25(90%), 26-30(7%), >30 (3%); 79%(n=558) género femenino; 80%(n=562) expresan no trabajar; 84%(n=590) no cursan otra carrera. En G, el EP(3,42 \pm 1,05) fue mayor al ES(2,23 \pm 1,08); p<0,001. EP entre G1y G2(3,48 \pm 0,51; 3,24 \pm 0,53); p<0,001, mientras que ES fue mayor en G2(2,31 \pm 0,61) que en G1(2,20 \pm 0,60); p=0,043. Una distribución similar se reflejó tanto en la subescala motivación (EPM 3,45 \pm 1,02 respecto de ESM(2,11 \pm 1,05; p<0,001), como en estrategias (EPE 3,39 \pm 1,08 respecto de ESE 2,35 \pm 1,11; p<0,001).

Conclusión/es: Estos hallazgos sugieren, en general, que los estudiantes emplean con frecuencia significativa más un enfoque orientado hacia un aprendizaje con significado, basado en la comprensión (profundo), más que el aprendizaje superficial basado en la repetición. Estas diferencias se evidencian en las subescalas en motivaciones y estrategias.

Palabras clave: Enfoques de aprendizaje; gestión de conocimiento; trayectos formativos.

68. La exposición pre y posnatal de amoxicilina altera la odontomorfogénesis coronaria en ratas lactantes.

López M*1, Bozal CB1, Sánchez LM1

1-Cátedra de Histología y Embriología, Facultad de Odontología, Universidad de Buenos Aires

Introducción: En nuestro laboratorio hemos observado que la exposición a amoxicilina (A) desde las etapas tempranas del desarrollo acelera la erupción dentaria.

Objetivo: Dado que la odontomorfogénesis comienza en la etapa prenatal concomitantemente al proceso eruptivo, el objetivo fue comparar en ratas lactantes los resultados de la exposición pre y posnatal a amoxicilina sobre la formación de esmalte y de dentina coronarios.

Materiales y Métodos: Se emplearon 3 ratas Wistar hembra preñadas asignadas aleatoriamente a 3 grupos que recibieron desde el 13º día de gestación hasta el parto, diariamente y por gavage, grupos E1 y E2, 500 mg/kg de peso de amoxicilina y grupo C, solución fisiológica en las mismas condiciones que E1 y E2. Desde el nacimiento y hasta el 15º día posnatal, cuando se realizó la eutanasia de todos los animales (n=8 por cada grupo), las crías de los grupos E1 y C continuaron recibiendo el mismo tratamiento de acuerdo con su grupo y las del grupo E2 no recibieron tratamiento. Los hemimaxilares fueron procesados con la técnica de descalcificación. Sobre microfotografías de cortes bucolinguales a nivel de la raíz mesial del 1º molar se cuantificó % de esmalte mineralizado (%EM), altura de los ameloblastos (HAm), espesor de matriz orgánica del esmalte (EMOEm) y espesor de dentina (EDm) en áreas cervical y oclusal coronarias. Los datos fueron analizados con el Test de ANOVA de una vía y Bonferroni- Dunnet post hoc, considerando una p<0.05 estadísticamente significativa.

Resultados: En los animales que recibieron A pre y posnatalmente respecto del resto de los grupos resultaron menores % EM (C:87,53±5,71 E1:81,57±3,27 E2:88,27±4,87) y HAm a nivel oclusal (C:27,61±9,62 E1:24,41±2,46 E2:27,71±3,59), y a nivel cervical tanto la HAm (C:20,38±4,25 E1: 30,17±7,36* E2:21,55±8,39) como el EMOEm (C:16,75±3,27 E1:30,65±8,25* E2:19,04±2,49) fueron significativamente mayores. Con respecto al EDm resultó menor en los animales que recibieron A pre y posnatalmente respecto del resto de los grupos cervical (C:63,93±11,787 E1: 68,67±8,93 E2: 58,42±16,51).

Conclusión/es: La exposición a amoxicilina tanto pre como posnatalmente altera los procesos de amelogénesis y dentinogénesis en ratas lactantes. Estos hallazgos evidenciarían características experimentales de hipomineralización molar incisiva la cual ha sido asociada clínicamente con el fármaco.

Palabras clave: amoxicilina – erupción dentaria – esmalte – dentina

Financiamiento: PDE_045

70. Impacto negativo de la exposición a dexametasona prenatal sobre la formación de los tejidos dentarios coronarios en ratas lactantes.

Piña Lugo RM*1, Bozal CB1, Sánchez LM1

1.Cátedra de Histología y Embriología, Facultad de Odontología, Universidad de Buenos Aires

Introducción: En trabajos previos realizados en nuestro laboratorio hemos demostrado que la exposición prenatal a dexametasona retrasa la erupción dentaria alterando el desarrollo radicular.

Objetivo/s: Dado que la formación de esmalte y dentina ocurre concomitante a la erupción dentaria, el objetivo de este estudio fue determinar en ratas lactantes el efecto de la exposición prenatal a dexametasona sobre la odontomorfogénesis coronaria.

Materiales y Métodos: Se emplearon 2 ratas Wistar hembra de 2-3 meses de edad asignadas aleatoriamente a grupos: experimental (E), bajo tratamiento con glucocorticoides de manera crónica mediante inyecciones IM semanales de 7 mg/kg de dexametasona (Decadron, Sidus, Argentina) durante 5 semanas y control (C) que recibió solución fisiológica en las mismas condiciones que el E. A la 6° semana las ratas fueron apareadas. Luego de la confirmación del apareamiento, las ratas preñadas continuaron recibiendo la inyección semanal correspondiente a cada grupo experimental hasta el nacimiento de las crías, a las cuales se les practicó la eutanasia a los 15 días de edad (n=8 en cada uno de los grupos). Los hemimaxilares fueron procesados con la técnica de descalcificación. Sobre microfotografías de cortes bucolinguales a nivel de la raíz mesial del 1° molar se cuantificó % de esmalte mineralizado (%EM), altura de los ameloblastos (HAμm), espesor de matriz orgánica del esmalte (EMOEμm), espacio de esmalte mineralizado (EMIEμm), espesor de dentina (EDμm) y altura de odontoblastos (HOμm) en áreas cervical y oclusal. Los datos fueron analizados con el Test t de Student, considerando una p<0.05 estadísticamente significativa.

Resultados: En los animales expuestos prenatalmente al glucocorticoide con respecto al C, %EM (C:81,59 \pm 5,11 E:25,6 \pm 13,19*), EMOE μ m oclusal (C:0 E:100,45 \pm 62,5*), EMIE μ m oclusal (C:35,76 \pm 8,93 E:0*) y cervical (C:24,68 \pm 17,55 E:8,22 \pm 3,39*), ED μ m oclusal (C:220,11 \pm 85,45 E:132,04 \pm 62,5*) y cervical (C:63,8 \pm 11,18 E:26,84 \pm 6,16*) y HO μ m cervical (C:64,36 \pm 14,53 E:34,1 \pm 10,37*) resultaron significativamente menores.

Conclusión/es: La alteración en la formación de los tejidos mineralizados coronarios concomitante al retraso de la erupción dentaria evidencia los efectos adversos de la exposición crónica a dexametasona en el periodo prenatal, reforzando el impacto en el desarrollo de la administración de fármacos durante la gestación.

Palabras clave: dexametasona, odontomorfogénesis, esmalte, dentina

Financiamiento: PDE_045

71. Conocimiento y Actuación del Odontólogo Argentino ante la Violencia Infantil: Estudio Multicéntrico.

Bertolino M, Altamura G, Anchava J, Argentieri A, Baggini C, Biondi AM, Cortese SG, Fernández C, Fiallega DC, Flores Castañeda M, Fridman D, Guitelman I, Ienco M, Medina EL, Nafissi C, Paván VH, Preliasco M, Toscano M, Vera Cucchiaro V, Gigena PC* FOUBA. Grupo Odontopediatría. SAIO

Introducción: El maltrato infantil es un problema de salud pública. Los odontólogos son clave para su detección, pero su formación en Argentina es insuficiente.

Objetivo/s: Evaluar el nivel de conocimiento, actitudes y prácticas de odontólogos en Argentina respecto a la detección, manejo y derivación de casos de violencia infantil.

MATERIALES Y METODOS El Grupo de Odontopediatría SAIO realizó un estudio observacional analítico, transversal y multicéntrico sobre odontólogos argentinos de diversas jurisdicciones del país (mayor participación de Córdoba, Buenos Aires y Río Negro). Se aplicó un cuestionario validado (Al Hayari 2018; Lozano Casales 2020; Altamura 2024), anónimo y en línea, estructurado en secciones claves (demografía, conocimiento, sospecha, manejo y barreras). Presentado al CAI/FO-UNC. Se efectuó un análisis estadístico descriptivo e inferencial con pruebas de asociación (χ², ANOVA, correlaciones).

Resultados: Participaron 260 odontólogos. Se evidenció escasa formación específica: solo 12% (n=31) en grado y 29% (n=76) en posgrado; 74% (n=190) nunca se capacitó. El conocimiento de normativas (22%, n=56) y protocolos (15%, n=39) fue bajo. A pesar de que el 48% (n=124) sospechó de maltrato alguna vez, el 84% desconoce los procedimientos de denuncia. Aunque 93% (n=242) cree que debe tomarse en serio el testimonio infantil, un 69% (n=180) admite que la profesión no está preparada para actuar. Las principales barreras fueron el desconocimiento del proceso (84%), la inseguridad diagnóstica (62%), la falta de apoyo institucional (36%) y el miedo a represalias (30%). La formación de posgrado se asoció directamente con un mayor conocimiento legal (p<0,001), mientras que los odontólogos del sector público reportaron significativamente más barreras institucionales (p=0,02). Conclusión/es: Existe alta sensibilidad profesional frente al maltrato, pero con déficits formativos e institucionales severos que obstaculizan su rol protector. La falta de conocimiento sobre cómo proceder no es solo un déficit informativo, sino una barrera que vulnera indirectamente los derechos del niño.

| Palabras clave: Maltrato infantil, Odontología, Denuncia. | | |
|---|--|--|
| | | |
| | | |
| | | |
| | | |
| | | |
| | | |
| | | |
| | | |
| | | |
| | | |
| | | |
| | | |
| | | |
| | | |
| | | |
| | | |
| | | |
| | | |
| | | |
| | | |
| | | |

72. La voz de los escolares en las prácticas de salud bucal: estudio cualitativo.

Agüero NE*, Gigena PC1, Ponce A, Cano V, Marengo A, Ziem J, Giraudo C, Vera Cucchiaro V, Franchisena M, Fernández A, Cisneros Casanovas NA, Bella MI.

Facultad de Odontologia Universidad Nacional de Cordoba

Introducción: La salud bucal infantil evidencia inequidades sociales en comunidades vulnerables con acceso limitado a cuidados. Para superar estas barreras, es clave integrar la perspectiva y el contexto del niño en la atención, un enfoque propuesto por la Clínica Ampliada del Sujeto.

Objetivo/s: Describir y analizar, desde un enfoque cualitativo, los circuitos de atención, pautas de cuidado, concepciones de salud y percepciones de la atención odontológica relatados por escolares de un barrio urbano con vulnerabilidad socioeconómica de Córdoba

Materiales y Métodos: Estudio cualitativo exploratorio-descriptivo. Participaron 25 niños/as de 9 a 11 años de laEscuela María Tránsito Cabanillas (previa firma de consentimiento y asentimiento). La atención clínica en el contexto escolar estuvo a cargo de odontólogos del equipo de investigación. La recolección de datos incluyó entrevistas abiertas apoyadas en producciones gráficas (dibujos espontáneos sobre la experiencia odontológica). El material fue transcrito y analizado mediante un proceso de codificación abierta, agrupamiento temático y categorización axial. Se construyeron matrices comparativas por caso y categoría. El análisis se orientó a identificar patrones comunes y divergentes, alcanzando saturación teórica en las categorías emergentes.

Resultados: Del análisis surgieron categorías centrales: circuitos de atención en salud; pautas de cuidados; alimentación y patrones de consumo; concepciones de salud; estructura y dinámica familiar; percepciones sobre la atención odontológica recibida. Los niños señalaron al dispensario como principal referente, aunque con resolutividad parcial; identifican alimentos saludables y refieren el consumo de bebidas azucaradas en recreos; relacionan la salud con el bienestar emocional y familiar; identifican y valoraron positivamente la experiencia de atención clínica en la escuela.

Conclusión/es: Los hallazgos revelan una fractura en los circuitos de cuidado. La resolutividad parcial del dispensario, según los niños, contrasta con la alta valoración de la atención en la escuela, posicionándola como un espacio estratégico. La voz infantil, que expone barreras y vincula salud con bienestar emocional, es un insumo clave para fortalecer el primer nivel de atención y humanizar las prácticas odontológicas.

Palabras clave: salud bucal infantil; clínica ampliada; contextos vulnerables

Financiamiento: SI Consolidar RESOL-2023-258-E-UNC-SECYT. Año 2023-2027.

73. Frecuencia y severidad de anquiloglosia en niños entre 36 y 83 meses de edad.

Nafissi C*1, Fernández C1;2, Diez E3, Zavala W4

1. Área de Odontopediatría, Servicio de Odontología. Hospital Universitario de la UNCuyo, Mendoza, Argentina. 2. Cátedra de Odontopediatría I, Facultad de Odontología de la UNCuyo, Mendoza, Argentina. 3. Investigador Adjunto de CONICET. IMBECU-UNCuyo-CONICET. Facultad de Ciencias Médicas – UNCuyo. 4. Cátedra de Histología. Facultad de Odontología. Director Carrera de Doctorado. Facultad de Odontología de la UNCUYO.

Introducción: La anquiloglosia es una anomalía congénita caracterizada por un frenillo lingual corto o restrictivo, con potencial impacto en funciones orales como la succión, la deglución, el habla y el desarrollo orofacial. En población preescolar, la evidencia es escasa y carece de clasificaciones adaptadas a las particularidades anatómicas de esta etapa.

Objetivo/s: El presente estudio descriptivo transversal evaluó clínica y anatómicamente el frenillo lingual en niños que asistieron al Hospital Universitario de la Universidad Nacional de Cuyo de Mendoza, Argentina, con el objetivo de determinar la frecuencia y severidad de anqulioglosia. Materiales y Métodos: Muestra intencionada de 245 niños de 36 a 83 meses que asistieron a esta institución. Previo consentimiento informado parental, se realizó inspección visual bajo luz artificial, medición de la lengua libre con regla tipo Quick Tongue Tie y clasificación anatómica de Kotlow para frenillo lingual: Clínicamente aceptable, rango normal de lengua libre: > 16 mm; Clase I: anquiloglosia leve: 12-16 mm; Clase II: anquiloglosia moderada: 8-11; Clase III: anquiloglosia severa: 3-7 mm; Clase IV: anquiloglosia completa:<3mm. Se aplicó metodología estadística paramétrica y no paramétrica con un nivel de significación p≥0,05.

Resultados: La distribución muestral según sexo fue homogénea (x²=0,004; p=0,949). Según la escala de Kotlow, el porcentaje de las categorías que expresan anquiloglosia fue del 83,3 %, con una media de lengua libre de 13 mm +/- 3,63. Solo el 16,7 % presentó rango normal (>16 mm), observándose un 57,6 % para Clase I, un 15,9 % para Clase II, 9,4% para Clase III y 0,41% para Clase IV. Se encontraron diferencias significativas en los valores de Kotlow según el sexo (U Mann-Whitney = 6264,0; p = 0,012). Los varones mostraron un rango promedio superior que le de las mujeres.

Conclusión/es: El porcentaje de anquiloglosia en la muestra fue alta. Los varones presentaron una mayor tendencia a manifestar formas más restrictivas de la alteración. Asimismo, los resultados destacan la necesidad de desarrollar escalas específicas para niños preescolares que tomen en cuenta parámetros del crecimiento y desarrollo orofacial.

Palabras clave: Frenillo lingual, Anquiloglosia, Preescolares

Financiamiento: Beca cofinanciada para la Finalización de Doctorado CONICET-UNCUYO

74. Estudio analítico de la morfometría del tercer molar en relación a parámetros craneofaciales.

Grifo MB*1, Sanchez GA2;3, Amer MAR1

1.Cátedra de Anatomía General y Estomatológica. Facultad de Odontología. Universidad de Buenos Aires. 2.Cátedra de Biofísica y Bioestadística. Facultad de Odontología. Universidad de Buenos Aires 3.Instituto de Investigaciones en Salud Pública - CONICET

Objetivo/s: El propósito de este estudio fue el de caracterizar medidas morfométricas de terceros molares (M3) (n=76), mandíbulas (n=84) y cráneos secos (n=112) para luego determinar el grado de correlación entre ellas y su valor predictivo para ser estimadas recíprocamente. Materiales y Métodos: Las variables se registraron con un calibre digital Mitutoyo (resolución: 0-200 mm), a excepción del número de cúspides (C) y raíces (R) dentarias, obtenidas por observación directa, y ciertas variables mandibulares, como la Longitud del Cuerpo (LCM), la Altura de Rama (AR), y el Ángulo Mandibular (AM), para las que se empleó un mandibulómetro. Se calculó la media y desvío estándar de cada variable y la correlación entre ellas se evaluó mediante coeficiente r, test de Pearson (p<0.05) y análisis de regresión múltiple multivariada. Resultados: Los resultados hallados se asemejan a los de trabajos previos. En el modelo de regresión lineal ajustado por medidas del tercer molar superior ($R_2 = 0.61$; p = 0.043) las variables con mayores valores de coeficiente **B** resultaron ser la Longitud Ocluso-Apical (LOA) (1,90) la Longitud Ocluso Cervical-Vestibular (LOCV) (1,50) y la Longitud Ocluso Cervical-Palatina (LOCP) (1,50); en cambio, los mayores coeficientes β del modelo de regresión ajustado por medidas del tercer molar inferior ($R_2 = 0.70$; p = 0.006) corresponden a la LOA (2.65), y a los diámetros Vestíbulo-Lingual (DVL) (2,35) y Mesio-Distal (DMD) (1,50). En los modelos ajustados por variables craneofaciales (R₂ = 0,46; p = 0,046) y mandibulares ($R_2 = 0,68$; p = 0,002), los mayores coeficientes β pertenecen a las variables Longitud Basion-Nasion (LBaN) (0,11), Ancho Máximo-Alveolar (AMA) (0,14), Ancho Bigoníaco (ABG) (0,17) y Ángulo Mandibular (AM) (0,21). Conclusión/es: Mediante el análisis multivariado de distintas variables óseas y dentarias se hallaron correlaciones significativas entre las mismas y se demostró el potencial de los parámetros craneofaciales como predictores de la morfometría del tercer molar, y viceversa, por lo que podrían utilizarse en futuros estudios anatómicos predictivos de morfología dental y craneofacial.

Palabras clave: Terrcer Molar; Diametrología Dentaria; Morfometría Craneofacial; Antropología Biológica; Anatomía Odontológica.

75. Expresión de calbindina y gaba en el ganglio trigeminal en un modelo experimental de pulpitis y paracetamol

Yamila Boix Y*1, Miyashiro ME1, Gamba CA1, Ríos H2, Canzobre M2

1.Cátedra de Histología y Embriología, Facultad de Odontología, UBA. 2.Instituto de Biología Celular y Neurociencias "Prof. E. De Robertis ", Facultad de Medicina, UBA

Introducción: La odontología actual emplea herramientas digitales diagnósticas y su progreso contempla la optimización de ellas. Una de esas herramientas es el articulador dental virtual, cuyos algoritmos diagnósticos de digitalización y representación 3D son susceptibles de perfeccionamiento mediante programación computacional. Objetivo: Determinar la eficacia diagnóstica de los articuladores virtuales (AV) Cavy Lite© (CL) y Exocad© (Ex) con módulo v.05 incorporado comparada con el registro clínico (RC) de puntos de contacto en máxima intercuspidación (MI). Materiales y Métodos: Estudio analítico observacional sobre un muestreo de conveniencia de 65 pacientes varones (edad 22 años, dentición completa de 28 dientes). Haciendo uso de papel de articular SHOFU© se realizó el RC del número de puntos de contacto en MI y se procedió al montaje en articulador virtual CL y Ex con módulo v.05 incorporado, que computa el equilibrio oclusal como una función diferencial de las trayectorias condílea e incisal en relación a la altura cuspídea, al plano oclusal y al plano de orientación. La distancia bicigomática y el plano de orientación se determinó con un arco facial MORITA©. Posteriormente, se determinaron los puntos de contacto en MI de los modelos digitales montados en AV. Tres operadores calibrados (kappa = 0.94) estuvieron a cargo de los procedimientos. La distribución de frecuencia de las concordancias y discrepancias de los puntos de contacto en MI entre el RC y AV se evaluó mediante el test de comparación de proporciones (p <0.05). Resultados: El RC total de puntos de contacto en MI fue 4469. Ex mostró una concordancia con 4034 puntos y CL con 4198. El error porcentual global (% e IC95) de CL fue 6.02% (3.07-8.97%) y el de Ex fue 9.73% (6.05-13.41%). El error porcentual resultó significativamente menor tanto para Ex (z=2.30; p=0.02) cuanto para CL (z=2.37; p=0.02) en comparación con Ex y CL sin módulo v.0.5 (20-25% de error porcentual medio). El error entre CL y Ex no resultó significativamente diferente (z=0.79; p=0.43). Además, las determinaciones mostraron un mayor error porcentual en el sector anterior con respecto al sector posterior, tanto para Ex (13.85% vs. 8.92%) cuanto para CL (8,62% vs. 5.29%), aunque dicha diferencia no alcanzó significancia estadística. Conclusión/es: Los resultados del estudio indican que la resolución por iteración de la ecuación diferencial determinante del equilibrio oclusal incluida en el módulo v.05 reduce el error porcentual de los articuladores virtuales y optimiza su eficacia diagnóstica y perspectivas de uso en odontología rehabilitadora.

Palabras clave: articulador dental, oclusion, sistema estomatognatico

 $\label{thm:continuous} \mbox{Financiamiento: Innovat CONICET (Argentina).}$

76. Dosis de ácido hialurónico que afectan la actividad de la SERCA en músculo masetero.

Toma A*1;2, Herrera M1, Medina M1, Antonenko O1, Sanchez G1;2

1. Universidad de Buenos Aires, Facultad de Odontología, Cátedra de Biofísica Bioestadística 2. Instituto de Investigaciones en Salud Pública. CONICET

Introducción: El uso de biomateriales de relleno dérmico, articular y peri muscular, tales como la toxina botulínica y el ácido hialurónico, con criterio estético y terapéutico constituye un avance para la medicina y la odontología. Sin embargo, el efecto de estos agentes sobre proteínas implicadas en la contracción y relajación muscular es poco conocido. Objetivo: Determinar las dosis de ácido hialurónico que afectan la actividad de las isoformas 1a, 2a y 2b de la Ca-ATPasa de retículo sarcoplásmico (SERCA) de músculo masetero. Materiales y Métodos: Investigación experimental en músculos maseteros de conejo (n=15). Las isoformas fueron obtenidas por centrifugación diferencial e individualizadas por cromatografía de alta afinidad. La actividad enzimática fue determinada in vitro a 37 o C y pH 7.2 en medios compuestos por SERCA (1a, 2a o 2b) 0.1 mg/mL, Ca-EGTA 0.1 mM, KCL100 mM, MgCl 2 3 mM, ATP 3 mM, calcimicina 10 M, y ácido hialurónico al 0% (control), 0.5%, 1%, 2%, 3.5% y 5% (grupos experimentales). La producción de Pi determinada por el método colorimétrico de Fiske fue tomada como índice de la actividad enzimática. Las diferencias del efecto de las dosis evaluadas fue analizada por ANOVA (p<0.05). El método de regresión fue utilizado para estimar dosis con efecto significativo. Resultados: No observamos inhibición del ácido hialurónico sobre la SERCA en el rango de dosis evaluadas (F = 1,86; p = 0,10) ni selectividad sobre las isoformas (F = 2,39; p = 0,09). La inhibición de la actividad de las isoformas no excedió el 5% comparada con la registrada a la dosis empleada como control. El modelo de regresión de la variación de la actividad enzimática identificó a las dosis del 11%, 53% y más del 100% como dosis inhibitorias de la actividad de la SERCA2b (R 2 = 0.42), 2a (R 2 = 0.41) y 1a (R 2 = 0.02), respectivamente; y con significancia funcional sobre la actividad muscular mediada por la enzima. Conclusión/es: El uso del ácido hialurónico a dosis clínicas usuales no respaldaría efectos miotóxicos derivados de la inhibición de la actividad enzimática de la SERCA, los que si serían plausibles a dosis mayores.

Palabras clave: SERCA, ácido hialurónico, músculos masticadores, masetero

Financiamiento: Innovat CONICET

77. Optimización de la eficacia diagnóstica de articuladores dentales virtuales: Estudio analítico observacional.

Sanchez G*1;2;3;4, Tanaka H4, Algarin S1, Agüero Romero G1, Sander B3, Toma A1

1.Universidad de Buenos Aires. Facultad de Odontología. Cátedra de Biofísica y Bioestadística. 2.Instituto de Investigaciones en Salud Pública. CONICET. 3.University of Berkeley. 4.University of Niigata.

Introducción: La odontología actual emplea herramientas digitales diagnósticas y su progreso contempla la optimización de ellas. Una de esas herramientas es el articulador dental virtual, cuyos algoritmos diagnósticos de digitalización y representación 3D son susceptibles de perfeccionamiento mediante programación computacional. Objetivo/s: Determinar la eficacia diagnóstica de los articuladores virtuales (AV) Cavy Lite© (CL) y Exocad© (Ex) con módulo v.05 incorporado comparada con el registro clínico (RC) de puntos de contacto en máxima intercuspidación (MI). Materiales y Métodos: Estudio analítico observacional sobre un muestreo de conveniencia de 65 pacientes varones (edad 22 años, dentición completa de 28 dientes). Haciendo uso de papel de articular SHOFU© se realizó el RC del número de puntos de contacto en MI y se procedió al montaje en articulador virtual CL y Ex con módulo v.05 incorporado, que computa el equilibrio oclusal como una función diferencial de las trayectorias condílea e incisal en relación a la altura cuspídea, al plano oclusal y al plano de orientación. La distancia bicigomática y el plano de orientación se determinó con un arco facial MORITA©. Posteriormente, se determinaron los puntos de contacto en MI de los modelos digitales montados en AV. Tres operadores calibrados (kappa = 0.94) estuvieron a cargo de los procedimientos. La distribución de frecuencia de las concordancias y discrepancias de los puntos de contacto en MI entre el RC y AV se evaluó mediante el test de comparación de proporciones (p <0.05). Resultados: El RC total de puntos de contacto en MI fue 4469. Ex mostró una concordancia con 4034 puntos y CL con 4198. El error porcentual global (% e IC95) de CL fue 6.02% (3.07-8.97%) y el de Ex fue 9.73% (6.05-13.41%). El error porcentual resultó significativamente menor tanto para Ex (z=2.30; p=0.02) cuanto para CL (z=2.37; p=0.02) en comparación con Ex y CL sin módulo v.0.5 (20-25% de error porcentual medio). El error entre CL y Ex no resultó significativamente diferente (z=0.79; p=0.43). Además, las determinaciones mostraron un mayor error porcentual en el sector anterior con respecto al sector posterior, tanto para Ex (13.85% vs. 8.92%) cuanto para CL (8,62% vs. 5.29%), aunque dicha diferencia no alcanzó significancia estadística. Conclusión/es: Los resultados del estudio indican que la resolución por iteración de diferencial determinante del equilibrio oclusal incluida en el módulo v.05 reduce el error porcentual de los articuladores virtuales y optimiza su eficacia diagnóstica y perspectivas de uso en odontología rehabilitadora.

Palabras clave: articulador dental, oclusion, sistema estomatognatico

Financiamiento: Innovat CONICET (Argentina).

78. Relación entre plegamiento discal y patología ósea condilar en pacientes con luxación discal anterior sin recaptura.

De la Cal C*1, Ossola CA2, Fernández Solari JJ2, Rodríguez DA2

relación causa efecto.

1.Universidad de Buenos Aires, Facultad de Odontología, Cátedra de Biofísica y Bioestadística. 2.Universidad de Buenos Aires, Facultad de Odontología, Cátedra de Fisiología.

Introducción: La luxación discal sin recaptura es una patología en la articulación temporomandibular donde el disco queda por delante del cóndilo mandibular. El plegamiento discal (PD) es un proceso en el cual el disco articular se dobla o arquea generalmente en el momento de cierre. Se sabe que la arquitectura ósea frente a una patología está dada por la intensidad de las fuerzas, la resistencia del hueso y el tiempo en que actúa la fuerza, pudiendo resultar en procesos osteoproductivos (OP) y/o osteodegenerativos(OD). Objetivo/s: El objetivo de este trabajo fue analizar si los fenómenos OP y/o OD influyen en el PD anterior sin recaptura. Materiales y Métodos: Se realiza un estudio retrospectivo de pacientes con diagnóstico de luxación discal anterior sin recaptura. El estudio fue realizado sobre 75 resonancias magnéticas de pacientes que concurrieron para atención a demanda al servicio de Articulación temporomandibular, sin distinción de género, mayores a 15 años. El análisis se realizó sobre los diagnósticos obtenidos de las resonancias magnéticas que se agruparon en procesos OP, procesos OD y sin procesos (SP). Se evaluaron estas variables (OP, OD) y se tuvo en cuenta también ambas patologías (AP) y SP. Resultados: Los resultados obtenidos mediante test de Chi2 (p<0.05) no dieron una diferencia significativa entre pacientes que presentaron OP y OD en relación con el PD (p=0,14). También se determinó la probabilidad de aparición de cada fenómeno dando como resultado OD+PD=0.14; OD-PD=0.36; OP+PD=0.01; OP-PD=0.01; AP+PD=0.03; AP-PD=0.07; SP+PD=0.11; SP-PD=0.27. Con respecto a las frecuencias de distribución de pacientes se observa una tendencia decreciente en la demanda con respecto al aumento de la edad. Conclusión/es: Podemos decir que se puede observar una tendencia entre las luxaciones discales anteriores con y sin plegamiento discal con respecto a la OD condilar. Se necesitaría aumentar los casos a analizar para poder determinar si hay

Palabras clave: Luxación discal sin recaptura, Plegamiento discal, Proceso osteoproductivo, Proceso osteodegenerativo

79. COIL en la asignatura Metodología de la Investigación en Salud: resultados preliminares en aprendizajes científicos e interculturales en una cohorte binacional Argentina-Chile.

Fontanetti PA1*, Centeno VA1, Carletto Korber FP2, Giménez Evjanian M2, Villalba C3, Ceballos Schiavoni A1, Carnino Ferreccio ML4, Pordomingo BN1, Brown Vega C5, Aros Rodena JA5, Silva Montenegro MJ5, Coñuecar Silva S5, Parra Ibarra C5.

1.Facultad de Odontología UNC/Departamento de Ciencias Básicas. 2.Facultad de Odontología UNC/Departamento de Odontología Preventiva y Social. 3.Facultad de Odontología UNC/Departamento de Patología. 4.Facultad de Odontología UNC/Departamento de Rehabilitación Bucal. 5.Universidad de Playa Ancha/ Facultad de Ciencias de la Salud.

Objetivo/s: Describir los alcances de una experiencia de Aprendizaje Colaborativo Internacional en Línea (COIL) entre la Facultad de Odontología de la UNC y la Facultad de Ciencias de la Salud de la UPLA (Chile), realizada en 2024, en la formación en investigación y en el desarrollo de competencias interculturales como parte de la internacionalización del currículo.

Materiales y Métodos: Se realizó un estudio exploratorio observacional con 50 estudiantes (UNC=26; UPLA=24) quienes firmaron consentimiento informado. Se aplicó una encuesta con ítems tipo Likert y preguntas abiertas. Las emociones se relevaron antes y después del curso, mientras que las competencias interculturales y metodológicas se evaluaron al final. Los datos se analizaron mediante estadística descriptiva y la prueba de McNemar para comparar emociones pre y post.

Resultados: La valoración global fue positiva: 90% calificó la experiencia como satisfactoria o muy satisfactoria. En el eje de internacionalización, 81% señaló que la interacción con compañeros extranjeros le permitió cuestionar supuestos sobre la salud y la investigación desde distintas realidades nacionales. En los grupos mixtos, las discusiones para definir proyectos exigieron integrar perspectivas diversas: algunos estudiantes chilenos enfatizaron inequidades de acceso y prevención, mientras que entre los argentinos predominó la salud como derecho universal. El consenso final combinó ambas visiones, descrito por los propios estudiantes como un ejercicio de "aprender a pensar desde la perspectiva del otro". Asimismo, 86% valoró positivamente la interacción entre estudiantes de distinto nivel académico (1º año UNC y 5º año UPLA). En metodología de la investigación, 76% fortaleció su capacidad para formular problemas e hipótesis, más de 40 estudiantes reconocieron avances en búsqueda y análisis bibliográfico y dos de cada tres aumentaron su confianza para comunicar resultados. En lo emocional, la proporción de quienes expresaron emociones positivas pasó de 30% al inicio a 94% al final (p<0,001).

Conclusión/es: La experiencia COIL fue percibida como positiva y contribuyó al desarrollo de competencias interculturales y la formación en investigación. Los hallazgos sugieren su potencial como estrategia innovadora para fortalecer la internacionalización del currículo y el aprendizaje colaborativo en asignaturas de ciencias de la salud.

Palabras clave: COIL; Internacionalización del currículum; Metodología de la investigación

80. Engagement académico en carreras de Salud de la sede Alto Valle-Malle Medio Universidad Nacional de Rio Negro.

Cecchi A1, Chiacchiarini S1, Buglione MB2, Laborde MA1, Davison MR1, Preliasco M1*, Bordoni N1.

1. Universidad Nacional de Rio Negro. Carrera de Odontología. 2. Universidad Nacional de Rio Negro. Carrera de Medicina Veterinaria.

Introducción: En el ámbito educativo, el engagement académico se reconoce como un constructo motivacional positivo con impacto en el desempeño laboral, compuesto por tres dimensiones: vigor (energía y resistencia mental durante el trabajo); dedicación (compromiso y entusiasmo hacia las tareas) y absorción (concentración profunda y fluidez en la labor docente).

Objetivo/s: Comparar componentes del engagement académico percibido por docentes de las carreras de Odontología y Medicina Veterinaria de la Universidad Nacional de Río Negro.

Materiales y Métodos: La muestra incluyó 132 docentes de las carreras Odontología (O) y Medicina Veterinaria (MV), quienes respondieron en forma voluntaria y anónima a la encuesta UWES. Los datos de los docentes se agruparon: grupo 1 (G1) con formación disciplinar y en el campo educativo y grupo 2 (G2) con formación disciplinar. El análisis estadístico incluyó prueba no paramétricas de Mann-Whitney U y Kruskal-Wallis (p<0.05).

Resultados: Respondieron la encuesta 32% de O y 45% de MV. No se encontraron diferencias significativas al comparar el engagement: (a) entre carreras(O/MV); (b) entre dimensiones (D): Vigor(V), Dedicación(D) y Absorción(A); (c) por dominio entre los grupos (G1+G2) en cada carrera; (d) por dominio de cada grupo individualmente (G1 y G2).

Al comparar cada reactivo de la encuesta (R1 al R17) en OG1 y OG2 se registraron diferencias significativas: en R8(p=0.023) y R15(p=0.044) del DV y en el R13(p=0.004) del DD. Al comparar entre OG2 y MVG2 se registraron diferencias significativas en R4(p=0.026) del DV y en R2(p=0.033) del DD.

Conclusión/es: El estudio mostró que los docentes de ambas carreras expresan altos niveles de engagement. Las diferencias significativas encontradas tanto en los reactivos entre docentes de la carrera de odontología como entre docentes del mismo grupo de diferentes carreras ameritan el desarrollo de estudios cuantitativos de datos atípicos y del análisis cualitativo de los discursos vigentes en las instituciones.

Palabras clave: Engagement; Ciencias de la salud; educación superior.

81. Autoeficacia percibida por docentes en Carreras de Salud de Sede Alto Valle-Valle Medio. Universidad Nacional de Río Negro.

Cecchi A1, Chiacchiarini S1, Buglione MB2, Laborde MA1, Davison MR1, Preliasco M1*, Bordoni N1.

1. Universidad Nacional de Rio Negro. Carrera de Odontología. 2. Universidad Nacional de Rio Negro. Carrera de Medicina Veterinaria.

Introducción: La autoeficacia es expresada como la percepción personal para desarrollar de manera exitosa una tarea docente específica en un contexto particular, favorece la implementación de estrategias pedagógicas efectivas, el aprendizaje significativo y contribuye a un entorno académico saludable y responsable.

Objetivo/s: Comparar componentes de la autoeficacia percibida por docentes de las carreras de Odontología (O) y Medicina Veterinaria (MV) de la UNRN.

Materiales y Métodos: La encuesta aplicada fue ESCADU, implementada de forma voluntaria y anónima. Los datos del estudio se agruparon en: grupo 1 (G1) con formación disciplinar y en el campo educativo y grupo 2 (G2) con formación disciplinar. El análisis estadístico incluyó prueba de Mann-Whitney U y Kruskal-Wallis (p<0.05), para datos no paramétricos.

Resultados: Respondieron la encuesta 32% de O y 45% de MV. No se encontraron diferencias significativas: (a) entre carreras (O/MV) (p=0.395); (b) entre los dominios (gestión académica (GA), estrategias educacionales (EE) y responsabilidad social universitaria (RSU) de las carreras; en el dominio mejoras continuas (MC) se encontró diferencia significativa entre carreras (p=0.015); (c) entre grupos OG1 y OG2 existieron diferencias significativas en los dominios GA: (p=0.022); EE:(p=0.011 MC:(p=0.202); RSU:(p=0.022); mientras que entre MVG1 y MVG2 se registraron en los dominiosGA: (p=0.208); EE:(p=0.226); MC: (p=0.050); RSU: (p=0.014). El análisis de reactivos (R1 al R24) obtuvo diferencias significativas al compararlos entre grupos OG1 y OG2 en los dominios GA: R3(p=0.044); EE: R10(p=0.006); MC: R16(p=0.005) y R17(p=0.016); RSU: R22(p=0.005), R23(p=0.006) y R24(p=0.002); entre grupos MVG1 y MVG2 en los dominios GA: R1(p=0.0005) y R4(p=0.029); EE: R10(p=0.033) y R13(p=0.047). Los reactivos de G2 entre carreras OG2 y MVG2 obtuvieron diferencias significativas en los dominios GA: R1(p=0.048); MC: R16(p=0.005), R17(p=0.016) y R18(p=0.041).

Conclusión/es: Los resultados obtenidos muestran que los docentes poseen diferentes percepciones de autoeficacia en y entre las carreras e identifican diferente impacto en los dominios y reactivos atribuibles al proceso de formación.

Palabras clave: Autoeficacia; ESCADU; Ciencias de la salud.

82. Análisis preliminar de resultados académicos y valoración estudiantil en la primera cohorte de un Ciclo de Nivelación con formato combinado en la carrera de Odontología de la UNC.

Fontanetti PA*, Cadile MS, Busleiman FJ, De Leonardi G.

Universidad Nacional de Córdoba, Facultad de Odontología.

Objetivo/s: Comparar los resultados académicos y conocer la satisfacción del estudiantado de la primera cohorte del Ciclo de Nivelación (CiNFO) implementado en formato combinado en 2025, en la Facultad de Odontología de la Universidad Nacional de Córdoba.

Materiales y Métodos: Se evaluó el desempeño académico de los estudiantes 2025 inscriptos en cada una de las Asignaturas del CiNFO: Introducción a la Biología (IB), Introducción a la Química (IQ), Introducción a la Odontología (IO) y Taller de Metodología del Aprendizaje (TMA): 715 en Cátedras "A" (presencialidad remota, PR) y 690 en Cátedras "B" (presencialidad física, PF). Cabe aclarar que ambas modalidades compartieron carga horaria, contenidos y modalidad presencial de exámenes finales. Se analizaron datos cuantitativos de los resultados académicos (aprobados, reprobados, ausentes y número de intentos en los exámenes) y se relevaron valoraciones estudiantiles mediante cuestionarios de satisfacción. Las comparaciones entre las proporciones de aprobación según modalidad se realizaron mediante prueba de Chi-cuadrado de independencia.

Resultados: En IQ aprobó un mayor porcentaje de estudiantes en PR: 59,9% vs. 47,6% en PF (p<0,05), y también un mayor porcentaje lo hizo en el primer intento (75,7% vs. 45,0%; p<0,05). En IB las tasas fueron similares en ambas modalidades (64,1% vs. 63,7%; p>0,05), pero con ventaja para los de PR en primera instancia de examen (77,0% vs. 65,9%; p<0,05). En las asignaturas formativas de introducción universitaria (IO y TMA) los resultados fueron levemente superiores en la modalidad presencial, aunque sin diferencias significativas. Si bien en la modalidad remota un 26% de los inscriptos no tuvo actuación académica frente a un 16% en la presencial, la tasa de ausentismo en uno o dos intentos de exámen fue equivalente. En lo cualitativo, más del 86% de los estudiantes valoró positivamente su desempeño y más del 80% se declaró satisfecho con la modalidad elegida. Entre los de PR, un 70% señaló que la experiencia fue muy superior a la vivida durante la pandemia en la secundaria.

Conclusión/es: Los resultados preliminares muestran que la bimodalidad sería una estrategia eficaz para ampliar el acceso a la educación superior sin comprometer la calidad académica. El CiNFO en formato combinado constituye una experiencia inclusiva y replicable en otras carreras presenciales.

Palabras clave: Ciclo de Nivelación, Formato combinado, Inclusión educativa

83. Motivaciones, expectativas y agotamiento académico en estudiantes de Odontología.

Culacciati C1*, Medici S1, Rossi G1, Salgado P2, Squassi A3.

1.Universidad de Buenos Aires, Facultad de Odontología, Instituto de Investigaciones en Salud Pública, Cátedra de Odontología Preventiva y Comunitaria. 2.Universidad de Buenos Aires, Facultad de Odontología, Instituto de Investigaciones en Salud Pública, Cátedra de Odontología Preventiva y Comunitaria - Cátedra de Odontología Microbiología y Parasitología. 3.Universidad de Buenos Aires, Facultad de Odontología, Instituto de Investigaciones en Salud Pública, Cátedra de Odontología Preventiva y Comunitaria - Consejo Nacional de Investigaciones Científicas y Tecnológicas (CONICET).

Objetivo: Analizar motivación, expectativa y agotamiento académico de los estudiantes de la carrera de odontología de la FOUBA. Materiales y métodos: Se realizó un estudio transversal en una muestra no probabilística de 334 estudiantes (82,3% mujeres) de la carrera de odontología que respondieron de forma anónima y voluntaria un cuestionario de 19 preguntas. El cuestionario incluyó 7 preguntas semiestructuradas sobre aspectos personales y motivacionales, y el instrumento validado (BCSQ-12-SS), conformado por tres dominios: Sobrecarga (D1), Falta de desarrollo (D2) e Indiferencia (D3), cuyas respuestas corresponden a una escala tipo Likert. Se conformaron dos grupos de estudiantes: G1 (alumnos de fase inicial de la carrera, n=191) y G2 (alumnos de fase final, n=143). Se utilizó para variables cualitativas: frecuencias, porcentajes e IC95% y para variables cuantitativas: promedio, desvío estándar, IC95%. Para establecer relaciones: Test de Chi-cuadrado y Anova de medidas repetitivas con un nivel de significación 5%.

Resultados: El 59,9% de los estudiantes eligieron la carrera por el deseo de ayudar a las personas a mejorar su salud bucal y el interés en la misma. En cuanto al análisis de BCSQ-12-SS, se obtuvo para D1: 62,6% (IC95%: 60,7%-64,6%), D2: 33,2% (IC95%: 31,5%-34,9%), D3: 39,8% (IC95%: 38,3%-41,3%) y puntaje total: 45,2% (IC95%: 44,0%-46,4%). El puntaje D1 fue mayor, seguido de D3 y D2 (p<0,001). G2 obtuvo un % mayor en D1 (65,9%; IC95%:62,9%-68,8%) que G1 (60,2%; IC95%:57,6%-62,7%); p = 0,004. En D2, G1 fue mayor a G2 (36,2%; IC95%:34,0-38,4%); 29,1%; IC95%:26,6%-31,7%) respectivamente; p < 0,001). No se encontraron diferencias significativas entre los estudiantes que trabajan y los dominios.

Conclusión: Los resultados sugieren que los estudiantes de odontología de la FOUBA experimentan niveles significativos de agotamiento académico, especialmente relacionados con la sobrecarga y el avance en la carrera. Es importante considerar estos hallazgos para implementar estrategias que promuevan el bienestar y la motivación de los estudiantes a lo largo de su carrera. Palabras claves: Motivación, agotamiento, estudiantes de odontología

84. Engagement y autoeficacia percibida en docentes de Odontología.

Ventura F1*, Lazzati R1, Squassi A2, Salgado P3, Bordoni N1.

1.Universidad de Buenos Aires, Facultad de Odontología, Instituto de Investigaciones en Salud Pública, Cátedra de Odontología Preventiva y Comunitaria. 2.Universidad de Buenos Aires, Facultad de Odontología, Instituto de Investigaciones en Salud Pública, Cátedra de Odontología Preventiva y Comunitaria – Consejo Nacional de Investigaciones Científicas y Tecnológicas (CONICET). 3.Universidad de Buenos Aires, Facultad de Odontología, Instituto de Investigaciones en Salud Pública, Cátedra de Odontología Preventiva y Comunitaria - Cátedra de Odontología Microbiología y Parasitología.

Objetivo/s: Identificar los niveles de engagement y autoeficacia percibida por docentes de la carrera de Odontología.

Materiales y Métodos: Se diseñó un estudio analítico observacional. La población estuvo compuesta por docentes de la Cátedra de Odontología Preventiva y Comunitaria de FOUBA asignado a las asignaturas Odontología Preventiva y Mínimamente Invasiva I y II (OPyMI I y II). Fueron excluidos aquellos docentes que no completaron íntegramente los cuestionarios. Se aplicó un formulario anónimo para recolectar información sociodemográfica y laboral, junto con dos instrumentos validados: la escala de Engagement en el trabajo (UWES-17), con tres dimensiones (vigor, dedicación, absorción), y el cuestionario ESCADU para autoeficacia percibida, con cuatro dimensiones (gestión académica, estrategias educacionales y mejora continua, responsabilidad social universitaria). Se realizaron estadísticas descriptivas y análisis comparativos mediante ANOVA de una sola vía y de medidas repetidas con corrección de Bonferroni.

Resultados: De los 58 participantes, la mayoría eran menores de 35 años (74,1%) y odontólogos (56,9%). La mitad de la muestra ocupaba cargos honorarios sin remuneración, el 67,2% contaba con menos de cinco años de experiencia docente y el 63,8% cumplía una carga horaria de 5 horas semanales. En engagement, los puntajes promedios fueron: Vigor 73,6% (IC95%: 68,8%–77,2%), Dedicación 73,3% (IC95%: 68,7%–77,9%), Absorción 69,2% (IC95%: 65,0%–73,3%) y total 71,8% (IC95%: 67,8%–75,7%). No se observaron diferencias significativas entre grupos de docentes. Sin embargo, el análisis global entre dimensiones mostró diferencias (p=0,013); la Absorción fue significativamente menor que la Dedicación (p=0,041), mientras que Vigor no difirió de las otras dimensiones. En autoeficacia percibida, los puntajes promedios fueron: Gestión académica 79,4% (IC95%: 75,9%–82,9%), Estrategias educacionales 79,8% (IC95%: 76,4%–83,2%), Mejora continua 90,8% (IC95%: 87,2%–94,4%), Responsabilidad social universitaria 82,1% (IC95%: 77,7%–86,4%) y total 82,5% (IC95%: 79,2%–85,8%). Se observaron diferencias significativas por grupo etario en Gestión académica, siendo menor en los menores de 35 años (p=0,018). Tambien se observaron diferencias globales entre dimensiones: Mejora continua fue significativamente mayor que Gestión académica, Estrategias educacionales y Responsabilidad social universitaria (p<0,001), mientras que estas tres últimas no difirieron entre sí.

Conclusión/es: Los docentes mostraron altos niveles de engagement y autoeficacia. En engagement, la absorción fue la dimensión más baja, mientras que en autoeficacia destacó la mejora continua como la más elevada. Los docentes más jóvenes reportaron menor autoeficacia en gestión académica. Estos hallazgos aportan evidencia para diseñar estrategias que fortalezcan la motivación docente y favorezcan el desarrollo de competencias esenciales en la formación odontológica.

Palabras clave: Docentes, Autoeficacia, Motivación.

85. Motivaciones para cursar una asignatura optativa en tres cohortes de estudiantes de Odontología.

Cohen SA1*, Sánchez ML1, Pérez MB1, Galván C1, Salgado P2, Peralta C1, Rodríguez C1, D'Eramo L3, Squassi A4.

1.Universidad de Buenos Aires, Facultad de Odontología, Cátedra de Odontología Preventiva y Comunitaria. 2.Universidad de Buenos Aires, Facultad de Odontología, Instituto de Investigaciones en Salud Pública, Cátedra de Odontología Preventiva y Comunitaria - Cátedra de Odontología Microbiología y Parasitología. 3.Universidad de Buenos Aires, Facultad de Odontología, Instituto de Investigaciones en Salud Pública, Cátedra de Odontología Preventiva y Comunitaria - Consejo Nacional de Investigaciones Científicas y Tecnológicas (CONICET).

Objetivo/s: Comparar las motivaciones para cursar una asignatura optativa en tres cohortes de estudiantes.

Materiales y Métodos: Se realizó un estudio analítico observacional sobre 247 estudiantes que cursaron la asignatura optativa de Odontología Preventiva entre 2019 y 2025. El cuestionario "ad hoc" (alfa Cronbach 0,88) presentaba 21 reactivos agrupados en 3 dominios: beneficios sociales (4 reactivos), beneficios personales (9 reactivos) y desarrollo de potenciales creativos (8 reactivos). Las respuestas fueron registradas mediante una escala tipo Likert (1-5), en la que el valor 1 representaba el mayor acuerdo con el reactivo. El instrumento permitía registrar edad, género, nacionalidad, año de ingreso a la carrera y año que se encuentra cursando, y se aplicó, en forma anónima y voluntaria. Los resultados se expresaron en valores absolutos (media, desviación estándar, IC95%) y como porcentaje del puntaje máximo posible y para la comparación entre cohortes se aplicó ANOVA (p<0,05).

Resultados: Participaron 247 estudiantes distribuidos en tres cohortes: 2019 (n=84), 2023 (n=80) y 2025 (n=83). El beneficio social se mantuvo estable entre cohortes (2019: $6,3\pm3,0$; 2023: $7,0\pm3,9$; 2025: $6,9\pm3,1$), sin diferencias significativas. El beneficio personal mostró una disminución progresiva (2019: $25,1\pm5,2$; 2023: $24,0\pm6,0$; 2025: $22,4\pm6,2$), con diferencia significativa entre cohortes (F=4,651; p<0,01). El desarrollo potencial descendió levemente en 2023 y 2025 respecto de 2019 ($18,5\pm4,0$; $17\pm6,1$; $17,2\pm5,8$), sin significación estadística. El puntaje total tendió a disminuir ($49,9\pm9,3$; $48,0\pm13,1$; $46,5\pm13,2$), sin diferencias significativas. Expresado en porcentaje del máximo posible, el % de beneficio personal disminuyó desde $55,7\pm11,6$ (2019) a $53,4\pm13,3$ (2023) y $49,7\pm13,7$ (2025) (p<0,01), mientras que el % de beneficio social ($31,7\pm15,1$; $35,1\pm19,3$; $34,6\pm15,4$) y % de beneficio potencial ($46,3\pm9,9$; $42,4\pm15,2$; $42,9\pm14,4$) no mostraron diferencias significativas.

Conclusión/es: Las motivaciones sociales y de desarrollo se mantuvieron estables entre cohortes, mientras que el beneficio personal mostró una disminución significativa. Esto sugiere la necesidad de estrategias pedagógicas que refuercen la valoración individual del aprendizaje.

Palabras clave: Estudiantes de Odontología, Motivación, Educación en Odontología.

86. Análisis retrospectivo 2014-2024 de los controles biológicos utilizados para la validación del proceso de esterilización en la Cátedra de Microbiología y Parasitología - FOUBA.

Cires Gonzalez MC*1, Cutrera MCP1, 2, Salgado PA1, 2, 3, Rossi GN3, 2.

1. Cátedra de Microbiología y Parasitología, FOUBA. 2. Instituto de Investigaciones en Salud Pública. UBA. 3. Cátedra de Odontología Preventiva y Comunitaria, FOUBA

Introducción: Los controles biológicos (CB) para autoclaves y estufas forman parte de los métodos de validación del proceso de esterilización. Objetivo:Analizar resultados de CB realizados en la Cátedra de Microbiología y Parasitología entre 2014 a 2024, evaluando demanda y procedencia de los solicitantes. Materiales y Métodos:Estudio analítico, retrospectivo y longitudinal. Muestra 3973 CB entre los años 2014 a 2024. Se utilizaron tiras de papel impregnadas con esporos bacterianos Kit Terragene® Bionova®, medio de cultivo con indicador de pH. Procesamiento: según lo indicado por el fabricante. Se analizó: fecha de muestra, solicitante, tipo de equipo y resultado del CB. Análisis estadístico: frecuencias, porcentajes e IC95%. Test de Chi cuadrado. Resultados:55,1% CB FOUBA; 31,4% consultorios particulares,7,0% Hospitales públicos y 6,4 % otros. 32,2% estufas y 67,8% autoclaves. CB positivos 5,9%; se observaron diferencias estadísticas en los años 2015 (9,4%) y 2019 (8,3%), siendo en el resto de 5,2% (IC95%: 4,5%-6,0%) Frecuencia CB: 15,7% los realizó una vez al mes; 22,6% cada 3 meses; 24,9% cada 6 meses; 19,8% una vez al año y 16,9% ocasionalmente. Realiza controles físicos 58,8% y químico el 31,9%. Frecuencia mensual de CB en Hospitales públicos 30,0%, consultorios particulares 2,4% y Otros 64,5% (p<0,001). CB de autoclaves en relación con estufas aumentó a lo largo de la serie temporal: Año 2014 60,3% estufas y Año 2024 88,4% (p<0,001). Conclusión: En los años estudiados, más de la mitad de los solicitantes fueron FOUBA; aumentando los CB en autoclaves. Más de la tercera parte solo lo realizan una vez al año u ocasionalmente. Aumentaron los resultados positivos en 2015 y 2019. Validar la esterilización constituye uno de los pilares para el control de la infección cruzada.

Palabras clave: controles biológicos, estufas, autoclaves, positivos

87. Identificación molecular y prevalencia de especies de Cándida en saliva de personas mayores.

Dubois VA*1, Cutrera MC1, Salgado PA2, Taverna CG3, Cornejo CF1, 4.

1. Laboratorio de Microbiología Molecular, Cátedra de Microbiología y Parasitología, Facultad de Odontología, Universidad de Buenos Aires. 2. Cátedra de Microbiología y Parasitología, Facultad de Odontología, Universidad de Buenos Aires. 3. Laboratorio Nacional de Referencia en Micología Clínica, Departamento Micología, Instituto Nacional de Enfermedades Infecciosas (INEI), Administración Nacional de Laboratorios e Institutos de Salud (ANLIS, "Dr. Carlos G. Malbrán"). 4. Cátedra de Odontología Preventiva y Comunitaria, Facultad de Odontología, Universidad de Buenos Aires.

Objetivo: Caracterizar la diversidad y prevalencia de especies de Candida en saliva de personas mayores, mediante identificación molecular por MALDI-TOF, considerando variables médico-odontológicas asociadas. Materiales y Métodos: Se incluyeron 56 pacientes mayores de 60 años que asistieron voluntariamente al HO-FOUBA. Se colectó saliva no estimulada, que fue sembrada en CHROMagar Candida para diferenciación presuntiva. La identificación definitiva de las especies se realizó mediante MALDI-TOF MS (Biotyper Bruker). Se registraron variables médicas, odontológicas y consumo de azúcar. Resultados: La población incluyó 33 mujeres (58,9%). El 32,1% 18/56 eran desdentados totales y el 69,7% 39/56 portadores de prótesis. El 76,3% (29/38) presentó IP>1, y el 68,4% (26/38) inflamación gingival. El 83,9% (47/56) recibía tratamiento médico, con las comorbilidades más habituales: cardiovasculares (57,1%, 32/56), metabólicas/endocrinas (35,7%, 20/56) e inmunitarias (21,4%, 12/56). El 78,6% (44/56) tomaba medicación: antihipertensivos (58,9%) y para diabetes (19,6%). Un 44,6% tomaba dos o más fármacos. El 87,5% (49/56) consumía alimentos/bebidas con azúcar, de los cuales el 80,3% (45/56) lo hacía en las comidas principales y el 26,8% (15/56) entre comidas. La tasa de flujo salival promedio fue de 2,07 ml/min (DE 0,98). Candida spp. se aisló en el 75% (42/56) de los pacientes, siendo C. albicans la especie dominante (64,3%), seguida de C. parapsilosis (28,6%), C. tropicalis (26,2%) y C. dubliniensis (16,7%). Otras especies (<12%) incluyeron C. glabrata, C. lusitaniae, K. marxianus, M. guilliermondii y S. cerevisiae. Se observaron co-colonizaciones en el 35,7% (20/56) de los casos. La prevalencia de Candida fue mayor en pacientes con prótesis (82%, 32/39), en aquellos con IP>1 (79,3%, 23/29) y en los que consumían alimentos/bebidas con azúcar (75,5%, 37/49). La prevalencia fue también alta en pacientes que tomaban medicación (77,3%, 34/44), especialmente entre los que recibían antihipertensivos (73,5%, 25/34) y tratamiento para diabetes (29,4%, 10/34). Conclusión: La prevalencia de Candida en personas mayores es alta. Si bien las asociaciones entre las variables analizadas y la presencia de Candida fueron consistentes, el tamaño muestral limitado impidió detectar asociaciones estadísticamente significativas.

Palabras clave: Candida, MALDI-TOF, personas mayores, saliva

88. Dinámica de similitud genética de Streptococcus mutans y Streptococcus sobrinus en infantes en edad preescolar: estudio longitudinal.

Cornejo C*1, 2, 3, Squassi A1, 2, 4, Gliosca L1, 3.

1. Universidad de Buenos Aires, Facultad de Odontología, Instituto de Investigaciones en Salud Pública. 2. Universidad de Buenos Aires, Facultad de Odontología, Cátedra de Odontología Preventiva y Comunitaria. 3. Universidad de Buenos Aires, Facultad de Odontología, Cátedra de Odontología Microbiología y Parasitología. 4. Consejo Nacional de Investigaciones Científicas y Tecnológicas (CONICET)

Objetivo: Evaluar la similitud genética de cepas de Streptococcus mutans y Streptococcus sobrinus aisladas de infantes de 36 a 48 meses, seis meses después del inicio del ciclo lectivo. Materiales y Métodos: Se realizó un estudio longitudinal, en una muestra de 22 infantes concurrentes a dos salas de un jardín maternal. Los aislamientos se obtuvieron de saliva en dos momentos: inicial y final. Para determinar los ampliotipos se empleó la técnica RAPD-PCR con el cebador OPA-02. El análisis se realizó mediante el software PyElph v1.4. La similitud se calculó con el Índice de Dice (ID), categorizado como: completa (ID=1), alta (ID>0,8), moderada (0,8–0,5), baja (<0,5) y disimilitud (ID=0). Los árboles filogenéticos se construyeron con los métodos Neighbor-Joining y UPGMA, y la estructura de agrupamientos se exploró con análisis de coordenadas principales (PCoA). Para el análisis comparativo, los infantes fueron reagrupados por sala en Grupo 1 y Grupo 2.. Resultados: En la Sala 1, el análisis PCoA de 28 cepas de S. mutans relacionó 60 pares de perfiles sobre 225 combinaciones posibles, definiendo cinco ampliotipos o clusters integrados por aislamientos de ambos periodos, aunque dos cepas del tiempo final permanecieron sin agruparse. En la Sala 2, se analizaron 32 pares de perfiles sobre 120 combinaciones, identificándose seis clusters. El cluster VI agrupó exclusivamente cepas del período inicial, mientras que el cluster IV incluyó únicamente cepas del período final. Los demás clusters fueron mixtos, con alta homología entre cepas de ambos momentos. Para S. sobrinus, 16 cepas de ambas salas generaron 20 pares de perfiles de alta similitud sobre 160 combinaciones, conformando cuatro clusters: dos correspondientes a la Sala 2, uno a la Sala 1 y uno compartido entre ambas salas. Conclusión: Los resultados muestran que cepas de S. mutans y S. sobrinus presentaron ampliotipos similares entre los infantes que compartían el entorno escolar. Las variaciones observadas según la metodología de análisis evidencian la necesidad de utilizar métodos complementarios para una caracterización genética más precisa.

Palabras clave: Streptococcus, Análisis por PCR, Polimorfismo de ADN

Financiamiento. PAIIO-FOUBA 2019-2024 - UBACYT 20720190100007BA

89. Estudio preliminar de la diversidad y composición de la microbiota oral en la gestación.

Dubois VA*1, D'Eramo LR2, Calo G3, Lara BA3, Hauk VC3, Perez Leiros C3, Salgado PA4, Squassi AF2, Gliosca LA1.

1. Laboratorio de Microbiología Molecular, Cátedra de Microbiología, Facultad de Odontología, Universidad de Buenos Aires. 2. Cátedra de Odontología Preventiva y Comunitaria, Facultad de Odontología, Universidad de Buenos Aires. 3. Instituto de Química Biológica (IQUIBICEN-CONICET), Facultad de Ciencias Exactas y Naturales, Universidad de Buenos Aires. 4. Cátedra de Microbiología, Facultad de Odontología, Universidad de Buenos Aires

Introducción: Las modificaciones durante la gestación pueden tener impacto en la microbiota oral, favoreciendo un estado disbiótico general. Objetivo: Se evaluó la diversidad y composición bacteriana subgingival en gestantes y no gestantes. Materiales y Métodos: Población: 18 mujeres (13 gestantes y 5 no gestantes), de 20 a 45 años. Las gestantes estaban bajo control obstétrico en el hospital Argerich y fueron derivadas al HO-FOUBA para atención odontológica. Se realizó una evaluación gingivoperiodontal: sangrado al sondaje (SS), índice de placa (IP), índice gingival (IG). Las muestras de biofilm subgingival se obtuvieron mediante la inserción de conos de papel estériles en sitios con inflamación. El ADN se extrajo con kit comercial. Se amplificó el gen 16S ARNr (V3-V4). La secuenciación se realizó en Illumina MiSeq. Los datos se procesaron con QIIME 2 usando un clasificador basado en la base de datos eHOMD.. Resultados: Los filos más abundantes fueron Firmicutes, Bacteroidetes, Fusobacteria y Proteobacteria. Los géneros predominantes fueron Streptococcus, Fusobacterium, Prevotella, Veillonella, Leptotrichia y Porphyromonas. Las gestantes mostraron mayor abundancia de Porphyromonas gingivalis. La diversidad alfa fue menor en gestantes en comparación con el grupo control, con diferencias significativas en 3 de los 4 índices evaluados: Shannon, Observed Features y Faith's PD (p<0.05). El análisis de diversidad beta mostró diferencias significativas en la composición microbiana: Bray-Curtis, Weighted UniFrac, Unweighted UniFrac y Jaccard (p<0.01). ANCOM reveló mayor abundancia de géneros periodontopatógenos en gestantes, destacando Treponema, Peptostreptococcus stomatis y Catonella morbi. No se observaron diferencias significativas en los índices gingivoperiodontales entre los grupos. Al comparar por semana de gestación, se hallaron diferencias en uniformidad (Pielou) y riqueza (Observed Features) en ≤16 semanas (p<0.05). ANCOM no identificó diferencias significativas según semana de gestación ni condición final. Se detectó mayor abundancia relativa de Mollicutes bacterium HMT-504 y Treponema socranskii en algunos casos. Conclusión: Estos resultados sugieren que la gestación podría asociarse con cambios en la microbiota oral subgingival, lo que resalta la importancia de realizar controles gingivoperiodontales durante la gestación.

Palabras clave: microbiota oral, gestantes, biofilm subgingival, eubiosis, disbiosis

Financiamiento: PAIIO-FOUBA 2019-2024. "Programa de apoyo a la Investigación Integrada de la Facultad de Odontología de la Universidad de Buenos Aires", (Resolución Cd N° 507/18). Código 330/19-2. Epidemiología de enfermedades bucales prevalentes en la República Argentina: prevalencia, factores de riesgo y asociación con condiciones sistémicas

90. Salivary Protein Signatures in Type 2 Diabetes Mellitus, Dyslipidemia, and Periodontitis: Insights from the Global Proteome.

Dias Caldeira FI*1, Tfaile Corbi SC2, Ribeiro Salmon C3, Perez Orrico SR1, De Souza Bastos A1, Xiao Y4, Siqueira WL5, Scarel-Caminaga RM2.

1. Department of Diagnosis and Surgery, School of Dentistry at Araraquara, UNESP- São Paulo State University, Araraquara 14801-903, SP, Brazil. 2. Department of Morphology, Genetics, Orthodontics and Pediatric Dentistry, School of Dentistry at Araraquara, UNESP-São Paulo State University, Araraquara 14801-903, SP, Brazil. 3. Dental Research Division, School of Dentistry, Paulista University, São Paulo, SP, Brazil. 4. Schulich Dentistry & Medicine, The University of Western Ontario, London, ON, Canada. 5. College of Dentistry, University of Saskatchewan, Saskatoon, SK, Canada

Introducción: Saliva is a multifunctional body fluid with significant potential for health monitoring and disease diagnosis, including type 2 diabetes mellitus (T2DM), dyslipidemia (Dys), and periodontitis (Perio). The frequent coexistence of T2DM with Dys and Perio underscores the need for deeper investigation into the interplay among these conditions. Salivary biomarkers have been sought to predict and prevent those diseases. Objetivo: This comparative study analyzed the salivary proteome of individuals with T2DM (poorly/ well controlled), Dys, and Perio using mass spectrometry and bioinformatics analyses. Materiales y Métodos: The population comprised of 150 volunteers allocated into five groups: T2DM_poorlyC-Dys+Perio, T2DM_wellC-Dys+Perio, Dys+Perio, Perio, and Control (n = 30 each). Biochemical and periodontal examinations were performed. Non-stimulated saliva in a total volume of 5 mL was collected in a Falcon tube kept on ice during the collection procedure. Salivary proteomic characterization was conducted using Liquid Chromatography Electrospray Ionization Tandem Mass Spectrometry (LC-ESI-MS/MS), followed by functional enrichment and gene interaction network analyses. Proteome data was analyzed using R software (with RStudio extension). Resultados: The diabetic groups showed similar insulin and HOMA-IR levels. Both T2DM poorlyC-Dys+Perio and T2DM wellC-Dys+Perio were obese and presented the largest abdominal circumference among the cohort. A total of 1,762 proteins were identified. In the T2DM poorlyC-Dys+Perio versus Control group, ENO-1 (hub) and TDI1, GPI, LDHA, EMC1, and PKM (seed proteins) were upregulated, acting as key enzymes in the glycolytic pathway (Log10(P) = -16.6). In the T2DM_wellC-Dys+Perio group, CALML3 and BRCA2, BLM, and SLX4 (upregulated) were involved in several aspects of DNA metabolic processes, including repair (Log10(q) = -1.35). In the Dys+Perio group, ENO-1 and PFN-1 proteins were enriched for "organelle assembly regulation". In the Perio group, the presence of the LCP1 protein was observed, which was related to cytokine signaling in the immune system, calcium ion binding, and actin binding. Conclusión: Salivary proteomics unveiled disease-specific protein signatures, shedding light on underlying mechanisms and highlighting promising diagnostic biomarkers.

Palabras clave: Saliva, biomarkers, Periodontitis, Diabetes, Dyslipidemia

Financiamiento: This study was supported by the Foundation for Research Support of State of São Paulo – FAPESP, Grants 2007/08362-8, 2009/16233-9, 2014/16148-0 and 2015/08678-1, by grants from the NSERC grant#371813, CIHR grants#106657/#97577, and by Canada Foundation for Innovation grant#25116. WLS is recipient of a CIHR New Investigator Award grant#113166.

91. Evaluación ex vivo de la efectividad del láser de diodo de 976 nm como desinfectante endodóntico.

Fernández Alemán JE*1, Borda B1, Conde C1, Choque R1, Tejerina D2, Perez S2, Salgado P2, Casadoumecq AC3, Rodriguez PA1 1. Universidad de Buenos Aires. Facultad de Odontología. Cátedra de Endodoncia. 2. Universidad de Buenos Aires. Facultad de Odontología. Odontología Cat. Microbiología y Parasitología. Universidad de Buenos Aires. Instituto de Investigaciones en Salud Pública. 3. Universidad de Buenos Aires. Facultad de Odontología. Cátedra de Fisiología

Objetivo: Evaluar ex vivo el efecto antimicrobiano del láser de diodo de 976 nm sobre el biofilm intrarradicular de Enteroccocus faecalis. Materiales y Métodos: Se utilizaron 100 raíces de premolares humanos unirradiculares, estandarizadas e instrumentadas. Tras la esterilización, las raíces se inocularon con una suspensión de E. faecalis (ATCC 29212) estandarizada a 1.5×10 8 UFC/ml (0.5 McFarland) y se incubaron por 96 horas para el desarrollo de biofilm. Se establecieron dos etapas según la condición intraconducto al aplicar el láser: húmedo (CRH, n=50) y seco (CRS, n=50). En cada etapa se asignaron aleatoriamente 5 grupos, siendo X1 (EDTA 17% p/v y NaClO 2.5% p/v); X2 (EDTA 17% p/v, NaClO 2.5% p/v y láser); X3 (EDTA 17% p/v, PBS y láser), X4 fue el control positivo, y X5 el control de esterilidad. Luego de realizar los tratamientos, se tomó una muestra del contenido intraconducto y se sembró por duplicado en placas agar Infusión cerebro corazón y bilis esculina. Tras 48 horas de incubación, se realizó el recuento de colonias (UFC/ml) y el cálculo del Valor de Reducción Logarítmica (VRL). El análisis estadístico se realizó mediante ANOVA y Tukey (p<0.05). Resultados: Al comparar los recuentos de colonias postratamiento en CRH, hubo diferencia significativa (p<0.0001) entre X1 (M=52; DS=99) y X2 (M=54; DS=98) respecto de X3 (M=263; DS=102). En CRS, no hubo diferencia significativa (p=0.154) entre los tratamientos (X1: M=140, DS=147; X2 y X3: M≥300, DS=0) . Tanto en CRH como CRS, el VRL fue superior a 5 (99.999%) para X1 y X2; no hubo reducción logarítmica (VRL=0) para X3. Conclusión: Bajo las condiciones de este estudio, el láser de diodo de 976 nm, empleado como coadyuvante del protocolo (EDTA 17% p/v + NaClO 2.5% p/v), puede considerarse un método efectivo de desinfección final en el tratamiento endodóntico. Su efectividad resulta superior en condiciones de humedad intraconducto.

Palabras clave: Láser de Diodo, Enteroccocus faecalis, Desinfeccion endodóntica.

92. Evaluación clínica de dos protocolos extraorales de fotobiomodulación para la recuperación neurosensorial post 1 mes cirugía ortognática.

Casadoumecq AC*1, 2, Fernandez Aleman J3, Chaintiou Piorno R3, Saizar MA4, Rocha P3, Herrada MC5, Cavalieri J6, Carli M, Bagdadi C7, Rodriguez PA3.

1. Universidad de Buenos Aires. Facultad de Odontología. Cátedra de Fisiología. 2. Universidad de Buenos Aires. Facultad de Odontología. Cátedra de Odontología Legal, Forense e Historia de la Odontología. 3. Universidad de Buenos Aires. Facultad de Odontología. Cátedra de Endodoncia. 4. Universidad de Buenos Aires. Facultad de Odontología. Cátedra de Preventiva y Comunitaria. 5. Universidad de Buenos Aires. Facultad de Odontología. Cátedra de Cirugia BucoMaxiloFacial II. 6. Universidad de Buenos Aires. Facultad de Odontología. Cátedra de Odontología. Unidad Láser

Introducción: La cirugía ortognática puede provocar alteraciones neurosensoriales del nervio alveolar inferior, con síntomas que incluyen parestesias, disestesias e hipoestesia, que afectan la calidad de vida del paciente. La fotobiomodulación (FBM) con láser ha demostrado efectos beneficiosos en la regeneración nerviosa y en el control del dolor neuropático, aunque la evidencia clínica comparativa entre diferentes longitudes de onda aún es limitada. Objetivo: Comparar los resultados clínicos de dos protocolos extraorales de fotobiomodulación (FBM), uno con láser de 940 nm y otro con láser dual 810/980 nm, en la recuperación neurosensorial posterior a cirugía ortognática. Materiales y Métodos: Ensayo clínico aleatorizado con 20 pacientes (n=10 por grupo) sometidos a cirugía ortognática bimaxilar un mes antes del inicio del tratamiento. Grupo 1 (G1): Epic X (Biolase®, USA) 940 nm, modo continuo, 4 W, 120 s, 68,33 J/cm², 0,58 W/cm², spot 7,1 cm², distancia 15 mm, aplicador deep tissue handpiece. Grupo 2 (G2): Gemini (Ultradent®, USA) 810/980 nm, modo continuo dual, 1 W por longitud de onda (2 W totales), 120 s, 24,4 |/cm², 0,104 W/cm², spot 9,62 cm², distancia 10 mm, adaptador FBM. Ambos protocolos se aplicaron dos veces por semana durante 4 semanas y posteriormente una vez por semana durante 4 semanas, completando 12 sesiones en total. La recuperación neurosensorial se evaluó mediante la escala S-LANSS y mapeo clínico de las áreas afectadas. Comité de Ética CETICA-FOUBA Nº 014/2025. Los datos fueron analizados con estadística descriptiva y pruebas apropiadas, incluyendo comparaciones post hoc. Se consideró significativo un valor de p<0,05. Resultados: Los 20 pacientes completaron el esquema de 12 sesiones. Ambos grupos mostraron reducción significativa en los puntajes de la escala S-LANSS (p<0,05), con mejoría en parestesias, disestesias y alodinia, además de recuperación progresiva de la sensibilidad táctil fina. El grupo tratado con 810/980 nm presentó valores medios más bajos en las primeras cuatro semanas y una recuperación funcional más rápida en comparación con 940 nm. Al finalizar el protocolo, la mayoría de los pacientes de ambos grupos alcanzó normalización sensorial en las áreas evaluadas. Conclusión: La FBM aplicada de forma extraoral con láser de 940 nm y 810/980 nm favorece la recuperación neurosensorial tras cirugía ortognática. Ambos protocolos fueron efectivos, aunque el tratamiento con 810/980 nm mostró ventajas en la reducción temprana de los síntomas neuropáticos. Estos resultados refuerzan la importancia de protocolos estandarizados y de mayor duración en el manejo postoperatorio de pacientes ortognáticos. Palabras clave: Fotobiomodulación, Procedimientos quirúrgicos ortognáticos, regeneración nerviosa

93. Resultados preliminares: impacto del tamaño del spot en la eficacia de la fotobiomodulación con láser de diodo aplicada en el postoperatorio inmediato de la exodoncia de terceros molares inferiores.

Herrada MC*1, Casadoumecq AC2, 3, Saizar MA4, Bagdadi C.2

1. Universidad de Buenos Aires. Facultad de Odontología. Cátedra de Cirugia BucoMaxiloFacial II. 2. Universidad de Buenos Aires. Facultad de Odontología. Cátedra de Fisiología. 3. Universidad de Buenos Aires. Facultad de Odontología. Cátedra de Odontología Legal, Forense e Historia de la Odontología. 4. Universidad de Buenos Aires. Facultad de Odontología. Cátedra de Preventiva y Comunitaria

Introducción: La exodoncia de terceros molares inferiores es uno de los procedimientos quirúrgicos más frecuentes en odontología y suele asociarse a dolor, edema y trismus en el postoperatorio. La fotobiomodulación (FBM) con láser de diodo se propone como una estrategia no farmacológica para modular la inflamación, disminuir el dolor y acelerar la recuperación funcional, aunque los resultados dependen de los parámetros de aplicación y del área irradiada. Objetivo: Evaluar de manera preliminar el efecto de la FBM con láser de diodo en la recuperación postoperatoria tras la exodoncia de terceros molares inferiores, comparando dos protocolos con diferente tamaño de spot. Materiales y Métodos: Se diseñó un estudio experimental, prospectivo y longitudinal con 6 pacientes que requirieron exodoncia bilateral de terceros molares inferiores en posiciones comparables. Terceros molares dentro de la clasificación de Pell y Gregory clase I y II, y clase A y B; y clasificación de Winter en posición vertical o mesioangular, clase I y clase A. Cada paciente recibió dos protocolos de FBM aplicados de forma contralateral: Protocolo A: tip de 1 cm (spot 0,7 cm²), longitudes de onda 650 nm y 976 nm, 200 mW y 1 W, fluencia 10 J/cm². Protocolo B: tip de 3 cm (spot 7 cm²), longitudes de onda 650 nm y 976 nm, 200 mW y 3 W, fluencia 10 J/cm². Se evaluaron dolor (escala visual analógica), trismus (apertura interincisiva) y edema (mediciones faciales), en tres tiempos: inmediato, 48 horas y 7 días. Los datos se analizaron con estadística descriptiva y prueba t de Student, considerando p<0,05 como significativo. Resultados: Los análisis preliminares evidencian una tendencia hacia mejores resultados clínicos en el grupo tratado con el tip de menor diámetro (spot de 0,7 cm²), observándose una reducción más marcada del dolor y una recuperación más rápida de la apertura bucal durante las primeras 48 horas postoperatorias. En ambos protocolos se registró una disminución del edema, con mayor diferencia en el lado tratado con el spot pequeño. Los pacientes recibieron dos sesiones de láser: una inmediatamente después de la cirugía y otra a las 48 horas, con un control clínico a la semana. El láser fue aplicado con dos tips distintos (uno pequeño y otro grande), manteniendo la misma dosis de energía en ambos lados para evaluar la eficacia comparativa de los spots. Aunque se observó mejoría bilateral tras la aplicación del láser, el lado tratado con el spot más pequeño presentó una evolución más favorable en los parámetros clínicos evaluados. Conclusión: La FBM con láser de diodo favorece la recuperación postoperatoria de terceros molares inferiores. Los resultados preliminares sugieren que el uso de spots más pequeños podría ser más efectivo para el control temprano del dolor y el trismus, aportando evidencia relevante para la estandarización de parámetros en cirugía bucal.

Palabras clave: Fotobiomodulación, postoperatorio cirugía, laser diodo

94. Resistencia adhesiva de una resina compuesta sobre ionómero vítreo convencional mediante diferentes protocolos de adhesión.

Rivelli M*, Toledo CN, Sortino V, Molina MJ, Picca M.

Cátedra de Materiales Dentales FOUBA

Objetivo/s: Evaluar la resistencia adhesiva de una resina compuesta sobre ionómero vítreo convencional utilizando distintos protocolos de adhesión.

Materiales y Métodos: Se confeccionaron 15 cilindros de resina acrílica con cavidades circulares de 12 mm de diámetro y 4 mm de espesor, las cuales fueron rellenadas con ionómero vítreo convencional (GC Gold Label 2) manipulado según las indicaciones del fabricante. Las muestras se dividieron en tres grupos de cinco probetas cada uno: en el Grupo 1, tras el fraguado inicial del ionómero (4 min) simulando la realización en la misma sesión clínica, se aplicó adhesivo universal (One Coat 7, Coltene) fotopolimerizado con una unidad de fotocurado (S.P.E.C. 3, Coltene) y posteriormente se colocó resina compuesta (Hybrilux Nano A3.5, Densell) mediante un conformador de silicona de 4 mm de diámetro y 6 mm de espesor; en el Grupo 2, el ionómero fue asperizado con lija grano 320, seguido de la aplicación del mismo adhesivo y resina compuesta,; en el Grupo 3, el ionómero fue asperizado, grabado con ácido fosfórico al 37% durante 15 s (Densell), y luego se aplicó adhesivo universal y resina compuesta de manera idéntica. Las probetas de los grupos 1 y 2 se colocaron en estufa durante 24 h luego de la preparación del ionómero, pasado ese tiempo se aplicaron los protocolos correspondientes y fueron almacenadas en agua destilada a 37 °C durante otras 24 h. Posteriormente se evalúo la resistencia adhesiva en una máquina de ensayos mecánicos (INSTRON Mod. 34TM-10-SA) aplicando una carga de 5 kN a una velocidad de 1 mm/min. Los resultados se analizaron estadísticamente mediante ANOVA y prueba de Tukey, fijando el nivel de significancia en α < 0,05.

Resultados: Los valores de media aritmética y desviación estándar para los distintos grupos fueron respectivamente: A1 2,71 (0,68), A2 2,32 (0,73) y el grupo A3 0,66 (0,53) Las diferencias entre los distintos protocolos de adhesión fue estadísticamente significativa (p<0,0007). El test de Tukey mostró grupos heterogéneos entre grupo A3 y grupos A1-A2. Los valores de resistencia adhesiva para los grupos A1 y A2 fueron más elevados que en el grupo A3.

Conclusión/es: En las condiciones experimentales de este trabajo puede concluirse que los protocolos de adhesión utilizados en los grupos A1 y A2 serían más eficaces para lograr una adhesión óptima que el protocolo del grupo A3.

Palabras clave: Resistencia adhesiva, adhesión

Financiamiento: Proyectos de Investigación Integrada de la FOUBA, convocatoria 2025 Proyecto 05-02-24

No presenta conflicto de interés

95. Resistencia adhesiva de una resina compuesta sobre silicato de calcio mediante diferentes protocolos de adhesión.

Rivelli M*, Lei MA, Márquez GJ, González N, Picca M

Cátedra de Materiales Dentales FOUBA

Objetivo/s: Evaluar la resistencia adhesiva de una resina compuesta sobre silicato de calcio utilizando distintos protocolos de adhesión.

Materiales y Métodos: Se confeccionaron 12 bloques cilíndricos de resina acrílica con cavidades circulares de 12 mm de diámetro y 4 mm de profundidad, rellenadas con silicato de calcio (Biodentine, Septodont) preparado según indicaciones del fabricante. Todas las probetas se mantuvieron en un ambiente de 100 % de humedad relativa en estufa a 37 °C durante una semana para asegurar el fraguado del material. Luego se dividieron en tres grupos de cuatro muestras cada uno. En el Grupo 1, sobre el silicato fraguado se aplicó un adhesivo universal (Monobond Adhesivo Universal, Densell) fotopolimerizado con una unidad de curado (S.P.E.C. 3, Coltene) y posteriormente se colocó resina compuesta (Brillant NG Enamel C2/C3, Coltene) mediante un conformador de silicona de 4 mm de diámetro y 6 mm de espesor. En el Grupo 2, la superficie fue grabada con ácido fosfórico al 37 % durante 15 s (Ácido Grabador Gel Etch LV, Densell), lavada, secada, tratada con adhesivo universal y restaurada con resina compuesta utilizando el mismo conformador. En el Grupo 3 se realizó un arenado con partículas de Al_2O_3 de 50 μ m a 30 psi durante 10 s con aerógrafo (Bioart Standard SN 37878) a 7 mm de distancia, seguido de lavado, secado, aplicación del adhesivo y colocación de la resina compuesta. A las 24 h de los protocolos adhesivos, las probetas fueron sometidas a ensayo de resistencia adhesiva en una máquina INSTRON (Mod. 34TM-10-SA), aplicando una carga de 5 kN a una velocidad de 1 mm/min, y los datos fueron analizados estadísticamente mediante ANOVA con un nivel de significancia de α < 0,05.

Resultados: Los valores media aritmética (desviación estándar) de resistencia adhesiva de la resina compuesta sobre Biodentine en MPa fueron: A1: 4,34 (1,14), A2: 4,29 (1,08), A3: 2,56 (1,22). El análisis de varianza (ANOVA) mostró un valor de p = 0,0927, es decir, no se detectaron diferencias estadísticamente significativas entre los tres grupos evaluados. Cabe destacar que en el grupo A3 se registraron fallas cohesivas del material Biodentine, es decir, el bloque de composite no se desprendió, sino que la fractura ocurrió dentro del material base.

Conclusión/es: La ocurrencia de fallas cohesivas en A3 sugiere que la adhesión al Biodentine fue adecuada y, en general, los tres protocolos de adhesión evaluados proporcionan un desempeño similar bajo las condiciones de este estudio.

Palabras clave: Adhesión, resistencia adhesiva, silicato de calcio.

Financiamiento: Proyectos de Investigación Integrada de la FOUBA, convocatoria 2025 Proyecto 05-02-24

96. Efecto del tratamiento de superficie en la resistencia adhesiva entre composite y disilicato de litio, con o sin adhesivo universal.

Suriaga Aray PA, Molina MJ*, Ferrari BA, Schäfer RF, Garrofe AB, Toledo N, Picca M. Cátedra de Materiales Dentales FOUBA

Objetivo/s: Estudiar los efectos del tratamiento de superficie en la resistencia adhesiva entre composite y disilicato de litio utilizando o no un sistema adhesivo universal.

Materiales y Métodos: Se prepararon cilindros de composite (Forma-Ultradent, color WD, lote DOMGY, 02/2027) de 3 x 3 mm los cuales fueron tratados superficialmente mediante técnica de microarenado con Aquacare (4 bares,10 s), lavado ultrasónico por 5 min, secado, aplicación de adhesivo universal (Tetric N-Bond Universal, Ivoclar Vivadent. Lote Z079LL, 2026-08-27) y

fotopolimerizado por 20 s (Luz Led Poliwave –Valo X, Ultradent). Por otra parte, se confeccionaron 20 muestras en disilicato de litio IPS E-MAX CAD (Ivoclar Vivadent) de 12mm x 6mm. Las mismas fueron colocadas en conformadores cilíndricos e

incluídas en acrílico de autocurado. Luego las superficies fueron pulidas con lijas al agua de granulometría ascendente. Se separaron en dos grupos: Grupo 1 (SC) y Grupo 2 (SAC), ambos acondicionados con ácido fluorhídrico al 5% (Condac Porcelana, FGM. Lote 280224, 2026-02-27.) durante 20 s, neutralización, lavado ultrasónico, secado y aplicación de silano (Prosil, FGM. Lote 130225, 2027-02-13); además de lo mencionado, al segundo grupo (SAC) se le añadió una capa de adhesivo universal Tetric N-Bond Universal, Ivoclar Vivadent. Para unir las superficies composite-cerámica se utilizó composite de fijación Variolink Esthetic LC color Light+ (Lote Z07VOV, 2027-07-08). Una vez adheridas ambas superficies, las probetas fueron almacenadas en agua destilada a 37 °C durante 24 h y luego sometidas a cargas de corte en una máquina INSTRON (Mod. 34TM-10-SA). Los resultados fueron evaluados estadísticamente mediante test T Student (p<0,05).

Resultados: Los resultados obtenidos fueron: En el Grupo 1 (SC) Media 9.99 - DS 3.87 y en el grupo 2 (SAC) Media 7.12 - DS 1.66. Conclusión/es: Los protocolos aplicados no mostraron diferencias estadísticamente significativas, sin embargo, el grupo 1 logró valores más altos respecto a la resistencia adhesiva. Los tratamientos de superficie aplicados en este estudio afectaron significativamente los valores de resistencia adhesiva entre composite y disilicato de litio, observándose valores más altos con la aplicación de silano sin la utilización de un adhesivo universal.

Palabras clave: Adhesión, disilicato de litio, cerámicas.

No presenta conflicto de interés

97. Comparación del porcentaje de elementos químicos en diferentes resinas compuestas.

Garcia Schmitt C*, Kraemer ME, Caballero A, Piconi MC, Lutri MP, Mirotti G, Rozas CA, Sezin M Cátedra de Operatoria I "A" FOUNC

Introducción: En la actualidad se desarrollan composites con un alto contenido de relleno inorgánico compuesto principalmente por partículas de disilicato de litio y zirconia, con el objetivo de mejorar las propiedades mecánicas y ampliar las indicaciones clínicas.

Objetivo/s: Comparar el porcentaje en peso de elementos químicos en diferentes resinas compuestas mediante microanálisis con Sonda de Electrones.

Materiales y Métodos: Se prepararon discos de composites de 4 mm de diámetro y 2 mm de alto: Grupo 1: Forma. Grupo 2: Tetric N ceram. Grupo 3: Zirconfill. Grupo 4:Vittra APS. Grupo 5: Polofill NHT. Los especímenes se obturaron en bloque, se polimerizaron con LED y se metalizaron con carbono. El microanálisis cuantitativo de los elementos químicos se realizó con Sonda de Electrones. Los datos fueron contrastados mediante la prueba de Tukey.

Resultados: Media del porcentaje en peso: los menores valores de aluminio se encontraron en grupo 2 (1,91+/-0,08) y grupo 1 (2,48+/-0,51) sin diferencias significativas entre ellos (p>0.05). El valor más alto fue grupo 5 (3,40+/-0,19) con diferencia significativa (p<0.05). Menor valor alcanzado de silicio fue grupo 2 (12,94+/-2,57) y el mayor valor grupo 5 (18,07+/-1,25) con diferencias significativas (p<0.05). El menor valor de bario fue grupo 5 (3,85+/-0,79) y el mayor grupo 4 (12,55+/-1,63) con diferencias significativas (p<0.05). El zirconio se encontró en los grupos 1, 2 y 3 con concentraciones de 0,90, 1,75 y 0,52 respectivamente.

Conclusión/es: Los diferentes porcentajes de peso de los elementos químicos influyen directamente en las propiedades mecánicas y ópticas de las resinas compuestas. En general, la distribución de aluminio, silicio y bario determinó una clara diferenciación entre los grupos. La similitud en el contenido entre los grupos 1 y 2 sugiere un perfil de composición similar en contraste con el grupo 5. La incorporación del zirconio es específica para determinadas formulaciones.

Palabras clave: Resinas compuestas, Relleno inorgánico, Zonda de Electrones

98. Rugosidad aritmética de resinas compuestas tratadas con diferentes sistemas de acabado y pulido.

Roggio A*, Lutri MP, Piconi MC, Rozas CA, Monserrat N, Mirotti G, Sezin M. Cátedra de Operatoria I "A" FOUNC

Introducción: Los composites nanorellenos presentan mejoras estéticas como rugosidad, brillo, translucidez y estabilidad del color. Una superficie con baja rugosidad aumenta la estética y es crucial para la longevidad de la restauración.

Objetivo/s: Comparar la rugosidad aritmética de resinas compuestas tratadas con diferentes sistemas de acabado y pulido mediante microscopía Confocal Láser.

Materiales y Métodos: Se prepararon 30 muestras de composites de 4 mm de diámetro y 4 mm de alto. Incrementos de 2 mm y polimerización LED. Grupo 1:Forma. Grupo 2: Tetric N ceram. Grupo 3: Zirconfill. Grupo 4: Vittra APS. Grupo 5: Polofill NHT. A los especímenes se les realizó el acabado y pulido con los sistemas: Dochem, TDV gomas, TDV discos, Shofu discos, Kenda gomas. Se consideró grupo control muestras sin terminado superficial. Los sistemas de un paso fueron aplicados por 30 segundos y 20 segundos los de múltiples pasos. Se empleó Láser Confocal, procesador Imagen Pro Plus 6, ANOVA y test de Tukey.

Resultados: La rugosidad superficial es el principal parámetro para evaluar la suavidad de un material restaurador, el cual se define como el conjunto de irregularidades superficiales generadas por el método de procesamiento y los instrumentos utilizados, diferencias de la ondulación, que corresponde a irregularidades de mayor amplitud. El valor más utilizado para cuantificarla es el Ra (rugosidad aritmética media), considerado el indicador más confiable para evaluar la calidad superficial de una restauración. Los valores medios menor y mayor de Ra (µm) fueron. Grupo1: Shofu 0,35+/-0,01. TVD discos 0,49+/-0,01. Grupo 2: TDV discos 0,36+/-0,01. Dochem 0,65+/-0,10. Grupo 3: Shofu 0,39+/-0,03. Kenda 0,060+/-0,13. Grupo 4: Dochem 0,41+/-0,03. Kenda 0,61+/-0,11. Grupo 5: TVD discos 0,45+/-0,03. TVD gomas 0,84+/-0,03. El análisis univariante de dos vías verificó interacción significativa entre los factores, grupos resinas compuestas y diferentes sistemas de pulidos (p<0,05). Para cada grupo se llevó a cabo un contraste de valores de Ra entre los sistemas de pulido encontrando diferencias significativas (p<0,05).

Conclusión/es: Los diferentes sistemas de pulido tienen un impacto significativo y diferenciado en la rugosidad aritmética de los composites. Se observaron diferencias estadísticamente significativas entre los grupos evaluados, lo que indica que la selección del método de pulido es fundamental para garantizar una superficie lisa y de alta calidad.

Palabras clave: Resinas Compuestas, Rugosidad Aritmética, Microscopio Laser No presenta conflicto de interés

99. Estudio comparativo de propiedades mecánicas en materiales restauradores bioactivos y fotopolimerizables.

Casal MA1*, Lespade M1, Garrofé A1, Biondi AM2, Cortese G2, Picca M1

1. Cátedra de Materiales Dentales FOUBA. 2. Cátedra de Odontología Integral Niños

Objetivo/s: El objetivo de este trabajo fue evaluar módulo elástico, resistencia a la flexión y grado de conversión de un composite bioactivo, un ionómero vítreo modificado con resinas y un composite fotopolimerizable

Materiales y Métodos: Se confeccionaron probetas (n=5) de 2x2x25 mm utilizando tres materiales restauradores: una resina compuesta 3M Filtek Z250 (3M) [Z], un ionómero vítreo modificado con resinas Vitremer (3M) [V] y un composite bioactivo ("alkasite") Cention N® (Ivoclar Vivadent) [C]. Para la fotopolimerización de los materiales se utilizó una unidad de curado Coltolux LED (Coltene), con longitud de onda de 450 a 470 nm, y una irradiancia de 1000 mW/cm2. Una vez fotopolimerizadas las probetas se lijaron y se conservaron en agua destilada en estufa a 37°C, durante 24 horas.Para determinar las propiedades mecánicas se utilizó una máquina de ensayos mecánicos (INSTRON Mod. 34TM-10-SA). Para el grado de conversión se confeccionaron probetas (n=5) de 6 mm x 2 mm de espesor y se calculó la proporción de valores de microdureza Vickers Bottom/Top utilizando microdurómetro Vickers (Future Tech FM300) (300 g, 15 s). Todos los resultados fueron analizados estadísticamente mediante ANOVA multivariado (p<0,05).

Resultados: La media y DS del módulo elástico (GPa) fueron: [Z] 7,60(2,09); [V] 4,27(1,42); [C] 4,57(1,36). La media y DS de la resistencia flexural (MPa) fueron: [Z] 100,88(22,31); [V] 37,99(7,19); [C] 77,60(16,93). La media y DS del grado de conversión fueron: [Z] 80,26%(14,78); [V] 97,25%(3,02); [C] 94,24%(5,37). El análisis de varianza mostró diferencia estadísticamente significativa para la variable resistencia flexural entre Vitremer y Z250 y entre Cention y Vitremer, para la variable módulo elástico entre Vitremer y Z250 y entre Cention y Z250; y para el grado de conversión se halló diferencia estadísticamente significativa entre Vitremer y Z250.

Conclusión/es: Bajo las condiciones experimentales de este estudio podemos concluir que el composite convencional presentó los valores más altos de propiedades mecánicas en comparación con los otros materiales evaluados, mientras que el composite bioactivo mostró un comportamiento que sugiere ser una alternativa viable en restauraciones posteriores cuando se busca combinar propiedades mecánicas adecuadas con potencial bioactividad

Palabras clave: composite bioactivo, ionómero vítreo, propiedades mecánicas Financiamiento: Proyectos de Investigación Integrada de la FOUBA, convocatoria 2025 - Proyecto 05-02-24 No presenta conflicto de interés

101. Análisis comparativo de resistencia a la fractura empleando tres sustitutos dentinarios.

Andrada CJ*, Andrada V, Marcarian L, Lauriola LL, Lezon C, Zaiden S.

Preclinica de Odontologia Restauradora FOUBA

Introducción: Las preparaciones clase 1.3 de Mount-Hume, que implican una pérdida significativa de estructura dental, requieren soluciones restauradoras que no solo reemplacen el tejido perdido, sino que también contribuyan a la integridad biomecánica del diente. Entre las alternativas disponibles se encuentran las resinas compuestas nanoparticuladas, composites con refuerzo de fibras de polietileno y las resinas reforzadas con fibras cortas, cada una con características particulares que podrían influir en su desempeño clínico.

Objetivo/s: Evaluar y comparar la resistencia a la fractura de dientes naturales restauradas con distintos tipos de rellenos en preparaciones clase 1.3 de Mount-Hume.

Materiales y Métodos: Se seleccionarán 20 premolares humanos sanos, los cuales fueron obtenidas del banco de piezas dentarias de la Catedra de Preclínica de Odontología Restauradora de la Universidad de Buenos Aires. Las muestras fueron divididas al azar en 4 grupos de 5 muestras. Se tallaron preparaciones oclusales de 3 mm de profundidad por 3 mm de ancho (845Kr Jota ISO 025) con un socavado de 2 mm en la cúspide vestibular utilizando movimiento in/out a 45° (802 ISO 021) bajo refrigeración acuosa. Se realizó grabado selectivo con Utradent Utraetch 15", lavado 30", secado, colocación sistema adhesivo universal (3MTM Single Bond) según indicaciones del fabricante. Grupo 1 (control): sin preparación. Grupo 2: se utilizó como relleno una resina compuesta nanoparticulada Z350 filtek 3M ESPE, se continuó la restauración utilizando técnica incremental fotocurando 30" con lámpara VALOTM Grand en su función estándar. Grupo 3: se aplicó un liner de composite flow de alta carga 3M Filtek Supreme Flowable, se posicionaron las fibras Ribbond y se fotopolimerización con la lámpara VALOTM Grand en su función estándar durante 30", se continuó utilizando técnica incremental con resina compuesta nanoparticulada Z350 Filtek 3M ESPE y se fotopolimerización con la lámpara VALOTM Grand en su función estándar durante 30". Grupo 4: Se realizo un build up inyectando resina reforzada con fibras cortas Ever-X GC, se fotopolimerizó durante 30" con la lámpara VALOTM Grand en su función estándar y se realizó un último incremento con resina compuesta nanoparticulada Z350 Filtek 3M ESPE para su posterior fotopolimerización durante 30". Las muestras fueron analizadas en un equipo INSTRON Mod. 34TM-10-SA. El elemento dental fue montado en una plantilla que permitirá aplicar la carga en la fosa central con una orientación vestibular en la línea axio-oclusal en un ángulo de 15 grados con respecto al eje longitudinal del diente. Se aplicó una fuerza continua hasta el límite de fractura, determinado en Megapascal (MPa).

Resultados: Fuerza para la ruptura: G1: 81.25±24.06, G2:13.48± 6.67, G3: 23.92± 11.41, G4: 21.76± 9.59. Siendo el mayor registro de fractura para G1: 106.22 MPa. Al análisis de T de student; p < 0,001 Esto indica que si existe diferencia estadísticamente significativa entre los grupos. Se realizó un segundo T de STUDENT solo comparando los grupos 2, 3 y 4; p: 0.2225, con lo cual no hay diferencia entre estos últimos grupos evaluados Conclusión/es: Aunque se observaron diferencias estadísticamente significativas entre los grupos evaluados, el grupo control —correspondiente al diente sano— presentó los valores más elevados de resistencia a la fractura. Le siguieron en orden descendente los grupos tratados con fibras y, finalmente, el grupo con composite, que mostró los valores más bajos. Al realizar un segundo análisis T de STUDENT, únicamente los grupos tratados (composite, fibras de polietileno y fibras cortas), no se encontraron diferencias significativas entre ellos. Por lo tanto, puede concluirse que el uso de rellenos a base de fibras permite mejorar la resistencia en comparación con el composite convencional; sin embargo, estos valores no alcanzan los niveles de resistencia observados en dientes sanos.

Palabras clave: Fibras, sustituto dentinario, resinas compuestas

No presenta conflicto de interés

102. Comparación del diámetro estimado de partículas inorgánicas de diferentes resinas compuestas.

Leiva Seleme ME*, Monserrat N, Caballero A, Kraemer ME, Lutri MP, Mirotti G, Rozas CA, Sezin M Cátedra de Operatoria I "A" FOUNC

Introducción: La nanotecnología ha revolucionado la formulación de las resinas compuestas. La incorporación de nanopartículas inorgánicas mejora significativamente las propiedades mecánicas y estéticas logrando una superficie más pulida, menor contracción de polimerización y mayor estabilidad de color.

Objetivo/s: Comparar el diámetro estimado de partículas de resinas compuestas con diferentes rellenos inorgánicos mediante microscopía electrónica de barrido.

Materiales y Métodos: Se realizaron 25 muestras de resinas compuestas de 4 mm de diámetro y 2 mm de alto divididas en grupos. Grupo 1: Forma. Grupo 2: Tetric N ceram. Grupo 3: Zirconfill. Grupo 4: Vittra APS. Grupo 5: Polofill NHT. Los especímenes se obturaron en bloque y se polimerizaron con LED por 20 segundos. Cada espécimen fue metalizado con carbono y observado con microscopía electrónica de barrido. En las microfotografías, se calculó el diámetro estimado en cada partícula inorgánica seleccionada teniendo en cuenta el valor de su área. Se empleó el procesador Imagen Pro Plus versión 6 y los datos obtenidos fueron analizados con la prueba de Kruskal-Wallis.

Resultados: Los valores de la mediana del diámetro estimado de partículas inorgánicas medido en nanómetros fue: grupo 1: 177,5. Grupo 2: 185,1. Grupo 3: 262,0. Grupo 4: 309,6. Grupo 5: 144,5. El grupo 4 obtuvo el valor más alto y el grupo 5 el menor con diferencia significativa (p<0,05). No se encontraron diferencias estadísticas significativas en el contraste múltiple entre parejas de grupos: 5 y 1, 1 y 2, 3 y 4 (p>0.05).

Conclusión/es: Se pudo determinar que Polofil NHT presentó un promedio de tamaño estimado en sus partículas significativamente menor que Vittra APS. El tamaño es un factor determinante en la elección de la resina compuesta para optimizar los resultados estéticos y funcionales en las restauraciones dentales.

Palabras clave: Resinas compuestas, partículas, microscopio electrónico

103. Alteración de la microdureza de resinas compuestas según el protocolo de pulido y el uso de modelador resinoso.

Toledo CN, Lei MA*, Rivelli M, Picca M.

Cátedra de Materiales Dentales FOUBA

Objetivo/s: Evaluar la alteración de la microdureza superficial en dos tipos de resina compuesta, en función de dos protocolos de pulido, con o sin la utilización de un modelador resinoso. Materiales y Métodos: Se confeccionaron 40 probetas circulares de resina compuesta (RC) de 2 mm de espesor y 6 mm de diámetro. La manipulación se realizó con espátula Condensa LMArte Style Italiano y posteriormente con espátula SoloAnterior LMArte Style Italiano, por un único operador. Las probetas se dividieron en dos grupos (n=20), cada uno conformado por: subgrupo A 10 probetas de RC FORMA White Enamel (WE). Y subgrupo B 10 probetas de RC TRANSCEND Universal Body (UB). Cada subgrupo se subdividió en dos (n=5): a)-sin uso de modelador resinoso y b)-con uso de modelador Wetting Resin (Ultradent Products Inc., Utah, USA). La polimerización se realizó según indicaciones del fabricante, durante 20 segundos, utilizando unidad de fotocurado Valo X (Ultradent Products Inc., Utah, USA) modo estándar (potencia: 1395 mW, irradiancia: 1100 mW/cm², diámetro de lente: 12,5 mm). Posteriormente, las probetas fueron almacenadas en frascos ámbar con solución fisiológica, en estufa a 37 °C. Tras 24 h, se aplicaron los siguientes protocolos de pulido contraangulo NSK accionado por micromotor NSK eléctrico: grupo 1 (pulido en seco: 1Aa, 1Ab, 1Ba, 1Bb) goma diamantada Jiffy Natural grano medio, 30 s, 6.000 rpm, goma diamantada Jiffy Natural grano fino, 30 s, 6.000 rpm, cepillo de carburo de silicio, 30 s, 3.000 rpm, cepillo de pelo de cabra con pasta diamantada de 1 µm, 30 s, 3.000 rpm; grupo 2 (pulido en húmedo con irrigación acuosa: 2Aa, 2Ab, 2Ba, 2Bb):procedimiento idéntico al grupo 1, realizado con irrigación acuosa en todas las etapas..En ambos protocolos se respetaron las velocidades recomendadas por el fabricante. La microdureza superficial se evaluó mediante ensayo Vickers, utilizando un durómetro calibrado (carga: 50 g; tiempo de aplicación 10 s). Se realizaron tres mediciones en la superficie tratada de cada probeta y su media aritmética se consideró valor final para ellas. El análisis estadístico inferencial se realizó mediante análisis de variancia factorial complementado con comparaciones múltiples mediante prueba de Tukey teniendo en cuenta la interacción encontrada estadísticamente significativa en su efecto El nivel de significación fue fijado en un valor de probabilidad (alfa) menor que 0,05.

Resultados: El análisis estadístico mostró que: el factor Modelado fue estadísticamente significativo (p = 0,0002) así como la interacción Pulido*Modelado (p = 0,0247). En cambio, el factor Pulido (p = 0,0902), el factor Material (p = 0,5971) y el resto de las interacciones no alcanzaron significancia estadística. El análisis post-hoc con el test de Tukey evidenció que el grupo Pulido en húmedo con modelador presentó valores de microdureza significativamente mayores (84,16 KHN) en comparación con los demás grupos (65,85–72,58 KHN, p < 0,05). Entre estos últimos no se observaron diferencias estadísticamente significativas.

Conclusión/es: Según las condiciones experimentales de este estudio podemos concluir que la microdureza superficial de las resinas compuestas se vio influenciada principalmente por el uso del modelador resinoso y su interacción con el protocolo de pulido. El mayor valor de microdureza se obtuvo con el pulido en húmedo en combinación con el uso de modelador, mientras que el tipo de material (FORMA vs. TRANSCEND) y el protocolo de pulido por sí solo no mostraron diferencias significativas.

Palabras clave: resina modeladora, microdureza, resina compuesta

Financiamiento: Proyectos de Investigación Integrada de la FOUBA, convocatoria 2025 Proyecto 05-02-24. No presenta conflicto de interés

104. Evaluación de la microdureza superficial de tres tipos de resina compuesta según el protocolo de pulido.

Toledo CN, Rivelli M*, Suriaga P, Picca M

Cátedra de Materiales Dentales FOUBA

Objetivo/s: Evaluar la microdureza superficial de tres tipos de resina compuesta sometidas a dos protocolos de pulido, diferenciados por la presencia o ausencia de irrigación (pulido en seco vs. pulido en húmedo).

Materiales y Métodos: Se confeccionaron 30 probetas circulares de resina compuesta (RC) de 2 mm de espesor y 6 mm de diámetro. La manipulación inicial se realizó con espátula Condensa LMArte Style Italiano, seguida de espátula SoloAnterior LMArte Style Italiano, por un único operador. Las probetas se dividieron en dos grupos (n=15), cada uno subdividido en tres subgrupos (n=5): subgrupo a: RC FORMA White Enamel (WE), subgrupo b: RC TRANSCEND Universal Body (UB), subgrupo c: RC Permaflow A2, lote BY8JH. La polimerización se realizó siguiendo las indicaciones del fabricante durante 20 s, con unidad de fotocurado Valo X (Ultradent Products Inc) modo estándar (potencia: 1395 mW, irradiancia: 1100 mW/cm², diámetro de lente: 12,5 mm). Posteriormente, las probetas se almacenaron en frascos ámbar con solución fisiológica, en estufa a 37 °C. Tras 24 h se efectuaron dos protocolos de pulido con contraangulo NSK accionado por micromotor NSK eléctrico: grupo 1 (pulido en seco) goma diamantada Jiffy Natural grano medio, 30 s, 6.000 rpm, goma diamantada Jiffy Natural grano fino, 30 s, 6.000 rpm, cepillo de carburo de silicio, 30 s, 3.000 rpm, cepillo de pelo de cabra con pasta diamantada de 1 µm, 30 s, 3.000 rpm; grupo 2 (pulido en húmedo con irrigación acuosa): Procedimiento idéntico al Grupo 1, pero realizado con irrigación en todas las etapas. En todos los casos se respetaron las velocidades recomendadas por el fabricante. La microdureza Vickers se evaluó con durómetro (Durómetro Micro-Hardness Tester/ Futuretech Corp FM 300) calibrado (carga 50 g tiempo de aplicación 10 s). Se realizaron tres mediciones al azar en la cara superficial de cada probeta y su media aritmética se consideró valor final para ellas. El análisis estadístico inferencial se realizó mediante análisis de variancia factorial complementado con comparaciones múltiples mediante prueba de Tukey para el factor encontrado estadísticamente significativo en su efecto El nivel de significación fue fijado en un valor de probabilidad (alfa) menor que 0,05.

Resultados: Los valores promedio (desviación estándar) de microdureza superficial (KHN) fueron: FORMA: 69,60 (12,92) (pulido en seco) y 63,88 (4,34) (pulido en húmedo), TRANSCEND: 64,31 (9,28) (seco) y 66,63 (4,15) (húmedo), Permaflow: 36,94 (3,39) (seco) y 35,06 (2,95) (húmedo). Fue encontrado un efecto estadísticamente significativo del factor material (p < 0,0001), mientras que el factor pulido (p = 0,5071) y la interacción material*pulido (p = 0,4680) no fueron significativos. El test de Tukey indicó que Permaflow presentó valores significativamente menores de microdureza en comparación con FORMA y TRANSCEND, mientras que entre estas dos últimas no se observaron diferencias estadísticamente significativas.

Conclusión/es: En las condiciones experimentales de este trabajo puede concluirse que la microdureza superficial de las resinas compuestas depende principalmente del tipo de material, siendo el material Permaflow el que presenta una dureza significativamente menor en relación a los materiales FORMA y TRANSCEND. En cambio, el protocolo de pulido (seco vs. húmedo) no mostró influencia significativa sobre la microdureza.

Palabras clave: Irrigación, microdureza, resinas compuestas

Financiamiento: Proyectos de Investigación Integrada de la FOUBA, convocatoria 2025 Proyecto 05-02-24

105. Evaluación de la alteración de color según el protocolo de pulido aplicado en resinas compuestas.

Toledo CN, Suriaga P, Rivelli M*, Picca M.

Cátedra de Materiales Dentales FOUBA

Objetivo/s: Evaluar los cambios de color en tres tipos de resina compuesta, sometidas a dos protocolos de pulido, diferenciados por la presencia o ausencia de irrigación (pulido en seco vs. pulido en húmedo).

Materiales y Métodos: Se confeccionaron 30 probetas circulares de resina compuesta (RC) de 2 mm de espesor y 6 mm de diámetro. La manipulación inicial se realizó con espátula Condensa LMArte Style Italiano, seguida de la espátula SoloAnterior LMArte Style Italiano. Las probetas se dividieron en dos grupos (n=15), cada uno compuesto por tres subgrupos (n=5): Subgrupo a: RC FORMA White Enamel (WE), lote D0NB1, Subgrupo b: RC TRANSCEND Universal Body (UB), lote BW2WH, Subgrupo c: RC Permaflow A2. La polimerización se efectuó siguiendo las indicaciones del fabricante, durante 20 segundos, utilizando una lámpara de fotocurado Valo X (Ultradent Products Inc., Utah, USA), en modo estándar (potencia: 1395 mW; diámetro de lente: 12,5 mm). Posteriormente, todas las probetas fueron almacenadas en frascos ámbar con solución fisiológica, en estufa a 37 °C. Tras 24 h, se realizaron los protocolos de pulido con contraangulo NSK accionado por micromotor NSK eléctrico: grupo 1 (pulido en seco), goma diamantada Jiffy Natural grano medio, 30 s, 6.000 rpm, goma diamantada Jiffy Natural grano fino, 30 s, 6.000 rpm, cepillo de carburo de silicio, 30 s, 3.000 rpm, cepillo de pelo de cabra con pasta diamantada de 1 μm, 30 s, 3.000 rpm y grupo 2 (pulido en húmedo con irrigación acuosa): Procedimiento idéntico al grupo 1, pero con irrigación durante cada etapa. En todos los casos se respetaron las velocidades recomendadas por el fabricante. El color se evaluó mediante espectrofotómetro Optishade, en escala CIELAB, inmediatamente después del pulido. Luego, las probetas fueron sumergidas en frascos ámbar con café durante 30 días, y se repitió la medición cromática bajo las mismas condiciones. El análisis estadístico inferencial se realizó mediante análisis de variancia factorial complementado con comparaciones múltiples mediante prueba de Tukey. El nivel de significación fue fijado en un valor de probabilidad (alfa) menor que 0,05

Resultados: El análisis estadístico inferencial se realizó mediante ANOVA factorial complementado con el test de Tukey (α < 0,05). En las tres variables cromáticas (L*, a* y b*) se observaron efectos significativos del material, del tipo de pulido y de la interacción entre ambos (p < 0,05). El test de Tukey mostró que Permaflow y Forma no presentaron diferencias entre pulido seco y húmedo, mientras que Transcend sí mostró variaciones significativas según el protocolo de pulido. Tras la inmersión en café, los valores de ΔE evidenciaron diferencias entre materiales y una interacción significativa material \times pulido. Permaflow presentó el menor cambio de color, mientras que Forma y Transcend, especialmente con pulido seco, mostraron los mayores valores de ΔE .

Conclusión/es: El cambio de color y las variaciones cromáticas dependen principalmente del tipo de material, y en menor medida del protocolo de pulido. El pulido húmedo tendió a reducir la alteración del color, y Permaflow mostró la mayor estabilidad cromática frente a la tinción por café. La alteración de color de las resinas compuestas depende principalmente del tipo de material, y el efecto del protocolo de pulido no es uniforme: en Transcend se observaron diferencias entre pulido en seco y húmedo, mientras que en Permaflow y Forma no se registraron variaciones significativas

Palabras clave: Cambios de color, pulido, irrigación acuosa

Financiamiento: Proyectos de Investigación Integrada de la FOUBA, convocatoria 2025 Proyecto 05-02-24

No presenta conflicto de interés

106. Prevalencia y distribución de Implantes dentales por sextante en pacientes adultos mayores en Córdoba Capital.

Loyola González PO1*, Oviedo MS1, Peccoud SM1, Bracamonte C1, Maurizio M1, Berardo S1, Lujan RN1, Seiler E1, Salgado P2;3;4, Aubia MC5, Martinez C5, Aredes J5.

1.Cátedra Prostodoncia IV B FOUNC. 2. Cat. Microbiología y Parasitología FOUBA. 3. Cátedra Odontología Preventiva y Comunitaria FOUBA. 4. Instituto de Investigaciones en Salud Pública UBA. 5. Odontología Integral del adulto mayor y clínica de prótesis removible FOUBA.

Introducción: A nivel mundial se observa un aumento en la demanda de rehabilitaciones orales con implantes en población adulta mayor.

Objetivo/s: Describir la prevalencia y distribución de implantes dentales de pacientes mayores de 60 años que concurren al servicio de Imágenes de FO - UNC.

Materiales y Métodos: Diseño de investigación cuantitativo, transversal descriptivo/analítico observacional. ocho operadores calibrados (Índice de calibración Kappa>0,90) observaron radiografías panorámicas digitales (n=207) de pacientes mayores de 60 años, 111 mujeres (53,85%) y 96 hombres (46,16%). Las variables registradas para maxilar superior (MS) e inferior (MI) fueron la presencia de implantes dentales (I), agrupado por sextante y por género. A partir de los datos obtenidos, se calculó la estadística descriptiva. Para comparar las variables con sexo se aplicó la prueba de Chi-cuadrado (significancia p<0,05).

Resultados: De 207 radiografías observadas, en MS 163 no poseen I y 44 poseen 1 o más, y en MI 173 no poseen I y 34 poseen 1 o más. En ambos casos 1 y 2 implantes suman 48.7%. Se registraron I= 262 totales distribuidos un 70,6% (n=111) mujeres y 29,3% (n=96) hombres. La variable I, el 62,2% (n=44) correspondió al maxilar superior y el 37,8% (n=34) al inferior. Al observar la distribución por sextantes, los posteriores concentraron el 64,12% y los anteriores el 35,88%.

Conclusión/es: La prevalencia de implantes en adultos mayores atendidos en el Servicio de Imágenes FO. UNC. mostró un mayor predominio en el maxilar superior respecto al inferior y mayor concentración en los sextantes posteriores, lo que refleja la búsqueda de rehabilitación funcional en sectores masticatorios.

Palabras clave: implantes dentales, adultos mayores, rehabilitación

107. Estudio descriptivo de Pares Oclusales en Personas mayores en Córdoba Capital.

Loyola González PO1*, Peccoud SM1, Oviedo MS1, Maurizio M1, Bracamonte C1, Berardo S1, Lujan RN1, Seiler E,1 Aubia MC2, Martinez C2, Salgado P3;4;5, Aredes J2.

1.Cátedra Prostodoncia IV B FOUNC. 2. Odontología Integral del adulto mayor y clínica de prótesis removible FOUBA. 3. Cátedra. Microbiología y Parasitología FOUBA. 4. Cátedra Odontología Preventiva y Comunitaria FOUBA. 5. Instituto de Investigaciones en Salud Pública UBA.

Introducción: El número de pares oclusales, definido como las relaciones funcionales entre dientes antagonistas de ambos arcos dentarios que entran en contacto durante la oclusión, es un indicador clave de capacidad masticatoria y función oral.

Objetivo/s: Describir la prevalencia y distribución de pares oclusales en pacientes mayores de 60 años que concurren al Servicio de Imágenes de FO - UNC

Materiales y Métodos: Diseño de investigación cuantitativo, transversal descriptivo/analítico observacional. Ocho operadores calibrados (Índice de calibración Kappa>0,90) observaron radiografías panorámicas digitales (n=207) de pacientes mayores de 60 años, 111 mujeres (53,85%) y 96 hombres (46,16%). Se registró el número de pares oclusales anteriores (A), posteriores (P) y totales (T) por paciente y por género, considerando tanto dientes naturales como rehabilitaciones protésicas funcionales. Los datos fueron analizados mediante estadística descriptiva y prueba de chi-cuadrado de Pearson, con nivel de significación p<0,05. Resultados: El 2,4% poseían oclusión completa con 14 a 16 pares oclusales y 27,5% ningún par oclusal. Se observó 21,7% con T≥10; 20,9% con T=7-16; 45,4%con T=4-6; y 12,1% con T≤3. No hubo diferencia significativa entre género. Al analizar la distribución por sector se observó un 33,3% con A=6 y 8,7 % con A=5, por lo que más de la mitad de los observados poseen predominio de A con una mayor presencia en el grupo género femenino: 35,1% vs 31,3%. El 37,7% presenta ausencia de pares posteriores P=0 sin diferencia de género.

Conclusión/es: La mayoría de los pacientes adultos mayores evaluados presentó una reducción significativa en el número de pares oclusales, tanto anteriores como posteriores. Solo el 21,7% poseen 10 o más pares oclusales, por lo que estarían dentro de una oclusión funcional normal según la OMS. El 37,7% del total no posee pares oclusales posteriores. Los varones mostraron una mayor proporción de ausencia de pares en comparación con las mujeres.

Palabras clave: pares oclusales, rehabilitación, oclusión

No presenta conflicto de interés

108. Prevalencia y clasificación de áreas desdentadas en pacientes adultos mayores en Córdoba Capital.

Peccoud SM1*, Loyola González PO1, Oviedo MS1, Bracamonte C1, Maurizio M1, Berardo S1, Lujan RN1, Seiler E1, Aubia MC2, Martinez C2, Salgado P3;4;5, Aredes J2.

1. Cátedra Prostodoncia IV B FOUNC. 2. Odontología Integral del adulto mayor y clínica de prótesis removible FOUBA. 3. Cátedra. Microbiología y Parasitología FOUBA. 4. Cátedra Odontología Preventiva y Comunitaria FOUBA. 4. Instituto de Investigaciones en Salud Pública UBA. 5.

Introducción: La incidencia de diversas clases de arcos parcialmente desdentados constituye un indicador de la demanda de atención de los pacientes y la posibilidad de acceso a tratamientos protésicos alternativos.

Objetivo/s: Describir la distribución y prevalencia de las áreas desdentadas en pacientes mayores de 60 años que concurren al Servicio de Imágenes de la Facultad de Odontología de la Universidad Nacional de Córdoba.

Materiales y Métodos: Diseño de investigación cuantitativo, transversal descriptivo/analítico observacional. Ocho operadores calibrados (Índice de calibración Kappa>0,90) observaron radiografías panorámicas digitales (n=207) de pacientes mayores de 60 años, 111 mujeres (53,84%) y 96 hombres (46,16%). La variable se registró a partir de la clasificación de Kennedy (K) siguiendo las reglas de Applegate que divide al edéntulo en 6 divisiones de las cuales 3 de ellas poseen 4 modificaciones, determinando así 20 categorías. A partir de los datos obtenidos, se calcularon frecuencias, porcentajes e intervalos de confianza al 95%.

Resultados: En la muestra observada se identificó un 68,75% (n=286) de maxilares desdentados parciales. Los resultados obtenidos en la distribución de K para cada maxilar fueron: Ks: Clase 1: 15%, Clase 2: 27,1%, Clase 3: 17,4%, Clase 4: 0,5%, Clase 5: 3,9% y Clase 6: 2,9%; Ki: Clase 1: 34,8%, Clase 2: 23,7%, Clase 3: 11,6%, Clase 4: 0%, Clase 5: 0,5% y Clase 6: 1%.

Conclusión/es: En todos los maxilares superiores observados 12,1% eran totalmente dentados, 21,3%, desdentados totales y 66,7% parcialmente desdentados. En todos los maxilares inferiores observados 12,6% eran totalmente dentados, 15,9% desdentados totales y 71,5% parcialmente desdentados. Se observó un predominio de pérdida de pilar posterior (Ks1y2=42,1% - Ki1y2=58,5%). La distribución de las clases de Kennedy evidenció que en el maxilar superior predominó la Clase II, seguida por la Clase III y la Clase I, mientras que en el maxilar inferior la Clase I fue la más frecuente, seguida de la Clase II y III.

Palabras clave: DESDENTADO PARCIAL, ADULTOS, KENNEDY

109. Evaluación comparativa del módulo elástico entre dos materiales bioactivos y un material para base que se comercializa como ionómero de vidrio modificado con resina utilizados para protección dentino-pulpar indirecta.

Bonnin C, Brasca N, Girardi M, Delgado A*.

Operatoria 1 B Departamento Rehabilitación Bucal FOUNC.

Objetivo/s: Evaluar el modulo de elasticidad (ME) y la resistencia a la flexion (F) de materiales a base de silicato de calcio con resina (TheraBase® y TheracalPT®), respecto de un material utilizado actualmente como protector dentino-pulpar (DensellGlassLiner®) Materiales y Métodos: Las probetas (n=7), fueron confeccionadas según norma ISO 4049, con 3 materiales experimentales: TheraBase® (TB) y Theracal PT® (TPT) de Bisco® y Glass Liner Base® de Densell® (DGL). Se polimerizaron con una unidad de curado Coltolux LED (Coltene), con longitud de onda de 450 a 470 nm, y una irradiancia de 1200 mW/cm2. Los especímenes se almacenaron en agua destilada a 37°C por 24 horas. Los ensayos de ME y F se realizaron en una máquina de ensayo universal (DIGIMESS RS-8000-5), con velocidad de 1 mm/min. Esta metodología registra en el mismo especimen y de manera simultánea, los valores de ME y F. Los datos obtenidos se analizaron mediante test de ANOVA de una vía y Tukey.

Resultados:F: los valores de fuerza máxima y de resistencia a la flexión (MPa) registrados según ensayo, evidenciaron para TB valores medios de 31.5 y una desviación estándar (DE) de12, 1; TPT: 31,3 Media y 8,8 DE y DGL valores medios de 32,7 y 5,0 DS. No encontrando diferencias significativas entre los grupos (p=0,97) luego del análisis estadístico.

ME: TB con valores medios 1,84 y DE 0,72; TPT: media 1,99 y DE: 0,17 y DGL: 0,86 y 0,17 respectivamente. Presentando diferencias significativas entre el grupo TB y TPT respecto de DGL.

Conclusión/es: Bajo las condiciones experimentales de este estudio DGL seria significativamente menos rígido que TB y TPT. Respecto de la F, los datos sugieren que los materiales evaluados presentan una resistencia similar.

Palabras clave: silicato de calcio con resina-Liners-protección pulpar indirecta-módulo elástico

Financiamiento: SECyT/UNC. Proyecto Consolidar N° 33620230100897CB

No presenta conflicto de interés

110. Análisis de piezas dentarias en adultos mayores en Córdoba Capital.

Peccoud SM1*, Maurizio M1, Oviedo MS1, Seiler E1, Bracamonte CG1, Berardo S1, Luján RN1, Loyola González PO1, Aubia MC2, Martinez CA2, Salgado PA3;4;5, Aredes JE2.

1.Cátedra Prostodoncia IV B FOUNC. 2. Odontología Integral del adulto mayor y clínica de prótesis removible FOUBA. 3. Cátedra. Microbiología y Parasitología FOUBA. 4. Cátedra Odontología Preventiva y Comunitaria FOUBA. 4. Instituto de Investigaciones en Salud Pública UBA. 5.

Introducción: La pérdida dentaria es una condición frecuente que afecta a una gran proporción de la población adulta a nivel mundial.

Objetivo/s: Describir la condición dentaria en términos de piezas presentes (P), coronas clínicas (C), piezas retenidas (R), restos radiculares (RR), piezas dentarias con sistema de retención (SR) y dientes endodónticamente tratados (DET) en pacientes mayores de 60 años que concurren al servicio de imágenes de la Facultad de Odontología de la Universidad Nacional de Córdoba.

Materiales y Métodos: Diseño de investigación cuantitativo, transversal descriptivo/analítico observacional. Ocho operadores calibrados (Índice de calibración Kappa>0,90) observaron radiografías panorámicas digitales (n=207) de pacientes mayores de 60 años, 111 mujeres (53.4%) y 96 hombres (46.16%). Las variables registradas para cada maxilar fueron piezas presentes (P), coronas clínicas (C), piezas retenidas (R), restos radiculares (RR), piezas dentarias con sistema de retención (SR), dientes endodónticamente tratados (DET). A partir de los datos obtenidos se calculó Imedia y desvío estándar para las variables. Para comparar las variables MS y MI se aplicó Test de Student para muestras relacionadas o el no paramétrico correspondiente Test de Wilcoxon. Para rechazar la hipótesis nula se definió un valor de p<0,05.

Resultados: Para P la media y desvío estándar fue Ps= 6 ± 5 y Pi= 8 ± 5 (p<0,01); para C fue Cs= 5 ± 4 y Ci= 7 ± 5 (p<0,01); para R fue Rs= 0 ± 0 y Ri= 0 ± 0 (p=0,179); para RR fue RRs= 0 ± 1 y RRi= 0 ± 1 (p=0,179); para SR fue SRs= 0 ± 0 y SRi= 0 ± 0 ; (p=0,402) y para DET fue DETs= 1 ± 1 y DETi= 0 ± 1 (p=0,003).

Conclusión/es: Los adultos mayores estudiados presentan un número reducido de piezas dentarias y coronas clínicas, con un valor menor en maxilar superior, y baja frecuencia de restos radiculares, piezas retenidas y dientes endodonticamente tratados. Evidenciando la necesidad de reforzar medidas preventivas y rehabilitadores en esta población.

Palabras clave: adultos mayores, piezas dentarias coronas clínicas

111. Análisis histológico "in vivo" de nuevas matrices de colágeno descelularizadas para su uso en ingeniería tisular.

Rodriguez MA1, Campos F2, Ferrer B1, Sorbera L1, Chato-Astraín 2J, Alaminos M2, Rodríguez IA1*

1. Cátedra de Histología, Embriología e Ingeniería Tisular "B" FOUNC. 2. Departamento de Histología, Universidad de Granada, España

Introducción: Las matrices de colágeno descelularizadas (DCM) son prometedores andamiajes para la generación de tejidos artificiales.

Objetivo/s: El objetivo de este trabajo fue realizar un análisis histológico de nuevas matrices de colágeno descelularizadas tratadas con genipin para su posible uso en ingeniería tisular.

Materiales y Métodos: Se utilizaron DCM procedentes de pericardio porcino (SUS-MEM, TISSUM, Córdoba, Argentina) que fueron tratadas con una concentración de genipin (GP) de 0.01% durante 24 horas. Posteriormente, se implantaron en tejido subcutáneo de ratones de laboratorio BALB/c, DCM sin tratamiento y DCM+GP 0.01 %. Los controles fueron animales sometidos a intervención quirúrgica sin implantación. A los 10 y 30 días post-implantación, se analizó la biocompatibilidad local, sistémica y biodegradabilidad (tasa y velocidad de biodegradabilidad) mediante ensayos histológicos de rutina, histoquímicos (picrosirius, tricrómico de masson y alcian blue) e inmunohistoquímicos (CD 163). Para el análisis estadístico se utilizó Mann-Whitney (p<0,05). Resultados: Se observó que DCM y DCM+GP 0,01% se biointegraban en el tejido celular subcutáneo, dato que se confirmó con la presencia de colágeno fibrilar y proteoglucanos. Además se identificó que DCM+GP 0.01% poseía una mayor resistencia a la biodegradabilidad que DCM (p<0,05) y un incremento de macrófagos proregenerativos CD 163 positivos significativo respecto a DCM y control (p<0,05). Por último, se confirmó ausencia de alteraciones estructurales en órganos, y de parámetros hematológicos y bioquímicos respecto al control.

Conclusión/es: El análisis histológico de estas nuevas matrices de colágeno descelularizadas tratadas con GP 0,01% reveló biocompatibilidad local y sistémica, una mayor resistencia a la biodegradabilidad y un perfil pro-regenerativo. Estos hallazgos sugieren su potencial uso en ingeniería de tejidos.

Palabras clave: Histología, Ingeniería Tisular, Matrices de colágeno descelularizadas

Financiamiento: C-CTS-032-UGR23, ERDF-FEDER, PE-0395-2019, FIS PI23/00335, FIS PI23/00337 y FIS PI22/00059, SEcyt: 024-21-E-UNC-SECYT#ACTIP

Aprobado por Comité de Ética. No presenta conflicto de interés

112. Biocompatibilidad y biodegradabilidad de un derivado tisular de colágeno de fascia lata liofilizado en un modelo experimental in vivo de ratas Wistar a 7 y 30 días.

Rodriguez IA1*, Ferrer MB1, Mascolo GG1, Colqui AM1, Ontivero LI1, Sorbera Ferrer L1, Lacerra C2, Sobrero C2, Gallará RV3

1. Cátedra de Histología, Embriología e Ingeniería Tisular "B". FOUNC. 2. Laboratorio de Hemoderivados - UNC. 3. Cátedra de Bioquímica General y Bucal "A". FOUNC

Introducción: Los derivados tisulares de colágeno de fascia lata son utilizados como membranas en terapias regenerativas en odontología. Objetivo/s: Evaluar la biocompatibilidad y biodegradabilidad de un derivado tisular de colágeno de Fascia lata liofilizado (FL) producida por el Laboratorio de Hemoderivados (UNC) en un modelo in-vivo de ratas Wistar a 7 y 30 días de implantación.

Materiales y Métodos: Se utilizaron ratas Wistar macho distribuidas en dos grupos, a 7 días (5 ratas) y 30 días (6 ratas). Previa anestesia se implantó FL en el tejido celular subcutáneo del cuarto delantero derecho, el izquierdo funcionó como control al recibir cirugía sin implantación. Cumplidos los tiempos experimentales se realizó la eutanasia. La biocompatibilidad y la biodegradabilidad local se valoraron con técnicas histológicas de rutina e histoquímicas (Picrosirius y Tricrómico de Masson). La biocompatibilidad sistémica se evaluó mediante técnicas histológicas de rutina en riñón, hígado, pulmón, bazo y ganglio linfático, junto a análisis de determinantes hematológicos (citológico completo) y parámetros bioquímicos en plasma de funcionamiento hepático (albúmina, GPT, GOT, GGT) y renal (creatinina, uremia), que fueron comparados mediante estadística descriptiva (media ± desvío estándar) con valores de referencias bibliográficas.

Resultados: A nivel local se observó una progresiva biodegradabilidad en el tiempo de estructuras acidófilas homogéneas compatibles con FL, las cuales se confirmaron con las técnicas de picrosirius y tricrómico al evidenciarse estructuras homogéneas rojas y azules respectivamente. Alrededor de FL se identificó la presencia de un infiltrado inflamatorio mayor a los 7 días respecto a los 30 días, en concordancia con el incremento de glóbulos blancos y la inversión de la formula leucocitaria. Los parámetros bioquímicos en plasma no presentaron diferencias respecto a los valores consultados y los órganos analizados presentaron una estructura tisular ortotípica.

Conclusión/es: La evaluación histológica y bioquímica en este modelo experimental evidencio persistencia del derivado tisular de colágeno FL en los tiempos estudiados con una progresiva biodegradabilidad y permitiría inferir su carácter biocompatible a nivel local y sistémico. A futuro se requiere analizar la tasa diaria de biodegradabilidad.

Palabras clave: DERIVADO TISULAR DE FASCIA LATA LIOFILIZADO; REGENERACIÓN TISULAR GUIADA; CONTROL DE CALIDAD HISTOLÓGICO Y BIOQUÍMICO

Financiamiento: Beca Doctoral SECyT - UNC 2024 (RR-2025-1040-UNC-REC); Programas y Proyectos de Investigación, Desarrollo Tecnológico y Artístico línea Consolidar, Formar, Estimular (PIDTA) 2023; SECyT; UNC (RESOL-2023 258-E-UNC-SECYT#ACTIP)

Aprobado por Comité de Ética. Presenta conflicto de interés

113. Regeneración ósea post extracción dentaria mediante el uso de matriz ósea en polvo potenciada con fibrina rica en plaquetas. Resultados preliminares.

Calabrese O1, Zorrilla IM1, Fontana S2, Fernandez J2, Gagey L1*, Aballay JC1, Kaplan MJ1, Belotti R1, Sorbero C3, Lacerra C3, Plavnik LM2

1.Cátedra de Cirugía II A FOUNC. 2. Cátedra de Histología y Embriología A. 3. Laboratorio de Hemoderivados UNC

Introducción: La extracción dentaria conlleva un proceso de remodelado y reabsorción ósea que compromete la conservación del reborde alveolar, dificultando la posterior rehabilitación protésica o implantológica. Para minimizar estas secuelas, se han desarrollado diversas estrategias basadas en el uso de injertos óseos y concentrados plaquetarios ricos en factores de crecimiento, que buscan optimizar la reparación y regeneración del tejido óseo.

Objetivo/s: Evaluar el efecto de la Matriz Ósea en Polvo UNC del Laboratorio de Hemoderivados de la Universidad Nacional de Córdoba (MO-UNC), asociada a fibrina rica en plaquetas (FRP), en la conservación del volumen alveolar postextracción en humanos.

Materiales y Métodos: Se diseñó un ensayo clínico controlado, aleatorizado, a simple ciego, aprobado por el Comité de Ética en Investigación de la Facultad de Odontología de la Universidad Nacional de Córdoba. La muestra estuvo conformada por 11 pacientes adultos, de ambos sexos, que concurrieron a la Cátedra de Cirugía II "A", con indicación de extracción dentaria simple. Tras la exodoncia, los alvéolos fueron asignados aleatoriamente a uno de tres grupos: Grupo Control: sin material de relleno (coágulo natural).Grupo MO: relleno con Matriz Ósea en Polvo UNC (MO-UNC), Grupo MO+FRP: relleno con MO-UNC asociada a Fibrina Rica en Plaquetas (FRP). La reparación de los alvéolos se evaluó mediante tomografías computadas Cone Beam en dos momentos: Inmediato post-extracción y a los 4 meses de cicatrización. Las imágenes fueron procesadas y analizadas con software Romexis 6.4.4.7 R. y Eagle PS 1.0.0.12, determinando: Volumen alveolar (mm³).Calidad ósea, mediante densidad expresada en Unidades Hounsfield (HU). Se aplicó estadística descriptiva de los valores obtenidos.

Resultados: El grupo Control presentó una densidad promedio de 420 ± 188 HU (hueso tipo IV), el grupo MO alcanzó 806 ± 112 HU (hueso tipo III), mientras que el grupo MO + FRP obtuvo los valores más elevados, con una media de 881 HU (hueso tipo II). El análisis estadístico realizado (ANOVA de una vía) mostró diferencias significativas en la densidad ósea (p = 0.03) entre los tres grupos experimentales. Estos resultados evidencian que la combinación de matriz ósea con fibrina rica en plaquetas promueve una mayor densificación y maduración ósea en el período de cuatro meses postextracción.

Conclusión/es: La asociación de MO + FRP demostró un efecto significativamente superior en la regeneración ósea postextracción respecto al control y a la MO sola, favoreciendo la formación de hueso más denso y la reducción de la pérdida volumétrica alveolar. Estos resultados respaldan el potencial sinérgico de la fibrina rica en plaquetas al potenciar la osteoconducción de la matriz ósea en polvo UNC.

Palabras clave: PRF, Matriz ósea, Estudios clínicos

Financiamiento: Laboratorio de Hemoderivados UNC Aprobado por Comité de Ética. Presenta conflicto de interés

113A. Análisis de biomineralización y biocompatibilidad de cementos a base de silicato de calcio en un modelo experimental de ratas. Estudio Preliminar.

Ontivero LI1*, Molina G2, Ferrer B1, Sorbera L1, Dorado G1, Rodriguez IA1.

1.Departamento de Histología e Ingeniería Tisular FOUNC. 2. Cátedra de Materiales Dentales FOUNC

Introducción: Los cementos a base de silicato de calcio (CBSC) son biomateriales utilizados en la práctica odontológicas, sin embargo, es necesario profundizar en aspectos vinculados a la biocompatibilidad local y sistémica y en el modelo que se utiliza para valorar biomineralización.

Objetivo/s: El objetivo es analizar biocompatibilidad y biomineralizaciónnde distintos CBSC mediante estudios histológicos, de rutina y bioquímicos en un modelo experimental de ratas.

Materiales y Métodos: Se emplearon 12 ratas Wistar macho (200–250 g), a las que se implantaron, en tejido celular subcutáneo, tubos estériles de silicona rellenos de CBSC: MTA Reparative Cement (Densell) y Biodentine (Septodont). Los controles fueron: tubos con resina compuesta Z100 (3M-Espe) (Control negativo) y sin relleno (Control positivo). Los animales fueron eutanasiados a los 30 días. La biocompatibilidad local y sistémica (riñón, hígado, pulmón y bazo) y biomineralización se analizó mediante análisis histológicos descriptivos mediante tinción de rutina.

Resultados: Se observó la presencia de una cápsula de fibras de colágeno alrededor de los tubos en todos los grupos experimentales. Asimismo, en los grupos experimentales con biomateriales se encontraron reacciones inflamatorias linfoplasmocitaria y presencia en los grupos con CBSC, estructuras de aspecto homogéneo y basófilas, similares a estructuras mineralizadas. Los distintos órganos evaluados no mostraron alteraciones estructurales. Los análisis bioquímicos de biomarcadores no evidenciaron alteraciones a nivel sistémico en los distintos grupos experimentales.

Conclusión/es: El análisis histológico permitiría inferir la biocompatibilidad sistémica de los CBSC. Sin embargo, para poder determinar la biocompatibilidad local y su carácter de biomineralización de los CBSC sería necesario realizar análisis temporales y la implementación de técnicas histoquímicas para determinar mineralización.

Palabras clave: Biocompatibilidad, Biomineralización, Biomateriales

Aprobado por Comité de Ética. Presenta conflicto de interés

114. Resultados de la aplicación de terapia de pulpa vital en piezas dentarias permanentes: estudio en la Cátedra de Endodoncia (EndoUBA).

Lee LT*, Miklaszewski E, Cabirta ML, Santillán ME, Salguero V, Biondi AM, Rodríguez PA.

1. Cátedra de Endodoncia FOUBA. 2. Cátedra de Odontología Integral Niños FOUBA

Introducción: A medida que se amplían los conocimientos sobre la biología pulpar, la terapia de pulpa vital (VPT) se posiciona como una alternativa conservadora frente a la pulpectomía, buscando preservar la vitalidad pulpar siempre que sea posible. El proyecto desarrollado por EndoUBA (CETICA-FOUBA 038/2023) se orienta a evaluar nuevas opciones terapéuticas y diagnósticas que permitan mejorar los resultados del tratamiento endodóntico. La preservación de una porción de pulpa vital puede favorecer una respuesta inmune local, contribuyendo a prevenir infecciones en la región apical y a promover un mejor pronóstico clínico.

Objetivo/s: Conocer los resultados clínicos del periodo de marzo 2023 a septiembre 2023 de Cátedra de Endodoncia UBA relacionados con la capacidad bioinductora de un cemento biocerámicos sobre el tejido pulpar vital y su relación con la inflamación pulpar ante la utilización de la Terapia de Pulpa Vital (VPT).

Materiales y Métodos: Estudio observacional retrospectivo basado en las historias clínicas del Proyecto VPT (CETICA-FOUBA 038/2023). Se registraron edad, sexo, pieza dentaria tratada (PD), diagnósticos, tiempo de sangrado, tipo de tratamiento, tiempo de fraguado de Biodentine® y dolor en tres categorías registradas según escala visual análoga (EVA); dolor espontáneo (DE), al cierre (DC) y a la inspección (DI). El seguimiento se realizó en nueve instancias: contacto telefónico (24, 48 y 72 h) y controles presenciales (1 semana, 1, 6, 12, 18 y 24 meses). Análisis estadísticos: prueba de Chi cuadrado, intervalos de confianza (IC95%) y prueba de Friedman (p < 0,05). Los resultados se expresaron con frecuencia absoluta/frecuencia en porcentaje.

Resultados: Se analizaron 364 historias clínicas: mujeres 214 (59%) y varones 149 (41%), con edad promedio de 30 años. La PD más frecuente fue primer molar (95; 28%), seguida segundo molar (61; 18%). Los diagnósticos fueron: pulpitis inicial (200; 55%), leve (124; 34%), moderada (36; 10%) y grave (4; 1%). El tiempo de sangrado: 167 (46%) sin sangrado, 145 (40%) < 3 minutos, 39 (11%) 3–6 minutos, 9 (2%) 6–10 minutos y 3 (1%) en > 10 minutos. Los tratamientos realizados fueron: protección pulpar directa (182; 50%), indirecta (116; 32%), pulpotomía parcial (51; 14%) y completa (15; 4%); 19 casos (5%) requirieron tratamiento de conducto posterior, que se consideran fracaso del tratamiento VPT. El tiempo de fraguado del Biodentine® promedio fue 32,08 ± 10,57 min.

Conclusión/es: Estos hallazgos refuerzan la importancia de considerar la VPT como una alternativa conservadora válida frente a la pulpectomía, siempre que el diagnóstico y las condiciones clínicas lo permitan. Asimismo, subrayan la necesidad de continuar con el seguimiento longitudinal y la investigación clínica para optimizar protocolos y mejorar la predictibilidad de los resultados en la práctica odontológica.

Palabras clave: Terapia de Pulpa Vital, Biocerámicos, Diagnóstico

Aprobado por Comité de Ética. No presenta conflicto de interés

115. Caracterización de traumatismos dentarios durante 2021: Una mirada endodóntica.

Miklaszewski E*, Cabirta L, Lee LT, Santillán E, Barbiero R, Martinez P, Rodríguez PA. Cátedra de Endodoncia FOUBA

Introducción: Los traumatismos dentarios son una urgencia frecuente en el consultorio odontológico. Puesto que, usualmente, comprometen la pulpa, los endodoncistas deben estar preparados para resolver sus diversas presentaciones. Un diagnóstico e intervención tempranas son esenciales para prevenir complicaciones. En la Cátedra de Endodoncia de la Facultad de Odontología de la Universidad de Buenos Aires funciona una Unidad de Traumatismo Dentario (UTD-FOUBA)

Objetivo/s: El objetivo de este estudio fue describir la frecuencia y características de traumatismos atendidos en dicha unidad durante 2021, relevando datos de interés endodóntico como base para futuros estudios que evalúen pronóstico y necesidad de tratamiento.

Materiales y Métodos: Se realizó un estudio retrospectivo que incluyó historias clínicas de pacientes atendidos por traumatismo dentario en 2021. Se registraron edad, sexo, tiempo hasta la atención, piezas afectadas, tejido dañado: fractura coronaria (FC) de esmalte (E), dentina (D) o pulpa (P); fractura radicular (FR) apical (A), media (M), cervical (C) o longitudinal (L); y lesiones de tejidos de soporte (TS): subluxación (SL), luxación lateral (LL), intrusiva (LI), extrusiva (LE) o avulsión (AV). Además, se registró el tipo de traumatismo: puro (FC, FR o TS) o combinado (FC+FR/FR+TS/FC+TS/FC+FR+TS). Se excluyeron traumatismos en dentición temporaria, consultas posteriores a 30 días y registros incompletos.

Resultados: Se analizaron 105 historias clínicas con 283 piezas involucradas. La muestra incluyó 43 mujeres (41%) y 62 varones (59%), edad promedio 27 años. 58 pacientes (56%) recibieron atención de urgencia dentro de las primeras 24 h, de los cuales 38 (66%) fueron maniobras correctas. Los daños puros fueron (n=283):195 (69%(IC95:64%a74%)) TS, 68 (24%(IC95:19%a29%)) FC, 54(19% (IC95:15%a24%)) FR; y combinados: 23(8% (IC95:5%a11%)) FC+TS, 9 (3%(IC95:1%a5%)) FR+TS, 5(2%(IC95:0%a3%)) FC+FR y 3 (1% (IC95:0%a2%)) FC+FR+TS. Dentro de TS, la LL fue la más frecuente 75 (38%(IC95:32%a45%)), seguida de LE 34 (17% (IC95:12%a23%)) y SL 34 (17% (IC95:12%a23%)).

Conclusión/es: El predominio de luxaciones en dientes permanentes con ápices maduros podría vincularse a una alta necesidad de tratamiento endodóntico postraumático. Este estudio caracteriza el perfil de traumatismos atendidos en la UTD-FOUBA y constituye una base descriptiva sobre la cual desarrollar futuras investigaciones clínicas. Dado que el periodo analizado estuvo atravesado por restricciones de movilidad por la pandemia de COVID-19, sería deseable comparar con otros periodos para corroborar los resultados.

Palabras clave: traumatismo dentario; avulsion; fractura radicular

116. Estudio exploratorio de la asociación entre serotipos de Streptococcus mutans y caries en niños de Córdoba.

Plum L1, González-Ittig RE1, 2, Gimenez Evjanian M*3, Carletto-Körber FPM3

1. Instituto de Diversidad y Ecología Animal (IDEA), CONICET-UNC, Córdoba, Argentina. 2. Cátedra de Genética de Poblaciones y Evolución, Facultad de Ciencias Exactas, Físicas y Naturales, UNC. 3. Cátedra Odontopediatría "A". Facultad de Odontología. Universidad Nacional de Córdoba, Argentina

Objetivo: Analizar la relación entre serotipos de Streptococcus mutans y la salud bucal en niños, identificando patrones epidemiológicos. Materiales y Métodos: Se evaluaron 18 niños de 6 a 8 años atendidos en la Cátedra de Odontopediatría "A" y se registró el estado de salud en dentición primaria y permanente; se calcularon los índices ceod, CPOD y SIC. Se obtuvieron muestras de saliva estimulada para el aislamiento de S. mutans en un medio selectivo. Posteriormente, se realizó la extracción de ADN y la tipificación de los serotipos c, e, f por PCR multiplex y el serotipo k por PCR convencional. Los datos fueron analizados mediante estadística descriptiva (frecuencias absolutas, relativas, medias y desvíos estándar) y prueba de Chi-cuadrado (p<0,05) para evaluar la asociación entre los serotipos hallados y las poblaciones SIC y NoSIC. Resultados: Se identificaron 39 serotipos: c y f (25,64% cada uno), e (10,26%) y k (38,46%). En la población SIC (n=11), un 33,3% presentó un único serotipo, mientras que en la NoSIC (n=28), no hubo casos con un solo serotipo. En ambas poblaciones se detectaron combinaciones de 2 y 3 serotipos: en SIC, el 50,0% presentó dos serotipos y el 16,7% tres; en NoSIC, el 66,7% presentó dos y el 33,3% tres. El serotipo c se asoció a los valores más altos de ceod+CPOD (13,5±3,5), y la combinación c+f+k a los más bajos (4,5±2,1). Las demás combinaciones fueron: c+k (7,4±2,3), c+f (11,0±0,0), e+f+k (11,3±4,2), e+k (7,0±0,0) y f+k (9,3±1,5). En SIC predominó el serotipo f (36,36%) y en NoSIC el k (42,86%), sin asociación significativa entre los serotipos identificados y las poblaciones SIC y NoSIC (p>0,05). Conclusión: La mayoría de los niños presentó múltiples serotipos de S. mutans observándose una variación en su distribución entre las poblaciones SIC y NoSIC. En particular, el serotipo f predominó en la población SIC, mientras que el serotipo k fue más frecuente

Palabras clave: Diversidad de serotipos, Streptococcus mutans, caries

Financiamiento: SECyT

en la población NoSIC.

117. Adherencia bacteriana sobre materiales de restauración: comparación y evaluación de dos técnicas.

Silvera Estévez DE*, Tineo S, Álvarez Giménez JM, Saravia ME

Laboratorio de Biología Oral-LABOFOUNT, Cátedra de Microbiología y Parasitología y Cátedra Práctica Final Obligatoria. Facultad de Odontología UNT.

Introducción: Los materiales de restauración poseen características físicas guímicas que favorecen o inhiben la adherencia de bacterias orales al colonizar las superficies de restauraciones como las bacterias del grupo mutans,entre otras. Objetivo: Comparar y evaluar dos técnicas microbiológicas para observar la adherencia y recuento de unidades formadoras de colonias (UFC/ml) de Estreptococos mutans sobre la superficie de resina compuesta Z350. Materiales y Métodos: Estudio observacional descriptivo in vitro confeccionando n=24 cuerpos de prueba (CP) de resinas Z350 estandarizados y preparados para el cultivo siguiendo la metodología propuesta por el LABOFOUNT. Los cuerpos de prueba fueron contaminados en una suspensión de S. mutans a 0,5 de Mac Farland, posteriormente se sembraron 12 cuerpos en cada grupo grupos. El Grupo Grupo 1 (G1) se sembró en medio SB20M, y el Grupo Grupo 2 (G2) en SB20 M con el agregado de azul tripan. Se realizó la observación y recuento de UFC con lupa estereoscópica. Las muestras del G1 se retiraron del medio de cultivo y se sumergieron en una solución de azul tripan y las del Grupo 2 fueron observadas directamente, en ambos grupos las muestras se enjuagaron con PBS antes de ser observadas. Resultados: Todos los cuerpos de prueba del G1 y G2 presentaron adherencia de S. mutans. Se observó que en el grupo 1, las colonias se presentaron más grandes y con mayor cantidad de polisacárido mientras que en el G2 se observaron más pequeñas, y menor formación de polisacáridos. El test de ANOVA de dos vías sin interacción entre los factores demostró diferencias estadísticamente significativas entre los promedios de las técnicas 1 y 2 con error alfa >0.01. Conclusión: La metodología empleada en el grupo 1 permite observar con mayor nitidez y registrar mayor cantidad de UFC/ml cuando se quiere observar adherencia bacteriana sobre materiales de restauración.

Palabras clave: Adherencia Bacteriana, S mutans, Materiales de Restauración

Financiamiento: Parcialmente PIUNT J/714

118. Evaluación comparativa de dureza en lesiones de esmalte hipomineralizado in vitro tratadas con resinas infiltrantes y agentes remineralizantes.

Lei MA*, Rivelli M, Marquez JG, González N, Toledo CN, Salgado P, Picca M Universidad de Buenos Aires. Facultad de Odontología. Cátedra de Materiales Dentales. Buenos Aires. Argentina

Objetivo: El objetivo del presente trabajo fue evaluar la dureza de las piezas dentarias infiltradas y remineralizadas. Materiales y Métodos: Se usaron 28 premolares sanos extraídos. Se sometieron a dos ciclos de desmineralización mediante una solución de CaCl2 (2,2 mM), NaH2PO4 (2,2 mM), ácido acético (0,05 M) con un pH 4,5, durante 96 h y a 37 °C. En las muestras desmineralizadas, se registró la dureza con el microdurómetro Vickers (Future Tech FM300) (50 g y 10 s) y se los dividió en 7 grupos (n=4). En 5 grupos se trataron con ácido clorhídrico al 18% por 2 min. En cada uno de los cinco grupos se infiltró la superficie con Enamel Bond (Densell), Permaseal (Ultradent), Brilliant Flow (Coltene), Sealant P&F (Densell) y resina ICON (DGM). Se aplicaron el material por 3 minutos. La resina se fotopolimerizó durante 40 segundos con Coltolux Led. El paso de infiltración de resina se repitió una vez con un tiempo de 1 minuto y nuevamente fotopolimerizada durante 40 segundos. En 2 grupos restantes se trataron con barniz MI Varnish (GC) y Bio-CaF Paste Plus (Klepp) durante 7 días de una aplicación de 3 minutos por día. Se registró la dureza postratamiento. Los resultados fueron analizados estadísticamente mediante análisis de varianza y comparaciones múltiples de Tukey. El nivel de significación fue establecido en p<0,05. Resultados: el ANOVA no mostró un efecto estadísticamente significativo para la dureza postratamiento (p=0,066). En las comparaciones múltiples de Tukey no hubo grupos heterogéneos en los grupos tratados. Conclusión: Bajo las condiciones de este estudio se puede estimar que la dureza de las piezas dentarias infiltradas es similar a la de piezas tratadas con remineralizantes.

Palabras clave: resinas infiltrantes-remineralización

Financiamiento: Proyectos de Investigación Integrada de la FOUBA, convocatoria 2025 Proyecto 05-02-24

119. Sobrevida de restauraciones directas en pacientes con discapacidad: 1 año de seguimiento.

Zar M*, Torres D, Navarro L, Carvajal MC, Migliore M, Dipp Lizondo D, Molina G.

Cátedra de Odontología y Discapacidad, Carrera de Odontología, Facultad de Ciencias de la Salud, Universidad Católica de Córdoba

Introducción: Las necesidades no cubiertas de tratamiento de caries son frecuentes en personas con discapacidad, en parte debido a las dificultades de cooperación durante la atención odontológica convencional. Objetivo: El objetivo de este estudio clínico de cohorte fue comparar la aceptabilidad, factibilidad y sobrevida del Tratamiento Restaurador Atraumático (ART), el Tratamiento Restaurador Atraumático Modificado con Plata (SMART) y el Tratamiento Restaurador Convencional (CRT) en pacientes con discapacidad derivados a una clínica odontológica universitaria. Materiales y Métodos: De 74 pacientes derivados para restauraciones (20.6 ± 11.2 años de edad), 25 eligieron ART, 36 SMART, 11 CRT y 2 fueron derivados para sedación/anestesia general. Las restauraciones (n = 100) fueron realizadas por dos operadores y evaluadas a los 6 y 12 meses por un observador independiente. Al realizarlas, se evaluó aceptación, factibilidad y complejidad de la atención según la BDA y la iADH uCMT. La sobrevida de las restauraciones se determinó según criterios ART y Ryge modificado. Se utilizó ANOVA con corrección de Bonferroni para estimar diferencias en la sobrevida de las restauraciones y se aplicó regresión logística de Spearman para correlacionar la complejidad de la atención con las puntuaciones BDA y los dominios iADH uCMT. Resultados: ART, SMART y CRT resultaron factibles para todos los pacientes que eligieron estas opciones, con colocación óptima de restauraciones en todos los pacientes que recibieron ART, en el 95,8 % de los que recibieron SMART y en todos los que recibieron CRT. Las puntuaciones de complejidad BDA fueron significativamente más altas en los pacientes que recibieron SMART (OR 3,730; IC 95% 0,0−1,82; p ≤ 0,001). Los dominios de "Comunicación" y "Apoyo conductual" fueron los que requirieron menos adaptaciones en los pacientes que recibieron CRT (p = 0,001), mientras que el dominio "Acceso a atención adaptada" fue el que requirió más adaptaciones en los pacientes que recibieron SMART y ART. Del total de las 100 restauraciones 26 fracasaron según criterio ART y 23 según Ryge. Los porcentajes de sobrevida fueron 88.2, 64.1 y 76.9 para ART, SMART y CRT respectivamente, existiendo diferencias significativas entre ART/CRT y SMART p ≤ 0,01. Conclusión: ART y SMART son enfoques factibles y aceptables para el tratamiento odontológico restaurador en pacientes con discapacidad que requieren mayores adaptaciones en varios dominios de atención. CRT es más probable que sea seleccionado por pacientes con puntuaciones BDA más bajas. Sin embargo, el abordaje con técnica SMART mostró valores de sobrevida significativamente inferiores lo cual pone en duda la eficacia como una opción duradera para este grupo de pacientes.

Palabras clave: Tratamiento Restaurador Atraumático, Fluoruro de Plata, Pacientes con Discapacidad Financiamiento: Subsidio de la Secretaría de Investigación de la Universidad Católica de Córdoba

120. Estudio comparativo de la eficacia y seguridad de diferentes anestésicos locales en pacientes hipertensos controlados.

Zorrilla IM*1, Francia C2, Piemonte E3

1. Cátedra de Cirugía II A Facultad de Odontología Universidad Nacional de Córdoba. 2. Cátedra de Farmacología Facultad de Odontología Universidad Nacional de Córdoba. 3. Cátedra de Estomatología de la Facultad de Odontología UNC

Introducción: La hipertensión arterial es la enfermedad sistémica más frecuente en adultos y representa un desafío en la práctica odontológica. El uso de anestésicos locales con o sin vasoconstrictor en pacientes hipertensos controlados genera debate por sus posibles efectos hemodinámicos. Objetivo: Evaluar la eficacia anestésica y la seguridad cardiovascular de tres anestésicos locales, Articaína 4% con epinefrina 1:100.000, Lidocaína 2% con epinefrina 1:50.000 y Mepivacaína 3% sin vasoconstrictor, en pacientes hipertensos controlados durante la exodoncia. Materiales y Métodos: Ensayo clínico controlado, aleatorizado, a doble ciego. Se incluyeron 123 pacientes hipertensos controlados (41 por grupo), adultos de ambos sexos. Se registró presión arterial sistólica (PAS), diastólica (PAD) y pulso en cuatro momentos de la exodoncia: al inicio, durante la anestesia, durante la luxación y al final. Se evaluó ansiedad (Escala de Corah Modificada) y dolor (Escala Visual Analógica). Aprobado CIES FO UNC. Los datos fueron descriptos estadísticamente y analizados con prueba t apareada y ANOVA, fijando un P ≤ 0,05 para diferencia significativa. Resultados: De 123 pacientes, el 49% fueron mujeres y 51% hombres. La media de edad 57,85 con rango 30-70 años. Mepivacaína 3% mostró mayor estabilidad durante el momento quirúrgico más doloroso; Articaína 4% una mejor recuperación tensional; y Lidocaína 2% un aumento del pulso. Aunque las diferencias encontradas no tuvieron significancia estadística p> 0,005. La mayoría de los pacientes (71%) no presentó dolor durante el procedimiento, sin diferencias clínicas entre los anestésicos, lo que evidencia una efectividad anestésica adecuada. Del mismo modo, el nivel de ansiedad fue similar entre los grupos, indicando que la ansiedad preoperatoria no afectó la respuesta hemodinámica ni la eficacia anestésica. Conclusión: Dentro de las limitaciones de este estudio, se concluye que los tres anestésicos evaluados fueron eficaces y seguros en pacientes hipertensos controlados, mostrando un comportamiento hemodinámico estable, con variaciones leves y transitorias, sin riesgo clínico. Por lo tanto, pueden emplearse de forma segura, siempre que se utilicen dosis mínimas efectivas y se apliquen técnicas de infiltración lenta y con aspiración.

Palabras clave: HIPERTENSIÓN-ANESTESIA LOCAL-EXODONCIA-ANSIEDAD DENTAL

121. Conductas y actitudes en salud bucal y la calidad de vida oral en adultos argentinos.

Rhys K*, Sánches Urbano R, Montes Chañi E Universidad Adventista del Plata

Introducción: La calidad de vida relacionada con la salud bucal constituye un indicador fundamental del bienestar general y refleja no solo el estado clínico, sino también las percepciones, actitudes y conductas de las personas hacia su propia salud oral. En Argentina, aún son limitados los estudios que integren estas dimensiones en población adulta, lo que justifica la necesidad de indagar en esta temática. Objetivo: Analizar la relación entre conductas y actitudes en salud bucal y la calidad de vida oral en adultos argentinos. Materiales y Métodos: Se realizó un estudio transversal de tipo descriptivo y analítico, en una muestra de 399 adultos de entre 18 y 88 años (media=33.53; DE=15.46). La muestra estuvo conformada por 133 varones (33.3%) y 266 mujeres (66.7%). En cuanto al estado civil, el grupo más frecuente fue solteros (n=236; 59.1%), seguido de casados (n=136; 34.1%). Se aplicaron dos instrumentos: el Hiroshima University Dental Behavioral Inventory (HUDBI) para evaluar conductas y actitudes en salud bucal y el Oral Health Impact Profile (OHIP) para medir la calidad de vida relacionada con la salud oral. El análisis de varianza (ANOVA) se empleó para determinar diferencias en el OHIP según categorías de HUDBI, con pruebas post hoc (Tukey y Scheffé) para comparaciones múltiples. Resultados: El ANOVA evidenció diferencias estadísticamente significativas en la calidad de vida oral entre los grupos de HUDBI (F=5.824; p=0.003). El análisis post hoc mostró que los participantes con conductas consideradas "buenas" presentaron mejores puntajes de calidad de vida oral en comparación con quienes tuvieron conductas "regulares" (p=0.015) y "malas" (p=0.009). Asimismo, el grupo "regular" se diferenció significativamente del grupo "malo" (p<0.05), indicando una gradiente positiva entre mejores conductas y actitudes en salud bucal y mayor calidad de vida oral percibida. Conclusión: Los hallazgos evidencian que las conductas y actitudes hacia la salud bucal se asocian de manera significativa con la calidad de vida oral en adultos argentinos. Fomentar hábitos adecuados y actitudes positivas hacia el cuidado dental no solo impacta en la salud clínica, sino que contribuye al bienestar general de la población. Estos resultados refuerzan la importancia de diseñar estrategias de promoción de salud bucal que integren la dimensión conductual y perceptual en adultos jóvenes y de mediana edad.

Palabras clave: Calidad de vida oral. Conductas en salud bucal. HUDBI. OHIP

122. Análisis de la composición físico química en busca de flúor en el agua de Entre Ríos.

Rhys K*, Heissemberg F, Ascaino L, Bishop G, Grubert D Universidad Adventista del Plata

Introducción: Actualmente el nivel de fluoración del agua potable, es un problema de políticas sanitarias en Salud Pública. Este paradigma sobre el flúor en el agua de consumo masivo, presenta diversas perspectivas: beneficioso para la prevención de caries y en contraste, nocivo para algunos órganos y sistemas alterando su funcionamiento y/o exacerbando patologías, como así también influenciando al medio ambiente. Objetivo: Determinar la calidad de la composición físico química y los niveles de flúor en el agua de red en distintos Departamentos de la Provincia de Entre Ríos. Materiales y Métodos: Se realizaron 9 tomas de muestras en diferentes departamentos de Entre Ríos (Paraná, Diamante, María Grande, Crespo, Viale, Nogoyá, Rosario del Tala, Seguí, General Ramírez), que se eligieron aleatoriamente sobre la mitad oeste de la provincia y sur de la provincia, que reciben agua de la misma cuenca. La toma de muestra se realizó directo del grifo vertiéndose, sin intermediación, en frascos para muestras bioquímicas plásticas y estériles. Las muestras fueron analizadas por el Laboratorio de la Facultad de Ciencias Agropecuarias de la Universidad Nacional de Entre Ríos. Se realizaron análisis fisicoquímicos del agua, donde se realizaron determinaciones analíticas de pH, dureza, conductividad, calcio, magnesio, sodio, potasio, bicarbonatos, carbonatos, cloruros, nitratos, sulfatos, cobre, hierro, salinidad, arsénico, fluoruros, plomo, hierro, entre otros compuestos y se comparó el valor de cada muestra con los valores requeridos para agua potable según el artículo 982- CAA. Resultados: Estudio descriptivo, observacional y prospectivo. Del informe de las 9 ciudades elegidas aleatoriamente, la ciudad de María Grande presentó 0,093 niveles de arsénico, valor mayor a los requeridos para agua potable según el artículo 982 - CAA que es de 0,01-0,05 ppm. La ciudad de Viale presentó 18,25 de flúor cuando lo recomendado no debería exceder 1,0 partes por millón. La ciudad de Nogoyá mostró agua con dureza total en ppm CaCO3 de 407,68 cuando el valor máximo debería ser por debajo de 400 ppm. Conclusión: Entre los resultados se observaron que hay localidades entrerrianas que presentan compuestos físico químicos fuera de lo recomendable en niveles saludables. La calidad del agua no es la óptima. Es necesario que existan controles más exhaustivos sobre el agua potable que se le brinda a la población, no solo del flúor sino sobre todos sus compuestos. Como profesionales de la salud el odontólogo debería ser parte de los equipos de control de calidad.

Palabras clave: Flúor. Arsénico. Agua potable. Composición físico química del agua

Financiamiento: Universidad Adventista del Plata

123. Percepción de los estudiantes de odontología sobre la relación odontólogo paciente.

Rhys K*, Pujante B, Zovich J, Peliccioni P Universidad Adventista del Plata

Introducción: Una de las mayores potencias recuperadoras de la salud bucal del paciente es el accionar clínico de su odontólogo/a, este acto se encuentra amenazado por los cambios que afectan esta práctica en la sociedad actual. Objetivo: Analizar la percepción de los estudiantes de odontología sobre valores antropológicos en la relación odontólogo paciente. Materiales y Métodos: Se realizó un cuestionario anónimo autogestionado a estudiantes de Odontología de la Universidad Católica de Córdoba, que aún no comenzaron a prestar atención clínica. El instrumento es semiestructurado con tres opciones de respuesta: de acuerdo, escasamente de acuerdo y en desacuerdo. Los estudiantes fueron voluntarios, firmaron el consentimiento informado y no percibieron retribución alguna por el mismo. Trabajo aprobado por el CIEIS. Resultados: Casi la mitad de los estudiantes, 46,8% piensa que el paciente que paga recibe mejor atención. El 39% piensa que la espiritualidad no debe incluirse en el concepto de salud. El 32,9% de los alumnos, piensa que el paciente sabe más de la enfermedad que el profesional. El 37,9% piensa que es innecesaria la opinión del paciente. El 41,8% piensa que la relación médico paciente es como la del agente de venta y un cliente. El 63,3% en algún grado considera que la salud debería seguir las leyes de la oferta y la demanda. Solo el 12% piensa que seguir estrictamente la ley oferta-demanda pone en riesgo la calidad humana. Más del 90% cree que sería mejor firmar un documento legal ante notario. Conclusión: En cualquier relación se espera que el enfoque comunicacional, el rapport, la empatía y el respeto sean las bases que involucren a los sujetos protagonistas. Esto debería destacarse aún más en la relación profesional odontólogo/a - paciente. La percepción y la perspectiva sobre el acto profesional está cambiando en los actuales estudiantes de odontología, futuros profesionales de la salud odontológica. Sus valores antropológicos están variando, presentando aristas económicas sobre las humanas, incluso mayores a las de estudiantes post pandemia. La sociedad no puede ignorar este cambio de paradigma.

Palabras clave: Estudiantes de odontología. Percepción estudiantil. Relación odontólogo paciente

124. Salud bucodental en adolescentes: estudio sobre conocimientos, actitudes y prácticas de cuidado.

Isla C1, Gallardo F*2, Cornejo LS3, Carletto Körber FPM4

1. Ministerio de Salud Córdoba. 2. Servicio de Odontología. Hospital San Roque Viejo. 3. Facultad de Odontología. Universidad Nacional de Córdoba. 4. Odontopediatría "A". Facultad de Odontología. Universidad Nacional de Córdoba

Introducción: La caries es una enfermedad crónica, dinámica y multifactorial, asociada a la disbiosis del biofilm oral y al consumo de azúcares, fuertemente vinculada con la presencia de Streptococcus mutans factores biológicos, conductuales, psicosociales y ambientales. Objetivo: Analizar la relación entre la condición de salud bucodental en adolescentes y sus niveles de conocimiento, actitudes y prácticas vinculadas al cuidado de la salud bucodental. Materiales y Métodos: Estudio descriptivo en 18 adolescentes de 13 a 18 años, atendidos en el Servicio de Ortodoncia de un hospital público de Córdoba. Criterios de inclusión: aislamiento positivo de Streptococcus mutans, no haber recibido antibióticos en los últimos seis meses, ni tratamiento odontológico reciente o enfermedades sistémicas. Se evaluó experiencia de caries, flujo salival y capacidad buffer. Se aplicaron las encuestas de dieta de Lipari-Guerrero y de conocimientos, actitudes y prácticas de Gupta. Se estimaron frecuencias, media \pm DE y correlación rho de Spearman, con significación p<0,05. Resultados: Se registró CPOD 5,28 \pm 4,61; componente caries 1,33 \pm 3,09; IHO 0,42 \pm 0,42; flujo salival estimulado 1,42 \pm 0,25 mL/min; pH salival homogéneo >6,0; en relación a la dieta el potencial cariogénico 75,8 \pm 16,3 (moderado/alto). Se determinó asociación positiva significativa entre componente caries y CPOD r=0,963; conocimientos y actitudes r=0,559; actitudes y prácticas r=0,697; asociación negativa entre conocimientos e IHO r=-0,589. Conclusión: Los conocimientos, actitudes y prácticas no muestran correlación positiva con los indicadores clínicos, lo que sugiere una brecha

Palabras clave: adolescentes, salud bucal, factores conductuales

entre el conocimiento teórico y su aplicación práctica y actitudinal en los adolescentes evaluados.

Financiamiento: SeCyT-UNC 2023

125. Prevalencia, características y asociación entre Hipomineralización Molar Incisivo, Hipomineralización de Segundos Molares Primarios e Hipomineralización en Otras Piezas Dentarias en niños de 8 a 11 años de la República Argentina durante 2024.

Rocamundi MR*, Ulloque MJ, Vera MA, Zarza JA, Colombo YA Comisión Nacional de Prevención CORA

Objetivo: Estimar la prevalencia, características y asociación de la Hipomineralización Molar Incisivo (HMI), Hipomineralización de Segundos Molares Primarios (HSMP) e Hipomineralización en Otras Piezas Dentarias (HOPT) en niños de Argentina durante 2024. Materiales y Métodos: Diseño observacional, descriptivo, transversal y cuantitativo sobre la presencia de HMI, HSMP y HOPT en ambas denticiones de una población de niños de 18 provincias argentinas, de entre 8 y 11 años, asistidos en consultas privadas, centros de salud pública y/o escuelas, residentes en zonas urbanas y rurales. Los exámenes se realizaron en 2024 por 94 odontólogos CNP-CORA, calibrados durante 2023 (Kappa 0,7) con los Criterios de la EAPD. Se registró: edad, sexo, historia de caries, presencia de HMI, HSMP, HOPT y extensión del defecto en 16 piezas índices, en fichas diseñadas ad hoc, con firma de consentimiento informado y bajo supervisión de 2 capacitadores. Los datos se analizaron con Test Odds Ratio (OR); IC 95% y valor Z 1.96 (Medcalc y Excel). Resultados: Se examinaron 3310 niños, edad promedio 9,59 (±1,11): 49,48% niños, 50,51% niñas. Se registraron 466 individuos con HMI (14,08%), 231 con HSMP (6,98%, en 218 casos, 6,59%, coincidente con HMI) y 58 niños con HOPT (1,75%, en 46 casos, 1,39%, coincidente con HMI). Se observaron lesiones hipomineralizadas en 1 a 4 de los primeros molares permanentes en los individuos afectados (media = 2,96) y se distribuyeron de forma asimétrica, con una severidad variable a nivel de diente e individuo. Hubo asociación positiva entre HSMP y HMI (IC del 95% OR = 191.42 [107.77-339.99]; p < 0,0001), entre HMI y HOPT (IC del 95% OR = 25.73 [13.52-48.98]; p < 0,0001), y entre HMI/HSMP e historia de caries (IC del 95% OR= 5.28 [3.81-7.32]; p < 0,0001). Los niños residentes en zona urbana registraron 6,7 veces mayor presencia de HMI que los de zona rural (IC95% OR=6.7 [4.34-0.35]; p < 0,0001). La prevalencia por regiones registró: Sur y Bs As (16,27%), Cuyo (16,76%), Centro (17,9%), NEA (13,31%) y NOA (9,37%). Conclusión: La población estudiada presentó prevalencia de HIM similar a otros estudios en Sudamérica. Hubo asociación entre HMI con caries, HOPT y HSMP, confirmando su valor predictivo de HMI en pacientes con segundos molares afectados con hipomineralización.

Palabras clave: hipomineralización molar incisivo, hipomineralización segundos molares primarios, prevalencia Financiamiento: Confederación Odontológica de la República Argentina Aprobado por Comité de Ética. No presenta conflictos de interés

126. Conocimiento de HPV en estudiantes de odontología.

Rhys K*, Zovich J, Pujante B, Pelliccioni P. Universidad Católica de Córdoba

Introducción: El Human Papilomavirus (HPV) presenta una creciente importancia en salud pública, fundamentalmente, por asociarse con el cáncer. Las infecciones por HPV son las infecciones más comunes de transmisión sexual. La Resolución 563/2011 y 1977/2016 del Ministerio de Salud de la República Argentina dice: Programa Nacional de Control de Enfermedades Inmunoprevenibles, con carácter gratuito y obligatorio, la inmunización con la vacuna para VPH. Objetivo: Determinar el nivel de conocimiento de los estudiantes de odontología acerca del HPV. Materiales y Métodos: Estudio descriptivo, cuantitativo. Luego que firmaran el consentimiento informado, los estudiantes completaron de manera voluntaria y anónima el cuestionario denominado: "Grado de conocimiento sobre diversos aspectos del virus del papiloma humano en estudiantes". Fue diseñado primeramente por Elena Cabello Fernández, en Ciudad Real, España. 27 de junio de 2006. Este cuestionario es autoadministrado, con tres respuestas posibles: Si – No – No Contesta. Por esto no recibieron ningún tipo de retribución. El presente estudio fue aprobado por el CIEIS. Resultados: Más del 45% de los estudiantes desconocía la existencia del Papanicolau. El 25% no tenía conocimiento del cáncer de cuello uterino. El 32,14% no conocía de la transmisión de HPV. El 31% de los estudiantes encuestados no estaban vacunados. De ese porcentaje el 60% desconocía la existencia de la vacuna y el 20% no querían vacunarse. Conclusión: En Argentina la vacuna contra el HPV se encuentra en el calendario obligatorio para ambos sexos. De todas maneras, aunque las políticas sanitarias con buenas, la publicidad de las mismas y el conocimiento de la población, incluso de quienes serán futuros profesionales de la salud es bajo.

Palabras clave: HPV. Cuestionario. Estudiantes

127. Autopercepción en la calidad de vida de los pacientes que asisten a la Cátedra de Prostodoncia IV "B" – FOUNC relacionado con la salud bucal.

Loyola González PO*, Elizondo E, Oviedo S, Maurizio M, Bracamonte C, Lujan R, Peccoud S, Rugani N, Berardo S, Seiler E. Cátedra Prostodoncia IV B UNC

Introducción: Autopercepción de la calidad de vida relacionada con la salud bucal (CVRSB) en una muestra de 125 pacientes. Objetivo: Investigar impacto de salud bucal en calidad de vida (auto percibida) en pacientes asistentes a atención odontológica en cátedra mencionada. Indagar autopercepción de salud bucal respecto alteraciones funcionales. Conocer autopercepción de salud bucal respecto al estado emocional. Evaluar autopercepción de salud bucal referida a interacción social. Materiales y Métodos: Se realizó estudio descriptivo observacional, transversal prospectivo, no experimental. Se utilizó cuestionario autoadministrado versión español OHIP-EE-14 participaron personas mayores de 21 años, autoválidos y con plena capacidad mental. Se calcularon estadísticas como distribución de sexo, edad y uso de prótesis, así como la media, desviación estándar, y otros percentiles de los puntajes del OHIP-14 y se realizó análisis inferencial, para evaluar influencia del sexo, edad y uso de prótesis sobre puntajes registrados en cuatro dominios específicos limitación funcional; malestar psicológico; discapacidad psicológica; discapacidad social así como sobre en el puntaje total de la calidad de vida. Se estableció nivel de significación estadística (p<0,05). Pruebas Chi-cuadrado de Pearson: para determinar si existe asociación significativa entre factores y respuestas a preguntas específicas. Resultados: Muestra 125 encuestas, 76% mujeres (n=95) y 24% varones (n=30). Edad promedio fue de 48,2 años. 64% de individuos no utilizaba prótesis (n=80). El puntaje total promedio del OHIP-14 fue de 18,3, lo que reporta bajo impacto negativo en su calidad de vida. Análisis Inferencial Modelo Regresión Lineal Generalizada, sólo el factor sexo mostró influencia estadísticamente significativa. Existe interacción significativa entre los factores sexo y uso de prótesis, destacándose con valores muy bajos el subgrupo de varones sin prótesis. Personas que usaban prótesis eran significativamente mayores que las que no usaban (test de Student: p=2E-05). Conclusión: Sexo sobresale como factor más influyente en la autopercepción de calidad de vida, tanto en puntaje total como en el dominio relacionado con aspectos sociales. En ambos casos, fueron mujeres las que expresaron situación más desfavorable calidad de vida, aunque la marcada desproporción de muestra por sexo, podría influir en los resultados y limitar generalización de conclusiones.

Palabras clave: autopercepción, salud bucal, calidad de vida

128. Alfabetización en salud y equidad en salud bucal: caracterización de pacientes que asisten a un centro odontológico universitario argentino.

Casellas NR*, Zemel M, Cueto S, Girardi P, Nuñez Peña J, Serrani E, Pirro MF, Cillis J, Di Scala T, Giacoboni G, Fernandez Parra L, Cillis S

Universidad FASTA

Introducción: En el ámbito de la salud bucal, la alfabetización en salud (HL), entendida como la capacidad de las personas para acceder, comprender y usar la información sanitaria con el fin de tomar decisiones informadas y mejorar su salud influyen en el acceso y adherencia a tratamientos odontológicos. Objetivo: Caracterizar perfiles de HL e identificar desigualdades en los pacientes que reciben atención en el Centro Odontológico de la Universidad FASTA (Mar del Plata), utilizando un instrumento validado internacionalmente, Health Literacy Questionnaire (HLQ). Materiales y Métodos: Se realizó un estudio transversal aplicando HLQ, con 44 preguntas (escala de Likert) y un relevamiento sociodemográfico a una muestra no probabilística de pacientes que asistieron al Centro Odontológico de mayo a agosto 2024.

El análisis de clúster jerárquico y agrupamiento mediante el método de Ward, los datos (media+DS) se analizaron por ANOVA, X2 y Kruskal-Wallis (p<0.05). Resultados: Hubo 137 encuestados, con edad media de 40 años [15-83], 70,8% género femenino, 97% nacionalidad argentina, 31% no completó el nivel de enseñanza obligatoria en Argentina, 56.2% afirmó tener algún tipo de empleo formal, 50,6% no posee cobertura médica, 53.3% reconoció padecer al menos, una enfermedad no transmisible.

Se identificaron tres perfiles claramente diferenciados de HL no solo en términos cuantitativos, sino también cualitativos, en función de las puntuaciones promedio en las dimensiones del HLQ, En el análisis de todas las variables demográficas con los clústeres, existe una asociación significativa solo con la variable cobertura médica (p<0.05).. Conclusión: A partir de la muestra procesada, es posible proponer una clasificación cualitativa de los clústeres en baja, intermedia y alta HL, que no está necesariamente determinada por características demográficas básicas, pero sí puede estar relacionada con la variable de cobertura médica. Estos hallazgos resaltan la importancia de incorporar la alfabetización en salud, en el diseño de políticas públicas y programas de intervención focalizados, con el fin de contribuir en la reducción de inequidades en salud bucal.

Palabras clave: Alfabetización en salud- Determinantes sociales- Equidad

129. Conocimientos, actitudes y percepciones de odontólogos sobre la salud bucal de personas mayores.

Ferrarini S*1, Salgado P2, 1, 3, Aredes J4, Squassi A2, 1, 5, Cornejo C2, 1, 3

1. Universidad de Buenos Aires, Facultad de Odontología, Cátedra de Odontología Preventiva y Comunitaria. 2. Universidad de Buenos Aires, Facultad de Odontología, Instituto de Investigaciones en Salud Pública. 3. Universidad de Buenos Aires, Facultad de Odontología, Cátedra de Odontología Microbiología y Parasitología. 4. Universidad de Buenos Aires, Facultad de Odontología, Cátedra de Odontología, Cátedra de Odontología Integral del Adulto Mayor y Clínica de Prótesis Removible. 5. Consejo Nacional de Investigaciones Científicas y Tecnológicas (CONICET)

Objetivo: Describir los conocimientos, actitudes y creencias de odontólogos en relación con la atención y el cuidado de la salud bucal de personas mayores. Materiales y Métodos: Se realizó un estudio descriptivo-exploratorio con odontólogos en ejercicio en instituciones públicas y/o privadas de la Ciudad Autónoma de Buenos Aires. Fueron incluidos odontólogos con al menos 1 año de ejercicio y se excluyeron aquellos que no completaron la totalidad de los ítems del instrumento de recolección de datos. Se utilizó una muestra no probabilística por conveniencia, con participación voluntaria. Se aplicó una encuesta autoadministrada dividida en categorías: perfil profesional, conocimientos sobre patologías prevalentes, actitudes frente a la atención de personas mayores (PM) y barreras percibidas. Para las variables cualitativas se calcularon frecuencias y porcentajes; para las cuantitativas, medias, desvíos estándar e IC95%. Resultados: Participaron 119 odontólogos (84% mujeres) con una edad media 50 años. En cuanto al ámbito laboral, el 86,6% se desempeña en el sector privado y el 45,4% en el público. En relación con la percepción sobre la salud bucal de las personas mayores (PM), el 55% la consideró regular. El 12,5% informó que la mitad de su práctica diaria corresponde a este grupo etario. El 59,6% refirió un aumento en la demanda de atención. Los principales motivos señalados fueron malestar con prótesis (80,7%), afecciones periodontales (74,8%), caries radiculares (68,9%) y caries coronales (35,3%). Respecto a la actitud frente a la atención de PM, el 54,7% la describió como motivante, el 52,1% como gratificante y el 59,7% manifestó interés en capacitación en odontogeriatría. En cuanto a las barreras percibidas para la atención, los odontólogos identificaron factores económicos (83,2%), administrativos (73,9%), experiencias negativas (62,2%) y edilicios (58,8%). Finalmente, el 60,8% señaló que existe una oferta insuficiente de especialistas en odontogeriatria. Conclusión: Se identifican múltiples problemáticas bucales en las personas mayores, pero los odontólogos mostraron una actitud positiva hacia su atención y predisposición a capacitarse en odontogeriatría. Las barreras estructurales y de acceso limitan la calidad de la atención y requieren estrategias específicas de abordaje.

Palabras clave: Conocimientos, Actitudes y Práctica en Salud, Odontogeriatría, Salud Bucal

Financiamiento: PAIIO-FOUBA 2025-2027

130. Barreras y facilitadores para el cepillado dental en niños menores de 5 años: estudio preliminar.

Cornejo C*1, 2, 3, Alvaredo G2, Leyes C2, Kusevitzky M2, Squassi A1, 2, 4, Klemonskis G1, 2

1. Universidad de Buenos Aires, Facultad de Odontología, Instituto de Investigaciones en Salud Pública. 2. Universidad de Buenos Aires, Facultad de Odontología, Cátedra de Odontología Preventiva y Comunitaria. 3. Universidad de Buenos Aires, Facultad de Odontología, Cátedra de Odontología Microbiología y Parasitología. 4. Consejo Nacional de Investigaciones Científicas y Tecnológicas (CONICET)

Objetivo: Explorar la percepción de cuidadores de niños menores de 5 años sobre las barreras y facilitadores en la incorporación del cepillado dental. Materiales y Métodos: Se realizó un estudio exploratorio en un jardín de infantes con niños de 3 a 5 años. Se aplicó un cuestionario con preguntas abiertas y cerradas a los cuidadores. El cuestionario indagó barreras (resistencia del niño/a, falta de tiempo, desconocimiento de técnicas, costo de productos) y facilitadores (productos adaptados, rutina hogareña, acompañamiento familiar, actividades lúdicas, seguimiento profesional). Se calcularon frecuencias, porcentajes con IC95% para variables cualitativas y media, mediana y desviación estándar para cuantitativas. Resultados: Participaron 42 infantes, con una edad media de 3,7 años. El cuestionario fue respondido principalmente por madres (92,9%), con una edad media de 31,4 años; el 66,7% de los cuidadores tenía estudios secundarios y el 64,3% estaba laboralmente activo. El cepillado se inició entre el primer y segundo año de vida, siendo realizado por el cuidador en el 50%, con una frecuencia de dos veces/día en el 52,4%. Entre el 21% y 28% de los cuidadores señalaron que la resistencia del niño, la falta de tiempo, el desconocimiento de técnicas o el costo de productos no constituyen barreras. En cuanto a las estrategias implementadas, el 38,1% refirió actividades lúdicas, el 23,8% acompañamiento familiar y otro 23,8% no aplicaba estrategias específicas. Más de la mitad de los cuidadores identificaron la disponibilidad de productos adaptados, la rutina hogareña y las actividades dinámicas como principales facilitadores del cepillado. Conclusión: La incorporación del cepillado en niños pequeños dependería más de factores familiares y contextuales, como la rutina en el hogar, el acompañamiento y la disponibilidad de productos adaptados, que de barreras vinculadas a la resistencia infantil o al desconocimiento. Las actividades lúdicas y el apoyo familiar se perciben como facilitadores clave para consolidar el

Palabras clave: Cepillado dental, Promoción de la salud, Factores de riesgo

Financiamiento: PAIIO-FOUBA 2025-2027

131. Identificación de factores de riesgo de caries por entrevista en dos Facultades de Odontología en Argentina y España.

Oña JA*1, Casado Gómez I2, Martin A1, Mourelle Martínez MR2, Martín Morales JF2, Vazquez FR1, Gallardo López NE2, Saavedra Marban G2, Carletto Körber FPM1.

1. Universidad Nacional de Córdoba Facultad de Odontología. Departamento de Odontología Preventiva y Social. Odontopediatría "A". 2. Universidad Complutense de Madrid. Facultad de Odontología. Departamento de Especialidades Clínicas Odontológicas. Clínica Odontológica Integrada Infantil.

Introducción: El riesgo de caries por entrevista se refiere a la evaluación de factores de riesgo individuales que el profesional realiza a través de una conversación y exploración para determinar la probabilidad de que un individuo desarrolle caries. Objetivo: Identificar los factores protectores y de riesgo de caries por entrevista. Materiales y Métodos: La población de estudio constituida por n=116 niños de ambos sexos de 6 a 12 años de edad, que concurrieron en el último trimestre de 2024 a la cátedra de Odontopediatría "A", de la Facultad de Odontología Universidad Nacional Córdoba (FO-UNC) (n=60) y a la Clínica Odontológica Integrada Infantil de la Universidad Complutense de Madrid (FO-UCM) (n=56). Con consentimiento informado y asentimiento se aplicó un cuestionario de 14 ítems por entrevista al tutor. Se aplicó Chi2 de Pearson y test exacto de Fisher (p<0,05). Resultados: La edad promedio fue 9,3 ± 3,1 años, mayor en UCM que en la UNC (11± 2,9 vs 7,65 ± 2,1). El 56% de la muestra viven en una zona donde se administra fluoruro comunitario, por facultades las frecuencias difieren significativamente (10,7% UCM vs 98,3% UNC; p<0,05). El 66,4% de entrevistados señaló no tener dificultad para asistir al odontólogo, la situación en la FO-UNC fue más "desfavorable", presentando inconvenientes económicos el 46,7% de los casos (p<0,05). Los entrevistados afirmaron que sus niños se cepillan los dientes 2 veces/día, la frecuencia fue mayor en la FO-UCM (p<0,05). El 71,6% cepillan los dientes antes de ir a dormir, más en FO-UCM (85,7%) vs FO-UNC (58,3%) (p<0,05). El 77%, utilizaban dentífrico con 1000 ppm de flúor, similar en ambas universidades. Un 91,4% consumía bebidas azucaradas 1-2 veces/día, siendo mayor el consumo en FO-UNC vs FO-UCM (13,3% vs 3,6%; p<0,05). El consumo habitual de frutas/verduras fue 1-3 veces/día en ambos grupos comparados (97,4% p=0,25). Conclusión: Valorar los factores de riesgo modificables de caries es esencial para diseñar intervenciones multiestratégicas que tengan en cuenta la diversidad cultural de las comunidades.

Palabras clave: Factores protectores y de riesgo, entrevista, caries.

Financiamiento: Subsidiado por la Secretaría de Ciencia y Tecnología de la Universidad Nacional de Córdoba. Consolidar 2023.

132. Relación entre lesiones cariosas y variantes genotípicas AMELX rs17878486 y ENAM rs2609428: resultados preliminares.

Carnino Ferreccio ML, Bázaez GM, Gutvay AV, Magliano RO, Brunotto M, Busleiman F* Cátedra Operatoria II B Facultad de Odontología

Objetivo: Evaluar la relación entre lesiones cariosas activas, presentes en pacientes adultos, y la presencia de las variantes genéticas AMELX rs17878486 y ENAM rs2609428. Materiales y Métodos: Estudio transversal, en adultos de 18-60 años, ambos sexos, que concurren espontáneamente a Operatoria II-B-FO-UNC, años 2024-2025. Se establecieron dos grupos: Estudio: caries activas (n=36); Control: sin caries activas (n=44). El ADN fue aislado según Brunotto et al. 2006; y la genotipificación se realizó por PCR-ARMS según Reza-Khami et al. 2022. Además, se registraron variables socioeconómicas mediante el Índice de Graffar (IG) y dieta cariogénica. Pacientes que presentan enfermedades sistémicas, periodontitis, focos sépticos u otro tipo de patología bucal fueron excluidos. Los datos se describieron mediante frecuencias absolutas/relativas%, media/EE, mediana según tipo de variable. Se aplicó prueba Wilcoxon/Chi-cuadrado, fijando p<;0.05 para diferencia/asociación significativa, respectivamente. Estudio aprobado por CIEIS-FO-UNC (N°63-2025/31-2024). Resultados: Se observó una mayor presencia de caries activas en la zona oclusal de los dientes (p-Wilcoxon-apareado=0,0001). Los pacientes sin caries activas presentaron un puntaje significativamente menor de IG (p=0,0001). El puntaje de dieta cariogénica fue, en promedio, significativamente mayor (p=0,0224) en los pacientes con caries activas. En los pacientes con caries activas se observó la presencia del alelo mutado del gen ENAM-rs2609428; sin embargo, observamos una mayor frecuencia del genotipo salvaje en ambos genes. Conclusión: Aunque los resultados son preliminares y limitados por el tamaño de la muestra, podemos concluir que las características socioambientales y de salud bucal muestran una asociación entre las condiciones socioeconómicas bajas, un puntaje alto de dieta cariogénica y la presencia de caries activas. La presencia de ENAM-rs2609428 en algunos pacientes respalda la hipótesis de que esta variante genética puede comprometer la integridad del esmalte dental, ya que se conoce que esta variante puede afectar la microestructura del esmalte dental y consecuentemente, permitir el desarrollo de caries.

Palabras clave: Caries dental. Factores de Riesgo cariogénico. Polimorfismos genéticos

Financiamiento: SeCyT UNC

133. Acciones de cuidado en salud bucal y nutrición para personas mayores, (de la extensión a la investigación).

Isla C1, De la Vega D2, Escudero Cantcheff C*2

1. Ministerio de Salud. Dirección General de Personas Mayores del Ministerio de Desarrollo Humano. Universidad Nacional de Córdoba. 2. Facultad de Odontología. Universidad Nacional de Córdoba.

Introducción: El envejecimiento poblacional constituye uno de los mayores desafíos sanitarios y sociales actuales, incrementando la prevalencia de enfermedades crónicas y demandas de atención. La salud bucal y la nutrición son pilares fundamentales que inciden tanto en la funcionalidad como en la calidad de vida de las personas. Objetivo: Promover hábitos de autocuidado bucal y de alimentación saludable en adultos mayores. Materiales y Métodos: Este proyecto se desarrolló en el marco del Plan Córdoba Mayor, en Centros Integrales para Personas Mayores. Se realizaron talleres informativos y recreativos, consejería, revisiones clínicas con luz natural y referencia de atención odontológica. Los destinatarios directos son personas en situación de vulnerabilidad. Se evaluó experiencia de caries (CPOD). Resultados: Se llevaron a cabo el 78% de las actividades planificadas en los Centros Integrales. De los participantes, el 100% concurrió a actividades de promoción de salud bucal y alimentación saludable y el 81% recibió examen bucal y cepillo dental. El índice CPOD promedio fue 20,14, (muy alto según la OMS), con predominancia de piezas perdidas. El 79% de las personas declaró no haber asistido a control odontológico ni nutricional en el último año. Conclusión: En contexto de vulnerabilidad, la intervención logró la promoción de actividades de autocuidado bucal y alimentación saludable, pero el alto índice CPOD y la falta de controles de salud evidencian la necesidad de fortalecer la participación y el seguimiento continuo para mejorar la salud oral y nutricional de los adultos mayores.

Palabras clave: adultos mayores - salud bucal - nutrición

134. Determinación de los niveles de metaloproteinasas endógenas en relación a la progresión de caries según la clasificación de FDI: estudio preliminar.

Mirotti G*1, Lutri MP1, Monserrat N1, Caballero A1, Kraemer ME1, Piconi MC1, Roggio A1, Delgado A2, Sezin M1, Centeno V2 1. Cátedra de Operatoria I "A", FO-UNC. 2. Departamento de Ciencias Básicas, FO-UNC

Introducción: En los procesos de caries activa, la desmineralización provoca un cambio en el pH local. Las metaloproteinasas endógenas latentes se activan y participan en la degradación de la matriz dentinaria. Objetivo: Determinar la presencia de metaloproteinasas endógenas tipo 2 de la matriz dentinaria (MMP2) en diferentes estadios de progresión de las lesiones de caries clasificadas según la FDI. Materiales y Métodos: Dientes con caries en estadio 0, 1, 3, 4 (n=3 de cada grupo) se sumergieron en formol-PBS al 4% durante 48h y luego fueron seccionados longitudinalmente en sentido mesio-distal. Las secciones se descalcificaron en EDTA 5% durante 90 días. Luego del procesamiento histológico, cortes de 5-6 µm de espesor se colocaron en vidrios positivados. Las muestras se deshidrataron, se inactivó la peroxidasa endógena e incubaron con el anticuerpo1°, anti-MMP2 (sc-6838; Santa Cruz Biotechnology), 1:100 a 4°C (ON); se lavaron con PBS y posteriormente se incubaron durante 1 h con un anticuerpo 2º biotinilado conjugado con peroxidasa en una dilución 1:500. La detección se realizó utilizando 3,3'-diaminobencidina como cromógeno. Finalmente, las secciones se contra tiñeron con hematoxilina de Harris, deshidrataron, montaron con bálsamo de Canadá y observaron a un aumento de 40X utilizando un microscopio óptico con cámara digital y analizaron con Image J. La marcación positiva de MM2 se determinó tanto en dentina como en tejido pulpar y el grado de expresión se indicó como bajo, moderado o alto según porcentaje de células marcadas. Resultados: La detección inmunohistoquímica de MMP2 fue débil o indetectable en las muestras de lesiones en estadio 0 y 1. En contraste, en las lesiones de estadio 4 se observó una expresión evidente de MMP-2, localizada en la región periférica de la cámara pulpar, con mayor intensidad adyacente a la cámara. Aunque en las muestras de lesiones en estadio 3 se detectó MMP-2, el grado de expresión es menor en relación a lo observado en el estadio 4. Conclusión: El análisis preliminar de la expresión de MM2 en dientes con diferente grado de lesión, según la clasificación de la FDI, parece asociarse con la gravedad de la lesión de caries. Se están procesando más casos y profundizando el análisis de las mismas.

Palabras clave: Caries, Metaloproteinasas endógenas, Inmunohistoquímica

135. Comparación de estado de salud bucal entre pacientes sin y con TCA.

Juárez T1, Uasuf MM2, Alonso M2, López R3, Chaya R3, Granado A3, Castillo V3, Sotomayor L3, Páez R3, Guerrero J3, Iturre S*3 1. Biofísica FOUNT. 2. CEPTA SIPROSA. 3. Odontología Preventiva FOUNT

Introducción: Las pacientes con trastornos de la conducta alimentaria TCA (anorexia y bulimia), pueden presentar erosión dental, caries, enfermedad periodontal, xerostomía y cambio en el pH salival. Objetivo: Comparar el estado de salud bucal entre pacientes sin y con trastorno de alimentación (TCA) en San Miguel de Tucumán. Materiales y Métodos: Se evaluaron pacientes sin TCA (Grupo A) y con TCA (Grupo B). El examen clínico consistió en registro de índices: Placa de Löe y Silness (IP), Hemorragia al sondaje (IHS), Cálculo dental (ICS), Erosión BEWE, CPOD, y medición de pH salival (saliva no estimulada con pHchimetro digital). Los resultados fueron comparados estadísticamente test t. Resultados: Fueron evaluados 28 pacientes en cada grupo, Grupo A: edad X=23,32 (±4,78) 64,28% femeninos, IP=0,42(±0,31), IHS=0,25(±0,22), ICS=5,85(±4,97), BEWE=0,85(±1,58) C=2,53(±2,45) pH=7,483(±0,261) y Grupo B: edad X=21,10 (±8,89) 75,21% femeninos IP=1,07 (±0,54) IHS=0,27(±0,17) ICS=6,12(±5,5) BEWE=0,85(±1,18) C=3,53(±3,4) pH=7,061(±0,387). Existen diferencias significativas en las medias entre ambos grupos de IP, ICS, BEWE, y pH salival (test t p<0,0001) no se encontró diferencia significativa en IHS (p>0,696) y componente C (p>0,213). Todos los pacientes del Grupo A presentaban pH normal y 7 del Grupo B tenían pH moderadamente ácido. Conclusión: Existen diferencias significativas entre pacientes sin y con TCA en placa bacteriana, cálculos, erosión dental y pH salival.

Palabras clave: TCA – erosión dental – pH salival

Financiamiento: SCAIT parcialmente

136. Enfoques de aprendizaje y factores asociados en estudiantes de la Facultad de Odontología de la Universidad Nacional de Córdoba (cohorte 2025).

Gigena PC*, Berberian C, Cisneros MV, Martínez LD, Rhys K, Tomasi RA.

Universidad Nacional de Córdoba, Facultad de Odontología, SAIO Grupo Educación.

Introducción: Los enfoques de aprendizaje reflejan las estrategias y motivaciones que los estudiantes adoptan frente a tareas académicas. Se distinguen en profundos (orientados a la comprensión e integración del conocimiento) y superficiales (centrados en la memorización y el cumplimiento mínimo). Su análisis permite identificar patrones que orienten intervenciones pedagógicas más efectivas para mejorar la calidad del proceso educativo.

Objetivo/s: Caracterizar los enfoques de aprendizaje en estudiantes de primer y quinto año de la FO-UNC durante 2025, y explorar su asociación con variables sociodemográficas y académicas.

Materiales y Métodos: Estudio observacional, transversal y analítico. La población 997 estudiantes (767 de primer año y 230 de quinto). La muestra, calculada con 8% de margen de error y 95% de confianza, incluyó 131 estudiantes, convocados mediante 3 invitaciones por correo institucional. Se aplicó el cuestionario R-SPQ-2F (20 ítems, escala Likert 1–5) y encuesta sociodemográfica con variables como edad, género, situación laboral, responsabilidades, nivel educativo parental, conectividad, escuela secundaria, horas de estudio y percepción de bienestar. La participación fue voluntaria, anónima y con consentimiento informado. El análisis incluyó estadísticos descriptivos, pruebas χ^2 /Fisher, t de Welch/Mann-Whitney, Kruskal-Wallis y correlaciones de Spearman.

Resultados: Se analizaron 131 cuestionarios: 1° 78,6% (103); 5° 21,4% (28); femenino 86,3% (113). Puntajes globales (media): profundo 33,9/50 (DE 5,23); superficial 22,7/50 (DE 6,0). Enfoque predominante profundo 86,3%, superficial 10,7%, igual 3,1%. Por año: 1° 85,3% profundo (88) vs 5° 92,9% (26); diferencias no significativas (χ^2 /Fisher p>0,5). Bienestar: mejor bienestar asociado a menor superficialidad (Spearman p≈-0,20; p≈0,019) y tendencia a mayor profundidad. Horas de estudio: relación positiva con profundidad (p≈+0,23; p≈0,008) y negativa con superficialidad (p≈-0,27; p≈0,002). Trabajo y conectividad: sin asociaciones robustas.

Conclusión/es: En FO-UNC predomina un perfil profundo, estable en ambos extremos de la carrera. Los hallazgos respaldan intervenciones que fortalezcan estrategias profundas, apoyos psicoeducativos y tutorías tempranas dirigidas al subgrupo superficial, para promover aprendizajes significativos y equitativos.

Palabras clave: Aprendizaje, Estudiantes universitarios, Evaluación Educacional.

137. Enfoques de Aprendizaje en estudiantes de los dos últimos años de la Facultad de Odontología de la Universidad de Buenos Aires.

Mendel NB1*, Freiberg Hoffmann A2, Fuks AJ1, Fernández MG1.

1. Cátedra de Odontología Integral Niños FOUBA. 2. Universidad de Buenos Aires - Consejo Nacional de Investigaciones Científicas y Técnicas.

Objetivo/s: Analizar diferencias estadísticamente significativas en los enfoques de aprendizaje según las cohortes correspondientes a quinto y sexto año que cursan Odontología Integral Niños en 2025 y según género. Analizar la relación entre los enfoques de aprendizaje y el rendimiento académico.

Materiales y Métodos: Estudio transversal, de diferencias entre grupos y correlacional. Participaron los estudiantes de quinto y sexto año de la carrera de Odontología. Se aplicó la versión localmente adaptada del Cuestionario Revisado de Procesos de Estudio, Dos Factores (R-SPQ-2F; Freiberg-Hoffmann & Fernández-Liporace, 2016) para enfoques de aprendizaje profundo y superficial; y encuesta sociodemográfica y académica, previa firma de consentimiento, en horario habitual de clases. Para diferencias entre grupos de aplicó una prueba t de Student, mientras que para los análisis correlacionales se aplicó el coeficiente r de Pearson.

Resultados: La muestra quedó conformada por 292 estudiantes (17.4% varones y 82.6% mujeres) que cursan quinto (50.3%) y sexto año (49.7%), de entre 21 y 49 años (M= 27.07; DE= 4.18). No hubo diferencias significativas de los enfoques de aprendizaje entre estudiantes de quinto y sexto año. En relación a la diferencia en los enfoques para cada año según género, se observó una diferencia significativa en estudiantes de sexto año en el enfoque superficial a favor de los varones (Mvarones= 26.38, DE= 5.69; Mujeres= 23.52, DE= 5.64; t = -2.01, g = 140, p = .046). Con respecto a la correlación entre los enfoques de aprendizaje con el rendimiento académico según cada cohorte, se verificó asociación estadísticamente significativa (p < .05) solamente en alumnos de quinto año, siendo negativa con el enfoque profundo (-.202) y positiva con el superficial (.197).

Conclusión/es: En relación al rendimiento académico se observa una correlación negativa con el enfoque profundo y positiva con el superficial, en alumnos de quinto año. Hubo diferencias estadísticamente significativas en el enfoque superficial a favor de los varones, en sexto año.

Palabras clave: Enfoques de aprendizaje. Aprendizaje universitario. Educación universitaria.

138. Enfoque de aprendizaje en los trayectos formativos iniciales y finales en estudiantes de la carrera de Odontología de la Universidad Nacional de Rio Negro.

Preliasco M*, Davison MR.

Universidad Nacional de Rio Negro.

Introducción: Los estudios sobre enfoques de aprendizaje han demostrado su solidez en el análisis de la calidad de los procesos educativos (Entwistle E., Waterston S. 1988; Biggs J. 1990; Esteves 2020). Reconocer cómo cada estudiante aprende sirve para crear ambientes donde será posible aplicar estrategias didácticas que permitan al estudiante construir su aprendizaje y propiciar el aprender a aprender, de un modo acorde con los tiempos innovadores, que nos toca transitar, tanto a los estudiantes como al cuerpo docente.

Objetivo/s: Analizar los enfoques de aprendizaje (profundo y superficial) utilizados por los estudiantes de la Carrera de Odontología (CO) de la Universidad Nacional de Rio Negro (UNRN) en diferentes etapas del trayecto curricular.

Materiales y Métodos: La muestra, estuvo compuesta por 151 estudiantes, regulares, divididos en dos grupos: G1 cursantes de primer año (N=129) y G2 cursantes del último año de la CO (N=22). Todos los estudiantes completaron la totalidad del cuestionario R-SPQ-2F en forma voluntaria y anónima durante el mes de mayo (2025).

El instrumento: compuesto por 20 afirmaciones, divididas en dos escalas que corresponden a los enfoques superficial (ítems 3, 4, 7, 8, 11, 12, 15, 16, 19, 20) y profundo (ítems 1, 2, 5, 6, 9, 10, 13, 14, 17, 18) las respuestas emplean escala tipo Likert de 5 opciones (Justicia et al., 2008; Immekus and Imbrie, 2010; Socha and Sigler, 2014). Cada enfoque comprende dos subescalas (estrategias y motivaciones). El análisis estadístico incluyó frecuencias, porcentajes y pruebas no paramétricas (prueba T de Welch)

Resultados: Se encontró diferencias significativas (p=0.004) para el enfoque profundo(EP) entre el grupo G1 y G2 (media $EP_1=35.8+5.86$ vs $EP_2=39.5+4.89$) y no se halló diferencias significativas en G1 y G2 para el enfoque superficial(ES) por grupo (p=0.155).

El análisis del tipo de enfoque de aprendizaje y sus subescalas a) Profundo: estrategias (E) y motivaciones (M) para el enfoque profundo en G1 y G2 evidenció diferencia significativa (E p=0.016; M p=0.003); b) Superficial: (E) y (M) la diferencia no es estadísticamente significativa p=0.231 p=0.079 respectivamente.

Conclusión/es: El adentramiento de los estudiantes en la carrera de Odontología de la UNRN está significativamente asociado con un incremento en el uso de enfoques de aprendizaje profundo.

Palabras clave: enfoques de aprendizaje; trayectos formativos; educación superior.

139. Análisis de los estilos de aprendizaje en estudiantes de primer año de la carrera de Odontología.

Tomas LJ1*, Tomas PM2, Pollicina LM1, Azzarri MJ3, Vijandi VR1, Pablo GF4, Jordan S3, Picotti DL3, Moure MP3, Escobar Milesi PA5. 1.FOUNLP/Biofísica. 2.FOUNLP/Diagnóstico por Imágenes. 3.FOUNLP/Biomateriales. 4.FOUNLP/Histología y Embriología. 5.FOUNLP/Periodoncia B.

Introducción: Con la estimulación temprana, la experiencia vivida y los intereses personales, cada individuo desarrolla los procesos y competencias para aprender a modo de estilos de aprendizaje. El test de Kolb evalúa las formas de aprender de cada persona. Su conocimiento facilita la adaptación de estrategias de enseñanza y aprendizaje, como también poner atención en estudiantes con estilos de aprendizaje diferentes al de la cohorte.

Objetivo/s: Conocer los estilos de aprendizaje y su distribución en alumnos de primer año de la FOUNLP.

Materiales y Métodos: Se aplicó el test de Kolb a estudiantes de primer año de la carrera de Odontología durante el segundo cuatrimestre, previa explicación breve de su finalidad. Se consideraron 101 estudiantes. Paralelamente, se indagó sobre el origen geográfico, la procedencia escolar preuniversitaria y la edad. Los datos se tabularon en Microsoft Excel y se analizaron con el programa estadístico Stata 11.0. Se estableció un nivel de significación de $p \le 0,05$ para las comparaciones entre grupos.

Resultados: Se analizaron las respuestas del Test de Estilos de Aprendizaje de 101 estudiantes; la edad promedio fue de $18,9 \pm 1,2$ años. El 62,4 % correspondió al sexo masculino, el 64,3 % provino de colegios estatales y tres de cada cinco estudiantes eran del interior del país. Respecto a la forma de comprender y experimentar el aprendizaje, la mayoría lo hizo mediante la conceptualización abstracta (84,2 %) y la transformación de la experiencia a través de la experimentación activa. En general, el estilo de aprendizaje más frecuente fue el convergente (50,5 %), mientras que solo el 4 % se clasificó en el estilo divergente. En el grupo de mujeres se observó una baja representación de quienes perciben a través de la experiencia concreta (10,5 %), y no se registraron casos de procesamiento mediante observación reflexiva.

Conclusión/es: En el grupo de mujeres predominó el estilo de aprendizaje convergente. En los hombres, se observó una marcada tendencia a la percepción mediante la conceptualización abstracta (84 %), coincidiendo con el predominio del estilo convergente. No se encontraron diferencias estadísticamente significativas entre géneros en la forma de percibir o procesar lo aprendido ($p \le 0.05$).

Palabras clave: Estilo de aprendizaje, estudiantes, FOUNLP.

140. Evaluación de la permanencia de estudiantes de la Carrera de Odontología de la Universidad Nacional de Rio Negro (UNRN): Estudio Preliminar.

Preliasco M*, Davison A, Davison MR, Renou SJ.

Carrera de Odontologia Universidad Nacional de Rio Negro

Introducción: La permanencia estudiantil en la enseñanza superior es una problemática que exige la creación de políticas institucionales tendientes a fortalecer las trayectorias académicas y reducir la deserción.

Objetivo/s: Analizar los factores asociados con la permanencia de los estudiantes en la Carrera de Odontología- Universidad Nacional de Rio Negro (CO-UNRN).

Materiales y Métodos: Se realizó un estudio transversal en el que participaron estudiantes activos de la CO-UNRN (n=350) que aceptaron participar de forma presencial y voluntaria entre el 4 y el 15 de agosto de 2025. Se utilizaron dos instrumentos: cuestionario validado sobre factores de permanencia (Velázquez Narváez, 2017) compuesto por 71 ítems (escala de Likert) y relevamiento sociodemográfico y académico (OAC, 2011-2025). La muestra se analizó agrupada por año de ingreso y ciclo curricular. El análisis estadístico combinó descriptivos, pruebas de Shapiro-Wilk, Kruskal-Wallis y Wilcoxon (p<0.05).

Resultados: Encuestados: 338 estudiantes, 82,37% mujeres/17,63% varones; edad promedio ≤26 años (86%). Los factores vinculados a los lapsos de permanencia tuvieron medias entre 3.5 y 4.5 (escala Likert). Desde 2012, los ítems relacionados con Calidad de la carrera e Integración académica obtuvieron valores medios altos (4/4.5). En contraste, Aprobación de materias (1.8) mostró una dificultad clara en el rendimiento académico. El test de Kruskal-Wallis reveló diferencias significativas en las categorías de Autoeficiencia y Metas personales (p<0.05). Las categorías Calidad de la carrera y Condiciones económicas no se hallaron diferencias estadísticamente significativas.

Conclusión/es: La permanencia de los estudiantes en la Carrera de Odontología-UNRN está fuertemente ligada a la integración institucional y la motivación personal, aunque se ve condicionada por la autoeficiencia y la aprobación de asignaturas. En base a estos resultados y teniendo en cuenta las limitaciones de este estudio, se diseñarán e implementarán estrategias institucionales para lograr trayectorias más fluidas y con mayores tasas de egreso efectivo.

Palabras clave: Permanencia; Factores de la permanencia; educación superior.

141. Propuesta de dictado de la asignatura Anatomía Patológica con modalidad intensiva, dentro del programa de fortalecimiento académico FO-UNC.

Rocamundi MR*, Ferreyra de Prato RS. Cátedra Anatomía patológica A (FO-UNC)

Introducción: El Programa de Fortalecimiento Académico de la UNC (PFA-UNC) es una respuesta institucional que tiende a favorecer la permanencia, disminuir el desgranamiento y, por consiguiente, favorecer la disminución del tiempo de duración de la carrera. Este programa tiene como objetivo dictar espacios curriculares de manera intensiva durante períodos excepcionales, como los meses de verano (enero y febrero).

Objetivo/s: Exponer la experiencia del dictado de la asignatura Anatomía Patológica con modalidad intensiva (AP/PFA-UNC) durante enero y febrero de 2024.

Comparar el rendimiento académico de los estudiantes AP/PFA-UNC con el de los que cursaron en 2024 con la modalidad tradicional.

Materiales y Métodos: Estudio de Cohorte retrospectivo: 40 alumnos 2ºaño, 2025, inscriptos a AP/PFA-UNC (15 horas/semana; carga total: 120 horas, con modalidad híbrida, calificación con sistema de 100puntos/5créditos), destinado a cursantes de Anatomía Patológica que quedaron en condición de libres. El sistema de créditos es una medida que asigna un valor a las asignaturas y actividades de una carrera, reflejando la carga total de trabajo del estudiante (incluyendo horas de clase, estudio y prácticas). En Argentina se propuso una equivalencia de 1 crédito=25 horas.

Se utilizaron recursos presenciales (clases teórico-prácticas, seminarios y evaluaciones) y virtuales (Aula Virtual FO-UNC, de participación y resolución sincrónicas y asincrónicas). Los resultados académicos de esta asignatura se compararon con los obtenidos por la cohorte 2024 de Anatomía Patológica A FO-UNC con el dictado con modalidad tradicional (N=196). Los datos fueron analizados estadísticamente con prueba de Chi Cuadrado (x2 - Programa Graphpad y Excel).

Resultados: Completaron el cursado de la asignatura 21 estudiantes (52,5%) promedio 76.97, de los cuales 13 (32%) lograron un puntaje mayor a 75 puntos (corresponde a 75% de la calificación habitual). Al comparar los resultados académicos con el dictado tradicional, cohorte 2024 (curso completo = 64,95%, puntaje superior al 75%=11,34%), los resultados no fueron estadísticamente significativos ($x^2=0.701/p=0.40$).

Conclusión/es: El dictado de la Asignatura AP/PFA-UNC obtuvo un resultado académico similar a la materia impartida con la modalidad tradicional, por lo que se considera una opción válida para los estudiantes que no pudieron lograr la regularidad, fortaleciendo la permanencia y colaborando en disminuir el tiempo promedio de duración de las carreras.

Palabras clave: modalidad híbrida, modalidad intensiva, calificación por créditos.

142. Resiliencia y empatía. Niveles y relación en estudiantes de Odontología de la Universidad Católica DE Córdoba. Argentina.

Ulloque MJ*, Villalba SB, Foscarini MG, Quinteros S.

Facultad de Ciencias de la Salud. Universidad Católica de Córdoba

Introducción: La empatía es sustancial para mejorar la satisfacción del paciente y del profesional o estudiante, fortalece la confianza, aumenta la adherencia al tratamiento, y es pilar de la atención humanizada. La resiliencia se relaciona positivamente con la empatía.

Objetivo/s: Determinar niveles y relación entre las dimensiones de resiliencia y de empatía en estudiantes de odontología de la Universidad Católica de Córdoba (UCC).

Materiales y Métodos: Se trabajó estudio exploratorio, transversal. Se aplicó Jefferson Scale of Empathy-Health Professions Students y Escala de Resiliencia de Rasgos, validadas, a 250 estudiantes. Se determinó Media, DS, Asimetría y curtosis. Los valores medios fueron comparados con sus máximos (60 resiliencia; 140 empatía); se aplicó T-student. Se utilizó estimador Robust Maximum Likelihood (MLR) para análisis factorial confirmatorio. La consistencia interna se evaluó por Alpha de Cronbach y coeficiente Omega. Se aplicó modelo de ecuaciones estructurales. Los análisis fueron ejecutados con programas JASP v0.19.0 y R con interfaz RStudio. Aprobación Comité de Ética Universidad Andres Bello. Consentimiento informado fue firmado.

Resultados: Edad promedio M=20,87; SD=2,19 y F=20.86; SD=1.97. Las dimensiones de empatía presentaron: 60.8 (DS 6.53) Adopción de perspectiva(AP); 40.3 (DS 7.50) Cuidado Compasivo(CC); 7.83 (DS 2.59) Caminar en los zapatos del paciente(CZP). Las variables de resiliencia presentaron 13.2 (DS 3.82) Ingeniería(RI); 15.9 (DS 2.88) Ecológica(RE); y 12.7 (DS 3.88) Adaptativa(RA). Comparación entre los constructos: RI se relacionó positivamente a PA (0.9) y CC (0,18) y negativamente a CZP (-0,14). RE positivamente a PA (0,2) y CZP (0.5) y negativamente a CC (-0.14). RA leve y positivamente a PA (0.1), y negativamente a CC (-0.13) y CZP (-0.14); valores estadísticamente significativos (0.005).

Conclusión/es: Los estudiantes poseen los rasgos de capacidad de resistir un evento negativo sin afectar la expresión de la empatía asociada a la comprensión intelectual sobre el paciente. Pero la dimensión emocional de la empatía entra en déficit en el proceso de recuperación del equilibrio. Los resultados aportan evidencia empírica que respalda la necesidad de trabajar educación de ambos atributos en el currículo de los estudiantes de odontología examinados.

Palabras clave: resiliencia, empatía, estudiantes, odontología, ecuaciones estructurales.

Financiamiento: Secretaría de Investigación de la UCC.

143. Descubriendo el microscopio: un viaje del aula a la cotidianidad. Experiencia extensionista-educativa.

Plavnik LM1*, Fernández JE1, Fontana S1, Gómez Rosso MA1, Hernández A1, Hernández L1, Cetrari R1, Manzur J1, Oviedo MA1, Carballo M1, Salcedo Giacossa A2, Lucero R1.

1.Cátedra de Histología A. Facultad de Odontología UNC. 2.Escuela Ramón J Cárcano.

Introducción: De acuerdo a la experiencia extensionista junto con los docentes de la escuela primaria Dr. Ramón José Cárcano de Córdoba detectamos que las situaciones de aprendizaje de los estudiantes de 6º grado, estaban limitadas al ámbito escolar. sin un nexo con su utilidad en la vida cotidiana, y además una pobre autopercepción de los alumnos de sus posibilidades de estudiar en la universidad

Objetivo/s: Desarrollar acciones genuinas para los grupos a quienes van dirigidas, interinstitucionales y que involucren a estudiantes, docentes y familias de los alumnos del nivel primario, y del nivel universitario para promover en cada escolar una actitud crítica frente a la realidad, formulando y buscando estrategias para la resolución de situaciones empleando los saberes de ciencias naturales, y crear conciencia del derecho a la educación superior

Materiales y Métodos: La propuesta se concretó: 1- Creación de espacios de intercambio de docentes de ambas instituciones, presencialmente en la Escuela y con material virtual (videos). a- Diseño de una secuencia didáctica con eje en los seres vivos: células como unidad de vida. b- taller de entrenamiento para docentes primarios de observación microscópica de extendidos de mucosa bucal. 2- a- Actividades experimentales de 74 alumnos primarios de 6º: los docentes universitarios tomaron entre ellos muestras, se colorearon y los alumnos observaron y dibujaron. b- Visita de los escolares a la sala de microscopía de la Facultad de Odontología donde percibieron la dinámica de la Facultad y observaron al microscopio distintos tipos de preparaciones. c Elaboraron los alumnos primarios power points y /o afiches que se expusieron en la escuela al finalizar las actividades desarrolladas. 3- Reunión entre familias y docentes para conocer lo que sienten sobre las actividades concretadas, 4- Encuestas cualitativas abiertas estructuradas y exploratorias a alumnos primarios

Resultados: El 70% de los alumnos ampliaron sus conocimientos sobre células y su posible aplicación en situaciones cotidianas, el 75% manifestaron identificarse con el rol de investigador, y el 68% se veían concurriendo a la universidad. Se realizaron power points y afiches que dieron cuenta de lo aprendido e integrado.

Conclusión/es: Se corroboró una mayor concientización acerca que los conocimientos adquiridos en el aula se pueden aplicar en la vida cotidiana y además la visión de la posibilidad de tener acceso a través de la educación pública a una formación superior.

Palabras clave: Educación Participativa, Educación Contextualizada, Motivación.

144. Comparación clínica de dos métodos de remoción de caries en Odontopediatría.

Baggini C*, Fridman D

Cátedra Odontología Integral Niños.Facultad Odontología Universidad de Buenos Aires.

Introducción: La odontopediatría restauradora requiere por las características psicoemocionales de los niños, de técnicas simplificadas y menores tiempos operatorios

Objetivo/s: Comparar los tiempos de trabajo y la percepción del dolor entre la técnica químico-mecánica con Remove® y las técnicas convencionales con instrumental rotatorio para la remoción de caries en molares primarios.

Materiales y Métodos: Estudio experimental, comparativo y de diseño cuantitativo aprobado por el Comité de Ética FOUBA Nº 023/2025. Se incluyeron niños de 6 a 10 años sin compromiso sistémico que concurrieron por demanda espontánea a la Cátedra de Odontología Integral Niños (UBA) durante el periodo de abril a junio de 2025, con al menos dos lesiones cariosas oclusales en molares primarios que afectaban hasta la mitad superior de la dentina, confirmadas mediante radiografías periapicales. Los tratamientos fueron realizados por 2 operadores. Cada participante recibió ambos tratamientos: Grupo 1 (G1): Técnica químico-mecánica con Remove®; Grupo 2 (G2): Técnica convencional rotatoria. Se registró el tiempo empleado en segundos utilizando cronometro digital y la percepción del dolor según la escala de Wong Baker luego de cada prestación y en cada técnica. Los datos obtenidos fueron analizados mediante la prueba de Wilcoxon para muestras apareadas. Dado que se trata de una prueba no paramétrica, no requiere que los datos sigan una distribución normal, por lo que no fue necesario verificar este supuesto. Se adoptó un nivel de significación del 5%.

Resultados: La muestra quedo conformada por 20 niños (40 piezas dentarias), edad media de $8,15 \pm 1,60$ años ,50% sexo femenino. Las piezas fueron asignadas aleatoriamente a los grupos G1 y G2. No se observaron diferencias significativas en la percepción del dolor entre ambos tratamientos (p = 0,4835). El tiempo promedio fue significativamente mayor en G1 (650 segundos) en comparación con G2 (540 segundos) (p = 0.0017).

Conclusión/es: En esta muestra, aunque la percepción del dolor fue similar entre ambas técnicas, la químico-mecánica con Remove® resulto más conservadora aunque requirió un mayor tiempo de trabajo en comparación con la técnica rotatoria convencional.

Palabras clave: niños, caries, operatoria dental

145. Eficacia de mantenedores de espacio en pacientes pediátricos.

Melian KA*, Guanzini M, Ferrante A, Graue F, Biondi A, Cortese S Universidad de Buenos Aires, Facultad de Odontología, Cátedra Odontología Integral Niños

Introducción: Diferentes factores tales como tipo de dispositivo, cementado y seguimiento, entre otros, están relacionados con la efectividad de los mantenedores de espacio. Evaluar sudesempeño clínico es clave para obtener buenos resultados terapéuticos. Objetivo/s: Evaluar la longevidad, frecuencia y tipo de fracasos de los diferentes tipos de mantenedores de espacio (ME) utilizados en pacientes pediátricos.

Materiales y Métodos: Diseño descriptivo, prospectivo, longitudinal, aprobados por el Comité de Ética CETICA-FOUBA 018/2025. Se incluyeron todos los pacientes que recibieron mantenedores de espacio durante 2024 y que concurrieron a recitaciones. Las variables registradas fueron: tipo de ME, tiempo de control, erupción de piezas permanentes, condiciones del mantenedor (estable, descementado, rotura, lesiones ocasionadas, exfoliación). Se compararon éxitos y fracasos entre los diferentes tipos de ME mediante Chi 2 y OR.

Resultados: La muestra quedó conformada por 113 ME por pérdida prematura de 221 piezas primarias, pertenecientes a 87 niños que concurrieron a los controles a los 7 + 2,8 meses. Se controlaron: 51 arcos con bandas, 38 ME fijos simples con corona, 11 arcos con coronas y fantoches, 8 ME fijos simples con banda, 3 prótesis parciales removibles, 1 ME fijo simple con guía intralveolar y 1 arco con coronas. El 68,14 % no mostró problemas durante el periodo de control, cumpliendo con los objetivos del tratamiento, habiendo erupcionado 31 piezas permanentes. Los inconvenientes registrados fueron 27 descementados (incluyendo 2 extravíos), 6 roturas, 1 lesión de tejidos blandos y 2 exfoliación de la pieza pilar. Se observaron más fracasos en los ME múltiples comparados con los simples p= 0,14; OR =2,92. No se encontraron diferencias entre ME fijos simples con corona y fijos simples con banda (p=0.685). La mayoría de los fracasos se observaron en los ME fijos múltiples p= 0.047. El OR entre ME fijos simples con corona y arcos con bandas fue 6,35.

Conclusión/es: En esta muestra los mantenedores de espacio fueron efectivos, hallándose las fallas de cementado como el inconveniente más frecuente. Los mantenedores fijos múltiples mostraron mayores dificultades.

Palabras clave: Diente primario, Fracaso de tratamiento, Extracción dentaria

146. Análisis de mantenedores de espacio en pacientes con pérdidas prematuras de dientes primarios.

Hwang D*, Carrizo M, Mendel N, Fovakis K, Cortese S, Biondi A

Universidad de Buenos Aires, Facultad de Odontología, Cátedra Odontología Integral Niños

Introducción: La pérdida prematura de dientes primarios se produce cuando éstos se pierden o son extraídos antes del momento fisiológico de recambio. El uso de mantenedores de espacio es un tratamiento necesario que previene la pérdida de la longitud del arco, extrusiones dentarias y alteraciones estéticas y funcionales.

Objetivo/s: Analizar la frecuencia y el tipo de mantenedores de espacio instalados en niños con pérdidas prematuras de dientes primarios que recibieron atención en la cátedra de Odontología Integral Niños y la adhesión al tratamiento.

Materiales y Métodos: Diseño descriptivo, transversal aprobado por el Comité de Ética CETICA-FOUBA 018/2025.- Se evaluaron todas las historias clínicas con documentación completa de pacientes entre 2 y 12 años que recibieron tratamiento integral durante el año 2024. Se excluyeron los niños que recibieron mantenedores utilizados por oligodoncias o de piezas permanentes. Para cada paciente se registró: edad, tipo de mantenedor de espacio (ME), piezas primarias perdidas prematuramente, estadio de Nolla del germen de reemplazo y concurrencia a los controles. Los datos se ingresaron a una base de datos para su análisis estadístico mediante Chi-cuadrado y Test t de Student.

Resultados. La muestra quedó conformada por 175 niños entre 2 y 11 años (media 7,65 \pm 1,65) y 219 ME para 366 piezas primarias perdidas prematuramente (323 molares). Los gérmenes de reemplazo presentaron un desarrollo promedio de 5,68 \pm 1,17 según los estadios de Nolla, cubiertos por 2,9 mm \pm 1,67 de hueso. Las piezas primarias que con mayor frecuencia se perdieron precozmente fueron los molares inferiores (215), seguidas por molares superiores (108), incisivos superiores (40) y caninos (3). p < 0,05. El 96,8% de los ME fueron fijos, de los cuales el 52,51% fueron simples (un molar) instalados en niños de 6,78 \pm 1,41 años de edad, mientras que los múltiples se instalaron con edad de 7,20 \pm 1,92 (p = 0,083). Solo el 47,42% de los pacientes concurrieron a los controles a distancia.

Conclusión/es: En esta muestra, la mayoría de los mantenedores instalados fueron fijos y simples en niños que perdieron prematuramente piezas primarias, especialmente molares. Es necesario que los padres asuman el compromiso de concurrir a las recitaciones considerando que pueden provocar efectos no deseados si no se efectúan controles periódicos hasta la erupción de las piezas permanentes.

Palabras clave: niños, diente primario, extracción dental

147. Desempeño clínico de un alkasite en molares permanentes con Hipomineralización Molar.

Martínez KL*, Jimena Anchava J, Biondi AM, Cortese SG

Cátedra de Odontología Integral Niños, Facultad de Odontología, Universidad de Buenos Aires.

Introducción: La frecuencia de intervenciones restauradoras y la necesidad de retratamientos en piezas con Hipomineralización Molar es significativamente mayor que en dientes no afectados por las características clínicas y microestructurales propias de esta alteración. Los Alkasites surgen como una nueva alternativa de biomateriales para la restauración de estas piezas.

Objetivo/s: Evaluar el desempeño clínico de restauraciones en molares permanentes con HM utilizando un composite bioactivo (alkasite), Cention N® (Ivoclar Vivadent).

Materiales y Métodos: Diseño experimental y longitudinal aprobado por el Comité de Ética (CETICA-FOUBA 011/2024). Se incluyeron en el estudio dientes vitales con diagnóstico de HM. Tres operadores (Kappa > 0.7) realizaron 43 restauraciones (31 oclusales O y 12 de 2 o más superficies MS) en 36 pacientes, edad media 10,25 ± 2,44 años, utilizando Cention N con aplicación única previa de adhesivo Single Bond Universal 3M ESPE frotando durante 20 segundos en esmalte y dentina, seguido de fotopolimerización. La mezcla se realizó según instrucciones del fabricante. El comportamiento clínico de las restauraciones se evaluó en condiciones basales y en controles a 6, 12 y 18 meses, utilizando los criterios RYGE/USPHS modificados. Se compararon restauraciones de una superficie y multisuperficies mediante el test exacto de Fisher.

Resultados: En el control a 6 meses todas las restauraciones fueron alfa. En el segundo control, realizado sobre 23 restauraciones (17 O y 6 MS), 22 se categorizaron como alfa y una O se consideró fracaso por necrosis pulpar a los 10 meses, aunque la restauración se mantuviera alfa según los criterios clínicos (p=0,74). En el tercer control, realizado sobre 13 restauraciones (11 O y 2 MS), no se reportaron nuevos fracasos, indicando que todas las restauraciones evaluadas se mantuvieron clínicamente aceptables.

Conclusión/es: En esta muestra, Cention N® utilizado con sistema adhesivo y fotopolimerización mostró muy buen comportamiento en restauraciones de molares permanentes con HM a 18 meses. Serán necesarios estudios con seguimiento a más largo plazo.

Palabras clave: Niños, Biomateriales, Hipomineralización molar

148. Validación histológica de un modelo de ortodoncia experimental de fácil diseño y aplicación para el maxilar superior de la rata. Zavala E1*, Yamauchi M2, Barcenas C2, Ahmadi M1, Bozal C2

1.Cátedra de Ortodoncia, Facultad de Odontología, Universidad de Buenos Aires. 2.Cátedra de Histología y Embriología, Facultad de Odontología, Universidad de Buenos Aires.

Introducción: La aparatología ortodóntica validada y utilizada en nuestro laboratorio por años tiene por desventaja principal una técnica laboriosa para su confección y, en ocasiones, la pérdida o rotura del aparato en el tiempo de trabajo del mismo. Por ello es que el objetivo de nuestro trabajo fue desarrollar una aparatología ortodóntica para la rata joven de fácil diseño y aplicación que realice el movimiento dental y que además nos permita modificar la fuerza a ejercer.

Objetivo/s: El objetivo de nuestro trabajo fue desarrollar una aparatología ortodóntica para la rata de fácil diseño y aplicación que realice movimiento dental efectivo y nos permita modificar la fuerza a ejercer.

Materiales y Métodos: El diseño consta de un resorte de níquel-cromo de espiras cerradas de 0,8 mm. de diámetro, que se estira y se sujeta a las caras palatinas de los primeros molares superiores de la rata con ligaduras de acero inoxidable de 0,20 mm. de diámetro. En la región cervical del molar se talla un surco periférico con una fresa redonda de carburo-tungsteno de 0,5 mm de diámetro. La calibración de la fuerza se mide con un dinamómetro de presión-tracción. En este trabajo aplicamos fuerzas de 30 g. hacia palatino. Los aparatos se instalaron en animales que alcanzaron de 200 grs. de peso promedio y las eutanasias fueron a los 7 días.

Resultados: Se registraron las distancias entre las fosas mesiales y distales para determinar el movimiento. Se realizó procesamiento histológico de rutina de los maxilares superiores y se obtuvieron cortes buco-palatinos a nivel de los primeros molares. Los resultados obtenidos muestran que se obtuvo un movimiento dental efectivo (Distancia Fosas mesiales: I: 5.68±0.15, F: 5.45±0.19 p<0.05; Fosas Distales I: 5.78±0.15, F: 5.57±0.19 p<0.05) y con mínima rotación de los molares (Diferencia en la distancia Fosas mesiales-Fosas distales M: 0.23±0.082, D: 0.22±0.09 p>0.05). En las microfotografías observamos reabsorción ósea con presencia de osteoclastos del lado de presión y formación ósea con presencia de osteoblastos del lado de tensión y ensanchamiento periodontal del lado vestibular y compresión del lado palatino de forma uniforme indicando que la fuerza aplicada produjo un movimiento con poco volcamiento a palatino.

Conclusión/es: Los resultados obtenidos indican que la aparatología propuesta es útil para evaluar los efectos de fuerzas ortodónticas experimentales en ratas siendo de construcción sencilla, fácil instalación y alta reproductibilidad. Además puede ser usada en piezas dentales en diferentes grados de erupción, y la fuerza empleada puede ser regulada en su magnitud según la necesidad.

Palabras clave: ortodoncia experimental, fuerzas ortodóncicas, movimiento dentario

149. Variabilidad Morfológica en Cráneos Guanches mediante Craneotrigonometría.

Serafino MB*1, Méndez MG1, Mayocchi KA2

1.Cátedra Antropología Biológica II. Facultad de Ciencias Naturales y Museo. UNLP. 2.Laboratorio de Biología Molecular y Biotecnología FO UNLP

Introducción: La revisión del instrumental craneotrigonométrico resalta su valor como herramienta somatológica en el estudio de poblaciones humanas, al vincular la morfología craneal con procesos ontogénicos y filogenéticos en la evolución de los homínidos. Si bien las tecnologías modernas permiten mediciones más precisas y análisis detallados, el acervo cultural y científico de colecciones osteológicas históricas ofrece la posibilidad de recuperar datos inéditos sobre poblaciones extintas. Tal es el caso de los Guanches, aborígenes de las Islas Canarias, cuyo origen ha sido asociado a poblaciones Bereberes desde perspectivas lingüísticas, arqueológicas y genéticas, y que algunos autores han relacionado con el tipo Cromagnon debido a su marcada dolicocefalia.

Objetivo/s: Evaluar el sistema craneotrigonométrico en una muestra de cráneos Guanches, con el fin de analizar la posición de la pirámide facial y la morfometría craneal como indicadores de variabilidad intra-poblacional.

Materiales y Métodos: Se estudiaron 37 cráneos Guanches con mediciones realizadas por un único operador técnico. Se registraron cinco variables: (a) ángulo nasobasilar con el plano de Frankfurt (HFIV), (b) ángulos del basion en la pirámide facial (HFV), (c) ángulo de Klaatsch (Z) en relación al polígono neurocraneal, (d) longitud total diagonal vertical y (e) longitud del segmento superior diagonal.

Resultados: La posición horizontal de la pirámide facial (HFIV) mostró alta homogeneidad (media 90,08°, DS 2,61). La inclinación vertical (HFV) presentó mayor dispersión y sesgo negativo (media 28,19°, DS 4,02), lo que refleja variabilidad individual. La morfometría craneal exhibió una dispersión moderada, destacando la bimodalidad en la longitud del segmento superior diagonal, posiblemente asociada a la presencia de subgrupos dentro de la población.

Conclusión/es: La estabilidad de la pirámide facial en el plano horizontal contrasta con la variabilidad observada en la inclinación vertical y en las dimensiones craneales, lo que sugiere heterogeneidad morfológica en la población guanche. Estos resultados preliminares constituyen la primera etapa de un estudio comparativo de mayor alcance.

Palabras clave: morfometría-craneo-craneotrigonometria

150. Relación de amplitud de vías aéreas según cefalograma de McNamara con el overbite y overjet según Ricketts.

Azcona V*, Nart LJ, Trigo Humarán MM, Reynoso A, De Luca M, Sanchis S, Di Bartolo ML, Bielli MV, Castro Harries L, Figueroa L, Calvo S, Benitez LE, Salgado P, Vázquez D

Universidad de Buenos Aires. Facultad de Odontología. Cátedra Diagnóstico por Imágenes

Introducción: La evidencia científica indica que existe una relación entre el overbite y el overjet con la amplitud de las vías aéreas, aunque esta relación puede variar según el tipo de maloclusión. Los respiradores bucales tienden a presentar mayor overjet, menor overbite y menor ancho del arco maxilar. La corrección ortodóntica puede mejorar la amplitud de las vías aéreas superiores.

Objetivo/s: Evaluar la relación entre las vías aéreas superiores e inferiores en cefalograma de McNamara con overbite y overjet según Ricketts en paciente con distintos biotipos faciales.

Materiales y Métodos: Se analizaron todos los trazados cefalométricos realizados durante 2024 en la catedra de diagnóstico por imágenes de FOUBA y se seleccionaron todos los que pertenecían a pacientes que, sobre la misma telerradiografía, tuvieran hechos cefalograma de Ricketts, VERT y McNamara. Se volcaron en la base de datos los valores correspondientes a la amplitud de vías aéreas superiores e inferiores de McNamara, biotipo según VERT y overbite y overjet según Ricketts. Se comparó la relación de ambas amplitudes faríngeas con overbite y overjet en pacientes según cada biotipo con intervalo de confianza de la Rho de Spearman.

Resultados: Se analizaron 480 pacientes, 276 femeninos y 204 masculinos, entre 5 y 66 años; 200 braquifaciales (41.7%), 98 mesofaciales (20.4%) y 182 dolicofaciales (37.9%). Solo se observó relación negativa débil pero significante entre las vías aéreas superiores con las alteraciones en la mordida en pacientes dolicofaciales (p=-0.206 (p = 0,005; IC95%: -0,341 a -0,063)). En pacientes dolicofaciales severos entre vías aéreas superiores y overjet (p=-0.303 (p = 0,010; IC95%: -0,506 a -0,068)). Mientras que dolicofaciales suaves con overbite (p=0.381 (p = 0,005; IC95%: -0,598 a -0,112))

Conclusión/es: Estos resultados indican que una menor amplitud de la vía aérea superior se asocia a un aumento del overbite y el overjet en el biotipo dolicofacial, sin hallarse asociaciones estadísticamente significativas en otros biotipos faciales.

Palabras clave: Cefalograma, Vias Aereas, Overbite, Overjet

151. Estudio histológico de la actividad osteoclástica durante el movimiento dentario ortodóncico en ratas hipercolesterolemicas.

Reboredo GL*1, Galves FS1, Bárcenas CA1, Cacciagiu L2, De Lucca RC1, Rodríguez J1.

1.Cátedra de Histología y Embriología, Facultad de Odontología, Universidad de Buenos Aires. 2.Cátedra de Bioquímica general y Bucal, Facultad de Odontología, Universidad de Buenos Aires

Objetivo/s: Estudiar histológicamente la actividad de osteoclastos durante el movimiento dentario ortodóncico en ratas hipercolesterolémicas.

Materiales y métodos: Para ello, se utilizaron 9 ratas Wistar hembras de (80±10g) y se dividieron en 2 grupos: control (DC) e hipercolesterolemia (DHC). El grupo DHC recibió una dieta hipercolesterolémica durante 4 semanas mientras que el grupo control recibió dieta estándar (Cooperación SA) durante el mismo periodo. A la tercera semana de ensayo, bajo anestesia, se les extrajo una muestra de sangre y se les colocó un aparato de ortodoncia en el primer molar inferior izquierdo ejerciendo 25 gr de fuerza hacia mesial. Luego de 7 días de activado el aparato, bajo anestesia, se tomaron muestras de sangre y se eutanasió a los animales. Se extrajeron maxilares inferiores, se midió el movimiento ortodóncico y se procesaron histológicamente para la obtención de cortes orientados en sentido mesio-distal sobre los cuales se realizaron determinaciones histomorfométricas (altura de tabla mesial) e histoquímicas (N.Ocl total, N.Ocl TRAP+/mm). Los datos fueron analizados mediante el test T de Student (p<0.05).

Resultados: En cuanto al movimiento ortodóncico, se observó un desplazamiento del primer molar hacia mesial similar en ambos grupos (mm) (DC: 0.22 ± 0.06 ; DHC: 0.33 ± 0.05) (p>0.05) y no se encontraron diferencias significativas en la altura de la tabla mesial (mm) (DC: 1.95 ± 0.35 ; DHC: 1.95 ± 1.09). Se observó un aumento significativo en el número de osteoclastos/mm (DC: 7.0 ± 1.4 ; DHC: 14.1 ± 3.2) (p<0.05) y en la actividad de fosfatasa ácida tartrato resistente en la tabla mesial en el grupo DHC (N. Ocl TRAP+/mm) (DC: 2.8 ± 0.45 ; DHC: 12.4 ± 2.0) (p<0.05).

Conclusión/es: La actividad osteoclástica durante el movimiento dentario ortodóncico aumenta en situaciones de hipercolesterolemia.

152. Erosión dentaria. efecto in vitro del ibuprofeno en piezas primarias.

Faini ME*, Garbarino C, Teicher C, Nannini A, Lezcano C, Vitelleschi M, Simonetta G.

Facultad de Odontología de Rosario. Cátedra de Odontopediatría.

Introducción: Las suspensiones pediátricas medicamentosas pueden afectar la pérdida mineral y la morfología superficial del esmalte dental según la formulación y el tiempo de exposición.

Objetivo/s: Determinar el efecto del Ibuprofeno 2% sobre el esmalte de dientes primarios valorando la pérdida de peso y el aspecto macroscópico posterior a la exposición.

Materiales y Métodos: Estudio experimental in vitro de tipo caso-control con una muestra conformada por 33 dientes primarios sanos que se distribuyeron aleatoriamente en 3 grupos experimentales. Grupo A: Ibuprofeno 2 % (marca comercial); Grupo B: Ibuprofeno 2 % (genérico) y Grupo C: saliva artificial (control). Los dientes se sumergieron 1 minuto en las soluciones medicamentosas y posteriormente 3 minutos en saliva artificial durante 7 días cada 8 horas. Se registraron peso (balanza de precisión Boeco) y características macroscópicas con cámara fotográfica (Nikon Z8 105 Micro f2.8)) iniciales y finales según score de erosión. La comparación del peso entre los distintos grupos se realizó mediante la prueba de Kruskall-Wallis y las comparaciones antes y después se realizaron mediante la prueba de Wilcoxon. Nivel de significación: 0,05.

Resultados: La mediana del peso inicial y final de las piezas fue de 0,4 gr en el grupo A y de 0,3 gr en el grupo B y C. En los grupos A y B hubo una pérdida de peso de 0,1 cg estadísticamente no significativa. El score final fue 1 (esmalte liso y aspecto opaco) en el 90,9 % de los casos en el grupo B y en el 27,3 % para el grupo C y 0 en el grupo A. La presencia de surcos pigmentados se evidenció en el 54,54% de las piezas correspondientes al grupo B.

Conclusión/es: No se evidenció pérdida significativa de peso después de la exposición en las soluciones medicamentosas. Las características macroscópicas de brillo y pigmentación del esmalte se vieron alteradas debiendo profundizar en futuras investigaciones.

Palabras clave: erosión, suspensiones pediátricas, odontopediatría

153. Alteraciones eruptivas en dentición permanente a causa de piezas supernumerarias en pacientes pediátricos.

Guanzini M*, Ienco M, Safuri MF, Pavan V

Cátedra de Odontología Integral Niños, Facultad de Odontología, Universidad de Buenos Aires.

Objetivo/s: Identificar las características de las piezas supernumerarias, relacionarlas con la alteración en la erupción dental y la necesidad del tratamiento interdisciplinario.

Materiales y Métodos: Diseño observacional, retrospectivo y transversal. Criterios de inclusión: historias clínicas completas y radiografías panorámicas de pacientes entre 4 y 16 años que concurrieron entre 2005 y 2025 por derivación a la Cátedra de Odontología Integral Niños de la FOUBA por presencia de piezas supernumerarias (PS). Criterios de exclusión: pacientes con piezas supernumerarias erupcionadas y pacientes sindrómicos. Las variables registradas fueron: edad, sexo, cantidad de piezas supernumerarias por paciente, ubicación en el maxilar, forma del supernumerario, piezas permanentes retenidas y necesidad de tratamiento interdisciplinario. Se dividieron en dos grupos etarios: G1 (4 a 9 años) y G2 (10 a 16 años). Los datos obtenidos se analizaron mediante media, DS, intervalos de confianza del 95% y Chi cuadrado.

Resultados: La muestra quedó conformada por 174 niños, edad media 9,64 ± 2,52 años, 70,11% sexo masculino (62,70-76,82). La cantidad de PS halladas fue N=206, con una sola PS por paciente en un 89,65% (84,12-93,76), dos 6,32%, tres 1,14% y 4 o más 2,87%. El 84,47% se ubicó en el maxilar superior sector anterior, seguido por el 5,34% en el maxilar inferior sector posterior derecho. La forma más prevalente fue conoide 59,22%, molariforme 31,07% y suplementario 9,71%. El 57,28% se asoció a alteraciones de la erupción, sin diferencias significativas en relación con la edad (p=.587). Las piezas permanentes más afectadas fueron Incisivo central Izquierdo 45,68% e incisivo central derecho 42,59%. La necesidad de tratamiento interdisciplinario en G1 fue 20,19% y en G2 40,20%, con diferencias significativas (p=.0029).

Conclusión/es: Las piezas supernumerarias se presentaron con mayor frecuencia en varones, con una pieza por paciente, en el maxilar superior sector anterior y tipo conoide. Más de la mitad provocaron retención de piezas permanentes, siendo los incisivos superiores los más afectados. Los niños de mayor edad revelaron más necesidad de tratamiento interdisciplinario.

Palabras clave: supernumerario, conoide, molariforme.

154. Conocimiento sobre fluoruros e higiene bucal en acompañantes de pacientes pediátricos de COIN-FOUBA.

Altamura G*, Toscano M.

Cátedra Odontología Integral Niños. Facultad Odontología Universidad de Buenos Aires.

Introducción: La caries dental es altamente prevalente en la infancia, especialmente en contextos vulnerables. El flúor es clave en su prevención, pero su eficacia depende del conocimiento y de prácticas de higiene adecuadas en el entorno familiar.

Objetivo: Evaluar el conocimiento sobre fluoruros e higiene bucal en acompañantes de pacientes atendidos en la Cátedra de Odontología Integral Niños (COIN), FOUBA. Analizar su relación con variables sociodemográficas (edad y nivel educativo), y la concordancia entre conocimiento declarado y efectivo.

Materiales y Métodos: Estudio observacional, descriptivo y transversal, basado en una encuesta validada, estructurada y autoadministrada (CETICA FOUBA-P022/2025). Se incluyeron a los acompañantes mayores de 18 años durante una semana de atención intensiva a COIN–FOUBA. Se analizaron variables sociodemográficas, conocimientos sobre flúor, prácticas de higiene y fuentes de información. Se aplicó estadística descriptiva y chi-cuadrado (p<0,05).

Resultados: Se encuestaron 195 acompañantes (edad media: $39,6 \pm 9,1$ años), 80,8 % mujeres. El 68% tenía estudios secundarios o superiores y el 47,5 % concurría por primera vez. El 61,6 % manifestó conocer el flúor, el 49,6 % sabía que previene la caries y el 63,2 % desconocía la edad de inicio recomendada. El 52,8 % reportó uso de pastas con flúor, el 11,2 % desconocía si su pasta lo contenía. La principal fuente de información fue el odontólogo (84,2 %). El 100 % reportó uso de crema dental; el 59,2 % cepillado dos veces/día y el 59,2 % no empleaba hilo dental. No se hallaron asociaciones significativas entre edad o nivel educativo y el conocimiento sobre el flúor ni los hábitos de higiene (p>0,05). Sin embargo, quienes tenían estudios superiores mostraron mayor proporción de respuestas correctas sobre la función preventiva del flúor (58,3 %), cepillado \geq 2 veces/día (100 %) y uso de hilo dental (45,8 %). Se evidenció una asociación significativa entre conocimiento preventivo del flúor y uso de pastas fluoradas (p =0,007), y entre conocimiento declarado y efectivo (p = 0,04), al observar que muchos de quienes afirmaban conocer el flúor desconocían su función preventiva.

Conclusión/es: Los resultados reflejan conocimientos parciales sobre flúor y prácticas de higiene incompletas sin relación con edad y nivel educativo y una brecha entre el conocimiento declarado y el efectivo.

Palabras clave: conocimientos higiene fluoruros

155. Estado dentario y riesgo cariogénico en niños de 0 a 2 años.

Fernandez MG*, Fuks AJ, Matyus VM, Levy TN, Mendel NB

Cátedra Odontología Integral Niños. Facultad Odontología Universidad de Buenos Aires.

Objetivo/s: Evaluar y comparar el estado de salud bucal y factores de riesgo cariogénico en bebés entre 0 y 35 meses.

Materiales y Métodos: Estudio prospectivo, descriptivo, transversal. La población meta está constituida por 96 niños que concurren a un jardín maternal de CABA sin demanda de atención. La misma se dividió en grupos etarios (G1: de 0 hasta 23 meses, G2: 24 a 35 meses). Variables analizadas: presencia de placa visible, hábitos dietéticos y de higiene. Los padres autorizaron la participación de los niños firmando un consentimiento. Tres docentes de docentes de la Cátedra OIN de FOUBA previamente calibrados (KAPA: 0.8) realizaron examen clínico, visual, táctil. Se registró la presencia de placa visible (Habibian 2001), a partir de cuestionarios autoadministrados a los padres se registraron hábitos dietéticos y de higiene. Se estimaron intervalos de confianza al 95% (IC 95) para porcentajes mediante el método score. Para la comparación de frecuencias se utilizó la prueba Chi-cuadrado. Se fijó un nivel de significación del 5%. El trabajo fue evaluado por el comité de ética.

Resultados: Placa visible G1: 19.4% (8.5-36) G2: 40% (28-53), lactancia materna G1: 55.5% (38-71) G2: 21.6% (12-34), bebidas azucaradas entre comidas G1: 13.8% (5-29) G2: 41.6% (28-54), colecho G1: 56% (39-72) G2 58% (45-70). En G1 se encontró asociación significativa entre presencia de placa visible y colecho (G1: p= 0.003), también se encontró asociación significativa entre presencia de placa visible y lactancia materna (G1: p=0.003, G2: p= 0.04).

Conclusión/es: La población analizada presenta placa visible y hábitos dietéticos de riesgo cariogénico, , encontrándose asociación significativa entre colecho y placa visible, y lactancia y placa visible

Palabras clave: placa visible, hábitos dietéticos, bebés

156. Alteraciones del ciclo vital del diente en serie primaria y permanente presentes en una población de la Ciudad de Córdoba. Resultados preliminares.

Ochonga GE*1, Castro MC2, Aramayo ML3, Morales L3, Marini HD3.

1.Facultad de Odontología UNC. Cátedra de Odontopediatría. 2.Facultad de Odontología UNC. Cátedra de Odontopediatría A. 3.Facultad de Odontología UNC. Cátedra de Odontopediatría B.

Introducción: Las anomalías histológicas y morfológicas del desarrollo dentario tienen gran relevancia en odontopediatría, ya que afectan estructuras dentarias, desarrollo oclusal y función en pacientes en crecimiento. La literatura las clasifica en categorías según forma, tamaño, número y posición. La odontogénesis inicia alrededor del día 21 posconcepción, y entre la tercera y octava semana de vida intrauterina ocurre el desarrollo facial. A la sexta semana, el epitelio oral de los maxilares prolifera originando las láminas dentarias, de las que surgen las yemas que darán lugar a los dientes definitivos. Este proceso constituye el ciclo vital del desarrollo dentario y puede alterarse en distintas etapas, generando anomalías específicas.

Objetivo/s: Analizar clínica y radiográficamente alteraciones dentarias en dentición primaria y permanente de niños que concurren a la Cátedra de Odontopediatría B, Facultad de Odontología, UNC.

Materiales y Métodos: Se seleccionaron 100 pacientes de 4 a 13 años, previo consentimiento informado y asentimiento. Se recopilaron datos clínicos y radiográficos: historia clínica (filiación, antecedentes generales y del sistema estomatognático), examen bucal (evaluación morfológica e histológica de piezas dentarias) y estudios complementarios (radiografías panorámicas, periapicales y fotografías extra e intraorales). Se excluyeron pacientes con síndromes o enfermedades sistémicas graves.

Resultados: Se analizaron preliminarmente 50 pacientes. Se observaron: hipomineralización (24%), rotación o alteración de posición (24%), supernumerarios (8%), hipoplasias y ectopias (6%), conoides y agenesias (4%). Por sexo, la rotación fue más frecuente en mujeres (p = 0.007). Por edad, la asimetría eruptiva mostró una tendencia cercana a la significancia (p = 0.054).

Conclusión/es: Sobre la mitad de la muestra, cincuenta pacientes, observamos: La anomalía más prevalente fue hipomineralización. Según sexo: hipomineralización más prevalente en varones, mientras que rotación y asimetrías más frecuentes en mujeres. Según edad, la prevalencia de ciertas anomalías varía (hipomineralización, asimetría eruptiva), con picos en grupo de 8–9 años. No se observó anomalía de Fusión. Se continuará analizando pacientes hasta completar la muestra propuesta.

Palabras clave: Ciclo vital del diente. Odontopediatría. Dentición Primaria. Dentición permanente.

157. Prevalencia de anomalías dentarias en pacientes pediátricos asistentes a la Cátedra de Odontopediatría "A".

Castro MC*, Gimenez Evjanian M, Quintana SV, Frola Lago G, Gorki AK, Yañez GM, Cortes M, Carletto-Körber FPM Cátedra de Odontopediatría "A". Facultad de Odontología. Universidad Nacional de Córdoba.

Objetivo/s: Determinar la prevalencia de anomalías dentarias de número en dentición permanente de pacientes pediátricos mediante el análisis de radiografías panorámicas digitales

Materiales y Métodos: Se realizó un estudio observacional, transversal y descriptivo. La muestra incluyó 692 radiografías panorámicas digitales (RPD) de pacientes de 4 a 14 años, asistentes a la Cátedra de Odontopediatría "A" de la Facultad de Odontología-UNC, período 2023 - 2025. Dos observadoras analizaron las RPD de manera sistemática siguiendo el sentido de las agujas del reloj para identificar la presencia de anomalías por exceso (supernumerarios) o por defecto (agenesia). Se registró edad, sexo, tipo de anomalía, elemento dentario comprometido y localización. Las anomalías dentarias se describieron mediante frecuencias absolutas y relativas, se calculó la prevalencia con intervalo de confianza 95% y Chi2 de Pearson y Fisher.

Resultados: En 92 individuos (13,3%) se identificó al menos una anomalía dentaria. Se detectaron 146 agenesias en 60 pacientes (n=36 mujeres y n=24 varones) y 11 dientes supernumerarios (mesiodens n=7 varones y n=2 mujeres y supernumerario distal n=1 varón y n=1 mujer). La edad promedio de los pacientes fue de 7,2 años. La prevalencia de agenesia fue 8,7%, mesiodens 1,3% y supernumerario distal 0,3%. Los elementos dentarios ausentes con mayor frecuencia fueron los segundos premolares superiores 9,2% y terceros molares superiores 8,6%. La agenesia fue más frecuente en mujeres (10,7%) que en varones (6,2%), las diferencias no fueron significativas (Chi2 exacto de Fisher p=0,15). La prevalencia de agenesias dentales varió significativamente con la edad (Chi2 de Pearson p<0,05).

Conclusión/es: Estos resultados respaldan la importancia del diagnóstico radiográfico precoz lo que nos permite identificar anomalías que pueden causar maloclusiones y poder planificar un tratamiento oportuno y eficaz.

Palabras clave: agenesia, supernumerario, radiografía panorámica digital.

158. Desarrollo de un instrumento gráfico de valoración de las condiciones eruptivas de la dentición permanente. Estudio formométrico.

Ochonga GE*1, Rugani ML2, Damiani PM2, Albornoz CI2, Villalba SB2, Rubial S2, Martínez MC1 1.Facultad de Odontología. UNC. Cátedra Odontopediatría B. 2.Facultad de Odontología. UNC. Cátedra Ortodoncia. A

Introducción: La erupción dentaria constituye un proceso fisiológico influido por múltiples factores locales y sistémicos, que se desarrolla durante la etapa de crecimiento infantil.

Objetivo/s: Identificar, analizar y representar gráficamente desviaciones en la secuencia, dirección y cronología de la erupción dentaria, con el fin de identificar riesgos eruptivos que puedan afectar la oclusión y el equilibrio funcional del sistema.

Materiales y Métodos: Se lleva a cabo un estudio observacional descriptivo sobre ortopantomografías de una cohorte de 350 niños, entre 5 y 13 años, que asisten a la Cátedra de Odontopediatría y Ortodoncia de la Facultad de Odontología de la Universidad Nacional de Córdoba durante el periodo 2025-2027. El estudio analiza las condiciones dentarias de los elementos permanentes y su relación con los elementos primarios. Se excluyen del análisis los terceros molares. Se cuenta con aprobación ética institucional y consentimiento informado de los tutores.

Resultados: Se recopilan variables clínicas como edad, sexo y condiciones oclusales y variables radiográficas como estadio formativo, posición y dirección dentaria, reabsorciones radiculares fisiológicas y patológicas, las cuales están en proceso evaluativo. Para la calibración radiográfica se utiliza el software Image-Pro Plus v4.5, el cual permitió generar un "Erupciograma" como representación gráfica del proceso eruptivo, desarrollado sobre una matriz cartesiana que registra y mide desplazamientos angulares, simetrías entre hemiarcadas y trayectorias dentarias.

Conclusión/es: Esta herramienta permite la visualización del comportamiento eruptivo en cada paciente y la identificación de patrones que se apartan de la normalidad facilitando el diagnóstico temprano y el seguimiento continuo del proceso eruptivo La información procesada a partir de los datos dentarios radiográficos categorizará las variables según el nivel de riesgo y orientará las decisiones clínicas con mayor precisión.

Palabras clave: Erupción dentaria. Riesgo Eruptivo. Morfometría. Ortopantomografía

159. Estudio de primeros molares y su relación con el estadio de Nolla en CBCT.

Pujol MH*1, Benitez L1, Castro Harries L1, Inkdevitch P1, Molachino R1, Nart L1, Ramirez MJ1, Salgado P2, Antoniuk A1, Azcona V1, Vázquez D1

1.Universidad de Buenos Aires. Facultad de Odontología. Cátedra Diagnóstico por Imágenes. 2.Universidad de Buenos Aires. Facultad de Odontología. Odontología Cat. Microbiología y Parasitología. Cat. Odontología Preventiva y Comunitaria; Universidad de Buenos Aires. Instituto de Investigaciones en Salud Pública

Objetivo/s: Analizar el estado general de la pieza dentaria y el estado apico-radicular.

Materiales y Métodos: Se tomaron 50 tomografías realizadas en la catedra de diagnóstico por imágenes de Fouba, los criterios de selección fueron: pacientes de entre 8 y 11 años de edad al momento de la toma, presencia de piezas 16 y 26 y que no sean portadores de aparatología ortodóntica. Se analizaron edad, sexo, estadio de erupción y estadio de nolla con medidas simétricas de asociación en tablas de contingencia.

Resultados: El análisis incluyó 100 piezas. El ANOVA mostró diferencias estadísticamente significativas entre la edad y el estadio de Nolla (p<0,001). En este rango etario el estadio 7 fue poco frecuente (3%), el estadio 8 apareció a los 8 años (50%), el estadio 9 predominó entre los 9 y 10 años (36,4% y 45%). El estadio 10 se presentó principalmente a los 11 años (72,5%), siendo el más frecuente en la muestra (49%). Las medidas de correlación confirmaron una asociación positiva y significativa entre edad y estadio de Nolla (Spearman r=0,492; Pearson r=0,501; p<0,001).

Conclusión/es: El análisis del desarrollo dentario mostró una progresión clara del estadio de Nolla con la edad, reflejando tanto el estado general de la pieza como su desarrollo apico-radicular. La edad de cierre apical más frecuente para los primeros molares superiores es a los 11 años

Palabras clave: Nolla, apice, cbct

160. Frecuencia del objetivo primario en los procedimientos endodónticos regenerativos utilizando un nuevo andamiaje. Serie de casos. Estudio preliminar.

Moya MA*1, Guitelman IC1, Martinez KL1, Alvarez SA1, Acosta S1, Rodriguez P2

1. Facultad Odontología. Universidad de Buenos Aires. Cátedra Odontología Integral Niños. 2. Facultad Odontología. Universidad de Buenos Aires. Cátedra Endodoncia

Objetivo/s: Evaluar el objetivo primario en los tratamientos regenerativos, utilizando un nuevo andamiaje.

Materiales y Métodos: Diseño experimental, aprobado por Comité de Ética (018/2021). Fueron seleccionados pacientes de 6 a 14 años sin compromiso sistémico, que presentaran piezas dentarias permanentes jóvenes con diagnóstico de necrosis pulpar y ápice incompletamente desarrollado, y concurrieran para su atención integral a la Cátedra de Odontología Integral Niños entre 03/2023 a 07/2025, brindaran asentimiento y sus responsables consentimiento. Se aplicó el protocolo de los procedimientos regenerativos (REPS) (AAE, 2021): 1° sesión, previa anestesia local y aislamiento absoluto, desinfección del conducto radicular mediante hipoclorito de sodio al 1,5%, seguido de EDTA y obturación con pasta de hidróxido de calcio. 2° sesión, irrigación con EDTA, sangrado intencional para la formación del coágulo, aplicación de la membrana dentro del conducto radicular (Ostium,Santa Fe, Buenos Aires, Argentina), seguido de la obturación del tercio cérvico-radicular con trióxido mineral agregado y resina como restauración coronaria. Se realizaron controles clínicos y radiográficos a los 3, 6, 12, 18 y 24 meses; considerándose como fracaso clínico: dolor, persistencia de fístula e inflamación de los tejidos blandos, y como radiográfico la persistencia de radiolucidez apical. Para la evaluación del éxito radiográfico de los tratamientos se consideró un evaluador externo experto en endodoncia.

Resultados: La muestra quedó conformada por 5 piezas dentarias, todas pertenecientes al grupo dentario incisivo y del maxilar superior. Edad media 10,4±2,79 años. El tratamiento reveló 100 % de éxito tanto clínico como radiográfico a los 3, 6 y 12 meses. A los 18 y 24 meses años asistieron 2 pacientes al control manteniendo los mismos resultados.

Conclusión/es: Los tratamientos realizados con el protocolo REPS y el nuevo andamiaje revelaron la resolución de los síntomas clínicos y evidenciaron reparación ósea. Se necesitarán estudios que amplíen estos resultados, con mayor número de casos y a largo plazo.

Palabras clave: Endodoncia regenerativa, necrosis de la pulpa dental. niños

161. Pulpotomía en molares primarios con láser diodo de baja intensidad. Estudio preliminar.

Zacharczuk GA*, Bernadó DS, Escobar SP1 Toscano MA

Cátedra Odontología Integral Niños, Facultad de Odontología, Universidad de Buenos Aires

Introducción: La pulpotomía en dientes primarios está indicada cuando el diagnóstico clínico y radiográfico evidencia pulpa vital con inflamación limitada a la porción coronal y cuando la pulpa radicular se considera sana o potencialmente recuperable.

Objetivo/s: Estimar el éxito clínico y radiográfico del láser de diodo de baja intensidad en comparación con MTA como agentes de pulpotomías en molares primarios

Materiales y Métodos: Estudio experimental, longitudinal y prospectivo realizado en la Cátedra de Odontología Integral Niños (2024-2025). Fueron incluidos 42 molares primarios con indicación de pulpotomía, de 29 niños de ambos sexos entre 3 y 9 años, sin compromiso sistémico y que junto con sus responsables legales brindaron el asentimiento y el consentimiento informado. Una vez amputada la pulpa coronal, se aplicó aleatoriamente MTA (PM, grupo control) o láser diodo de baja intensidad Woodpecker LX16 Plus (PL, grupo experimental), seguido de sellado con OZE y corona de acero. Dos profesionales (Kappa 0,94) realizaron y evaluaron los tratamientos a 1, 3, 6 y 12 meses. Se consideró éxito clínico la ausencia de dolor espontáneo, edema y movilidad no fisiológica, y éxito radiográfico la ausencia de ensanchamiento periodontal, reabsorción interna o externa patológica y radiolucidez interradicular.

Resultados: Se realizaron 20 PM y 22 PL que fueron evaluadas al mes, 3 y 6 meses. A los 12 meses se evaluaron 13 PM y 15 PL debido a que algunos pacientes no concurrieron a los controles y 1 PM y 4 PL exfoliaron (de acuerdo con la cronología normal y sin afectar al diente permanente). El éxito clínico y radiográfico fue del 100% para ambos grupos en todos los controles.

Conclusión/es: En esta muestra, el láser de diodo de baja intensidad mostró un éxito clínico y radiográfico similar al del MTA al ser utilizado como agente en pulpotomías de molares primarios. Serán necesarios estudios clínicos con tamaños muestrales mayores y evaluados a más largo plazo.

Palabras clave: Dientes primarios, Pulpotomías, Terapia por luz de baja intensidad

162. Detección de síntomas de SAOS en niños de 3 a 16 años.

Graziani YC*, Prenitune S, Gonzalez N, Jamardo V, Cecenarro B, Babino L, Pavan V Cátedra Odontología Integral Niños, Facultad de Odontología, Universidad de Buenos Aires

Introducción: El síndrome de apnea obstructiva del sueño (SAOS) es un trastorno respiratorio del sueño caracterizado por una combinación de uno o más síntomas.

Objetivo/s: Detectar síntomas de SAOS en niños de 3 a 16 años a través de una encuesta de sueño (Chervin 2000) Comparar el índice de Chervin entre pacientes con y sin antecedentes respiratorios

Materiales y Métodos: Diseño: observacional transversal prospectivo. Se seleccionaron aleatoriamente pacientes no sindrómicos que concurrieron a la Cátedra de Odontología Integral Niños y firmaron el consentimiento y asentimiento. Fueron excluidos los niños con SAOS confirmado por polisomnografía. Se registró en una planilla: sexo, edad y antecedentes médicos. Docentes calibrados realizaron el cuestionario de Chervin a los padres entre mayo y agosto de 2025. Los pacientes fueron divididos en dos grupos según el porcentaje de respuestas afirmativas a cada una de las preguntas del cuestionario: A) índice de Chervin positivo mayor que 0.33 y B) negativo menor que 0.33. Los datos fueron analizados por porcentaje con IC 95%, medias y DS y Test t de Student

Resultados: Se registraron 107 pacientes, edad: media 8.6±3 años. 50.47 % sexo femenino, el 30.19% (22.27 - 39.49) con antecedentes respiratorios y el 31.78% (23.72 - 41.10) Chervin positivo. El índice de Chervin medio fue significativamente mayor en pacientes con antecedentes respiratorios (0.36±0.23) que en aquellos sin antecedentes (0.21±0.18) (p = 0.002). Se analizaron las variables del cuestionario que dieron mayor al 50%: Ronca: la mitad de la noche A: 64.7%, B: 15.5%; siempre A: 52.9%, B: 8.6%; fuerte A: 50%, B: 4.2%. Se levanta con la boca seca A: 81.2%, B: 27.1%; cansancio matutino A: 67.6%, B: 21.1%; dificultad para despertar A: 70.6%, B: 26%; respiración bucal A: 66.7%, B: 19.7%. Alteraciones del comportamiento: dificultad para escuchar A: 75.5%, B: 9.6%; se distrae A: 97%, B: 40.3%; dificultad en la organización A: 58.8%, B: 12.3%; interrumpe A: 73.5%, B: 32.9%; tiene un motor A: 69.7%, B: 22.2%; se mueve todo el tiempo A: 73.5%, B: 26%.

Conclusión/es: Los resultados indican la asociación de alteraciones respiratorias ya diagnosticadas con síntomas de trastornos respiratorios del sueño no detectados que fueron derivados para su atención médica.

Palabras clave: APNEA, ODONTOPEDIATRÍA, ENFERMEDADES RESPIRATORIAS

163. Vinculación entre bruxismo de vigilia y desgaste dental en pacientes pediátricos.

Catanzariti MB*, Guitelman IC, Ienco M, Fridman DE

Universidad de Buenos Aires. Facultad de Odontología. Cátedra Odontología Integral Niños

Objetivo/s: Estimar la frecuencia del bruxismo de vigilia (BV) en pacientes pediátricos con dentición mixta y permanente, y vincularlo con las facetas de desgaste dentario.

Materiales y Métodos: Estudio prospectivo, observacional, comparativo y unicéntrico aprobado por el Comité de Ética FOUBA (CETICA FOUBA 012/2024). La muestra se conformó con pacientes de 10 a 16 años sin compromiso sistémico, atendidos en dos comisiones de la Cátedra de Odontología Integral Niños entre abril y julio de 2025. Se obtuvo asentimiento informado de los menores y consentimiento de sus responsables. El BV se identificó mediante seis preguntas de la lista de comportamientos orales (OBC). El desgaste dentario se evaluó con el Índice de Smith y Knight (IDD), (Kappa: 0,9). Se conformaron dos grupos: B (pacientes que reportaron BV) y NB (pacientes que no reportaron). Se calcularon medias, medianas, desvíos, rangos intercuartílicos (RIC), intervalos de confianza al 95% y se aplicó la prueba de Wilcoxon para comparar el desgaste en dentición primaria y permanente entre los grupos.

Resultados: La muestra se conformó por 71 pacientes. Edad media de $12,82 \pm 1,57$ años, con 60,56% sexo femenino. La frecuencia de BV fue 16,9% (IC 95%: 9,41-28,06). Solo 16 pacientes tenían dentición mixta, y solo uno con BV, lo que impidió analizar la evaluación en esta dentición. La mediana del desgaste en piezas permanentes fue mayor en el grupo B (0,299; RIC=0,251) que en NB (0,143; RIC=0,621), aunque la diferencia no alcanzó significancia estadística (p=0,27).

Conclusión/es: En esta muestra de pacientes pediátricos, no se encontró asociación significativa entre el reporte de bruxismo de vigilia y el desgaste dental.

Palabras clave: Bruxismo, desgaste dental, niños

164. Frecuencia y asociación del Bruxismo de vigilia con la angustia psicológica en pacientes pediátricos.

Soliani GN*, Fridman DE, Biondi C, Guitelman IC

Universidad de Buenos Aires- Facultad de Odontología- Cátedra de Odontología Integral Niños

Objetivo/s: Estimar la frecuencia del bruxismo de vigilia (BV) en pacientes pediátricos y vincularlo con la angustia psicológica a través de la cuantificación de la ansiedad, depresión y síntomas somáticos.

Materiales y Métodos: Estudio prospectivo, observacional, comparativo y unicéntrico (CETICA ...). La muestra incluyó pacientes de 10 a 16 años sin compromiso sistémico, que concurrieron por demanda espontánea a la Cátedra de ... entre abril y julio del 2025. Los niños brindaron su asentimiento y los adultos responsables el consentimiento para su atención. Para identificar el BV se utilizaron seis preguntas de la lista de comportamientos orales (OBC). Los pacientes fueron diagnosticados mediante los criterios CD/TTM, eje II, a través de la administración por parte de docentes de la cátedra de los cuestionarios validados PHQ-15, PHQ-9 y GAD-7, donde se evaluó la angustia psicológica a través de la medición de síntomas somáticos, depresión y ansiedad. Se conformaron 2 grupos: B (pacientes que presentaron BV de acuerdo al reporte) y NB (no presentaron). Se calcularon medias, medianas, desvíos, rangos intercuartílicos (RIC), porcentajes con sus intervalos de confianza al 95% y test de Wilcoxon y de Cochran-Armitage.

Resultados: La muestra se conformó por 71 pacientes, edad media de $12,82 \pm 1,57$ años, 60,56% femenino. La frecuencia de BV fue del 16.9% (9,41-28,06). La mediana de depresión fue 5 (RIC=6) en el grupo NB y 7.5 (RIC=4.25) en el grupo B, se observó una asociación significativa entre las variables (p=0.03). Con respecto a los síntomas somáticos y ansiedad no se registraron diferencias estadísticamente significativas entre los grupos B y NB, (p=0,15) y (p=0,18) respectivamente, aunque descriptivamente se visualizaron mayores valores de ansiedad y síntomas somáticos en B.

Conclusión/es: En esta muestra se hallaron diferencias significativas entre el reporte de BV y la depresión. Sin embargo, se requieren otros estudios para profundizar la relación entre las variables, con un mayor número de casos.

Palabras clave: bruxismo, niños, angustia.

165. Evaluación de la función respiratoria en pacientes pediátricos.

Gonzalez N*, Castro Graziani Y, Prenitune S, Jamardo V, Babino L, Cecenarro B, Pavan V Cátedra de Odontología Integral Niños. Facultad de Odontología- Universidad de Buenos Aires

Introducción: La respiración es un factor importante en el desarrollo cráneo-máxilo facial; la respiración nasal impacta en la oxigenación, el crecimiento corporal, el rendimiento cognitivo y la calidad del sueño. Por medio del cuestionario validado de Chervín, se pueden detectar síntomas de trastornos respiratorios del sueño en niños.

Objetivo/s: evaluar la función respiratoria en pacientes pediátricos que concurren a la Cátedra de OIN FOUBA y relacionarlo con el cuestionario de Chervín

Materiales y Métodos: Diseño: observacional transversal prospectivo. Se seleccionaron aleatoriamente pacientes que concurrieron entre mayo y agosto de 2025 y firmaron el consentimiento y asentimiento. Se excluyeron pacientes sindrómicos. Docentes calibrados (odontólogos y fonoaudiólogos) realizaron el cuestionario de Chervin a los padres. Se confeccionó una planilla documentando: sexo, edad, antecedentes médicos, registro de modo respiratorio bucal (B), mixto (M), nasal (N), registro de la permeabilidad, registro del flujo espiratorio (espejo de Altmann) y registro de niveles de confort, ciclos respiratorios evaluados según la respiración en cada narina (la prueba de Rosenthal) Métodos estadísticos: se analizaron mediante media, DS, y Chi cuadrado, test de Wilcoxon.

Resultados: Se registraron 107 pacientes, edad: media 8.6± 3.0 años. 50.47 % sexo femenino. Modo respiratorio: B 24,8 %, M 34,3 %, N 41,0 %. Flujo espiratorio: insuficiente 50,1 %, simétrico 51,9 %. Prueba de Rosenthal: narinas comprometidas: ambas 17,9 %, izquierda 46,4 %, derecha 35,7 %. Permeabilidad de ambas narinas: 78,8 %. Cuestionario de Chervin positivo: 31,78 %. En este grupo: B 69,2 %, M 36,1 %, N 6,9 %. Asociaciones: la regresión logística mostró asociación significativa entre SAOS y modo respiratorio (p=0,0001). El flujo espiratorio no fue significativo al 5 % pero sí al 10 % (p=0,097). No se observó asociación entre narina comprometida y SAOS (p=0,3281).

Conclusión/es: En la población estudiada, la disfunción respiratoria se asocia significativamente con síntomas de SAOS positivo, hallándose en mayor frecuencia el modo respiratorio bucal.

Palabras clave: odontopediatría-flujo respiratorio-respiración bucal

166. Análisis de la deglución con relación a las características anatomofuncionales del espacio orofaríngeo.

Cecenarro MB*, Graziani YC, Prenitune S, Gonzalez N, Jamardo V, Babino L, Pavan V

Cátedra de Odontología Integral Niños. Facultad de Odontología- Universidad de Buenos Aires

Introducción: El espacio orofaríngeo está conformado por el paladar blando, la lengua, los pilares amigdalinos, las amígdalas y la faringe, participando en funciones vitales como la respiración y deglución.

Objetivo/s: Evaluar la función deglutoria en niños de 3 a 16 años y relacionar con el espacio orofaríngeo en pacientes que concurrieron a la Cátedra de Odontología Integral Niños (FOUBA)

Materiales y Métodos: Diseño: observacional transversal prospectivo. Se seleccionaron aleatoriamente pacientes que concurrieron entre mayo y agosto de 2025 y firmaron el consentimiento y asentimiento. Se excluyeron pacientes sindrómicos y operados de amígdalas. Docentes calibrados (odontólogos y fonoaudiólogos) registraron en una planilla: sexo, edad, antecedentes médicos, valoración del espacio orofaríngeo, a través de la clasificación de Mallampati (Clase I-IV) y el tamaño de las amígdalas con la clasificación de Duran (grado 0-5); se registró el patrón deglutorio con inspección visual dividiéndolos en dos grupos: G1) normal y G2) disfuncional (incluyendo la contracción de los músculos periorales) Métodos estadísticos: se analizaron mediante media, DS y test de Wilcoxon.

Resultados: Se registraron 107 pacientes, edad media: 8.6 ± 3.0 años. 50.47 % sexo femenino. Se registraron 12 pacientes en G1 y 91 en G2. Hubo 4 pacientes para los cuales no se registró el tipo de deglución. Relación entre la valoración del espacio orofaríngeo y la deglución: G1) clase I: 33.34%, clase II: 50%, clase III y IV: 8,33% y G2) 20,9% clase I, 42.9% clase II, 23% clase III y 13,2% clase IV. La mediana del espacio orofaríngeo fue la clase II, tanto en el grupo con deglución normal como en la alterada. Relación entre el tamaño de las amígdalas y la deglución: G1) grado1: 33,3% y grado 2 el 66.7% Y G2) grado 0: 2.17%, grado 1: 23.9%, grado 2: 33.7%, grado 3: 20.7%, grado 4:13,1% y grado 5: 6.5% No se observaron diferencias estadísticamente significativas entre ambos grupos (p=0.1811) La mediana del tamaño de las amígdalas fue grado 2 tanto en el grupo de deglución normal como en el alterado.

Conclusión/es: Tanto en la deglución normal como en la disfuncional encontramos que la clase II y el grado 2 fueron los más frecuentes, no hallándose asociación significativa con el espacio orofaríngeo

Palabras clave: orofaríngeo, odontopediatría, deglución

166 A. Prevalencia de Hipomineralización Molar en niños de AMBA

Bertolino M*, Fridman D, Baggini C.

Cátedra de Odontología Integral Niños, Facultad de Odontología, Universidad de Buenos Aires.

Introducción: La hipomineralización molar (HM) se considera un problema de Salud Pública.

Objetivo/s: Estimar la prevalencia de HM en niños con y sin demanda de atención en AMBA en 2025 y compararlas con las de 2024 y 2011.

Materiales y Métodos: Diseño prospectivo, observacional y descriptivo incluyendo a todos los niños nacidos entre 2006 y 2016 con por lo menos 4 molares y 8 incisivos permanentes erupcionados. Se conformaron 2 grupos: Grupo A: pacientes asistidos en sistema público arancelado con demanda de atención espontánea COIN-FOUBA (A1), arancelado privado en tres consultorios de CABA (A2), y Grupo B: niños sin demanda de atención pertenecientes al departamento de Salud Garrigós (CABA). Los niños fueron evaluados por docentes de FOUBA Kappa (0,92) entre marzo y agosto de 2025. Se registraron las siguientes variables: edad, género, presencia de HM y grados de severidad de cada pieza. Los datos obtenidos fueron analizados utilizando medias, porcentajes con IC 95%, test de Chi cuadrado para la comparación de prevalencias y ANOVA para las edades.

Resultados: La muestra se conformó con 246 niños, edad media 12.36 ± 2.97 , siendo el 53.25% de género femenino con una prevalencia de HM de 31,71% (26.02-37.98). Grupos A1 (n=82), A2 (n=91) y B (n=73) registraron edades medias de $11,5\pm2,72$; $11,8\pm2,87$ y $13,2\pm3,12$ años respectivamente(p=0,0005). La prevalencia de HM fue de 48,8% (37,7-60,0), 29,7% (20,8-40,3) y 15,1% (8,12-25,8) en los grupos A1, A2 y B, respectivamente (p<0,0001). En relación al grado de severidad, los primeros molares revelaron mayor frecuencia de lesiones moderadas tanto en A (51,20%) como en B (77,8%). Las prevalencias estimadas en 2011(n=704), 2024(n=987) y 2025(n=246) fueron de 13,92,34,34 y 31,71% respectivamente (p<0,0001).

Conclusión/es: En esta muestra se observó un incremento en la prevalencia de HM comparada con la hallada en 2011, sin significancia con la de 2024. Los niños sin demanda de atención mostraron baja frecuencia, pero con lesiones moderadas como en 2024.

Palabras clave: Hipomineralización molar, prevalencia, primeros molares

167. Efecto quimioprotector de melatonina en mucosa yugal de ratas wistar en un modelo experimental de mucositis inducida. Estudio preliminar.

Rios D*, Morelatto RA, Rivoira MA, Porta DJ, Mazzeo MA, Bachmeier E. Cátedra Fisiología FOUNC.

Objetivo/s: Mucositis oral (MO) es una complicación aguda en pacientes sometidos a quimioterapia que afecta los tejidos blandos de la mucosa bucal en tratamientos por cáncer. Investigaciones clínicas y experimentales propusieron protocolos farmacológicos para minimizar efectos deletéreos en la cavidad bucal. Varios reportes describieron la acción de melatonina con poder antioxidante. Se evaluaron niveles de superóxido dismutasa (SOD) y de estrés oxidativo cuantificando peróxidos lipídicos y acuosos (PL y PA), en un modelo animal en el que se administró 5-fluorouracilo y leucovorina cálcica (5-FU+LV), con MO inducida y melatonina por vías local y sistémica.

Materiales y Métodos: Fueron utilizadas 50 ratas Wistar macho y hembra adultas en; G1: Control, G2: (5-FU+LV), G3: (5-FU+LV) y MO inducida, G4: (5-FU+LV), MO inducida y melatonina tópica al 3% sobre la mucosa yugal aplicado tres veces al día durante todo el tratamiento, G5: (5-FU+LV), MO inducida y melatonina sistémica una dosis diaria ip. de 5 mg/Kg pc durante todo el tratamiento. G2, G3, G4 y G5 recibieron una dosis conjunta de (5-FU+LV) i.p. 20mg/kg y 10 mg/kg pc respectivamente. Previo ayuno de 12 horas y bajo anestesia fueron extirpadas ambas mucosas yugales. SOD fue medida por espectrofotometría y PL-PA por su capacidad para reaccionar con naranja de xilenol. Análisis estadístico: ANOVA y test de Bonferroni, con p<0,05 significativo. Proyecto aprobado por CICUAL (FCM y FO – UNC).

Resultados: La actividad de SOD en G3 fue más baja con respecto a G4 y G5, p valor < 0,0001. La concentración de PL-PA fue superior en G3 con respecto a todos los grupos de tratamiento, p valor <0,0001.

Conclusión/es: Fue identificado daño oxidativo por 5-fluorouracilo y la capacidad protectora de melatonina sobre estos tejidos por la acción deletérea de este citostático a nivel experimental. La administración exógena de melatonina en la dosis ensayada permitió revertir el estado redox de la mucosa yugal.

Palabras clave: ratas Wistar, mucositis experimental, 5-fluorouracilo, leucovorina cálcica, melatonina.

Financiamiento: Proyecto Consolidar, SeCyT-UNC

Aprobado por Comité de Ética. No presenta conflicto de interés

168. Análisis preliminar del efecto dosis y tiempo-dependiente de vitamina D y NaF sobre la viabilidad de queratinocitos humanos normales HaCaT.

González Segura I*1, Chesta M1, Brunotto M1, Picotto G2, Centeno V1.

1. Facultad de Odontología, UNC. 2. Facultad de Medicina, UNC.

Introducción: La vitamina D exhibe propiedades antineoplásicas en diversos tipos de cáncer. Su mecanismo de acción se basa en la unión al receptor de vitamina D (VDR), ampliamente distribuido en tejidos como el epitelio oral. Contrariamente, el fluor en concentraciones elevadas induce efectos en diferentes tipos celulares.

Objetivo/s: Analizar el efecto citoprotector de vitamina D sobre la viabilidad de queratinocitos humanos normales expuestos a diferentes concentraciones de fluoruro de sodio (NaF), utilizando un ensayo de adherencia celular.

Materiales y Métodos: Se empleó la línea celular HaCaT (IMBICE-CONICET), sembrando 0,01 x 106 células en placas multipocillo. Se realizaron 2 tipos de protocolos: a) pre tratamiento con vitamina D 24h previo a NaF, b) administración simultánea Vitamina D y NaF. Las concentraciones empleadas de NaF fueron de 0,6, 2,5 y 10 mM durante 24 y 48h de tratamiento. La viabilidad celular se cuantificó mediante ensayo de Cristal Violeta a través de la medición por espectrofotometría a 570 nm. Los resultados se analizaron estadísticamente mediante ANOVA y prueba de Kruskal Wallis fijando un valor p<0,05 para diferencias significativas.

Resultados: La concentración NaF 0,6 mM no alteró la viabilidad celular durante los tiempos establecidos para ninguno de los protocolos. Vitamina D mostró un efecto citoprotector tiempo-dependiente en comparación al Control (24hs: 0.29 ± 0.02 vs 0.24 ± 0.008 ; 48 hs: 0.57 ± 0.05 vs 0.15 ± 0.01 ; p<0.05). NaF 2,5 mM y 10mM redujeron de manera dosis-dependiente la viabilidad celular respecto al control (NaF 2,5 mM, 48hs: 0.12 ± 0.002 vs 0.16 ± 0.01 ; NaF 10 mM, 48hs: 0.04 ± 0.003 vs 0.08 ± 0.005 ; p<0.05). Vitamina D fue capaz de neutralizar el efecto deletéreo de NaF 2,5mM a 24 y 48 h (24hs: 0.17 ± 0.007 vs 0.10 ± 0.002 ; 48hs: 0.20 ± 0.002 vs 0.12 ± 0.002 ; p<0.05); sin embargo, protegió parcialmente en la dosis máxima. La coadministración mostró efecto similar de Vitamina D en las concentraciones de NaF estudiadas en comparación a lo observado con el pre tratamiento.

Conclusión/es: Los resultados permitieron establecer el efecto Vitamina D y NaF dosis-tiempo dependiente en ambos protocolos, sugiriendo la importancia crítica del timing de administración y/o la combinación de distintas concentraciones de Vitamina D para optimizar su efecto.

Palabras clave: hacat - vitamina D - NaF - viabilidad celular

Financiamiento: FORMAR-PIDTA2024, SECYT-UNC. Aprobado por Comité de Ética. No presenta conflicto de interés

169. Impacto de terapias antitumorales sobre marcadores de estrés oxidativo en glándula Submandibular de ratas Wistar.

Dubersarsky CG1*, Porta DJ1, Rivoira MA2, Bachmeier E1, Mazzeo MA1.

1.Cátedra de Fisiología, Humana, Facultad de Odontología, UNC. 2. Instituto de Investigaciones en Ciencias de la Salud. INICSA-CONICET, Facultad de Ciencias Médicas, UNC.

Introducción: Actualmente se desconoce si el tratamiento conjunto de citostáticos y agentes anti-angiogénicos (bevacizumab) poseen algún impacto sobre las glándulas salivales alterando la homeodinamia del ambiente bucal.

Objetivo/s: Fueron analizados cambios en la concentración de algunos marcadores de estrés oxidativo tales como ácido úrico (AU), superóxido dismutasa (SOD) y peróxidos lipídicos y acuosos (PL y PA) en glándula submandibular (GSM) de ratas Wistar tras la administración de estos fármacos.

Materiales y Métodos: Se utilizaron 48 ratas macho adultas (300-350 g) que fueron divididas en seis grupos (8 en c/u): 1) Control: (C), 2): 5-fluorouracilo, leucovorina cálcica y oxaliplatino: (5-FU+LV+Ox), 3) bevacizumab: (Bv), 4) oxaliplatino: (Ox), 5): 5-FU+LV+Ox+ Bv administrados de manera asociada y 6) alimentación apareada (AA) para descartar el efecto de la ingesta reducida sin citostáticos. Previo ayuno de 12 horas y bajo anestesia fueron extirpadas ambas GSM. Se evaluó concentración de AU y SOD por espectrofotometría y PL y PA por su capacidad para reaccionar con naranja de xilenol. Análisis estadístico: ANOVA y test de Bonferroni, con p<0,05 significativo. Proyecto aprobado por CICUAL (FCM y FO – UNC). Resultados: La concentración de AU (mg/mg proteínas) fue G1: 1,34 ± 0,22, G2: 0,78 ± 0,08, G3: 0,94 ± 0.15, G4: 0,75± 0,20, G5: 0,63± 0,10 y G6:1,39± 0,38. Dicha capacidad antioxidante no enzimática, se vio disminuida por los tratamientos con citostáticos y la combinación de tales fármacos p valor: 0,001, 0,02 y 0,03 respectivamente. Bv no causó alteraciones significativas en este parámetro. Los niveles de SOD (U/mg proteínas) fueron: G1:0,76 ± 0,21, G2:0,59 ± 0,25, G3:0,47 ± 0,1, G4: 0,58 ± 0,14, G5: 0,66 ± 0,39 y G6: 0,49 ± 0,07. Citostáticos y Bv incrementaron la actividad de SOD en las GSM p valor: 0,0001 y 0,001 respectivamente, mostrando respuesta glandular ante el daño oxidativo. PL y PA sin cambios significativos en ningún grupo experimental.

Conclusión/es: Los tratamientos combinados de estos fármacos a nivel experimental alteran el equilibrio del sistema antioxidante en las GSM. Los tratamientos oncológicos con citostáticos y Bv modifican de manera diferencial los mecanismos antioxidantes en la GSM, mostrando un desequilibrio entre la respuesta enzimática y no enzimática de la batería antioxidante. Es crucial continuar investigando tales efectos sobre glándula parótida y en ensayos clínicos en saliva de pacientes oncológicos.

Palabras clave: Citostáticos, Bevacizumab, Glándula Submandibular, Ratas Wistar, Batería Antioxidante.

Financiamiento: SeCyT, UNC. (Proyecto Consolidar)

170. Análisis composicional del tejido dentinario en relación a la ingesta de micronutrientes en adultos jóvenes de Córdoba, Argentina.

Rocamundi MR1, Macagno G2, Juan RB2, Viotto JO1, Corominas OS3, Menutti L3, Monteleone P4, Rubio S5, Orozco Arcerito JI1, Bono MA6, Román MD2, Baró MA*1

1.Cátedra Anatomía Patológica Facultad de Odontología-Universidad Nacional de Córdoba. 2.Escuela de Nutrición Facultad de Ciencias Médicas- Universidad Nacional de Córdoba. 3.Cátedra de Cirugía III-FO-UNC. Servicio de Odontología -Hospital Privado Universitario de Córdoba. 4.Cátedra Od. Preventiva y Comunitaria II-Facultad de Odontología- Universidad Nacional de Córdoba. 5.Cátedra de Periodoncia B -FO-UNC. Servicio de Odontología -Hospital Privado Universitario de Córdoba. 6.Cátedra de Periodoncia A -Facultad de Odontología- Universidad Nacional de Córdoba

Introducción: La relación calcio/fósforo (Ca/P) constituye un marcador relevante para evaluar la mineralización ósea y dentaria. Una dieta desbalanceada puede alterar la homeostasis mineral y comprometer la estructura del tejido dentinario.

Objetivo/s: Analizar la relación Ca/P en tejido dentinario y la ingesta de micronutrientes, Ca y P dietario, en jóvenes de Córdoba, considerando posibles diferencias según el estado nutricional.

Materiales y Métodos: Se realizó un estudio observacional, descriptivo correlacional y transversal en una muestra de individuos de 16 a 30 años (n=25). Se realizaron exodoncias indicadas de premolares y/o terceros molares sanos y una entrevista personal para recabar datos sociodemográficos y de salud. Se aplicó un cuestionario de alimentación validado y el software Nutrio V2. La composición mineral del tejido dentinario se determinó por microscopía electrónica de barrido, a través de un detector de electrones (LAMARX, FaMaF - UNC), calculando la relación Ca/P. El análisis estadístico incluyó la estimación de las medias de consumo de alimentos, calcio y fósforo, con un IC de 95%, utilizando el software Stata V17.

Resultados: La muestra tuvo una edad promedio de 23,2 años (DE 3,9) y el 60% eran mujeres. Se observó una ingesta calórica media de 3200 kcal/día (DE:1190). El consumo medio de P fue 1894,8 mg/día (DE:739,6), superando ampliamente las recomendaciones (700 mg/día). El Ca presentó una media de 1045,6 mg/día (DE:604,0); sin embargo, el 73,3% de las mujeres y el 50% de los varones no alcanzaron los valores de referencia (1000 mg/día). La relación Ca/P media del tejido dentinario fue de 2,0 (DE:0,34), presentando una correlación positiva en relación al consumo de Ca (rs=0,68) y de P (rs=0,81). Además, se observó que, según el estado nutricional (IMC), en personas normopeso existe una mejor relación Ca/P del tejido dentinario, coincidiendo con un contenido óptimo de calcio dentinario (p<0,05).

Conclusión/es: La relación Ca/P dentinaria se mantuvo dentro de parámetros normales en el grupo, sin embargo el perfil alimentario evidencia consumos alejados de las recomendaciones nutricionales, mostrando un desequilibrio mineral (exceso de P y déficit relativo de Ca). Un IMC adecuado parece favorecer la proporciones de estos minerales en la dentina.

Palabras clave: ingesta de calcio, ingesta de fósforo, dentina, jóvenes adultos.

Financiamiento: SeCyT 33820230100067CB

171. Tratamiento con fitocannabinoides atenúa la pérdida ósea asociada a periodontitis.

Astrauskas JI*1, Rodas J1, Nuñez F1, Ossola C1, Fernandez Solari J2,

1. Cátedra de Fisiología, Facultad Odontología. Universidad de Buenos Aires. 2. Cátedra de Fisiología, Facultad Odontología. Universidad de Buenos Aires-CONICET

Introducción: La periodontitis (P) es una enfermedad inflamatoria crónica multifactorial, inducida por un biofilm disbiótico, que provoca el deterioro de los tejidos de protección e inserción dentaria, debido a los productos nocivos liberados por bacterias y a la respuesta inmunoinflamatoria del hospedador. En estudios previos demostramos que la estimulación de los receptores de cannabinoides atenúa el deterioro tisular causado por la P.

Objetivo/s: Evaluar el efecto de la aplicación tópica de aceite de cannabis rico en los fitocannabinoides CBD y THC (CANN) en proporciones 1:1, en ratas sometidas a P experimental (PE).

Materiales y Métodos: Se utilizaron ratas Wistar macho divididas en 3 grupos (n=7): control (C), PE y PE+CANN. La PE fue inducida en los primeros molares mediante 3 sesiones semanales de inyecciones gingivales de 20 µl de LPS de Escherichia coli (1 mg/ml) durante 6 semanas. Los tratamientos consistieron en aplicaciones tópicas diarias de 25 µl de CANN en las zonas con PE. Los experimentos realizados contaron con el aval del CICUAL de la FOUBA. Una vez eutanasiados los animales mediante inhalación de CO2, se extrajeron los maxilares inferiores para medir pérdida ósea alveolar asociada al primer molar inferior: 1) parámetros de pérdida ósea interradicular, a partir de imágenes bidimensionales seleccionadas de microtomografias (11µm pixel size) y 2) distancia entre el límite amelocementario y la cresta alveolar (LAC-CA) mediante técnica morfométrica con calibre digital. Los resultados obtenidos fueron analizados mediante test de ANOVA de 1 vía (IC 95%) y expresados como media±ES.

Resultados: Parámetros con microtomografias: BV/TV (% Volumen Óseo): C:45±1A, PE:22±3B, PE+CANN:29±1C. Tb.Th: (mmEspesor Trabecular):C:0.25461±0.00091A, PE:0.16009±0.00893B, PE+CANN:0.1883±0.00964C.

Tb.N (1/mm Número Trabéculas): C: 1.03±0.012B, PE: 1.03±0.012B, PE+CANN: 1.73±0.01C.

Técnica con calibre digital: LAC-CA(mm): C:4.16±0.27, PE:4.73±0.5, PE+CANN:4.01±0.14.

Diferentes letras indican diferencia significativa entre grupos.

Conclusión/es: Estos hallazgos sugieren el potencial terapéutico del compuesto estudiado para la mitigación del daño óseo alveolar causado por la PE.

Palabras clave: periodontitis, fitocannabinoides, tejido óseo

Financiamiento: UBACYT: 20020190100009BA

172. Caracterización del sistema endocannabinoide en células mesenquimales periodontales humanas.

Dmytrenko G, Salassa BN2, Murillo M3, Granese AM3, Fader Kaiser CM4, Farina M5, Fernandez Solari J1, Martinez MP*1, Correa F5, De Laurentiis A5

1.Cátedra de Fisiología, Facultad Odontología. Universidad de Buenos Aires. 2.Instituto de Histología y Embriología de Mendoza (IHEM) Dr. M. Burgos-CONICET-UNCuyo Facultad de Odontología, UNCuyo. 3.Centro de Estudios Farmacológicos y Botánicos (CEFYBO). 4.Laboratorio de la fisiología y la Fisiología del Glóbulo rojo. IHEM-CONICET-UNCuyo; Bioquimica General y Estomatológica, Facultad de Odontología, UNCuyo; Instituto de Investigación, Facultad de Ciencias Médicas, UDA. 5.Cátedra de Fisiología, Facultad de Odontología, UBA; Centro de Estudios Farmacológicos y Botánicos, CEFYBO-CONICET

Introducción: Se demostró presencia de los principales endocannabinoides —anandamida (AEA) y 2-araquidonilglicerol (2-AG)— en líquido crevicular de bolsas periodontales. El origen preciso de estos lípidos no se conoce, pero son sintetizados y degradados localmente, regulando respuestas pro- y antiinflamatorias en el microambiente tisular.

Se reportó expresión de receptores cannabinoides CB1 y CB2 en células mesenquimales del ligamento periodontal (CMLP), aunque no hay reportes de expresión de otros componentes del sistema endocannabinoide (SEC), como las enzimas de síntesis y degradación o sobre participación de posibles receptores alternativos

Objetivo/s: Caracterizar la expresión de componentes del SEC en CMLP, incluyendo las enzimas NAPE-PLD y FAAH, de síntesis y degradación de AEA respectivamente, y explorar posible existencia de las vías de señalización alternativas mediante TRPV1.

Materiales y Métodos: Se obtuvieron CMLP raspando superficie de premolares sanos extraídos con fines ortodónticos de pacientes jóvenes de ambos sexos previo consentimiento. Para confirmar potencial mesenquimático, se evaluó expresión positiva de CD90, CD73, CD105, ausencia de marcadores hematopoyéticos CD11b, CD45 y se confirmó potencial osteogénico con rojo de alizarina. Se realizaron ensayos de Western blot de extractos proteicos empleando anticuerpos policlonales anti CB1, CB2, TRPV1, NAPE-PLD y FAAH. Se utilizó extracto del cerebro de ratón como control positivo de la marcación para evitar la interpretación inespecífica y confirmar el correcto funcionamiento del anticuerpo.

Resultados: Se confirmó expresión positiva de receptores CB1 y CB2 y detectamos por primera vez la expresión de TRPV1 y FAAH en CMLP.

Conclusión/es: La presencia de TRPV1 indica que este canal podría participar como una vía de señalización alternativa. La detección de FAAH sugiere que CMLP son capaces de degradar localmente endocannabinoides, lo que podría permitirles autorregular su concentración en entorno pericelular. Estos resultados nos abren a futuro la posibilidad de estudiar la modulación del SEC en células mesenquimales en procesos de inflamación o reparación del ligamento periodontal.

Palabras clave: Sistema endocannabinoide, Ligamento Periodontal, Celulas mesenquimales

Financiamiento: UBACYT 20020190100164BA

173. Hiposalivación y consistencia dietaría: repercusión en el sistema estomatognático y reborde alveolar post exodoncia en ratas.

Astrauskas JI*1, Troncoso GR1, Bozzini C1, Fernandez Solari J2, Mohn CE2.

1. Cátedra de Fisiología, Facultad Odontología. Universidad de Buenos Aires. 2. Cátedra de Fisiología, Facultad Odontología. Universidad de Buenos Aires. CONICET

Introducción: La pérdida dentaria y el edentulismo representan un problema relevante en salud pública, especialmente en adultos mayores. La saliva cumple un rol esencial en la masticación, la biomecánica mandibular y la preservación del reborde alveolar tras la exodoncia. Alteraciones en su secreción, sumadas a cambios en la consistencia dietaría, pueden modificar procesos inflamatorios y de remodelado óseo, repercutiendo en la función estomatognática.

Objetivo/s: Evaluar la influencia de la hiposalivación inducida y de la consistencia de la dieta sobre la biomecánica mandibular y la reparación del reborde alveolar post-exodoncia en ratas.

Materiales y Métodos: Se utilizaron ratas Wistar macho (n=24), distribuidas en dos grupos: control (C, n=12) y submandibulectomizadas (SMx, n=12), estas últimas para inducir hiposalivación. Una semana después, a todos los animales se les realizó la exodoncia del primer molar inferior. Cada grupo se subdividió según la consistencia de la dieta: dieta blanda (DB, n=6) o dieta dura (DD, n=6). Se registraron ingesta y peso corporal; luego de la eutanasia se analizó el músculo masetero (masa), la biomecánica mandibular y los niveles inflamatorios en el reborde alveolar (PGE₂, TNFα, iNOS)

Resultados: La SMx no afectó la ingesta ni el peso, pero aumentó el desperdicio de alimento en los animales con DD (p<0.05 C DD: 1.88 ± 0.33 vs. SMx DB: 4.67 ± 0.58). El grupo SMx DD mostró un aumento de peso maseterino, mayor rigidez y resistencia mandibular. Estos grupos mostraron también incremento de marcadores inflamatorios (PGE₂, iNOS y TNF α). Las ratas alimentadas con DB mostraron un incremento superior de PGE₂ en comparación con aquellas con DD, sin diferencias atribuibles al estado salival.

Conclusión/es: La hiposalivación y una dieta inadecuada pueden inducir cambios inflamatorios y biomecánicos que comprometen la reparación alveolar tras la exodoncia, destacando la importancia de estrategias preventivas y rehabilitadoras en pacientes con alteraciones salivales.

Palabras clave: Consistencia dietaria, Exodoncia, Hiposalivación, Biomecánica.

Financiamiento: UBACYT N° 20020190200174BA

174. Manifestaciones secundarias de la periodontitis experimental con el tratamiento sobre el sistema endocannabinoide.

Ossola CA*1, Domínguez Walsh A1, Bozal C2, De Lucca RC2, Fernández Solari J1.

1.Universidad de Buenos Aires, Facultad de Odontología, Cátedra de Fisiología. 2.Universidad de Buenos Aires, Facultad de Odontología, Cátedra de Histología y Embriología

Introducción: En trabajos previos, nuestro grupo demostró que la estimulación de los receptores del sistema endocannabinoide (SEC) previene el deterioro tisular causado por la periodontitis experimental y atenúa el proceso inflamatorio subsecuente, mientras que su bloqueo los exacerba. Sin embargo, el impacto del tratamiento de la periodontitis experimental (PE) a través del SEC sobre parámetros extraperiodontales no ha sido estudiado.

Objetivo/s: Estudiar el efecto de la periodontitis y su tratamiento con araquidonoil serotonina (AA-5-HT), un agente con acción dual, inhibidor de la enzima amido hidrolasa de ácidos grasos (responsable de la degradación del endocannabinoideanandamida) y antagonista del receptor TRPV1 (asociado al dolor e inflamación) sobre parámetros extraperiodontales alterados durante la periodontitis.

Materiales y Métodos: Se utilizaron 21 ratas Wistar macho divididas en 3 grupos (n=7): 1) control (C), 2) periodontitis inducida por lipopolisacárido (PE) y 3) periodontitis por LPS más tratamiento con AA-5-HT (PE+AA). La PE fue inducida mediante tres sesiones semanales (días 1, 3 y 5) de inyecciones de 20 μl de LPS de Escherichia coli (1 mg/ml de solución fisiológica) en la encía circundante a los primeros molares superiores e inferiores durante 6 semanas. El tratamiento consistió en aplicaciones de AA-5-HT (1 μg/ml) en las zonas donde se indujo la PE. Luego de la eutanasia, se evaluó el peso de animales, la pérdida ósea alveolar macroscópica, se hicieron extendidos de sangre y se efectuó el análisis histológico de la glándula submaxilar (GSM) con H&E. Análisis estadístico: ANOVA de 1 vía y Kruskal-Wallis.

Resultados: La pérdida ósea alveolar, incrementada en las ratas con PE, fue prevenida con el tratamiento con AA-5-HT. Se encontraron cambios histoarquitectónicos en la GSM entre los distintos grupos. La PE ocasionó un aumento del número de leucocitos totales en sangre, mientras que el tratamiento con AA-5-HT lo atenuó de manera significativa (C: 14±2 células; LPS: 20±2 células; LPS+AA: 12±1 células por campo a un aumento de 40x).

Conclusión/es: El tratamiento de la PE basado en la aplicación tópica del agente de acción dual AA-5-HT no sólo mitiga el daño gingival y alveolar ocasionado por la PE, sino que también atenúa alteraciones secundarias, como los niveles leucocitarios, ocasionadas por la enfermedad.

Palabras clave: Periodontitis, sistema endocannabinoide, manifestaciones secundarias

175. Eficacia y estabilidad de las frenectomías linguales realizadas con laser de diodo. informe preliminar.

Archenti Y*, Morello F, Ramuno L, Antuña V, Barros A, Feser G, Funosas E.

Cátedra de Periodoncia. Facultad de Odontologia, UNR

Introducción: La técnica quirúrgica convencional conlleva ciertas complicaciones potenciales que el uso de láser de diodo podría mejorar en la estabilidad postoperatoria y la calidad de vida del paciente.

Objetivo/s: Comparar la eficacia y estabilidad de las frenectomías linguales realizadas con un láser de diodo en relación a la técnica quirúrgica con bisturí.

Materiales y Métodos: Se realizó un estudio controlado paralelo sobre 20 pacientes entre 6 y 17 años asignados a dos grupos (8 individuos en el GRUPO A y 12 individuos en el GRUPO B). Con diagnóstico de anquiloglosia según la clasificación de Kotlow et al. El GRUPO A fue sometido a un procedimiento quirúrgico convencional mediante bisturíes y el GRUPO B fue intervenido con LASER de DIODO de 810-980 nm. Las variables estudiadas fueron la percepción del dolor inmediatamente luego de la cirugía y a la semana mediante una EVA (Escala Visual Analógica), el tiempo de duración de cada acto quirúrgico expresado en minutos, los patrones de curación a las 48 hs de las cirugías expresados en los índices EHS (puntuación de curación de las heridas tempranas) con valores de 0 a 10 y evaluación de sus 3 subdominios CSR (signos clínicos de reepitelización) CSH (signos clínicos de hemostasis) y CSI (signos clínicos de inflamación) de Marini et al, una evaluación del PROMs (Medidas de los resultados reportadas por los pacientes) efectuada por un cuestionario cualitativo y cuantitativo de estructura semiabierta y una evaluación de la calidad de curación de los tejidos a los 2 años con el método de Landry et al.

Resultados: Variable EVA para el GRUPO A inmediato a la cirugía fue de 8(1,1), a la semana posoperatoria fue de 6(2,4) y para el GRUPO B fue 4(1,2) y 2(1,4) respectivamente. El tiempo que demandó cada cirugía fue para el GRUPO A de 34(7,4) minutos y para el GRUPO B fue de 14(3,7) minutos. EHS para el GRUPO A de 6,65(1,23) y para el GRUPO B de 9,42(2,1). Las PROMs para el GRUPO A de 2(1,3) y para el GRUPO B de 4(0,7). La evaluación de la curación a los 2 años fue para el GRUPO A de 4,12(1,01) y para el GRUPO B de 4,34(1,22).

Conclusión/es: Dentro de los límites del presente estudio los resultados sugieren que las frenectomías linguales realizadas con el láser de diodo son en todas las variables estudiadas superiores a las observadas por la cirugía convencional con una diferencia estadística y clínica altamente significativa.

Palabras clave: Frenectomía. Láser. Diodo

176. Impacto de la enfermedad periodontal en el rendimiento deportivo.

Pardini G*, Brusca MI, Gambetta V, Genero S, Castillo E, Tecca A, Garzon ML. Universidad Abierta Interamericana. Facultad de Ciencias de Salud Humana. Carrera de Odontología.

Introducción: En la enfermedad periodontal la biopelícula dental disbiótica puede elevar el riesgo de daño periodontal y aumentar los mediadores proinflamatorios, como IL-1 β , IL-6, IL -8, proteína C reactiva y TNF- α . Algunos de estos biomarcadores están relacionados con la fatiga muscular, el riesgo de lesiones deportivas y el estado de inflamación persistente en practicantes de ejercicio de alta intensidad.Los deportistas de elite reciben tratamientos médicos y kinesiológicos a menudo, pero pocos de ellos relacionan el cuidado de su cavidad bucal con el rendimiento deportivo. Numerosos estudios informan una alta prevalencia de enfermedades bucodentales en deportistas de élite como es la enfermedad periodontal. Sin un desbridamiento regular, la acumulación de placa disbiotica aumentar el riesgo de daño periodontal y aumenta los mediadores proinflamatorios, como IL-1 β , IL-6, proteína C reactiva y TNF- α . Estos biomarcadores están relacionados con la fatiga muscular, el riesgo de lesiones deportivas y el estado de inflamación persistente en practicantes de ejercicio de alta intensidad.

Objetivo/s: Nuestro propósito fue relacionar el estado periodontal con la frecuencia de calambres y desgarro en los deportistas del club San Lorenzo y de UAI Urquiza

Materiales y Métodos: Se evaluaron 60 deportistas de 18 a 35 años. Se les realizó una historia clínica odontológica con índices periodontales y se registraron desgarros y calambres

Resultados: El 29,5% presentó desgarros y calambres, y de este grupo, en el 19 % de los deportistas coincidió el mal estado de salud bucal

Conclusión/es: El estado bucal alterado incide negativamente en la cantidad y frecuencia de desgarros.

Palabras clave: desgarros; deporte de elite; rendimiento deportivo, periodontitis

Financiamiento

Proyecto subsidiado PS1. UAI – Secretaría de Investigación

177. Efectividad de dos métodos de debridamiento radicular realizado por estudiantes de grado. estudio preliminar.

Yamila Archenti Y*, Gianfrancesco R, Decco J, Boccio I, Feser G, Funosas E Cátedra de Periodoncia. Facultad de Odontologia, UNR

Introducción: El tratamiento periodontal no quirúrgico se basa tradicionalmente en la remoción del cemento infectado por la biopelícula dental que lo penetra e infecta.

Objetivo/s: Comparar y evaluar los resultados clínicos y la valoración del paciente del debridamiento subgingival realizado con dispositivo ultrasónico Woodpecker (WP)y de ultracirugía DTE (DTE).

Materiales y Métodos: El estudio tiene un diseño prospectivo, a simple ciego, de boca partida, randomizado, de un solo centro de estudio, en pacientes cuyo diagnostico comprende periodontitis en estadios 3 y 4. GRUPO US1 con WP y GRUPO USD2 con DTE. Ambos tratamientos con anestesia local. La muestra fue de 20 pacientes, edad media 52.7 años, 11 hombres y 9 mujeres, 4 fumadores. Las variables de medición fueron: profundidad de sondaje (PS), ganancia de inserción clínica (GI), hemorragia al sondaje (HS) y tiempo de trabajo por modalidad de tratamiento (TT). La valoración del paciente (PROMs) fue valorada por medio de un cuestionario dirigido con una escala 0 a 5. Todas las mediciones clínicas fueron tomadas por un único evaluador calibrado. Resultados: PS a tiempo cero fue de 6.4 ±0.3 para ambos grupos. La reducción PS a los tres meses US1 (1.4±06) y US2 (1.9±0.4) y a los seis meses USD1 (2.2±0.5) y USD2 (2.7±0.6). GI a los tres meses US1 (1.2±0.4) y para US2 (1.5±0.6) y a los seis meses US1 (1.6±0.3) y US2 (2.1±0.6). HS a tiempo cero fue del 98% en ambos grupos. A los tres meses US1 (43%) y US2 (31%). A los seis meses US1 (44%) y US2 (33%). El TT en minutos para cada diente US1 (6.7±1.5) y US2 (3.4±0.9). Las bolsas que cerraron con un cambio de PS ≥4mm HS(+)A PS ≤4mm HS(-) fueron US1 (77%) y US2 (81%) a los tres meses y US1 (85%) y US2 (89%) a los seis meses.PROMs para el tiempo de tratamiento fue US1 (2±0.7) US2 (4±0.4), para molestias intraoperatorias US1 (4±0.5) US2 (4±0.6), para sensibilidad posoperatoria US1 (3±0.5) US2 (3±0.4), para calidad de tratamiento US1 (2±0.6) US2 (4±0.7), para sangrado gingival US1 (4±0.6) US2 (4±0.5); siendo la puntuación total US1(3±1.4) y US2 (4±0.9),

Conclusión/es: Los resultados de este estudio sugieren que el debridamiento subgingival con dispositivo de ultracirugía DTE es más eficaz y mejor valorado que el realizado con ultrasonido convencional. Se necesitan más estudios para delinear nuevas estrategias de tratamiento.

Palabras clave: Debridamiento radicular - Ultrasonido - Valoración

178. Prevalencia de anomalías de desarrollo en radiografías seriadas de la Cátedra de Diagnóstico por Imágenes FOUBA. Loiacono R*1, Trigo Humaran M1, Vázquez D1, Salgado P2.

1.Cátedra de Diagnóstico por Imágenes FOUBA. 2.Cat. Microbiología y Parasitología. Cat. Odontología Preventiva y Comunitaria; Facultad de Odontología. Universidad

de Buenos Aires. Instituto de Investigaciones en Salud Pública

Introducción: Las anomalías dentarias de desarrollo tienen su origen en estadios tempranos del desarrollo embrionario. Es

necesario el diagnóstico temprano de estas anomalías para poder establecer un pronóstico y brindar un tratamiento adecuado para lograr un correcto estado de salud bucal.

Objetivo/s: Determinar la prevalencia de las distintas anomalías dentarias de desarrollo en 500 radiografías seriadas digitales del año 2023 de la base de datos de la Cátedra de Diagnóstico por Imágenes de la Facultad de Odontología de la Universidad de Buenos Aires

Materiales y Métodos: Dos observadores calibrados realizaron los registros de 500 radiografías seriadas digitales (RS) del año 2023, correspondientes a 500 pacientes, presentes en la base de datos de la Cátedra de Diagnóstico por Imágenes de la Facultad de Odontología de la Universidad de Buenos Aires. Todas las imágenes fueron adquiridas con el mismo equipo radiográfico. Se confeccionó una planilla excel tabulando las diferentes anomalías dentarias de desarrollo y los datos obtenidos fueron volcados allí para su posterior análisis estadístico.

Resultados: Del total de pacientes estudiados (n=500), se evidenció que las dos anomalías más frecuentes fueron la sinostosis radicular (108, pacientes, 21.6%) y la dilaceración radicular (108, pacientes, 21.6%).

Conclusión/es: Dentro de las radiografías observadas en este estudio, podemos concluir que las anomalías dentarias de desarrollo de la cavidad bucal presentan, en general, baja frecuencia. Esto no implica que no sea relevante su detección y diagnóstico para el correcto control, seguimiento y tratamiento de las piezas dentarias afectadas.

Palabras clave: radiografía seriada, anomalías dentarias de desarrollo, patología dentaria

179. Distribución de edentulismo en adultos mayores usuarios del sistema público de salud CABA: análisis en radiografías panorámicas.

Zabala AF*1;2;3, Gomez A2, Aubia MC3, Martinez CA3, Salgado PA4, Vazquez DJ2, Aredes JE3

1.Hospital Odontológico Dr. Ramon Carrillo GCBA, Planta Servicio de tercera edad. 2.Cátedra de Diagnóstico por imágenes, Facultad de Odontología, UBA. 3.Universidad de Buenos Aires. Facultad de Odontología. Odontología Integral del adulto mayor y clínica de prótesis removible 4.Universidad de Buenos Aires. Facultad de Odontología. Odontología Cat. Microbiología y Parasitología. Cat. Odontología Preventiva y Comunitaria; Universidad de Buenos Aires. Instituto de Investigaciones en Salud Pública

Introducción: El edentulismo en adultos mayores constituye un problema prevalente con impacto en la función masticatoria, la nutrición y la calidad de vida. Su análisis mediante radiografías panorámicas y la clasificación de Kennedy permite identificar patrones de pérdida dentaria, fundamentales para orientar la planificación protética.

Objetivo/s: Describir la prevalencia y distribución de las áreas desdentadas en adultos mayores atendidos en el sistema público de salud (CABA), mediante el análisis de radiografías panorámicas digitales.

Materiales y Métodos: Estudio cuantitativo , transversal descriptivo/analítico. Tres operadores calibrados (índice Kappa >0,90) analizaron 136 radiografías panorámicas de pacientes ≥65 años (84 mujeres, 61,8%; 52 hombres, 38,2%) atendidos en un servicio público de adultos mayores de GCABA. La clasificación de Kennedy se aplicó siguiendo las reglas de Applegate. Se calcularon frecuencias absolutas y relativas con intervalos de confianza al 95%.

Resultados: Se identificó un 80,1% de maxilares desdentados parciales. En el maxilar superior (MS) predominó la Clase II (28,0%), seguida de la Clase III (19,1%) y la Clase I (18,4%). En el maxilar inferior (MI) la Clase I (39,7%) fue la más frecuente, seguida de la Clase II (28,7%) y la Clase III (16,9%). El 21% de los pacientes presentó al menos un maxilar totalmente desdentado. No se observaron diferencias significativas por sexo, aunque el desdentado total fue ligeramente más frecuente en hombres.

Conclusión/es: El edentulismo parcial posterior fue la condición predominante, con mayor frecuencia de Clase II en el MS y de Clase I en el MI. Estos patrones, consistentes entre mujeres y hombres, reflejan la pérdida de pilares posteriores como el principal desafío rehabilitador en adultos mayores y subrayan la necesidad de estrategias protéticas específicas en el ámbito hospitalario público.

Palabras clave: Edentulismo; adultos mayores; clases de Kennedy; diagnóstico por imágenes; salud pública.

180. Estimación de la funcionalidad masticatoria mediante radiografía panorámica en adultos mayores: análisis de pares oclusales en un hospital público de CABA.

Zabala AF*1;2,3 Gomez A3, Aubia MC2, Martinez CA2, Salgado PA4;5;6, Vazquez DJ3, Aredes JE2

1.Hospital Odontológico Dr. Ramon Carrillo GCBA, Planta Servicio de tercera edad; 2.Universidad de Buenos Aires. Facultad de Odontología. Odontología Integral del adulto mayor y clínica de prótesis removible 3.Cátedra de Diagnóstico por imágenes, Facultad de Odontología, UBA. 4.Universidad de Buenos Aires. Facultad de Odontología. Odontología Cat. Microbiología y Parasitología. 5.Cat. Odontología Preventiva y Comunitaria; Universidad de Buenos Aires. 6.Instituto de Investigaciones en Salud Pública

Introducción: El número de pares oclusales, definidos como las relaciones funcionales entre dientes antagonistas en contacto durante la oclusión, es un indicador clave de capacidad masticatoria y función oral. Su análisis orienta decisiones clínicas en rehabilitación protética y permite discutir el concepto de "dentición funcional" en el ámbito geriátrico.

Objetivo/s: Estimar la prevalencia y distribución de pares oclusales en adultos mayores ≥65 años atendidos en un Hospital público de CABA, mediante análisis de radiografías panorámicas digitales. Materiales y Métodos: Estudio transversal descriptivo/analítico observacional sobre 136 radiografías panorámicas digitales de pacientes ≥65 años. Tres operadores calibrados (índice Kappa >0,90) registraron el número de pares oclusales anteriores (A), posteriores (P) y totales (T), considerando género. Los datos se analizaron mediante estadística descriptiva y chi-cuadrado de Pearson, con significación p<0,05. El protocolo fue evaluado y aprobado por el Comité de Ética de la Facultad de Odontología de la Universidad de Buenos Aires (CETICA-FOUBA 015/2025) Resultados: El promedio de pares totales fue 7,3 ± 4,9, mediana 8 y rango 0-16. Solo el 3,7% presentó 14-16 pares y el 30,9% alcanzó ≥10, compatibles con dentición funcional (OMS). En contraste, el 23,5% no presentó ningún par; un porcentaje idéntico conservó 4-6 pares y el 18,4% entre 7-9. El 33,1% no tuvo pares posteriores, reflejando compromiso de la capacidad de trituración. La conservación de pares anteriores fue más frecuente, con predominio en mujeres (58,2% vs 47,1%), sin diferencias significativas entre géneros (p>0,05). Conclusión/es: Solo el 30,9% de los adultos mayores alcanzó el umbral de dentición funcional definido por la OMS (≥10 pares), mientras que el 23,5% no presentó ninguno. La pérdida fue más marcada en el sector posterior (33,1% sin pares), en tanto que la conservación de pares anteriores fue más frecuente, especialmente en mujeres. Estos hallazgos muestran una disminución generalizada de la funcionalidad masticatoria y refuerzan la importancia de considerar los pares oclusales como criterio para la planificación de rehabilitación protética en el ámbito hospitalario público.

Palabras clave: pares oclusales, funcionalidad masticatoria, adultos mayores, diagnóstico por imágenes, rehabilitación protética

181. Estado bucodental en adultos mayores atendidos en un servicio de salud pública de CABA: estudio descriptivo mediante diagnóstico por imágenes.

Zabala AF*1;2,3, Gomez A3, Aubia MC2, Martinez CA2, Salgado PA4;5;6, Vazquez DJ3, Aredes JE2

1.Hospital Odontológico Dr. Ramon Carrillo GCBA, Planta Servicio de tercera edad; 2.Universidad de Buenos Aires. Facultad de Odontología. Odontología Integral del adulto mayor y clínica de prótesis removible. 3.Cátedra de Diagnóstico por imágenes, Facultad de Odontología, UBA. 4.Universidad de Buenos Aires. Facultad de Odontología. Odontología Cat. Microbiología y Parasitología. 5.Cat. Odontología Preventiva y Comunitaria; Universidad de Buenos Aires. 6.Instituto de Investigaciones en Salud Pública

Introducción: El estado bucodental en personas mayores constituye un indicador clave de funcionalidad oral y calidad de vida. El análisis radiográfico permite caracterizar la conservación dentaria y las necesidades de rehabilitación, información especialmente relevante en el ámbito público de salud. Objetivo/s: Describir el estado bucodental de adultos mayores atendidos en un servicio de salud pública de la Ciudad de Buenos Aires, a partir del análisis de radiografías panorámicas. Materiales y Métodos: Estudio observacional, descriptivo y transversal. Se analizaron 136 radiografías panorámicas digitales de pacientes ≥65 años. Se registraron: piezas presentes (P), coronas clínicas (C), piezas retenidas, restos radiculares (RR) y dientes endodónticamente tratados (DET). Se aplicó estadística descriptiva y comparación de proporciones (chi-cuadrado de Pearson) entre maxilares. El estudio fue evaluado y aprobado por el Comité de Ética de FOUBA (CETICA-FOUBA 015/2025). Resultados: En el maxilar superior (MS) la media de piezas presentes fue de 7,27 (mediana 8; P25=3; P75=12), con una media de 5,73 coronas clínicas (mediana 5). Los restos radiculares presentaron media de 0,37 (mediana 0) y los DET 1,02 (mediana 1). En el maxilar inferior (MI) la media de piezas presentes fue de 8,60 (mediana 9; P25=6; P75=11) y la de coronas clínicas 8,48 (mediana 9). Los valores de piezas retenidas, RR y DET fueron bajos, con medianas en 0. No hubo diferencias significativas en piezas presentes entre ambos maxilares (χ^2 , p>0,05), mientras que las coronas clínicas fueron significativamente más frecuentes en el maxilar inferior (χ^2 , p<0,001). Conclusión/es: Los resultados muestran que, en esta población de adultos mayores, la cantidad de piezas presentes es semejante entre maxilares, mientras que el número de coronas clínicas fue significativamente mayor en el inferior. Los restos radiculares y dientes endodónticamente tratados fueron escasos en ambos. Estos hallazgos fueron consistentes con el análisis estadístico, que mostró diferencia significativa únicamente en la distribución de coronas clínicas, lo que describe un perfil de dentición parcial conservada y rehabilitada, que evidencia necesidades de seguimiento protético y aporta datos objetivos para orientar la planificación de cuidados odontológicos en el sistema público.

Palabras clave: adultos mayores, estado bucodental, diagnóstico por imágenes, rehabilitación protética, salud pública.

182. Comportamiento diferencial del hueso axial y apendicular en ratas alimentadas con una dieta alta en sal durante el crecimiento.

Sosa De Lucca M1*, Di Cataldo S1, Lopez Quispe E1, Franzoni M1, Bozzini C2, Orzuza R1, De Lucca RC3, Cacciagiu L1, Friedman S1, Miksztowickz V1.

1.Universidad de Buenos Aires. Facultad de Odontología. Cátedra de Bioquímica General y Bucal. Unidad de Investigación de Bioquímica Traslacional y Metabolismo (UBiTyM). 2.Universidad de Buenos Aires. Facultad de Odontología. Cátedra de Fisiología. 3.Universidad de Buenos Aires. Facultad de Odontología. Cátedra de Histología y Embriología.

Introducción: La salud ósea depende de múltiples factores, entre ellos los nutricionales. Luego de la lactancia materna, la ingesta de sal supera las recomendaciones diarias debido al incremento en el consumo de alimentos ultraprocesados.

Objetivo/s: Estudiar la respuesta diferencial del hueso axial (mandíbula) y apendicular (fémur/tibia) al consumo de una dieta con alto contenido de sal durante el crecimiento.

Materiales y Métodos: Ratas Wistar macho se dividieron al destete en: Control (C, n=5), alimentadas con dieta comercial y Dieta rica en sal (DAS, n=6), con dieta conteniendo NaCl 8% por 8 semanas. El peso corporal y consumo calórico se registraron semanalmente. A t=final se recolectó orina de 24hs en jaulas metabólicas. Los animales se anestesiaron y eutanasiaron por punción cardíaca para la obtención de suero. Se extrajeron y pesaron las hemimandíbulas, los fémures y tibias. En las hemimandíbulas y tibias izquierdas se evaluaron las características histológicas y, en las hemimandíbulas y fémures derechos se analizaron las propiedades biomecánicas estructurales mediante el test mecánico de flexión a tres puntos con el equipo Instrom 4442. La longitud de la tibia (LT) se midió como parámetro de crecimiento. Se utilizó el test T de Student o U de Mann-Whitney y las pruebas de Pearson o Spearman para el análisis de datos. El protocolo fue aprobado por CICUAL-FOUBA.

Resultados: DAS presentó menor peso corporal final (DAS: 304 ± 45 vs C: 385 ± 57 gramos, p<0,001) y mayor ingesta de comida (DAS: $17,70\pm6,31$ vs C: $10,78\pm4,77$ grp<0,05), natriuria (DAS: $14,7\pm10,8$ vs C: $10,78\pm4,77$ grp<0,05), natriuria (DAS: 13,5 (6,2-17,4) vs C: 13,5 (1,11 $\pm0,37$ ul/min p<0,001). El peso de la mandíbula [DAS: 13,5 (0,49-0,61 g)], p<0,001), del fémur (DAS: 13,5 vs C: 13,5 (1,17 $\pm0,13$ g, p<0,01) y de la tibia (DAS: 13,5 vs C: 1

Conclusión/es: El consumo elevado de sal durante el crecimiento impacta negativamente en el metabolismo mineral, comprometiendo la calidad ósea, con un efecto más pronunciado en el hueso mandibular.

Palabras clave: tejido óseo, crecimiento, dieta alta en sal.

183. Efecto de la hipofunción tiroidea inducida por metimazol sobre las propiedades biomecánicas de la tibia con implante laminar oseointegrado en ratas: estudio preliminar.

Peccoud SM1*, Centeno V2, Filsinger A3, Croharé L4.

1.Cátedra de Prostodoncia IV B, Facultad de Odontología UNC. 2. Cátedra de Química Biológica, Facultad de Odontología UNC. 3.Cátedra de Prostodoncia III B, Facultad de Odontología UNC. 4.Departamento del Área de Biología Odontológica, Facultad de Odontología UNC.

Introducción: El hipotiroidismo es una disfunción endocrina frecuente, con mayor prevalencia en mujeres y en edades avanzadas pudiendo afectar procesos de remodelación y regeneración ósea. Aunque se ha estudiado su impacto sistémico, se desconoce el efecto específico sobre la oseointegración de implantes.

Objetivo/s: Analizar el efecto de la hipofunción tiroidea inducida por metimazol sobre las propiedades biomecánicas del hueso tibial en un modelo de implante laminar oseointegrado.

Materiales y Métodos: Ratas Wistar macho de 30 días (n=8) fueron asignadas aleatoriamente a dos grupos: control (C, agua de red) y tratado (HT, metimazol, SIGMA, 0,05% en agua) durante 4 semanas. Luego, se implantó quirúrgicamente una lámina de titanio en la tibia, Tree-Oss® (Cabrini et al., 1993). El tratamiento continuó por 30 días post cirugía, tras los cuales se realizó eutanasia. Previamente, se obtuvieron muestras de sangre para medir mediante autoanalizador (LACEvet): la actividad de enzimas hepáticas (GOT y GPT), parámetros del metabolismo fosfocálcico (FAL, fosfatemia, calcemia) y las hormonas tiroideas (T3/T4). Las tibias implantadas se extrajeron, radiografiaron, escanearon con alta resolución y analizaron morfométricamente empleando el software Image J y biomecánicamente (ensayo de flexión) con máquina de ensayos universal (DIGIMESS 8001). Los datos se analizaron con test "t "de Student y las diferencias se consideraron significativas a p<0.05.

Resultados: El tratamiento con metimazol (HT) produjo una disminución significativa de la ganancia de peso corporal (g) (HT, 15,5 \pm 8,8 vs. C,139 \pm 19,3; p< 0,05). Los animales HT mostraron niveles de T3, expresado en μ g/dL (HT, 38,3 \pm 2,4 vs. C,101,3 \pm 5,5; p< 0,05) y T4 (HT, 0,57 \pm 0,01 vs. C, 4,6 \pm 0,2; p< 0,05) más bajos en comparación con sus controles. No se observaron diferencias significativas en los niveles plasmáticos de GOT/GPT, calcemia y FAL entre los diferentes grupos. Se observó una disminución en todos los parámetros biomecánicos estudiados [fuerza de fractura, energía absorbida, deflexión] en la tibia con la lámina implantada de las ratas HT en comparación con las del grupo control (p<0,05).

Conclusión/es: Los primeros resultados sugieren que la condición de HT impacta negativamente en la calidad ósea pudiendo alterar la oseointegración del implante.

Palabras clave: metimazol - oseointegración - implantes laminares - hipofunción tiroidea

184. Respuesta mandibular y de los tejidos periodontales a la exposición subcronica de contaminantes aéreos en ratas desnutridas.

Bozal C1, Bozzini C2, Masci I3, Gorrini A4, Menegatti T4, Aguero Romero A2, Kurtz M3, Tasat D3, Lezon C2*.

1.Cátedra de Histología y Embriología, FOUBA. 2.Cátedra de Fisiología, FOUBA. 3.Instituto de Tecnologías Emergentes y Ciencias Aplicadas, Escuela de Ciencia y Tecnología, UNSAM. 4.Cátedra de Histología y Embriología, FOUBA.

Introducción: El equilibrio gingivo alveolar se encuentra condicionado por factores mecánicos, ambientales y nutricionales entre otros. La interacción entre un estado nutricional deficiente y ambientes contaminados (gases y material particulado-MP) deteriora la salud de una población vulnerable como son los niños.

Objetivo/s: El presente trabajo evalúa la histomorfometría, la capacidad resistiva mandibular y el estrés oxidativo en tejidos periodontales, en un modelo animal de desnutrición crónica, ante la exposición sub-crónica a cenizas residuales de la combustión de petróleo (Residual OilFlyAsh-ROFA).

Materiales y Métodos: Ratas Wistar de destete fueron alimentadas ad libitum (C) o con una dieta restringida 20 % respecto a la ingesta del grupo C (Nutritional Growth Retardation-NGR) por 4 semanas. Durante ese tiempo, los animales fueron instilados vía intranasal con ROFA (C+R y NGR+R) o su vehículo (C y NGR), 0.17 mg/kg PC, 3 veces por semana. Finalizadas las 4 semanas se autopsiaron los animales y se obtuvieron ambas hemimandíbulas y muestras de encía. Se realizaron cortes mesio-distales del 1er molar inferior y se evaluaron parámetros histológicos e histomorfométricos del hueso alveolar. La capacidad resistiva ósea se determinó mediante un ensayo de flexión a 3 puntos en equipo INSTRON 4442 y sobre homogenatos de encía se determinó la actividad de catalasa (CAT). ANOVA y prueba post-hoc de Bonferroni. Diferencia significativa: p<0.05. Resultados expresados como promedio ± DS.

Resultados: El área de hueso trabecular interradicular disminuyó significativamente en los grupos NGR y C+R (p<0.05), La capacidad resistiva ósea fue significativamente menor (p<0.01) en los grupos NGR y NGR+R vs C y C+R. Al comparar C vs C+R, se observó menor capacidad resistiva en el grupo C+R (p<0.01). En relación a la actividad de catalasa en encía se observó una tendencia a mayores niveles de la enzima en los grupos CR y NGR+R vs C y NGR.

Conclusión/es: Los resultados obtenidos reflejan el impacto de la exposición a contaminantes aéreos sobre la integridad gingivo alveolar en los animales con restricción de alimento y también en aquellos alimentados libremente expuestos a ROFA. Dicho impacto puede deberse, al menos en parte, a un efecto sobre las células óseas y/o a un desbalance oxidativo.

Palabras clave: Contaminación aérea, desnutrición, calidad ósea, salud gingival

Financiamiento: UBA CyT 20020220400226BA

185. Regeneración ósea de alveolos post-extracción con aloinjertos y fibrina rica en plaquetas. Estudio experimental.

Fontana S1*, Fernández J1, Gómez Rosso A1, Oviedo MA1, Hernández LF1, Calabrese O2, Zorrilla MI2, Plavnik LM1.

1. Facultad de Odontología. UNC. Cátedra de Histología y Embriología A. 2. Facultad de Odontología. UNC. Cátedra de Cirugía II A.

Introducción: Una manera eficaz y segura de caracterizar el comportamiento de los biomateriales in vivo, es la utilización de modelos de experimentación en animales, ya que nos permiten estimar su biocompatibilidad y capacidad osteogénica.

Objetivo/s: El objetivo de este trabajo es estudiar el efecto de la colocación de rellenos óseos en la reparación de alvéolos post-extracción, de ratas wistar mediante estudios tomográficos e histológicos.

Materiales y Métodos: Se utilizaron 12 ratas wistar anestesiadas con solución de Ketamina/Xilazina. Se extrajeron ambos 1º molares inferiores. En 6 de los alvéolos derechos se colocó aloinjerto particulado MO (Matriz ósea en Polvo, de UNC Biotecnia®), mientras que los otros 6 recibieron mezcla de MO, asociada a fibrina rica en plaquetas (PRF). Los alvéolos izquierdos no recibieron relleno. Quedaron conformados 3 grupos de estudio: 1) Grupo MO (n=6); 2) Grupo MO + PRF (n=6) y 3) Grupo Control C (n=12), sin relleno. A los 30 días los animales fueron sacrificados. Las mandíbulas fueron resecadas y se realizaron Tomografías Computadas Cone Beam (CBCT) con el equipo promax-3D plus (Planmeca oy, Finlandia; Área de Diagnóstico Digital, FO-UNC). Se emplearon 90 Kv y 6 mA como parámetros de exposición y un campo de visión de 50 x 50 mm. Se obtuvieron cortes (axiales, frontales, sagitales, panorámicos y oblicuos) de 0,2mm de espesor y se realizó la renderización 3D. Las imágenes obtenidas se analizaron con Romexis 6.4.4.7R y se midió densidad ósea mediante unidades Hounsfield (HU). Para histología, las muestras se seccionaron en sentido vestíbulo-lingual a nivel del alvéolo mesial del 1º molar y se colorearon H/E. Se observaron las muestras a microscopio y se realizó análisis descriptivo del hueso neoformado y se determinó porcentaje de tejido óseo oseointegrado (o bone-Implant contact) alrededor de las partículas (%OI; o BIC). Los datos fueron sometidos a análisis estadístico (T de Student), con valor de significancia de P<0,05.

Resultados: Las mediciones sobre las imágenes de CBCT fueron: Grupo C; 331 HU. En el grupo experimental MO se cuantificaron 708 HU mientras que en el grupo MO+PRF 1136 HU. Esta diferencia es estadísticamente significativa (P<0,05) e indica un aumento del 60% en la densidad ósea de los alvéolos tratados con MO + PRF en relación a MO y más de 100% con C. La observación de los cortes histológicos mostró biocompatibilidad de las partículas y neoformación de hueso laminar en relación a las mismas en todos los grupos experimentales. En el análisis histomorfométrico se observó un mayor porcentaje de OI en el grupo MO+PRF (88%) que en MO (85%), aunque estas diferencias no fueron estadísticamente significativas (P>0,05).

Conclusión/es: Según los resultados de este estudio, la combinación de MO con PRF favorece la neofromación de tejido óseo sobre las partículas (osteconducción), en relación a los grupos control y MO. Se deben realizar más estudios para demostrar la preservación de los alveolos post-extracción en este modelo animal.

Palabras clave: regeneración, oseiontegración, injertos.

Financiamiento: Secyt-UNC

186. Evaluación Clínica de la Técnica de Raíz Sumergida (TRS) y Extracción Atraumática (Ex. A) en alvéolos post extracción (APEx).

Díaz SA*, Jamal MV, Schemberger V, Pastorino N, Juarez J, Missana L.

Laboratorio de Patología Experimental Diagnóstico & Ingeniería Tisular Facultad de Odontología de la Universidad Nacional de Tucumán. . Asociación Odontológica Argentina

Introducción: En un trabajo de Tesis Doctoral, se evaluará la pérdida ósea alveolar post-extracción, con o sin sustitutos de Injertos Óseos (SOs); en pacientes con indicación de rehabilitación protésica mediante implantes dentales. En el proceso normal de cicatrización del APEx., se genera pérdida del volumen óseo, siendo mayor en los 1eros 3 meses. En está 1º presentación la Hipótesis fue: La técnica quirúrgica de la raíz sumergida y la extracción atraumática, favorece la permanencia de sustitutos óseos al suturar encía en alveolos post-extracción, favoreciendo la regeneración ósea alveolar.

Objetivo/s: Evaluar TRS y Ex.A clínicamente, a fin de lograr obtener encía suficiente, que facilite la sutura y contención del SOs intra alveolo.

Materiales y Métodos: Es un estudio prospectivo con 73 pacientes, de ambos sexos, de 20 a 80 años, con extracción de piezas dentarias por diferentes patologías. Fueron divididos en 2 grupos, a saber: A: pacientes con TRS y Ex. A y colocación SOs; y B: pacientes con extracción convencional (ExC), control absoluto, sin SOs. El grupo A se dividió en 4 subgrupos según el SOs recibido; A-1) Bone Bond Biomatlante-France, A-2) 4 Bone Biomatlante-France, A-3) Osteodens -Farmatrix-Argentina, A-4) Bio-Oss-Geistlich Pharma-Suiza. Se realizaron estudios radiográficos, pre y post extracción dentaria; y posterior a la colocación del SOs.

Resultados: Los alvéolos estudiados corresponden a 60 pacientes femeninos y 36 pacientes masculinos. Edad promedio de 57 años. Las piezas dentarias pre-extracción fueron sumergidas con TRS, por debajo del margen gingival e inmediatamente por debajo del nivel óseo. Entre 3 semanas a 1 mes, se observó a la raíz completamente cubierta por tejido gingival. Luego, se realizó la ExA y la colocación de los SOs correspondientes al grupo A. Los SOs. colocados intra-alveolos fueron Osteodens (32%), Bone Bond (20%), Bio-Oss (13%) y 4 Bone (6%), contenidos por sutura. El Grupo Testigo (29%) presentó cicatrización espontánea, sin sutura. El Grupo A: 68 n presentó 100% de Cicatrización Primaria, mientras el Grupo B: 28n presentó (100%) de Cicatrización Secundaria. En esta 1era evaluación, no existió variabilidad de respuesta dentro de cada grupo, no se realiza comparación estadística inferencial.

Conclusión/es: La técnica quirúrgica de raíz sumergida permitió aumentar el tejido gingival queratinizado y obtener cierre primario de encía. Favoreció el mantenimiento del sustituto óseo intraalveolar post extracción. No hubo complicaciones post extracción en los grupos estudiados. Palabras clave: preservación de alvéolos, raíz sumergida, ext. atraumática, sustituto óseo.

187. Determinación del biotipo facial mediante el índice de Vert.

Roschuk MS*, Sánchez AE, Bonzi IMA, Gómez A, Nart LJ, De Luca MA, Cornes WD, Coiro CY, Vazquez DJ. Cátedra de Diagnóstico por Imágenes, Facultad de Odontología, Universidad de Buenos Aires.

Introducción: El biotipo facial comprende las características morfológicas y funcionales que determinan la dirección de crecimiento y el comportamiento funcional de la cara de un individuo. El índice de Vert del cefalograma de Ricketts permite clasificar objetivamente los tipos faciales y facilita la planificación ortodóncica.

Objetivo/s: Determinar la frecuencia de los diferentes biotipos faciales mediante la aplicación del índice de Vert en telerradiografías.

Materiales y Métodos: Se realizó un estudio descriptivo de corte transversal sobre 700 telerradiografías con trazado cefalométrico de Ricketts obtenidas en la Cátedra de Diagnóstico por Imágenes de la FOUBA durante 2024. Cada paciente se determinó el biotipo facial y patrón esqueletal a través del análisis de Ricketts. Cada paciente fue clasificado en uno de seis biotipos: braquifacial severo, braquifacial, mesofacial, dolicofacial, dolicofacial suave y dolicofacial severo. Se registraron variables de sexo, edad, biotipo facial y clase esqueletal. Se realizó estadística descriptiva, incluyendo frecuencias, medidas de tendencia central y dispersión, mediante SPSS v24.

Resultados: La muestra incluyó 423 mujeres (60,4%) y 277 hombres (39,6%). La distribución de biotipos fue: braquifacial severo 26,3%, braquifacial 15,3%, mesofacial 19,4%, dolicofacial suave 15,3%, dolicofacial 13,1% y dolicofacial severo 10,6%. Al analizar la relación entre biotipo facial y clase esqueletal, la clase I predominó en meso y braquifaciales (8,85% y 8,5% respectivamente), la clase II fue más frecuente en dolicofaciales (9%) y la clase III se observó principalmente en braquifaciales severos (10,57%).

Conclusión/es: Este estudio determinó que el biotipo braquifacial fue el más prevalente en la población analizada. La determinación del biotipo facial resulta esencial para el diagnóstico y la planificación del tratamiento ortodóncico, dado que la mecánica aplicada afecta de manera diferente en cada paciente según sus características morfológicas.

Palabras clave: cefalometría, biotipo facial, clase esqueletal.

188. Evaluación cefalométrica de las características esqueletales de la maloclusión clase III.

Roschuk MS*, Sánchez AE, Bonzi IMA, Gómez A, Nart LJ, De Luca MA, Cornes WD, Coiro CY, Vazquez DJ. Cátedra de Diagnóstico por Imágenes, Facultad de Odontología, Universidad de Buenos Aires.

Introducción: La maloclusión de Clase III representa una de las discrepancias esqueléticas más complejas en ortodoncia, con etiología multifactorial que puede incluir alteraciones maxilares, mandibulares o combinadas. El análisis cefalométrico de Ricketts permite identificar los factores esqueletales que contribuyen a esta condición.

Objetivo/s: Analizar las características óseas de pacientes con Clase III esqueletal en telerradiografías de perfil mediante análisis cefalométrico de Ricketts e identificar asociaciones con sexo.

Materiales y Métodos: Estudio observacional retrospectivo de corte transversal. Se analizaron 700 telerradiografías de perfil realizadas en la Cátedra de Diagnóstico por Imágenes de la FOUBA, se seleccionaron aquellas con clase III esqueletal. Las variables analizadas fueron: longitud del cuerpo mandibular, posición de la rama y localización del porio. Se realizó análisis univariado, medidas de tendencia central y dispersión para variables cuantitativas, frecuencias y porcentajes para variables cualitativas. Análisis bivariado entre el sexo y las variables cefalométricas, prueba de Chi-cuadrado, razón de prevalencia (RP) valores de p < 0,05 fueron considerados significativos. El análisis estadístico fue procesado mediante el software SPSS y OpenEpi versión 3.01.

Resultados: La mediana de edad para la población de estudio (N= 147) fue de 17,4 años, el 49,7% correspondió a mujeres.

El 69,4% presentó profundidad facial aumentada y distribución equitativa entre sexos. El 74,5% presentó longitud del cuerpo aumentada, hombres 84,3% y mujeres 64,7%. Esta diferencia fue estadísticamente significativa (χ^2 =5.16; p=0.023). Razón de prevalencia (RP) 1.30 (IC95%: 1.03–1.65). El 54,9% presentó posición adelantada de la rama, 58,8% hombres y 50,9% mujeres, estadísticamente no significativa (χ^2 =0.63; p=0.426).

El 46,08% mostró localización disminuida del porio (>-36,8 mm), 41,9% hombres y 58,1% mujeres. La diferencia no fue estadísticamente significativa (χ^2 =3; p=0.08). Razón de prevalencia fue de 1.33 (IC95%: 0.95–1.84).

Conclusión/es: En la población estudiada el aumento de la longitud mandibular fue la alteración más prevalente y mostró una asociación significativa con el sexo masculino. Las otras variables morfométricas no presentaron asociaciones significativas con el sexo. Estos hallazgos refuerzan la importancia del diagnóstico cefalométrico para planificar tratamientos individualizados en pacientes con maloclusión Clase III.

Palabras clave: Clase III, cefalometría, mandíbula.

189. Prevalencia de mordida abierta esqueletal en pacientes con biotipo dolicofacial.

Roschuk MS*, Sánchez AE, Bonzi IMA, Gómez A, Nart LJ, De Luca MA, Cornes WD, Coiro CY, Vazquez DJ. Cátedra de Diagnóstico por Imágenes, Facultad de Odontología, Universidad de Buenos Aires.

Introducción: La mordida abierta es una maloclusión vertical caracterizada por la ausencia de contacto entre dientes antagonistas, con repercusiones funcionales y estéticas. Su etiología puede ser esqueletal, evidenciada por una mayor altura facial inferior y una divergencia entre las bases óseas o dentaria involucrando los dientes y sus procesos alveolares. Siendo más frecuente en individuos con biotipo dolicofacial.

Objetivo/s: Determinar la prevalencia de mordida abierta esqueletal en pacientes dolicofaciales mediante análisis cefalométrico, y evaluar diferencias en relación con valores normativos y el sexo.

Materiales y Métodos: Se realizó un estudio observacional descriptivo de corte transversal sobre 273 telerradiografías con trazado cefalométrico de Ricketts obtenidas en la Cátedra de Diagnóstico por Imágenes de la FOUBA durante el año 2024. Se incluyeron pacientes dolicofaciales según el Índice de Vert con overbite ≤ 0,5 mm, y altura facial inferior > 51°, clasificándose como mordida abierta esqueletal. Se analizaron edad, sexo y variables cefalométricas. La normalidad se evalúo con el test de Shapiro-Wilk; se aplicaron t de Student y test de Wilcoxon (p < 0,05) con SPSS v25.

Resultados: Se identificó mordida abierta esqueletal en 52 pacientes (19%), de los cuales 63,5% eran mujeres y 36,5% hombres. En ambos sexos las variables cefalométricas difirieron significativamente respecto a la norma (p < 0,001), excepto el arco mandibular (p = 0,068 mujeres; p = 0,620 hombres). Las mayores desviaciones se registraron en overbite (-1,21 mm mujeres; -2,16 mm hombres), altura facial inferior (53,64° mujeres y 56,89° hombres), eje facial (82,45°mujeres y 82,05°hombres) y plano mandibular (33,36°mujeres y 33,79°hombres). No se hallaron diferencias significativas entre sexos (p > 0,05).

Conclusión/es: El patrón esqueletal dolicofacial mostró una fuerte asociación con la mordida abierta, evidenciando alteraciones verticales características y las variables cefalométricas evaluadas resultaron similares en ambos sexos.

Palabras clave: dolicofacial, mordida abierta, cefalometría.

190. Estudio de Primeros molares y su relación con el seno maxilar en CBCT en pacientes de 8 a 11 años.

Pujol MH1*, Benítez LE1, Hiacellay A1, Indkevitch P1, Harries LC1, Nart LJ1, Salgado P2, Hiacelay A1, Velazquez L1, Vázquez D1.

1. Universidad de Buenos Aires. Facultad de Odontología. Cátedra Diagnóstico por Imágenes. 2. Universidad de Buenos Aires. Facultad de Odontología. Odontología Cat. Microbiología y Parasitología. Cat. Odontología Preventiva y Comunitaria; Universidad de Buenos Aires. Instituto de Investigaciones en Salud Pública.

Objetivo/s: Investigar la relación entre la patología dental con la inflamación sinusal.

Materiales y Métodos: Se tomaron 50 tomografías realizadas en la cátedra de diagnóstico por imágenes de FOUBA, los criterios de selección fueron: pacientes de entre 8 y 11 años de edad al momento de la toma, presencia de piezas 16 y 26 y que no sean portadores de aparatología ortodóntica. Se analizaron sexo, estadio de erupción, presencia de caries, patologías en el seno maxilar, grado de destrucción coronaria, relación con el seno maxilar mediante Chi cuadrado.

Resultados: En la muestra analizada fueron 56% mujeres y 44% hombres. Solo un 8% de las piezas permanecían semierupcionadas. En cuanto a la integridad, el 68% de los dientes estaban sanos, el 8% con compromiso limitado al esmalte y el 24% con afectación de dentina. La patología sinusal estuvo presente en el 18% de los casos, mientras que el 82% no presentó alteraciones. En cuanto a la relación con el seno maxilar, el 34% de las piezas se encontraban insertas, el 43% en contacto y el 23% por debajo de este. Entre los dientes con caries (n=31), el 27,3% de los que estaban insertos presentaron patología sinusal, 8,3% en los que se encontraban en el piso y fue nulo en los ubicados por debajo del seno. En los dientes sin caries (n=69), la patología sinusal estuvo presente en el 39,1% de los casos, en el 16,1% de los localizados en el piso y no se registró ningún caso en los situados por debajo. El análisis de chi-cuadrado no mostró asociación significativa entre caries y patología sinusal (p=0,180). Sin embargo, sí se encontró una asociación significativa entre la relación con el seno y la presencia de patología sinusal en el grupo sin caries (p=0,010)

Conclusión/es: Se observó que la presencia de patología sinusal fue más frecuente en las piezas cuyos ápices se encontraban insertos en el seno, menos en las ubicadas en el piso y ausente en las que se encontraban por debajo del seno.

No se halló asociación significativa entre caries y patología sinusal. Sin embargo, sí se encontró una relación estadísticamente significativa entre la ubicación respecto al seno y la presencia de patología sinusal, tanto en el grupo sin caries como en el total de la muestra.

191. Prevalencia de causas de piezas retenidas.

Pujol MH1*, Benítez LE1, Camilli C1, Harries LC1, Indkevitch P1, Nart LJ1, Subiran B1, Salgado P2, Serafina J1, Alario, S1, Vázquez D1.

1.Universidad de Buenos Aires. Facultad de Odontología. Cátedra Diagnóstico por Imágenes. 2.Universidad de Buenos Aires. Facultad de Odontología. Odontología Cat. Microbiología y Parasitología. Cat. Odontología Preventiva y Comunitaria; Universidad de Buenos Aires. Instituto de Investigaciones en Salud Pública.

Objetivo/s: Relacionar las causas de anomalías de erupción, identificando piezas más frecuentes, posición y causa para mejorar la salud y prevenir las complicaciones.

Materiales y Métodos: Se analizaron tomografías de haz cónico realizadas en la cátedra de diagnóstico por imágenes de Fouba de 50 pacientes que presentaron anomalías en la erupción dentaria. Se identificaron las causas más frecuentes del retraso en la erupción, como: Mal posición dentaria, Quistes, Odontomas, Piezas supernumerarias y Otras causas.

Resultados: La muestra de piezas retenidas mostro predominio del sexo masculino (58%) por sobre el femenino. Las piezas se distribuyeron principalmente en cuadrante 1 (30%), seguido por el 2 y 3 (28% cada uno) y, en menor medida en 4 (14%). Se observó presencia de patología agregada 78% de los casos, mientras que un 22% no presentó alteraciones. En el 96% se observó contacto con alguna pieza vecina. En cuanto a la cantidad de piezas afectadas se observo, una sola pieza (66%), seguido por dos piezas (28%), mientras que tres y cinco piezas fueron menos frecuentes (4% y 2%, respectivamente).

Conclusión/es: Los hallazgos muestran que las piezas retenidas afectan con mayor frecuencia a varones y se concentran en los cuadrantes superiores. La alta proporción de patología asociada y la frecuente relación con piezas vecinas refuerzan la relevancia clínica de su diagnóstico oportuno. El predominio de la mal posición como motivo principal, seguido por quistes y supernumerarios, sugiere que las causas más comunes responden a factores de desarrollo y espacio, lo que resalta la importancia de una evaluación temprana.

Palabras clave: Retenidos. CBCT. Anomalías.

192. Concordancia inter-observadores en el diagnóstico de patologías óseas de los maxilares y anomalías del desarrollo en radiográficas panorámicas.

Iturre S1*, Jorrat M2, Carino S3.

1.Odontología Preventiva FOUNT. 2.Radiología FOUNT. 3.Laboratorio Anatomía Patológica FOUNT.

Objetivo/s: Evaluar la concordancia entre tres docentes de la FOUNT del diagnóstico de patologías óseas de los maxilares y anomalías del desarrollo en radiografías panorámicas.

Materiales y Métodos: Tres docentes de Anatomía Patológica, Diagnóstico por imágenes y Odontología Preventiva de FOUNT (A-B-C) entrenados previamente en el diagnóstico de lesiones de los maxilares, evaluaron radiografías panorámicas del Servicio de Radiología de FOUNT de enero a abril de 2023, y completaron en forma independiente en Excel el diagnóstico de patologías de los maxilares (saco hipertrófico, quiste de erupción, dientes retenidos, quiste dentígero, odontomas) y anomalías de número (supernumerarios y agenesias). Se analizaron a través del Índice de Concordancia de Cohen.

Resultados: Sobre 2258 radiografías panorámicas se diagnosticaron 32 imágenes con patologías de los maxilares de diagnóstico dudoso, al comparar los diagnósticos, se obtuvo un coeficiente kappa de Cohen=0,75 con una buena fuerza de concordancia entre los observadores A y B; un valor kappa=0,98 con una concordancia muy buena entre los observadores B y C; con una buena concordancia kappa=0,76 entre A y C; con una muy buena concordancia entre A-B-C kappa=0,83.

Conclusión/es: Al comparar los diagnósticos de patologías óseas de los maxilares y anomalías del desarrollo se encontró una muy buena concordancia entre los tres observadores.

Palabras clave: radiografías panorámicas - concordancia - patologías óseas - anomalías del desarrollo

Financiamiento: SCAIT parcialmente.

193. Prevalencia de anomalías dentarias en imágenes panorámicas en San Miguel de Tucumán.

Jorrat M1*, Aragon H1, Iturre S2.

1.Radiología FOUNT. 2.Odontología Preventiva FOUNT.

Introducción: Las anomalías dentarias son alteraciones del desarrollo que afectan la forma, el tamaño, el número, estructura o posición, y pueden ser causadas por factores genéticos, ambientales, enfermedades o traumatismos durante el desarrollo dental.

Objetivo/s: Determinar la prevalencia de anomalías dentarias en imágenes radiografías panorámicas de pacientes de ambos sexos en San Miguel de Tucumán.

Materiales y Métodos: Se realizó un estudio retrospectivo de corte transversal, de enero a abril de 2023 de pacientes que asistieron al Servicio de imágenes de FOUNT para estudios panorámicos previos al tratamiento general. Cada imagen fue evaluada según el criterio de anomalías dentales: a-de número: agenesia o supernumerarios, b- de tamaño: microdoncias o macrodoncia, c- de posición de terceros molares (ausente/ vertical/ verticalinvertido/ horizontalmesioangulado/ horizontaldistoangulado/ transversovestibuloversión /transersolinguo version) y caninos inferiores (giroversion). Los datos de las variables de anomalías de ambos sexos fueron volcados y analizados con software para estadística donde se realizó análisis de prevalencia y chi cuadrado aceptando un error alfa de 5%.

Resultados: Se analizaron 2358 radiografías panorámicas (masculinos 894 y femeninos 1464) con un rango de edad de 4 a 81 años, presentaban giroversión de caninos inferiores el 2,79%; supernumerarios el 1,14%; agenesias el 0,76%; microdoncia de terceros molares superiores el 0,89%. Se observó en 1.8 el 62,5% ausente, 35,7% vertical, 0,6% horizontalmesioangulado, 0,6% horizontal distoangulado, 0,4% tranversovestibuloversion, 0.2% transversolinguoversion; en 2.8 el 61,3% ausente, 36,9% vertical, 0,6% horizontalmesioangulado, 0,5% horizontal distoangulado, 0,1% tranversovestibuloversion; en 3.8 el 60% ausente, 24,9% vertical, 14,6% horizontalmesioangulado, 0,3% horizontal distoangulado, 0,2% tranversovestibuloversion; en 4.8 el 61,1% ausente, 24,6% vertical, 13,8% horizontalmesioangulado, 0,3% horizontal distoangulado, 0,2% tranversovestibuloversion. No se encontró diferencia significativa de agenesias, microdoncias y giroversión de caninos inferiores por sexo (p>0,05 chi cuadrado) pero si existe diferencia significativa por sexo para supernumerarios (p<0,05 chi cuadrado). Solo se encontró diferencia significativa en la distribución por sexo de la posición de los terceros molares para 4.8 (p<0,05 chi cuadrado). Del total de los pacientes cabe destacar que 1 presentaba Síndrome de Gardner.

Conclusión/es: En esta muestra la prevalencia de anomalías de tamaño fue del 0,89%, supernumerarios del 1,14%, agenesias del 0,76% y giroversión de caninos inferiores del 2,79% y del 33% de posición de terceros molares superiores y inferiores.

Palabras clave: radiografías panorámicas - anomalías dentarias- diagnóstico

Financiamiento: SCAIT parcialmente.

194. Prevalencia de radix molaris en molares mandibulares.

Azcona V1*, Coiro CY2, Bonzi IMA1, Cornes WD1, Gómez A1, Vazquez LP1, Vazquez DJ1 1.Cátedra de Diagnóstico por imágenes, Facultad de Odontología, UBA. 2. Hospital de Odontología Dr Ramón Carrillo.

Introducción: Los molares mandibulares permanentes suelen presentar dos raíces. Sin embargo, existen variaciones anatómicas como el Radix Entomolaris (RE) —raíz supernumeraria distolingual— y el Radix Paramolaris (RP), ubicado mesiovestibularmente. Estas estructuras pueden comprometer tratamientos odontológicos si no son detectadas. La prevalencia de RE varía según origen étnico, siendo más común en poblaciones de ascendencia asiática. Su diagnóstico es estrictamente imagenológico, especialmente mediante tomografía computada de haz cónico (CBCT). Objetivo/s: Determinar la prevalencia y características morfológicas de Radix Entomolaris y Radix Paramolaris en molares mandibulares, mediante CBCT.

Materiales y métodos: Estudio observacional, retrospectivo, transversal. Se analizaron 250 imágenes CBCT obtenidas en la Cátedra de Diagnósticos por Imágenes (FOUBA), seleccionadas por conveniencia en un período de 3 meses, con presencia bilateral de molares permanentes mandibulares (500 primeros molares y 500 segundos molares). Se excluyeron casos con endodoncia previa, reabsorciones, prótesis o ápices inmaduros. Se evaluaron variables como sexo, edad, presencia de Radix molaris, tipo de radix, lateralidad y clasificación morfológica (según Song). La observación se realizó en tres planos (axial: límite amelocementario; sagital y coronal utilizando el software Planmeca Romexis®. Se realizaron análisis univariado y bivariado de las variables y se aplicaron pruebas de Chi-cuadrado y exacta de Fisher (p < 0,05).

Resultados: Se identificó radix molaris en 20 pacientes (8,0%), más frecuente en hombres (14,68%) que en mujeres (2,84%) (p = 0,0006). De los 1000 molares evaluados, 26 (2,6%) presentaron radix: 17 primeros molares (3,4%) y 9 segundos molares (1,8%) (p = 0,163). El 76,9% correspondió a RE y el 23,1% a RP, este último presente únicamente en segundos molares (p = 0,001). La lateralidad (derecho/izquierdo) no fue significativa (p = 0,999). Se observó bilateralidad en el 58,8% de los primeros molares (p = 0,169). El Tipo I de Song (38,5%) fue más frecuente, seguido por el Tipo III (30,8%), éste último se presentó sólo en primeros molares.

Conclusión/es: El conocimiento y diagnóstico precoz del RE y RP mediante CBCT es crucial para evitar complicaciones clínicas. Identificar su prevalencia local contribuye a una mejor planificación en endodoncia, cirugía y periodoncia. Se destaca la importancia de incorporar evaluaciones tridimensionales en la práctica odontológica habitual.

Palabras clave: Radix Molaris, Entomolaris, Paramolaris, Cone Beam

195. Respuesta reparativa y cambios dimensionales del alvéolo post-exodoncia tras aloinjerto con o sin protección: estudio preliminar.

Aguilar Porta M1, Burelli MP2, Urdapilleta M2, Gómez MV3, Renou SJ1*, Olmedo DG4.

1.Universidad de Buenos Aires, Facultad de Odontología, Cátedra de Anatomía Patológica, Buenos Aires, Argentina. 2. Universidad de Buenos Aires, Facultad de Odontología, Cátedra de Rehabilitación Integral de Mediana y Alta Complejidad, Buenos Aires, Argentina.3.Carrera de Especialización en Periodoncia, Universidad Maimónides, Buenos Aires, Argentina. 4.Universidad de Buenos Aires, Facultad de Odontología, Cátedra de Anatomía Patológica, Buenos Aires, Argentina. Consejo Nacional de Investigaciones Científicas y Técnicas (CONICET), Buenos Aires, Argentina.

Introducción: No existe evidencia científica sobre la respuesta ósea y los cambios dimensionales en alvéolos post-exodoncia tratados con aloinjerto, expuesto o no al medio bucal.

Objetivo/s: Comparar la respuesta reparativa y el cambio dimensional del alvéolo post-exodoncia preservado con un aloinjerto liofilizado expuesto al medio bucal vs. cubierto con un injerto gingival libre de paladar.

Materiales y Métodos: Seis pacientes (Cátedra de Rehabilitación Integral de Mediana y Alta Complejidad-FOUBA) con indicación de exodoncia de incisivo, canino o premolar con dehiscencia ósea vestibular (3-8 mm), confirmada tomográficamente, se asignaron aleatoriamente a 2 grupos: GE (Grupo Expuesto): aloinjerto en el alvéolo post-exodoncia, sutura y expuesto al medio bucal y GC (Grupo Cubierto): aloinjerto cubierto con injerto gingival libre. A los 6 meses, previo a la colocación del implante, se realizó una nueva tomografía para determinar el volumen óseo y una biopsia del sitio injertado para su evaluación histológica e histomorfométrica (% de tejido óseo neoformado, de sustituto óseo y de oseointegración). Se evaluaron cambios dimensionales del reborde alveolar superponiendo las imágenes tomográficas pre y post tratamiento estableciendo la diferencia en altura (vestibular y palatina/lingual) y ancho (vestibular y palatino/lingual). Los resultados fueron analizados mediante prueba t de Student.

Resultados: Los alvéolos repararon sin complicaciones clínicas. En ambos grupos se evidenció histológicamente neoformación de tejido óseo laminar en aposición con el aloinjerto, así como la presencia de áreas de médula ósea fibrovascular, sin infiltrado inflamatorio. No se encontraron diferencias estadísticamente significativas entre los grupos evaluados (p > 0,05) en cuanto a los parámetros histomorfométricos. Del mismo modo, respecto de los cambios dimensionales tomográficos, tampoco se hallaron diferencias estadísticamente significativas entre los grupos (p > 0,05). Conclusión/es: Estos datos preliminares muestran una tendencia a que no existirían diferencias en la respuesta reparativa ni en los cambios dimensionales del alvéolo post-exodoncia al emplear aloinjerto liofilizado, independientemente de su exposición al medio bucal.

Palabras clave: Alveolo Postexodoncia, Reparación Tisular, Cambios Dimensionales, Aloinjerto Expuesto Financiamiento: UBACYT 20020190100148BA y FOUBA Res. (CD) N°03-02-24

196. Estreptococos del grupo mutans: formación de polisacáridos extracelulares relacionado con la incubación.

Tineo S*1, 2, Álvarez Giménez JM1, Hillen NE3, Cabrera E1, Saravia ME1

1. Laboratorio de Microbiología Oral, Cátedra de Microbiología y Parasitología. 2. Cátedra de Práctica Final Obligatoria. Facultad de Odontología- UNT. 3. Laboratorio de Biología Oral

Introducción: La bibliografía internacional y las técnicas microbiológicas para el crecimiento y aislamiento de Estreptococos grupo mutans están estandarizadas en una temperatura de 37 °C durante 48 horas al igual que todos los estreptococos orales, estos valores pueden variar de acuerdo a las características del microorganismo. Objetivo: Observar y comparar las características de crecimiento de los EGM (S. mutans y S. Sobrinus) en relación a la formación de polisacáridos extracelulares (PE) de salivas incubadas con dos metodologías, a 37°C durante 48 h y a 36°C durante 72h. Materiales y Métodos: Este estudio descriptivo tiene aprobación del Comité de Bioética de la Facultad de Medicina de la UNT en el marco del Proyecto PIUNT-UNT, se tomaron muestras de saliva sin estimular de pacientes de ambos sexos n=20 las mismas fueron sembradas por la técnica de la espátula por duplicado para ser incubadas a distintos tiempos y temperaturas en medio selectivo SB20M para grupo mutans. El grupo G1 se incubo a 37 °C durante 48 horas y el grupo G2 a 36°C durante 72 h. Transcurrido cada tiempo de incubación se observó macroscópicamente y con lupa estereoscópica el crecimiento de las colonias y la producción de PE. Resultados: Al finalizar el estudio descriptivo se observó que en 4 cajas de cada grupo correspondiente a las mismas muestras no presentaron PE. El G1 a las 48 h presentaba 11 cajas sin formación de PE y 5 con un esbozo de formación de exopolisacáridos. A las 72 horas las 16 cajas del G2 presentaron PE, el tamaño y la expresión morfológica de las colonias con PE eran mayor, a diferencia de las del G1 cuando se incubaron por 48h. Conclusión: La incubación de Estreptococos grupo mutans durante 72h permite observar la formación de PE, que no siempre se los puede ver si se retira el cultivo a las 48 horas. Es importante observar la presencia de pólisacáridos extracelulares, un compuesto importante en la formación del biofilm dental.

Palabras clave: Formación de dextrán - Incubación de Estreptococos grupo mutans - Polisacáridos extracelulares Flnanciamiento: Parcialmente financiado por el Proyecto PIUNTJ/714-UNT

197. Evaluación microbiológica del agua en unidades dentales.

Álvarez Giménez JM1, Tineo S*1, 2, Dávila E1, Zalduendo M1, 2, Saravia ME1.

1. Laboratorio de Microbiología Oral, Cátedra de Microbiología y Parasitología. 2. Cátedra de Práctica Final Obligatoria. Facultad de Odontología- UNT.

Introducción: El control microbiológico del agua de la Unidad Dental forma parte de la bioseguridad del consultorio dental. Los límites internacionales van de \leq 200 UFC/ml dado por la Asociación Dental Americana-ADA y \leq 500 UFC/ml por el Centros para el Control y Prevención de Enfermedades-CDC de los EEUU. Objetivo: Evaluar a través de recuentos de UFC/ml la contaminación microbiológica de mesófilos de la jeringa triple de las unidades dentales (JTUD), que tienen reservorio y las que tienen conexión directa a una red de agua. Materiales y Métodos: Se recogieron 12 muestras con 30ml de agua provenientes de la salida de jeringas triples, de unidades dentales, se consideró grupo A cuando se recolectó del reservorio (JTUDRv) y grupo B cuando se recolectó de las jeringas conectadas a la red de agua potable (JTUDRr). Para el procesamiento y análisis, las muestras se diluyeron en solución buffer fosfato salino hasta llegar a la dilución 1/100. Las muestras puras y sus diluciones fueron sembradas en cajas de Petri con medio Tripteina Soya Agar (TSA) por duplicado con la técnica de la gota. Las placas se incubaron en estufa a 37°C durante 48 h. El recuento UFC/ml se realizó con lupa estereoscópica. Resultados: Los recuentos de UFC/ml de microorganismos aerobios mesófilos totales, para el grupo A- dio una media de \bar{x} 300.000 UFC/ml y para el grupo B una \bar{x} de 220 UFC/ml, de 220 UFC/ml, Test t = p < 0.05. Conclusión: El valor promedio de UFC/ml para el grupo A en las jeringas triples de los reservorios supera los valores estándares establecidos para las UD, a diferencia del Grupo B que se relaciona con los valores internacionales propuestos. Es necesario implementar protocolos de limpieza, desinfección con recambios de los reservorios para analizar su eficacia repitiendo muestreos y análisis a fin de lograr los estándares internacionales en el agua de las unidades dentales.

Palabras clave: Bioseguridad Odontológica - Unidad Dental - UFC de Mesófilos

Financiamiento: Parcialmente financiado parcialmente por el Proyecto PIUNTJ/714-UNT

198. Riesgo de Colonización de Candida bucal en pacientes con artritis reumatoidea bajo tratamiento antiinflamatorio.

Perez YA*, Brusca MI, Felkar S, Garzon ML, Jewtuchowicz VM.

Universidad Abierta Interamericana Facultad de Odontología, Argentina.

Introducción: Candida es un hongo oportunista que coloniza la mucosa bucal, y puede generar a candidiasis orofaríngea, esofágica o sistémica en individuos con factores predisponentes. La artritis reumatoidea (AR), es una enfermedad inflamatoria crónica autoinmune que, junto con su tratamiento farmacológico,podría modificar la microbiota bucal y aumentar el riesgo de colonización fúngica. Objetivo: Investigar la colonización de Candida bucal y su asociación con variables demográficas y clínicas en una cohorte de pacientes con AR. Materiales y Métodos: Se incluyeron muestras de hisopado de lengua, carrillos y paladar, en 44 adultos con AR (7 masculinos y 37 femeninos). Se registraron datos odontológicos, clínicos y farmacológicos,incluyendo el uso de corticoides,antiflamatorios no esteroides (AINES) y metotrexano-este último análogo del ácido fólico utilizado como fármaco antirreumático modificador d ela enfermedad. Se calacularon porcentajes, intervalos de confianza del 95% (IC 95%)Y odd ratio (OR)mediante programa Epi info. Resultados: La prevalencia de Candida spp. fue del 41% (IC95%:27-56.7), C. albicans fue predominante (n=14, 78%). Se identificaron C. parapsilosis, C. glabrata y C. dubliniensis. La colonización fue mayor en pacientes con altos títulos anti CCP (OR 2,35), enfermedad activa (OR 2,38)y más de un año de evolución(OR 2,3). El tratamiento con corticoides se asoció a mayor colonización (OR 2,0) mientras el metotrexato no mostró efectos significativos. Conclusión: La colonización por Candida albicans podría relacionarse con la actividad inflamatoria y el tratamiento inmunomodelador en pacientes con AR. Es fundamental el control estomatológico durante el curso de la enfermedad y la terapéutica para prevenir complicaciones fúngicas.

Palabras clave: Candida albicans, candida glabrata, artritis reumatoides, anticuerpos anti péptido citrulinados Financiamiento: PROYECTO SUBSIDIADO PS4. UAI – SECRETARÍA DE INVESTIGACIÓN

199. Micobioma bucal en pacientes con cáncer de mama bajo terapia con tamoxifeno o anastrozol.

Juarez JA*1, Jewtuchowicz VM1, 2, Brusca L1, Masso M2, Cabrera G2, Brusca MI1

1. Universidad Abierta Interamericana Facultad de Odontología, Argentina. 2. Universidad de Buenos Aires Facultad de Medicina, Dpto. de Microbiología.

Introducción: Las especies de Candida spp. constituyen menos del 1% del Micobioma bucal. El cáncer de mama (CM) es el tumor más común y una de las principales causas de muerte mundial. Las Intervenciones terapéuticas pueden provocar alteraciones del sistema inmunitario, lo que hace a estas pacientes susceptibles a candidiasis oportunistas. El Tamoxifeno y el anastrozol son drogas con efecto antiestrógeno, utilizadas en pacientes sensibles a hormonoterapia, además presentan efecto antifúngico in vitro. Sin embargo, no se conoce su correlato in vivo. Objetivo: Nos propusimos conocer la prevalencia de Candida spp en pacientes con CM bajo tratamiento con tamoxifeno o anastrozol. Materiales y Métodos: Se realizó un estudio observacional de cohortes, 244 mujeres de 31 a 76 años (Media 54,5 ±9,5), 110 tratadas con Tamoxifeno, 25 anastrozol y109 sin tratamiento. Luego de firmar un consentimiento informado, se investigó Candida por cultivo de hisopado de paladar, mucosa yugal y lengua. Estas muestras fueron tomadas al inicio del tratamiento, a los 6 meses, 12 meses y 24 meses después y se analizo el tiempo a la negativización de Candida spp. mediante Kaplan Meier, estableciendo significativos aquellos resultados con P <0,05,Se calcularon %, Intervalos de Confianza con un nivel de confianza del 95% IC95% con Epi Info. Resultados: Las pacientes con enfermedad activa presentaron mayor prevalencia de Candida (96% IC95%:0.796-0.999), que el grupo control (32.1% IC95%:0.237-0.418), al momento T0 (p≤0.005). Durante el tratamiento con tamoxifeno se observa la reducción de portación de cándida bucal (T6=74,5%; T12=38,2%; T24=16,4%). C. albicans fue la especie más prevalente (N=56, 50.9%), tanto con presentación única (N=34, 30.9%) o combinada (N=22, 20%). Se hallaron otras especies emergentes y algunas con baja sensibilidad a antifúngicos como C. glabrata. Conclusión: Durante el tratamiento con tamoxifeno se observó la disminución de portación de Candida a lo largo del tiempo.

Palabras clave: Candida, cáncer de mama, anastrozol, tamoxifeno Financiamiento: Secretaria de Ciencia y Tecnica. UBA UBACYT programacion 2023